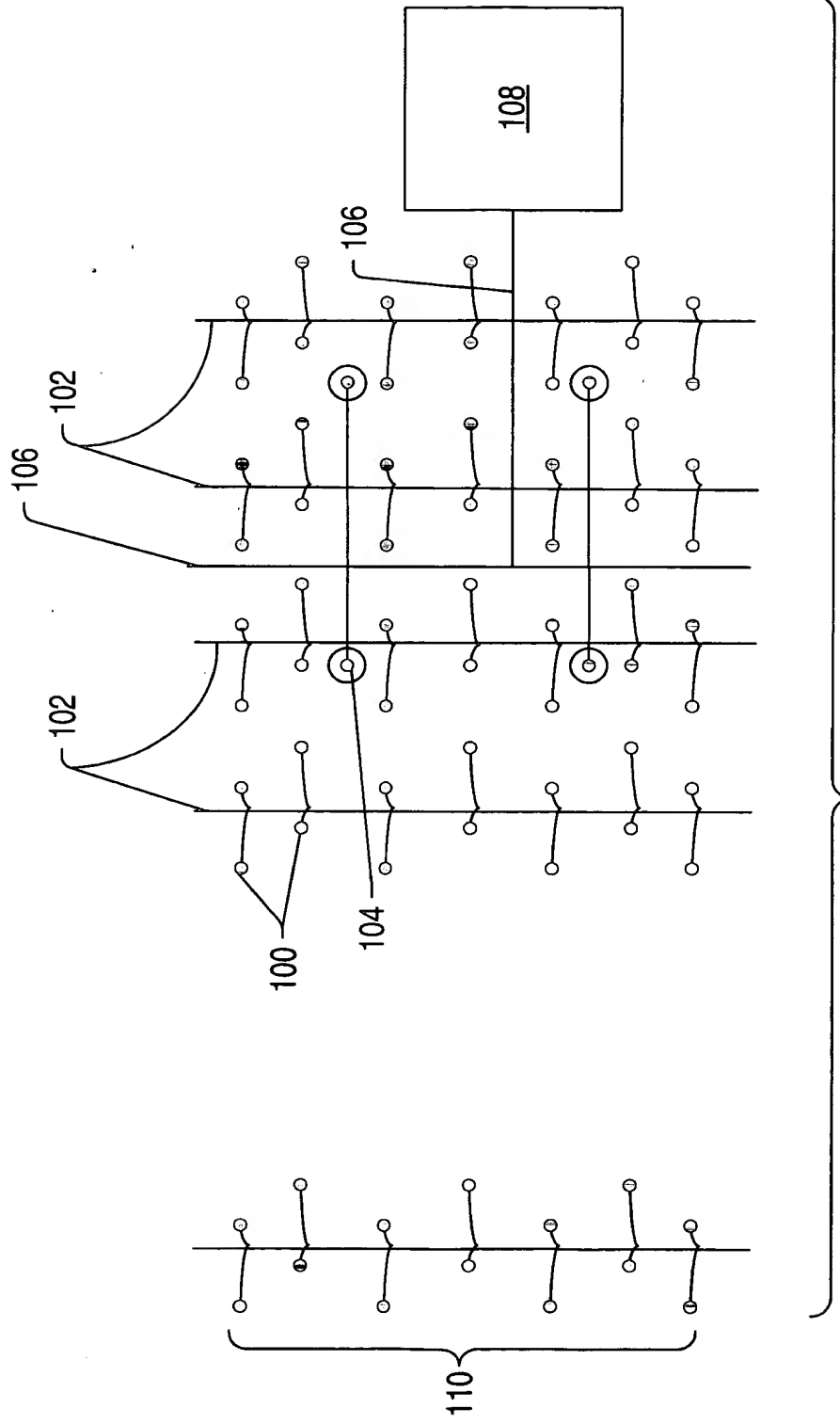


FIG. 2



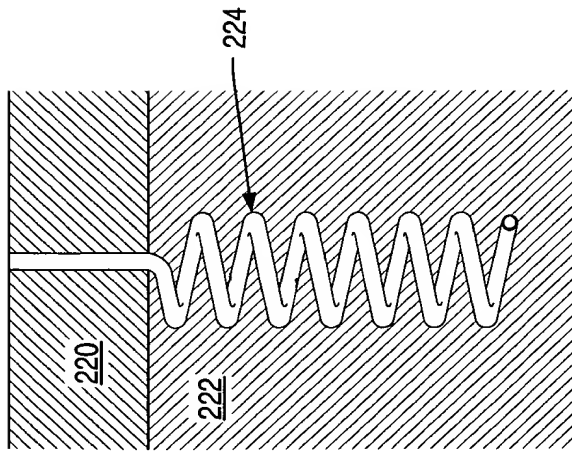


FIG. 3a

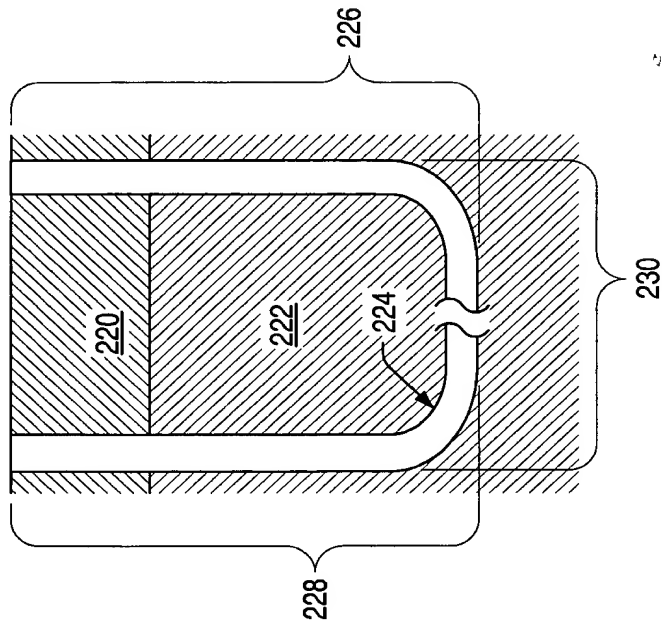


FIG. 3b

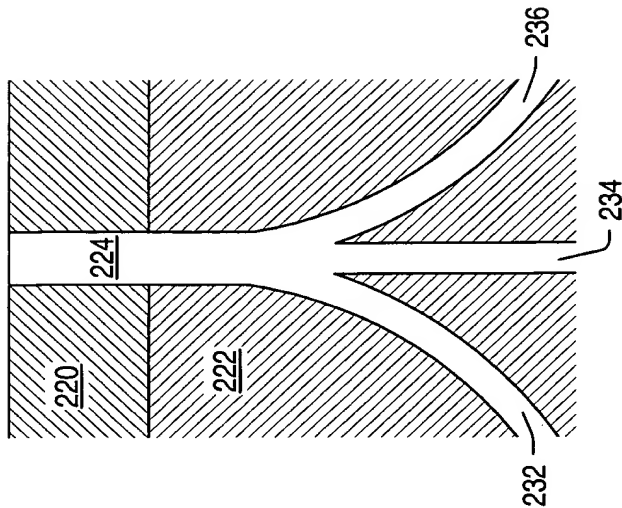


FIG. 3c

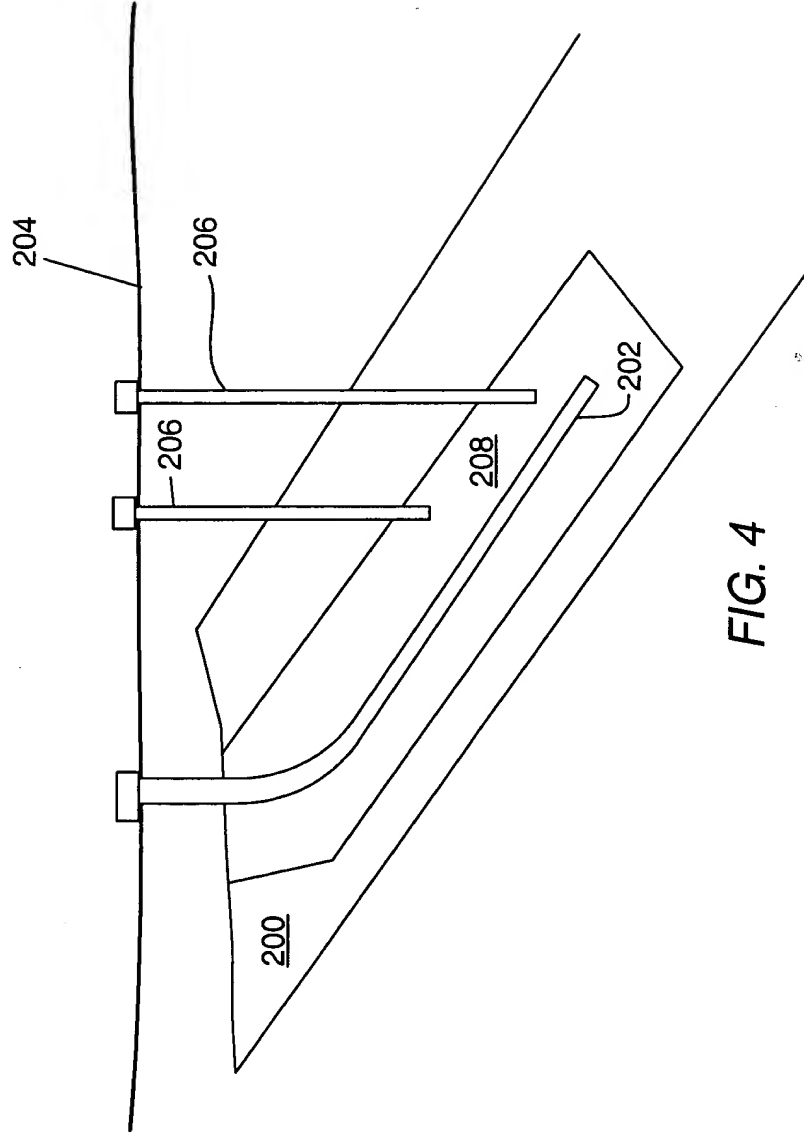
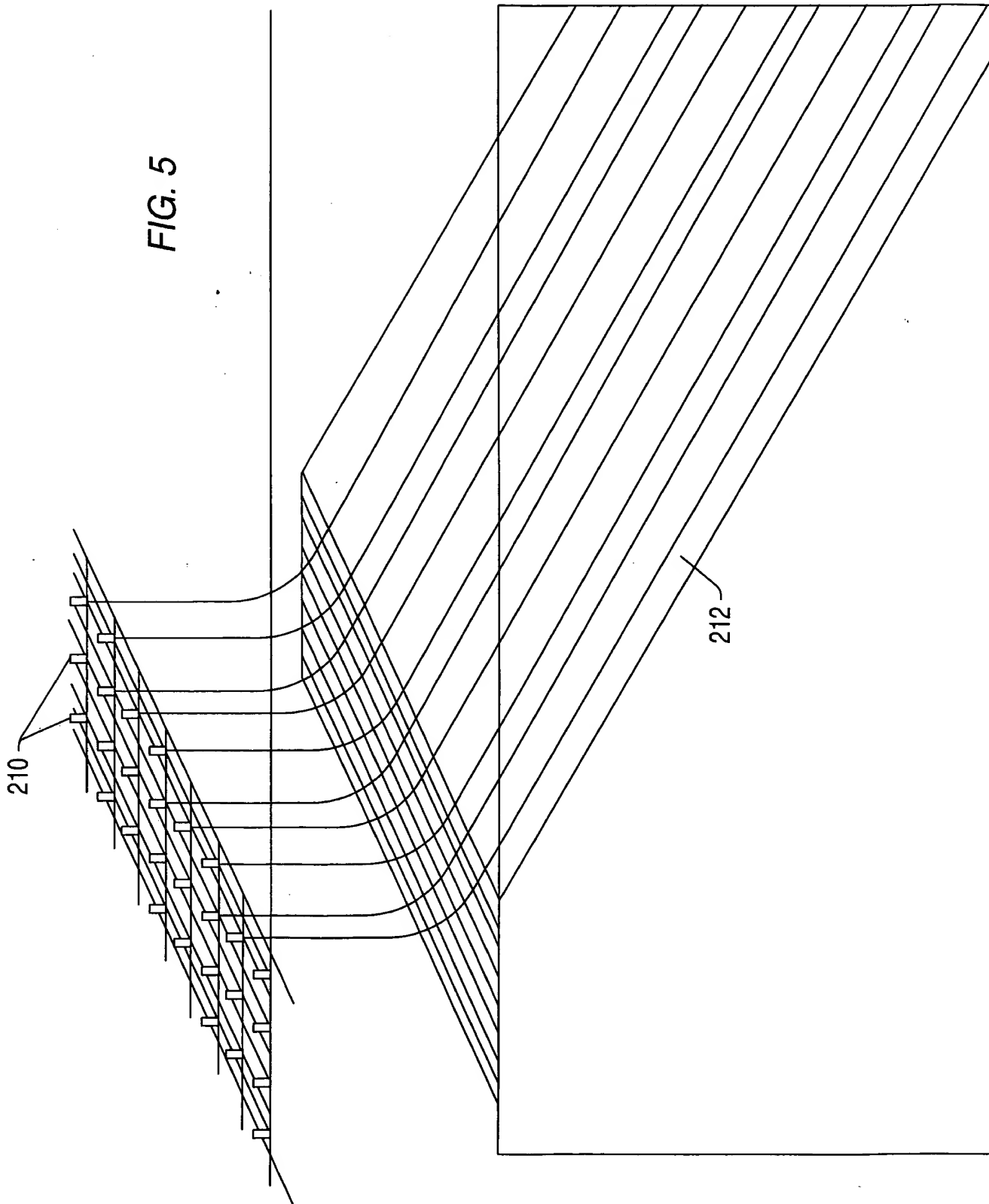


FIG. 4



09841305.042401

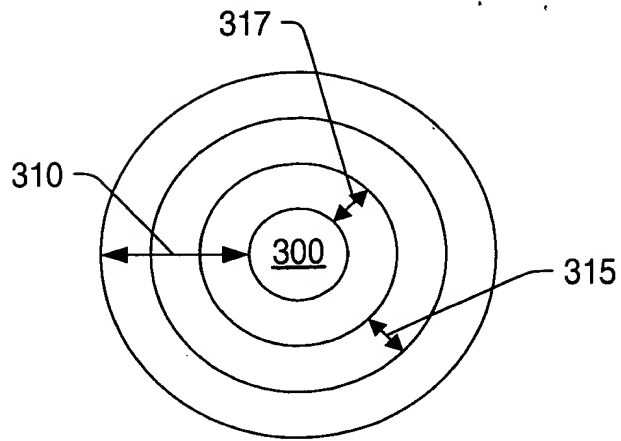


FIG. 6

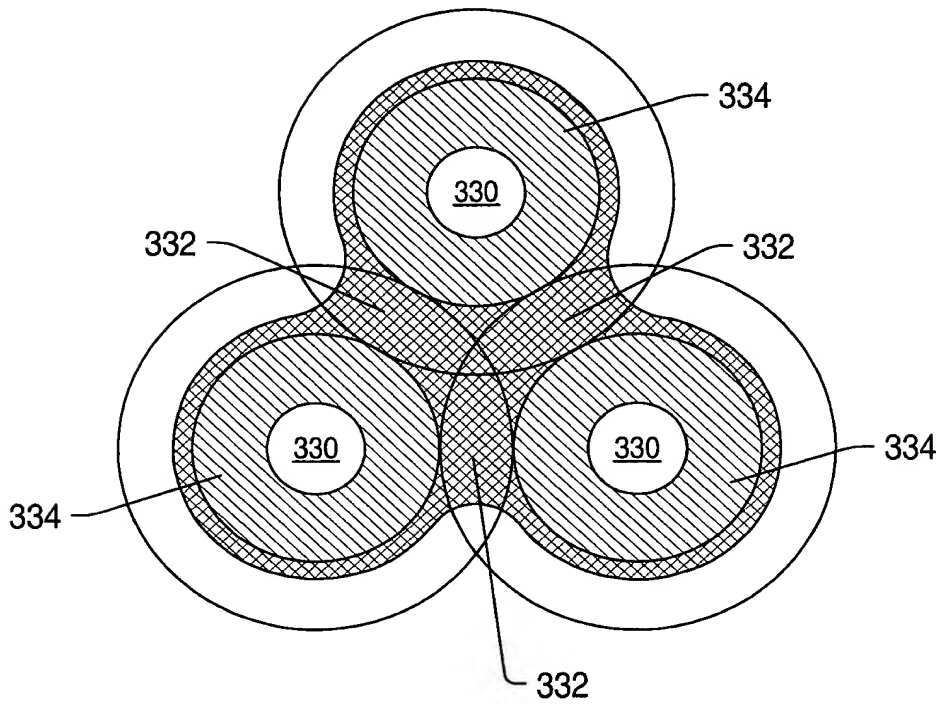


FIG. 7

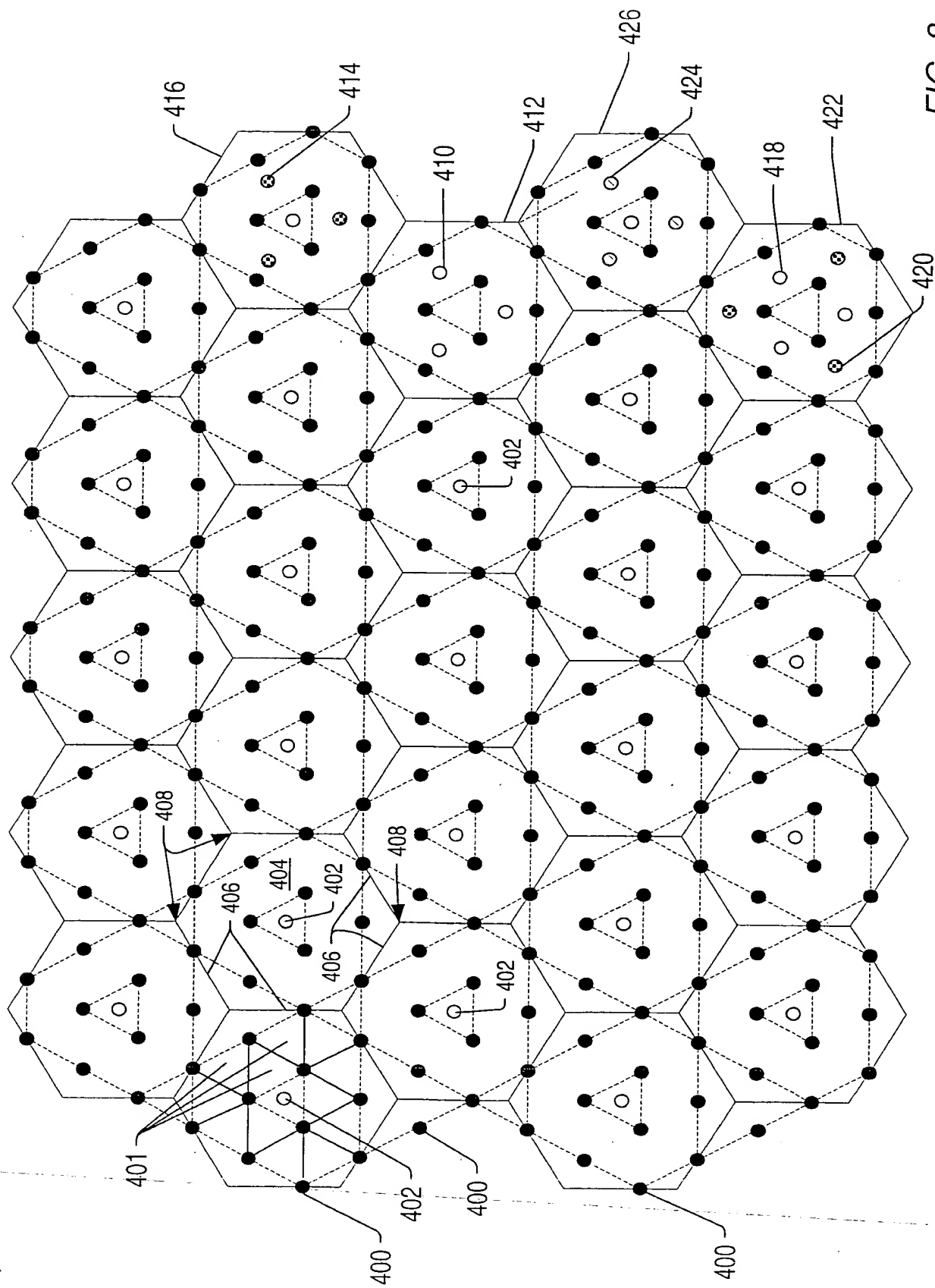


FIG. 8

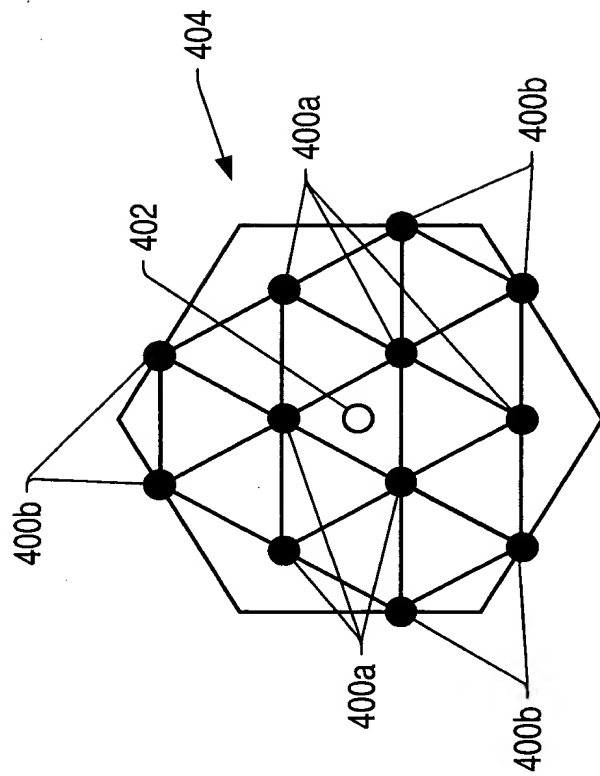


FIG. 9

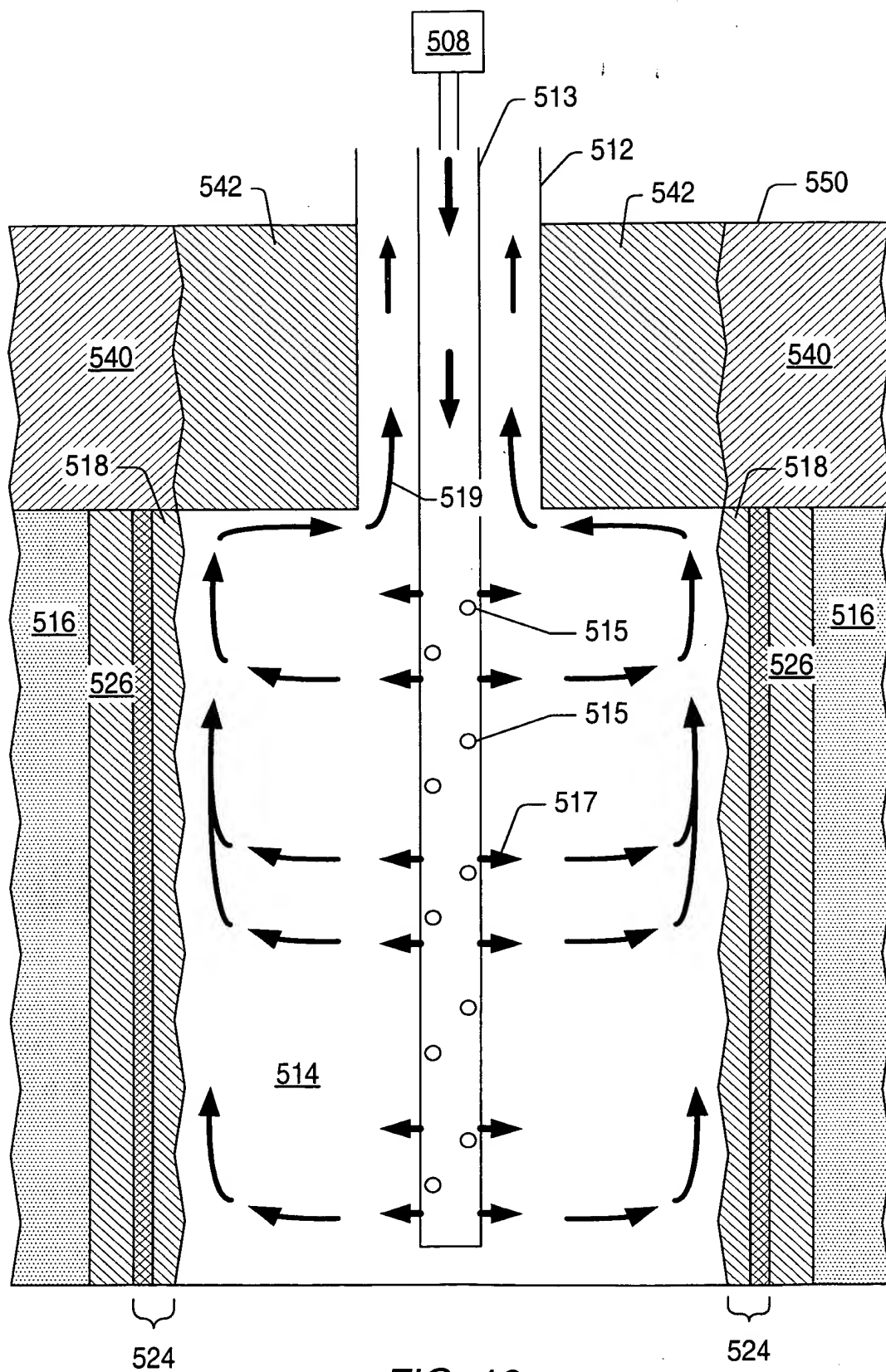


FIG. 10

09841305.042401

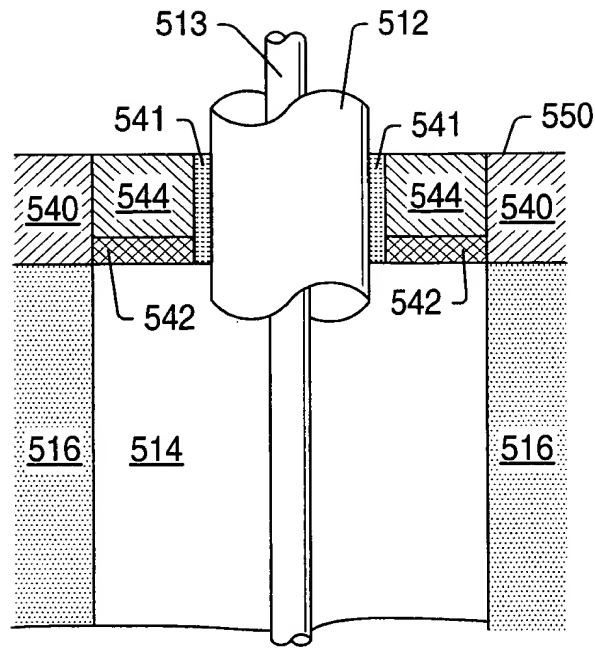


FIG. 11

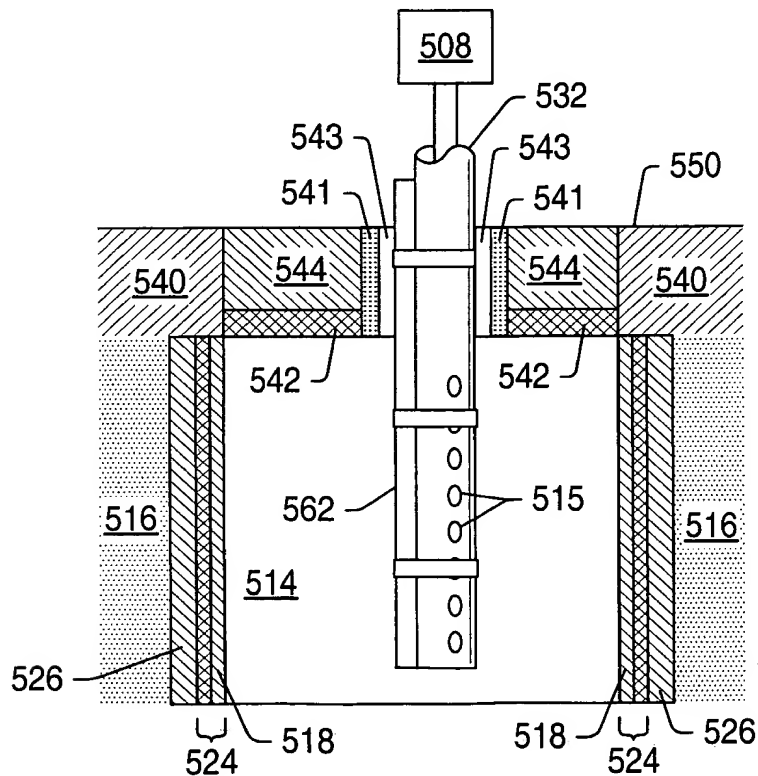


FIG. 12

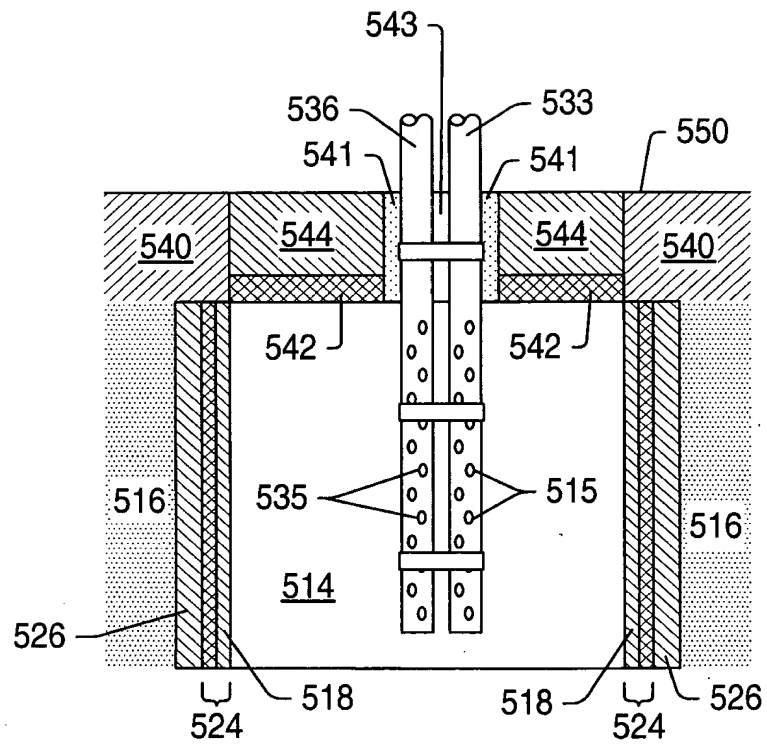


Fig. 13

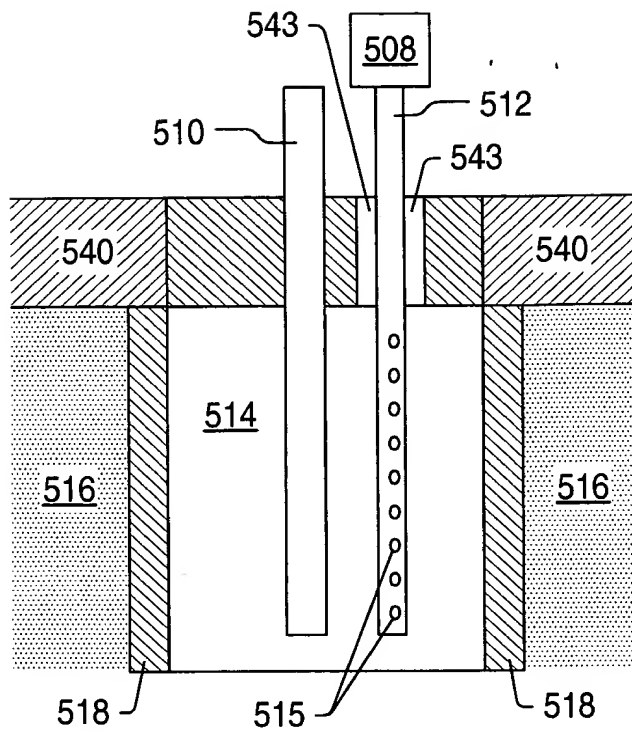


FIG. 14

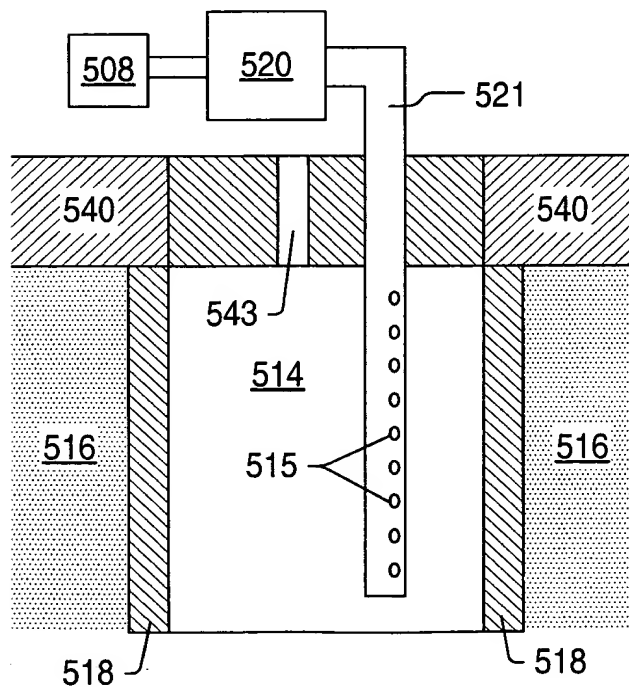


FIG. 15

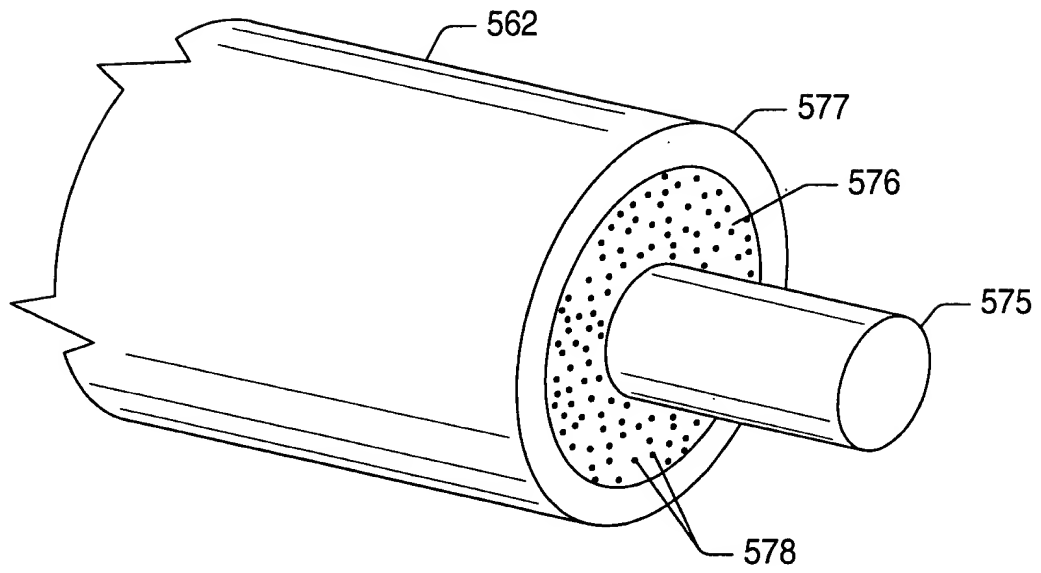


FIG. 16

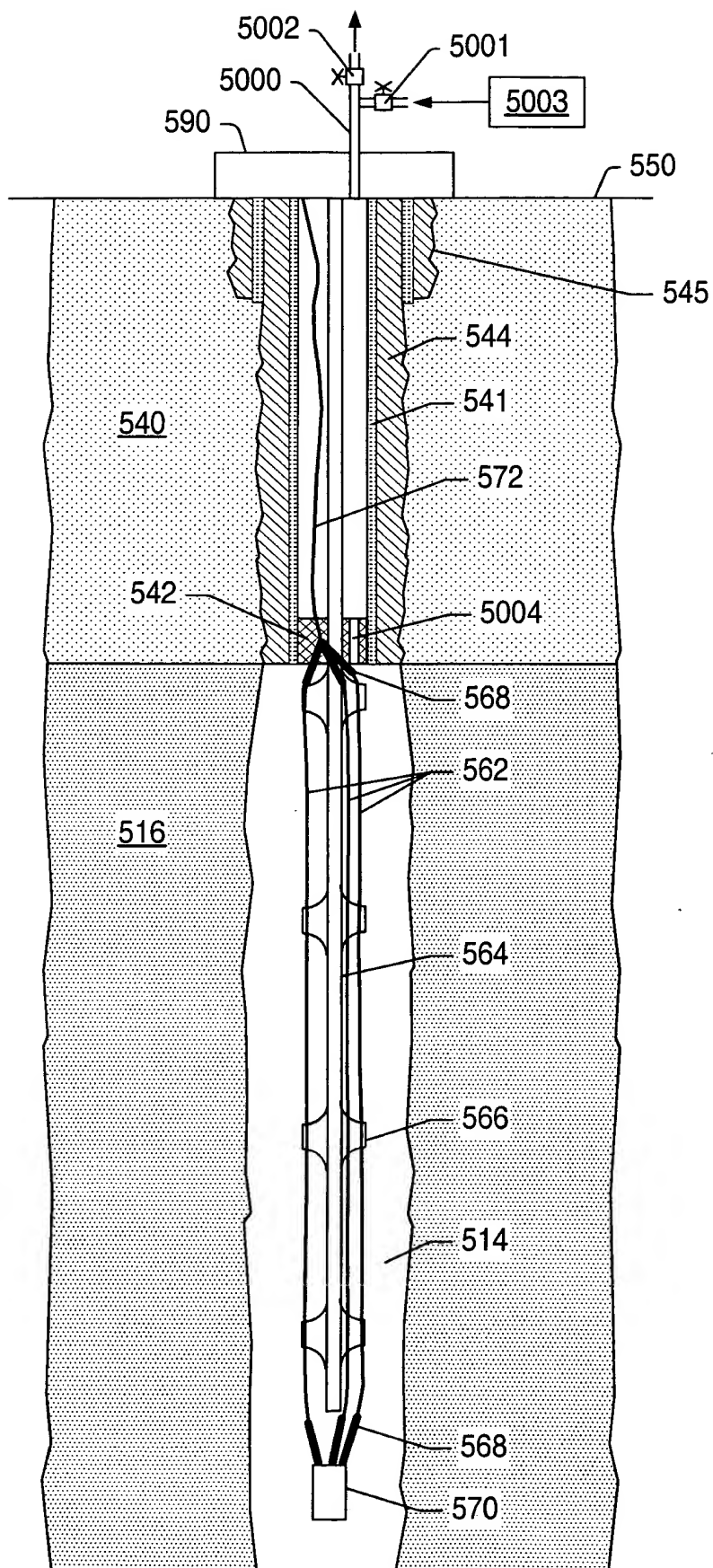


FIG. 17

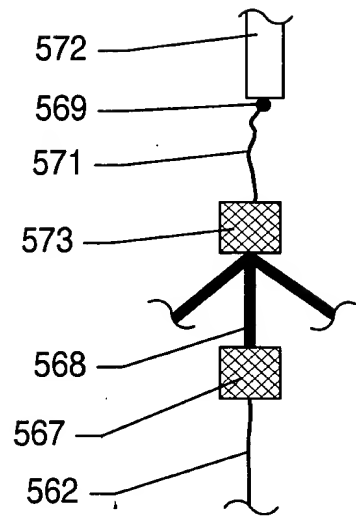


FIG. 17A

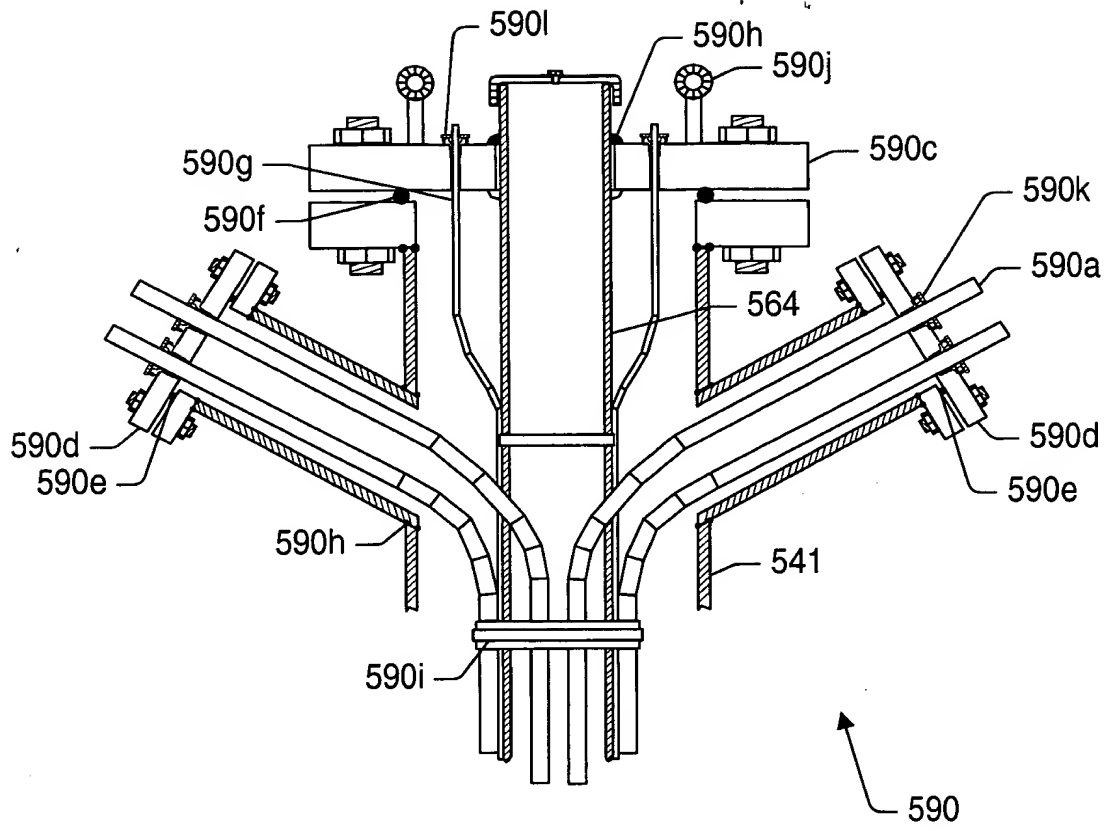


FIG. 18

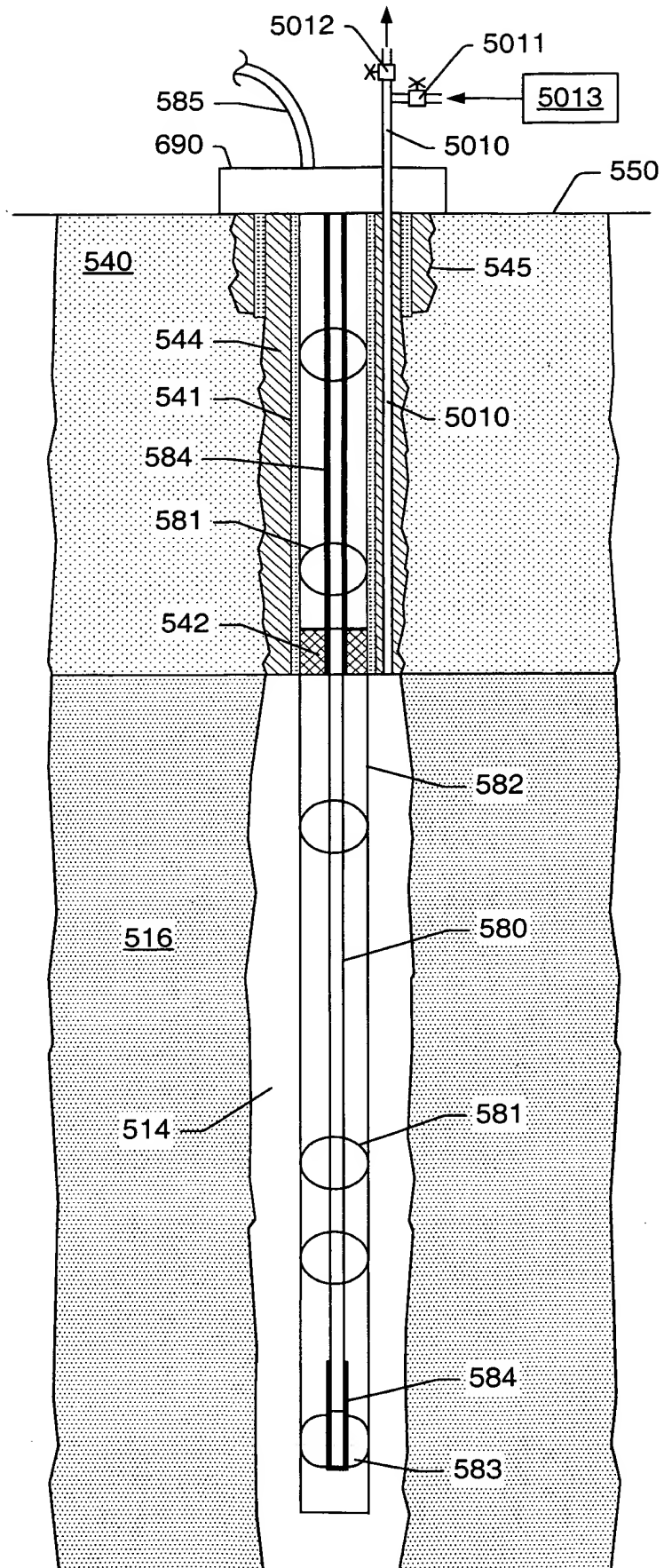


FIG. 19

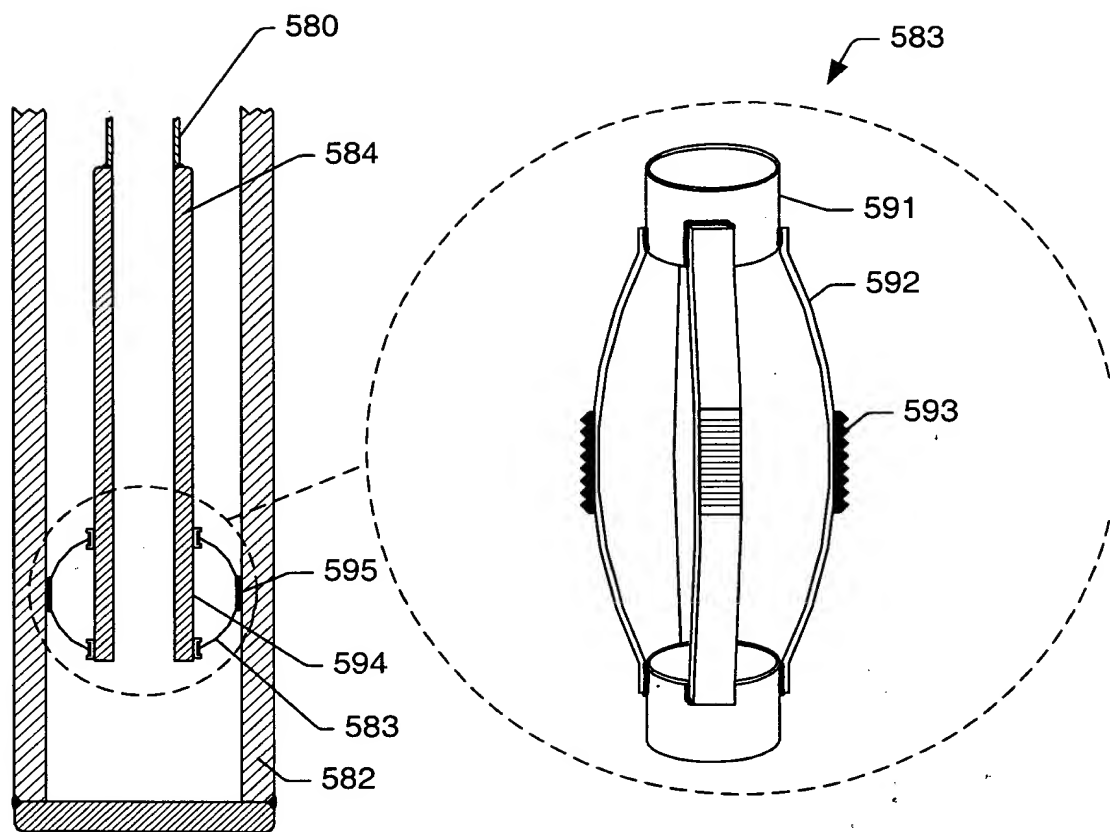


FIG. 20

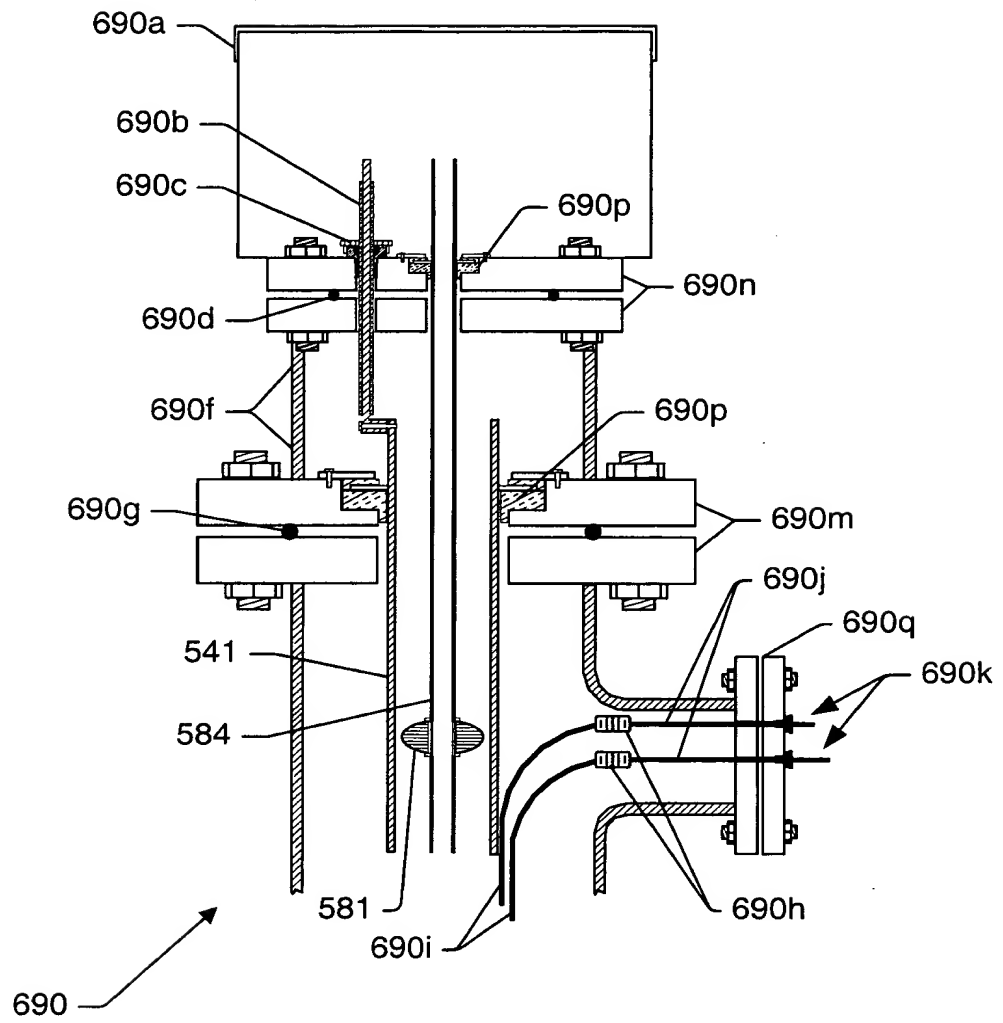


FIG. 21

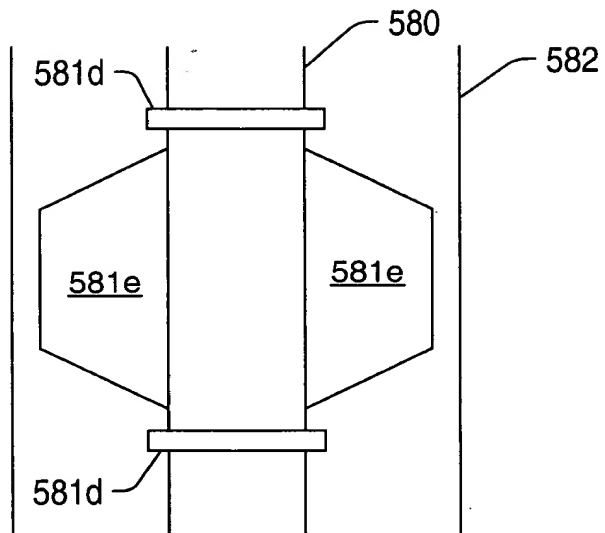


FIG. 23a

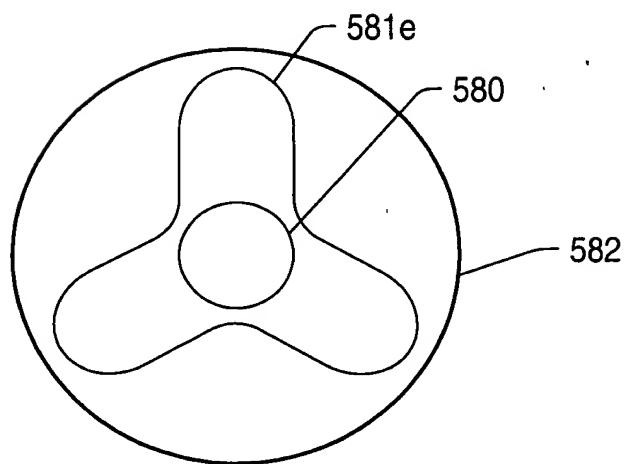


FIG. 23b

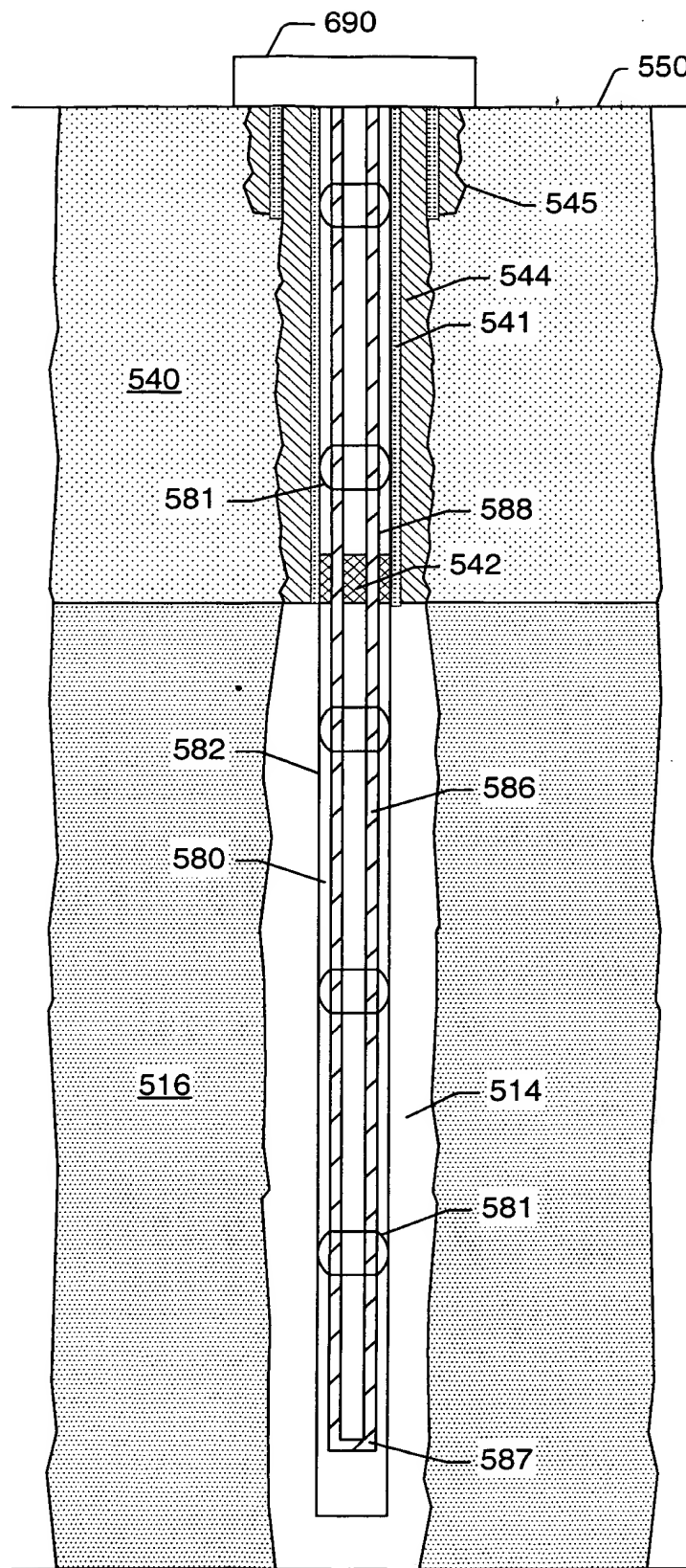


Fig. 24

FIG. 25

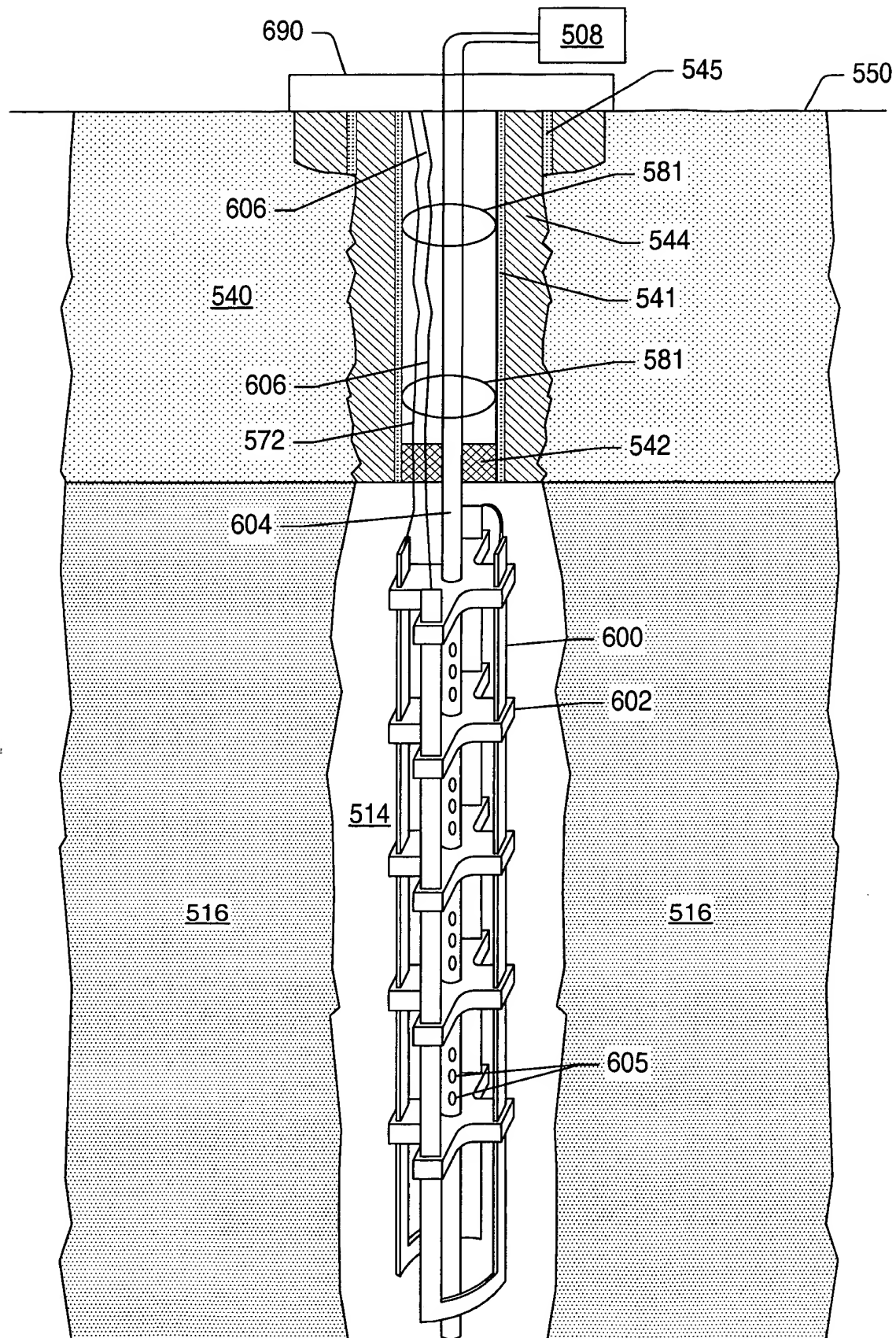


FIG. 25

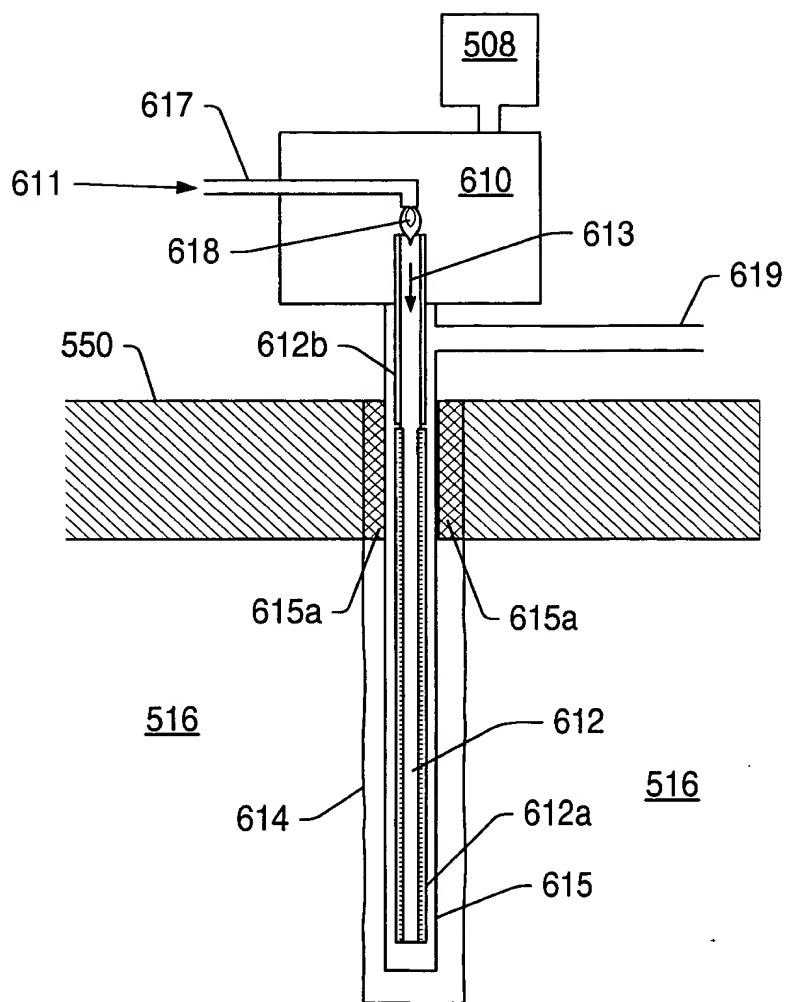


FIG. 26

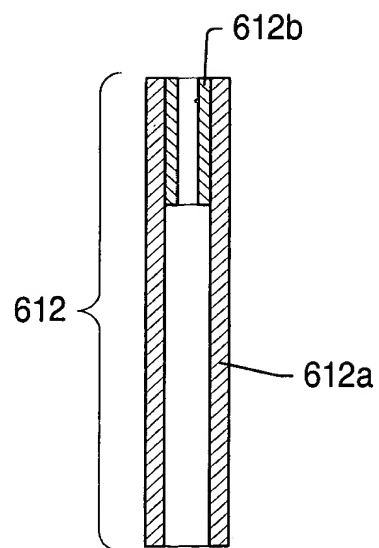


FIG. 27

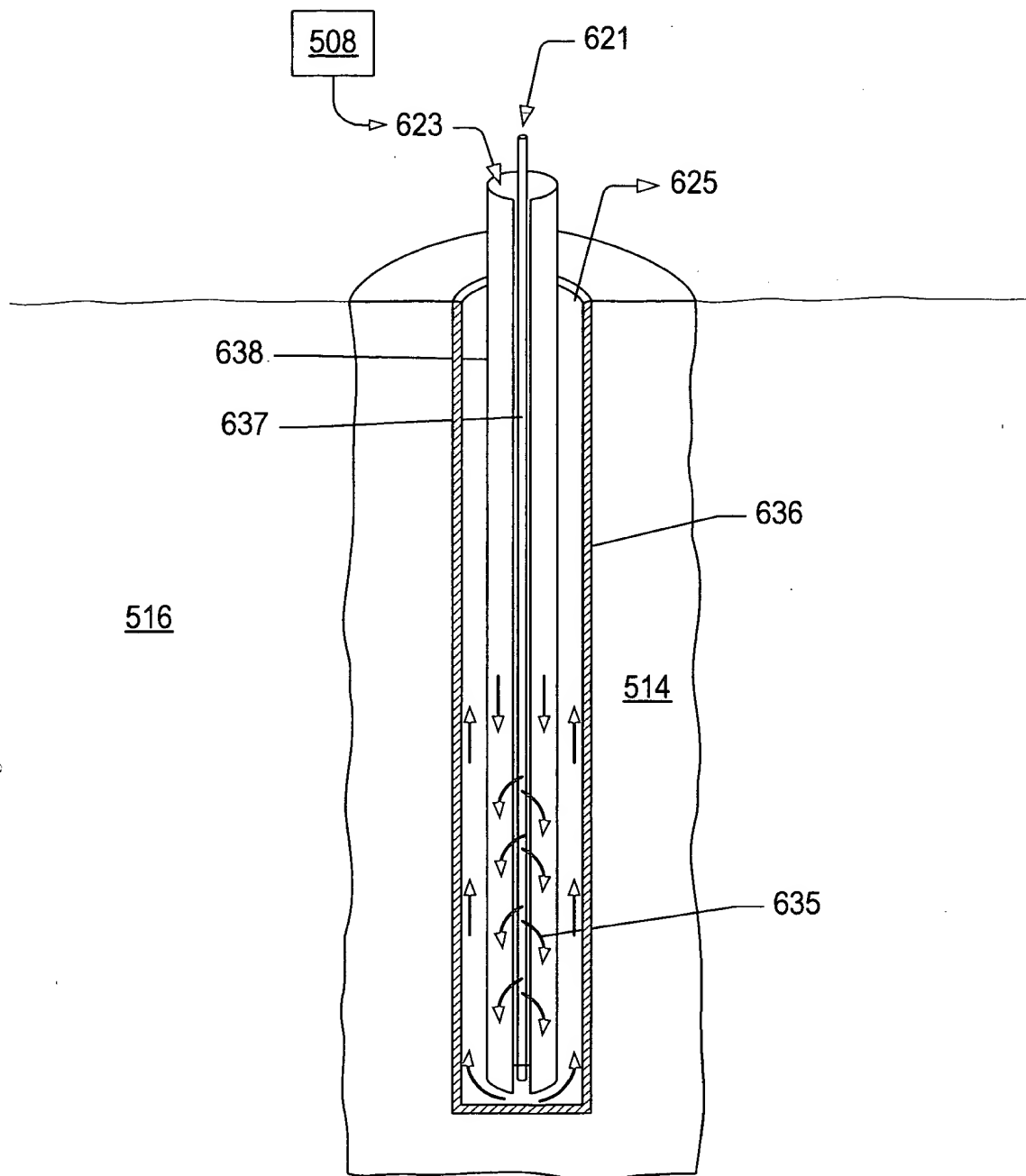


FIG. 28

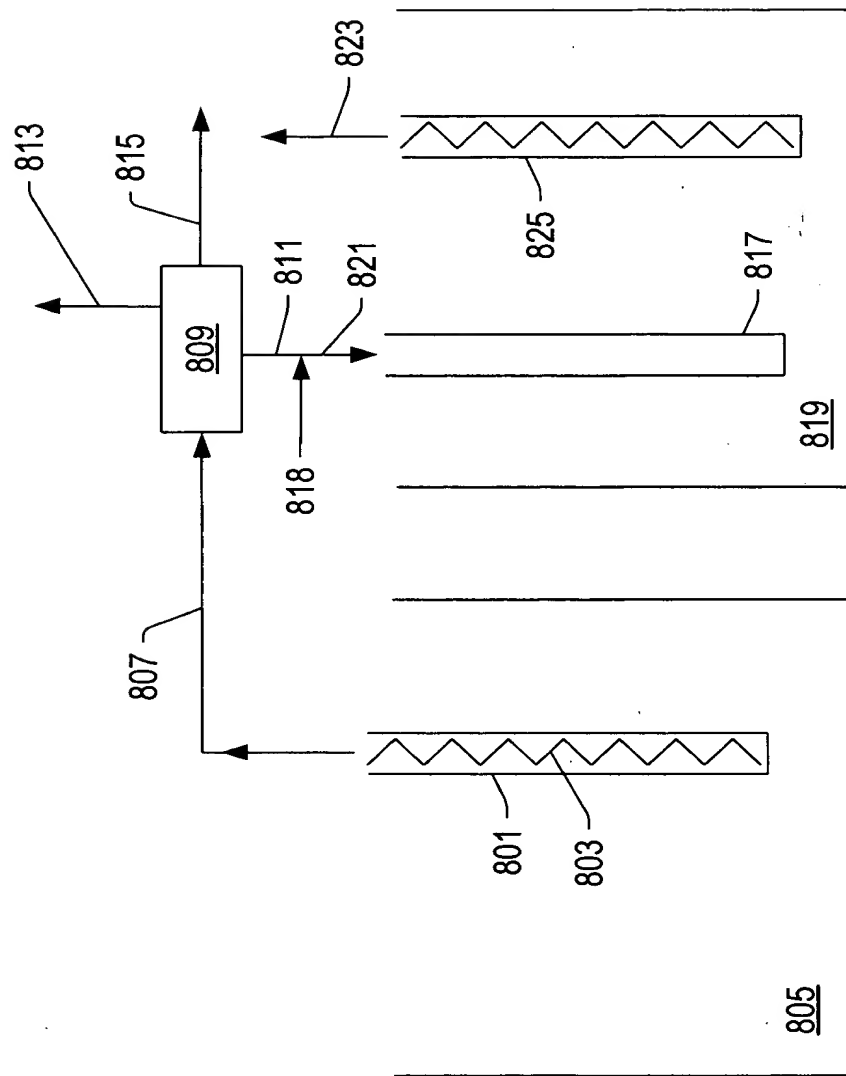


FIG. 29

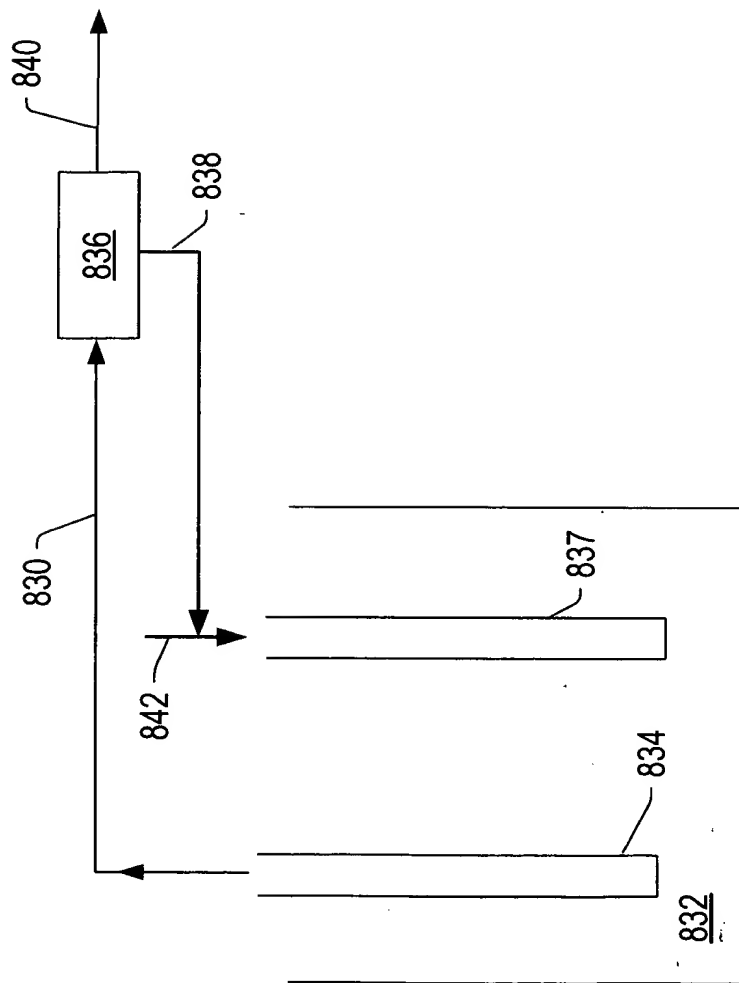


FIG. 30

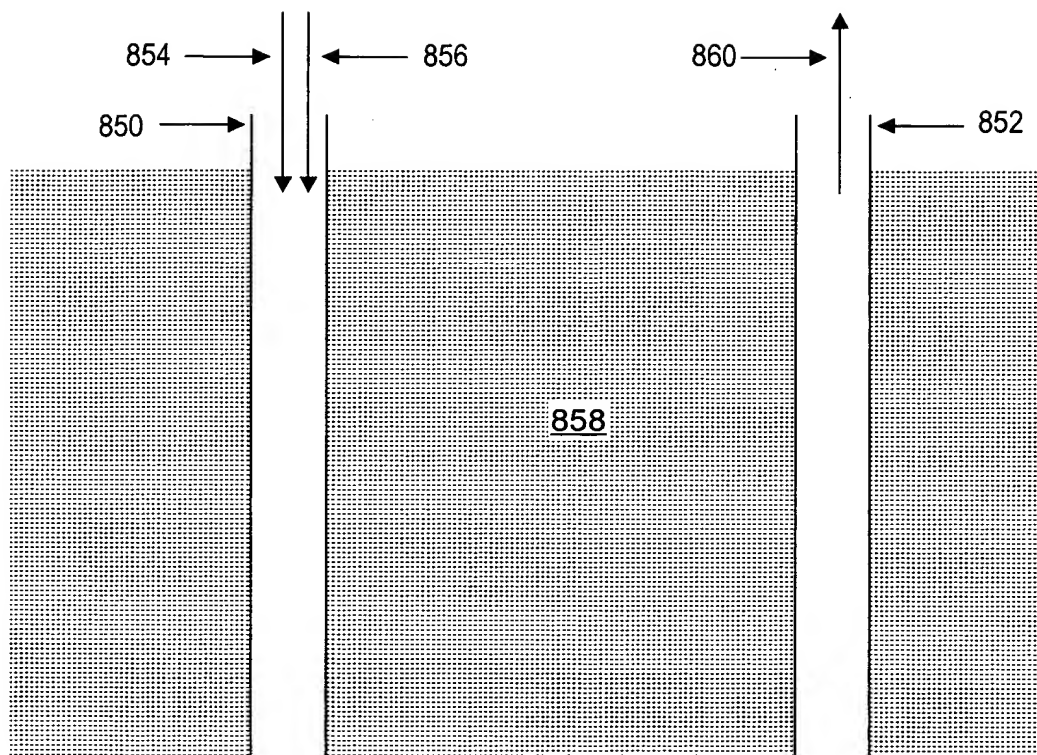


FIG. 31

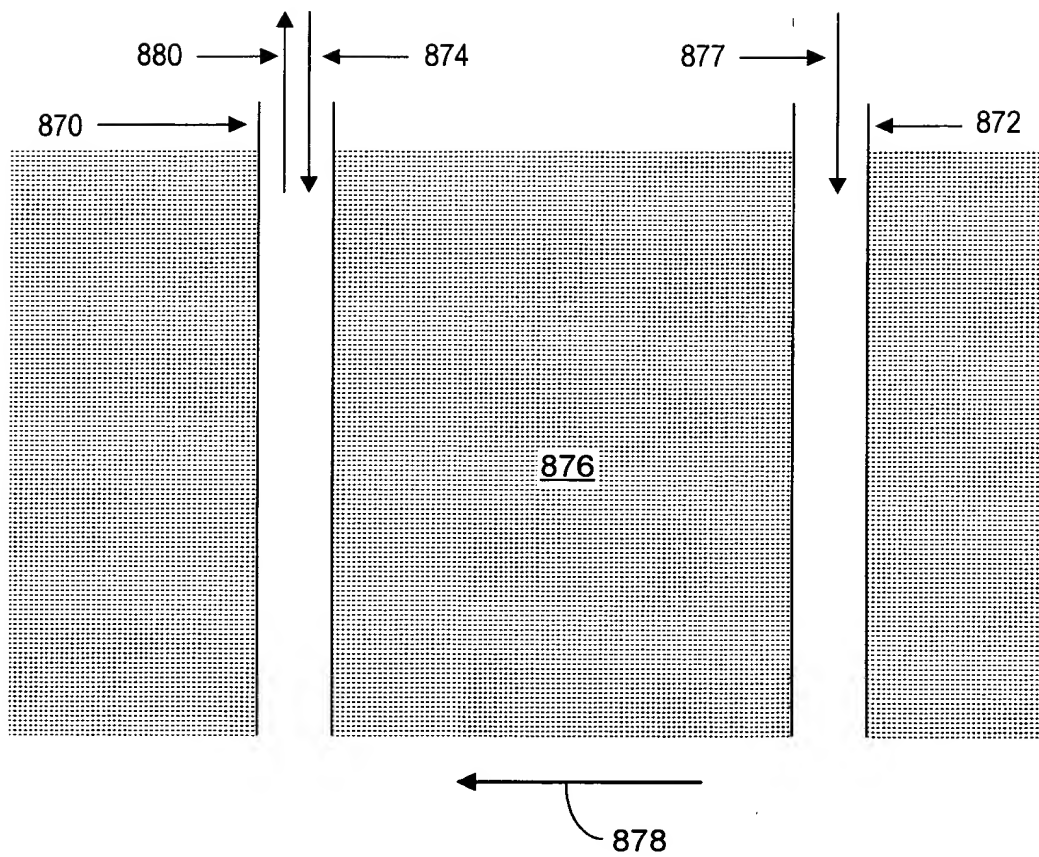


FIG. 32

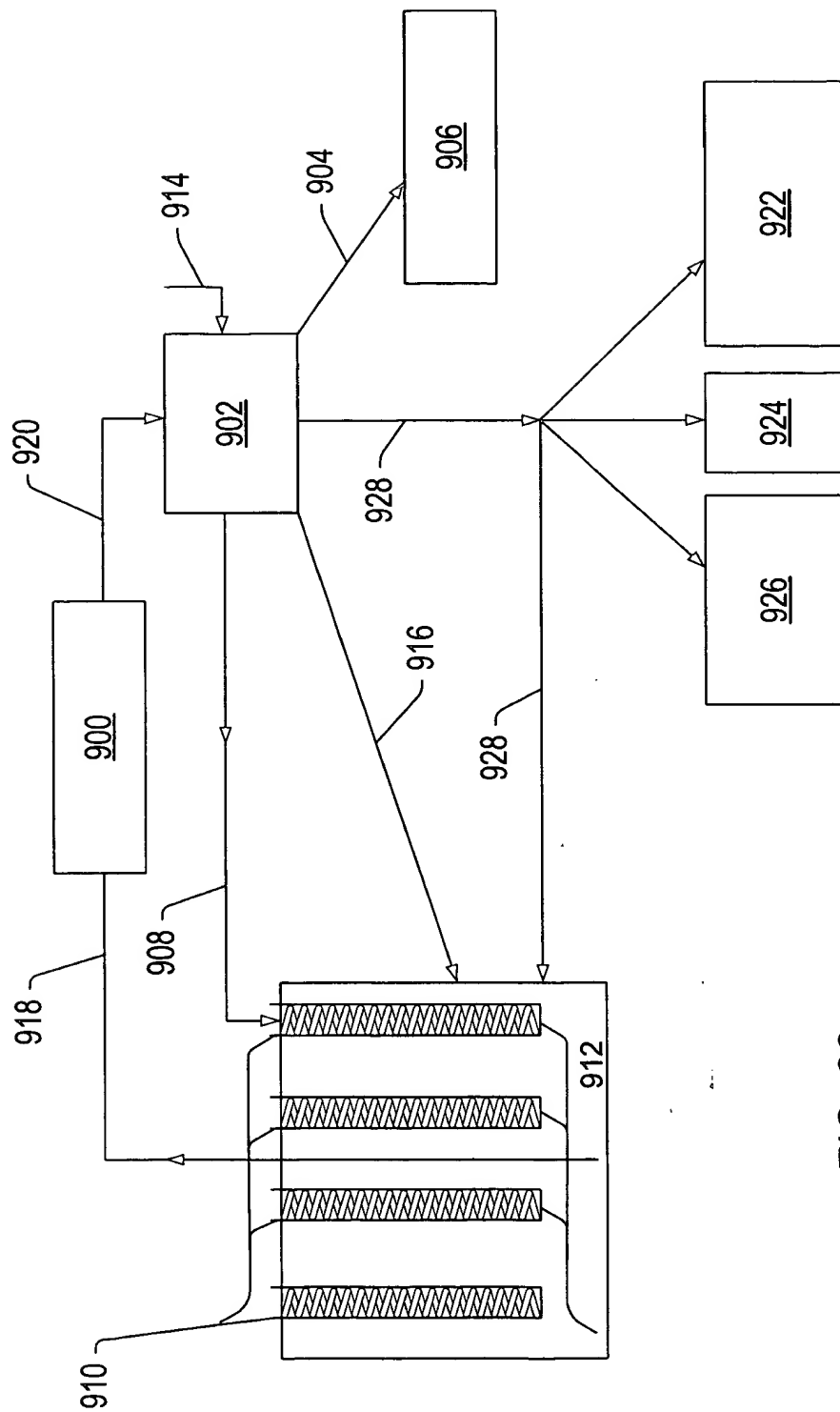


FIG. 33

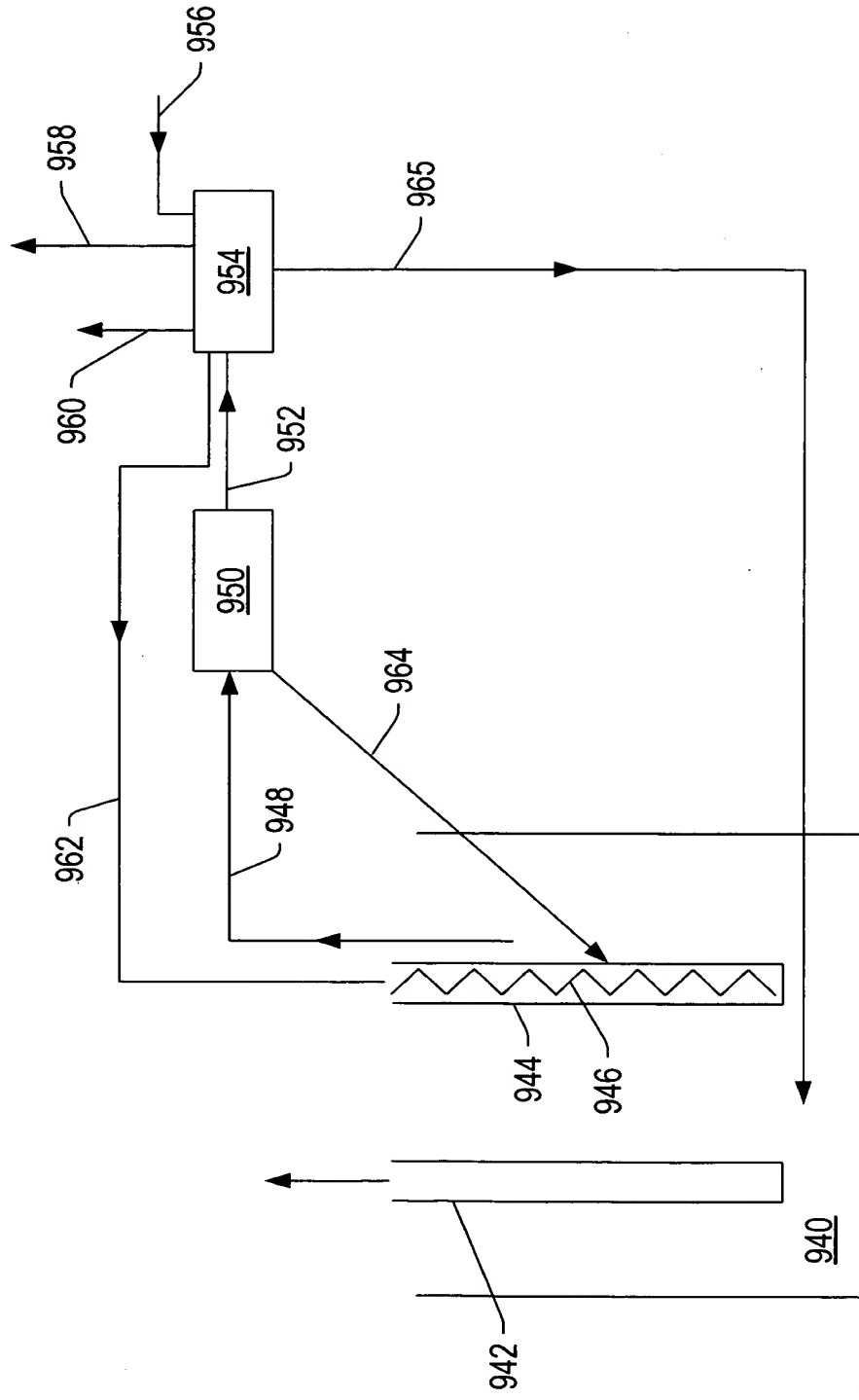


FIG. 34

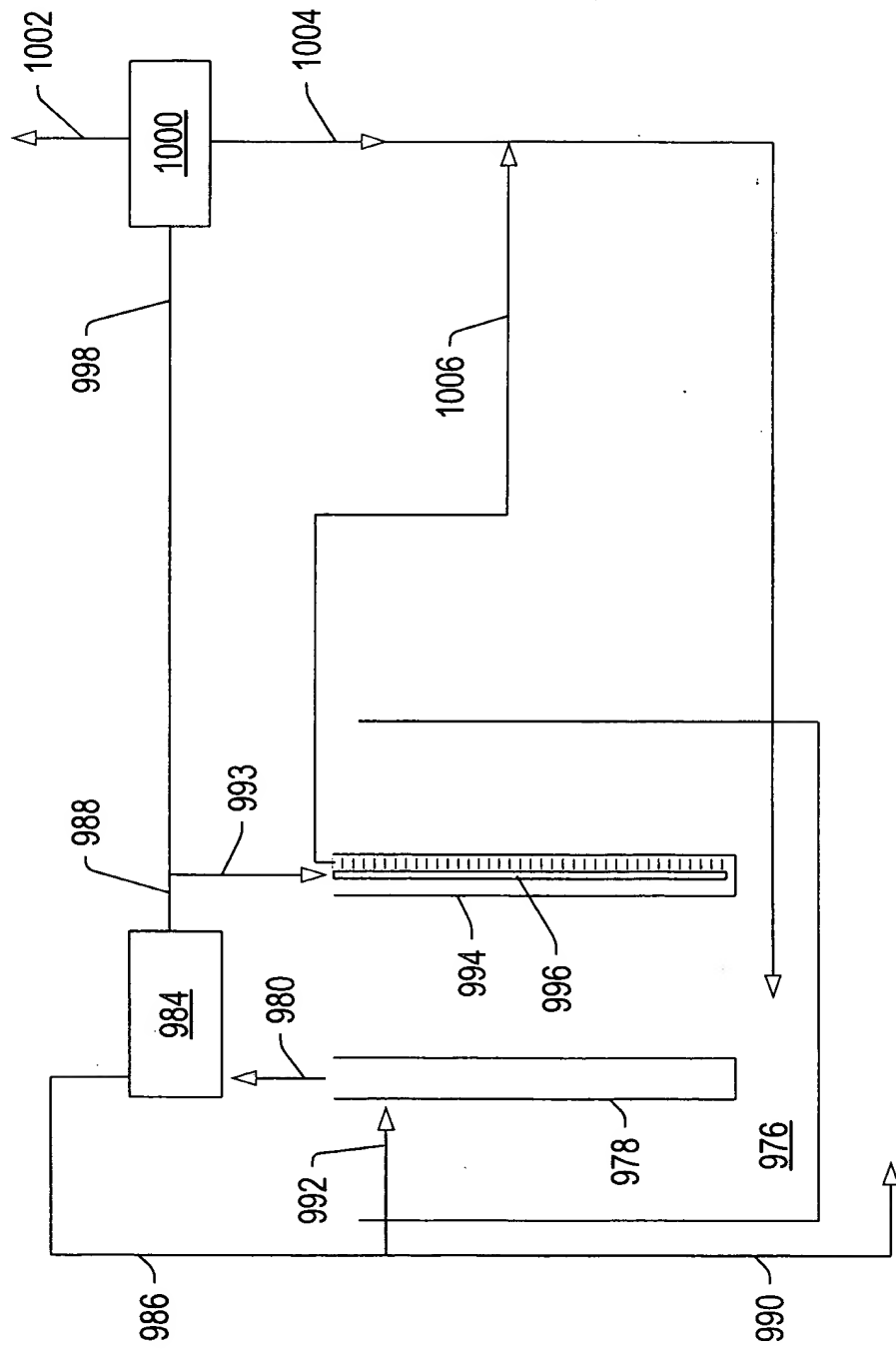


FIG. 35

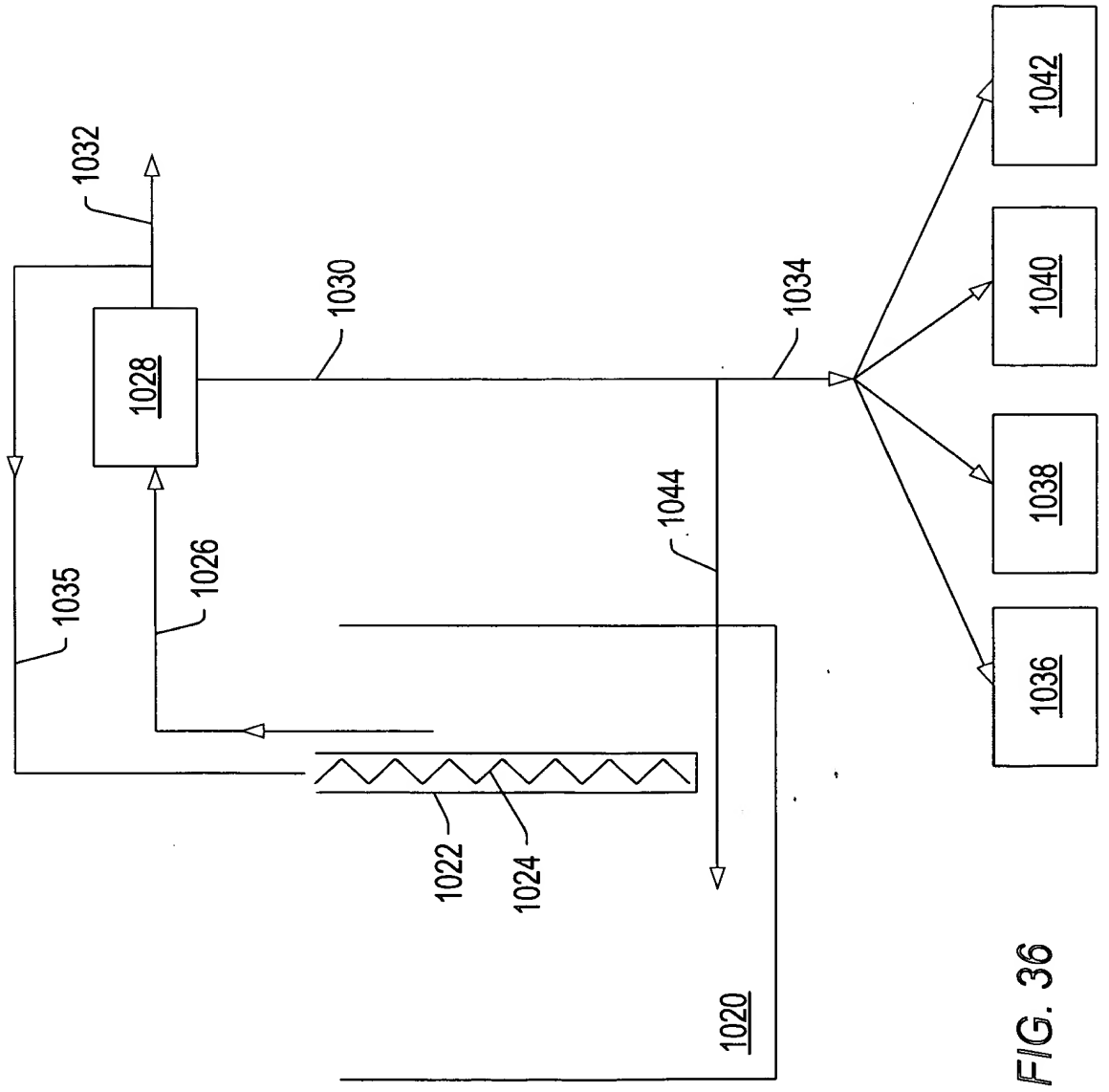


FIG. 36

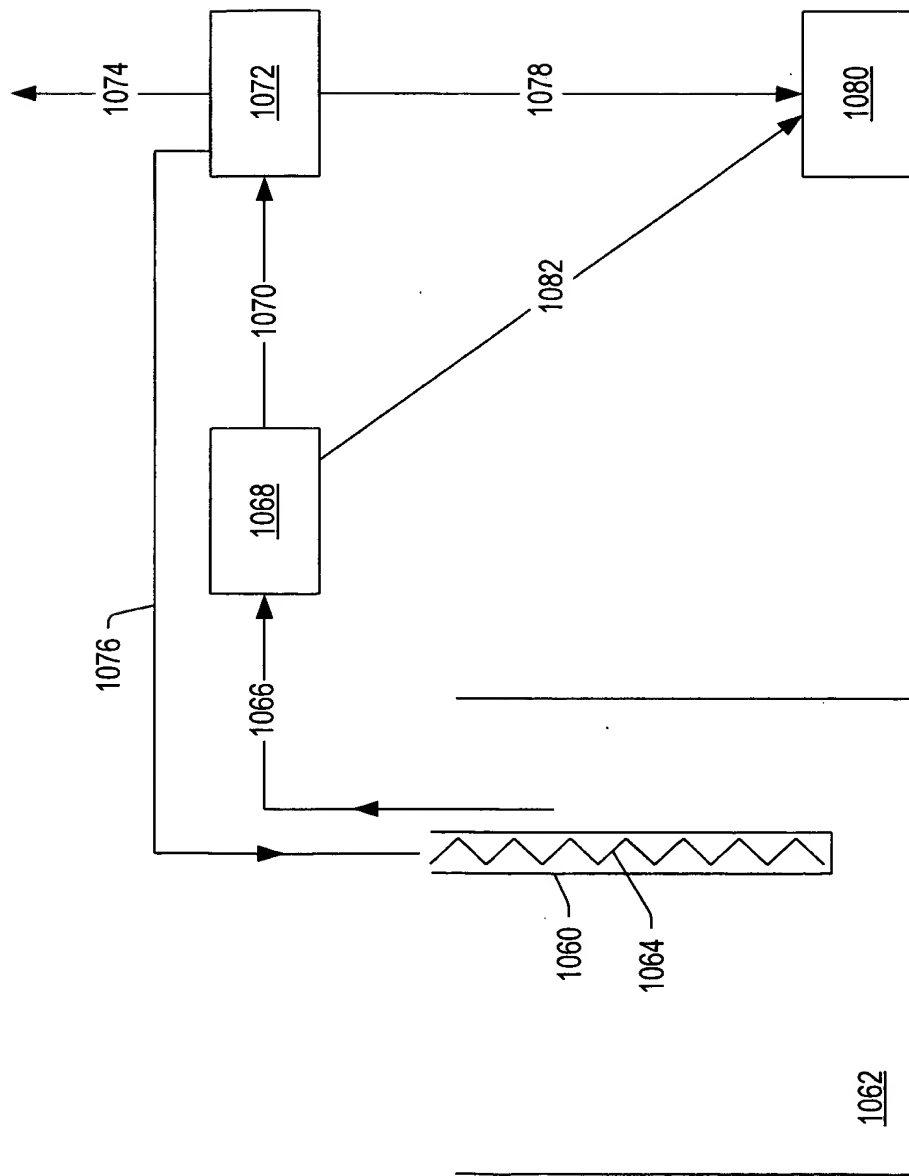


FIG. 37

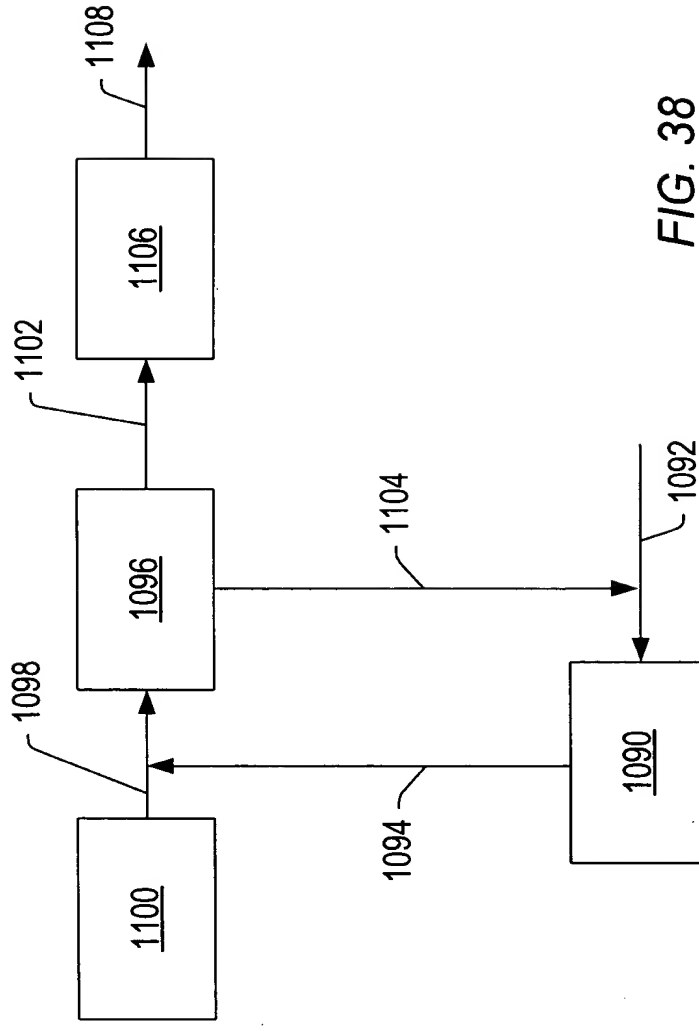


FIG. 38

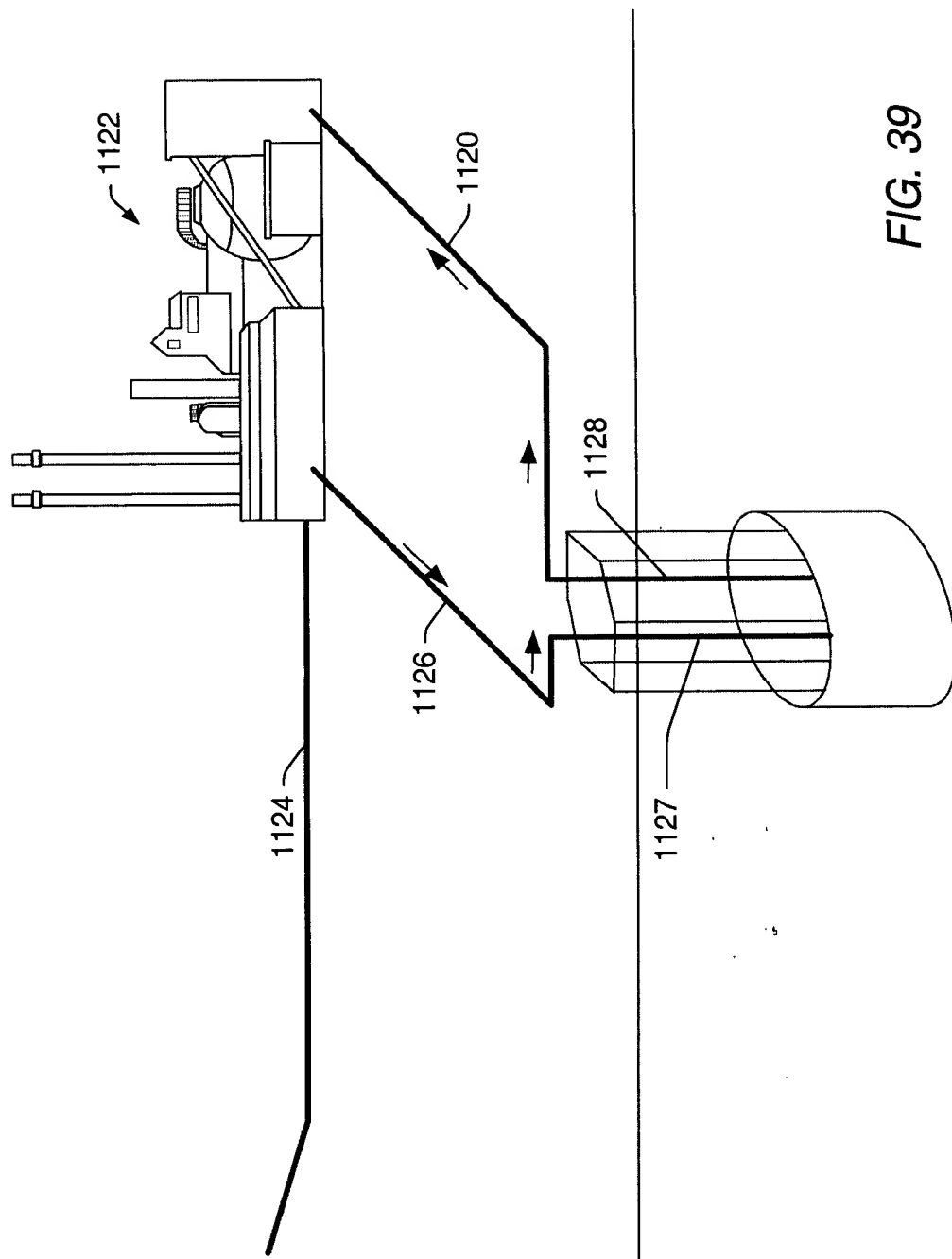


FIG. 39

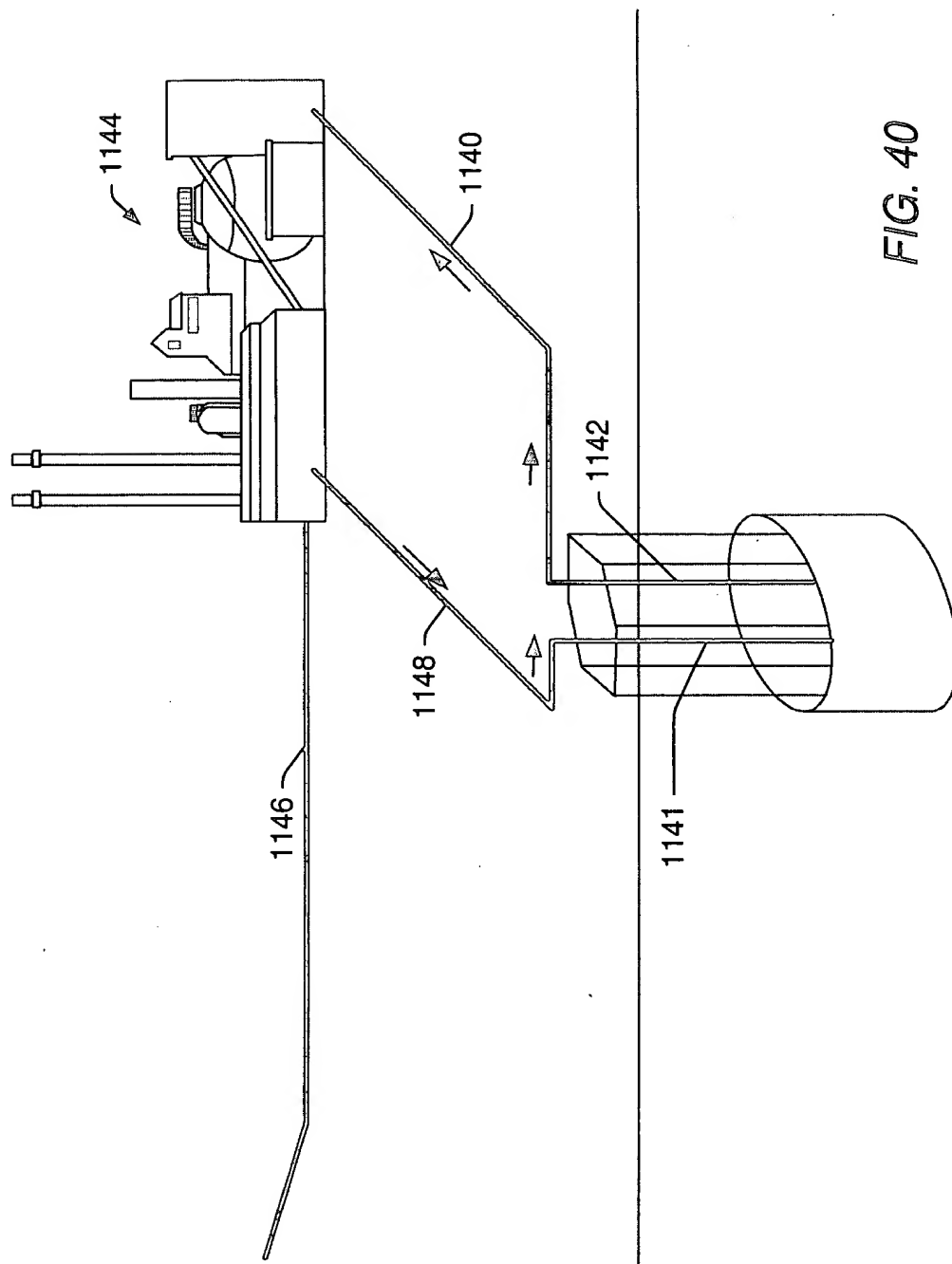


FIG. 40

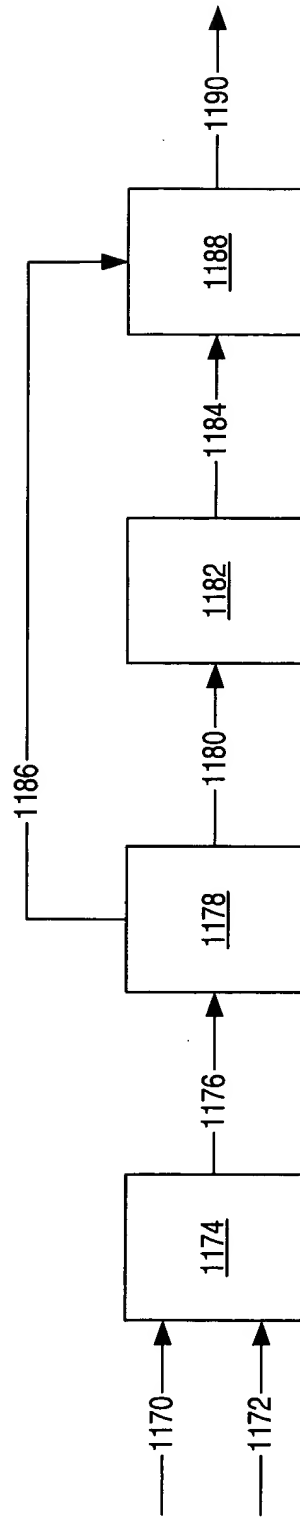


FIG. 41

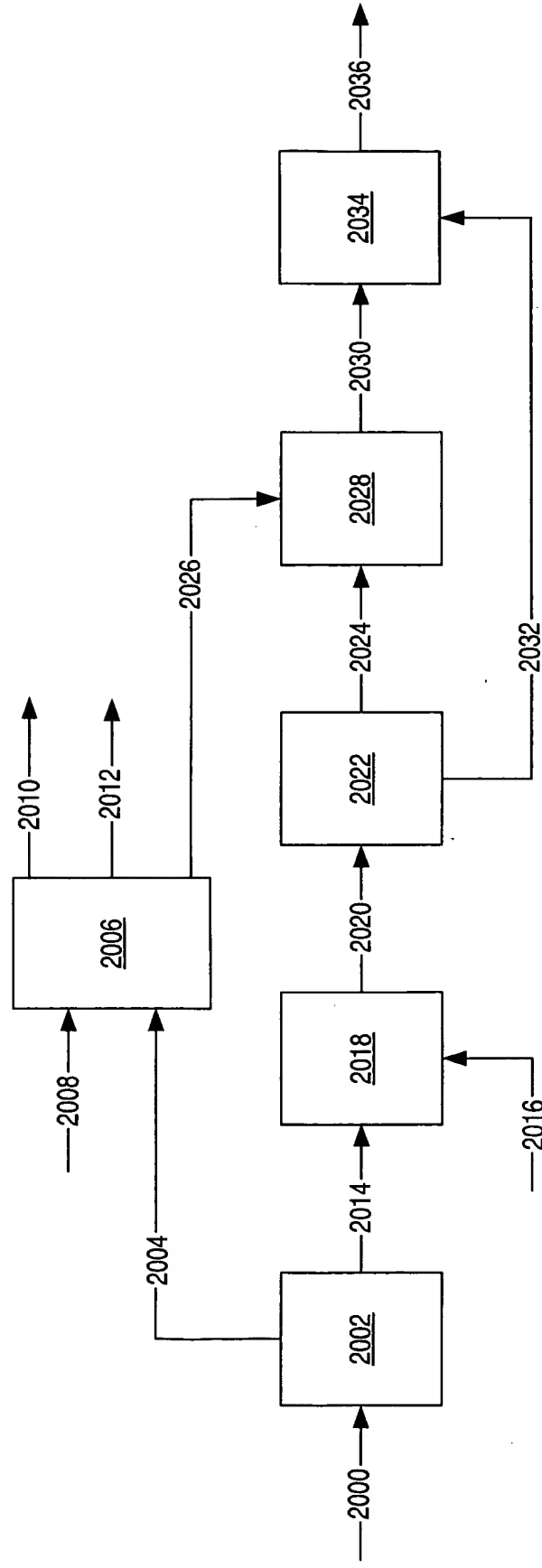


FIG. 42

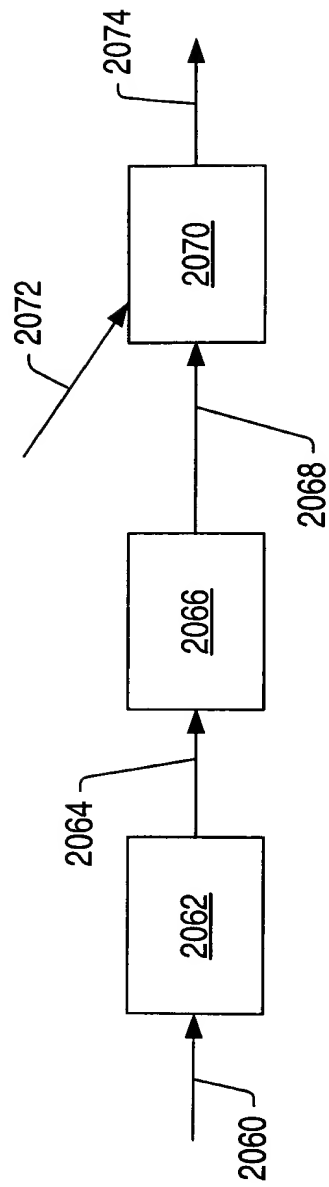


FIG. 43

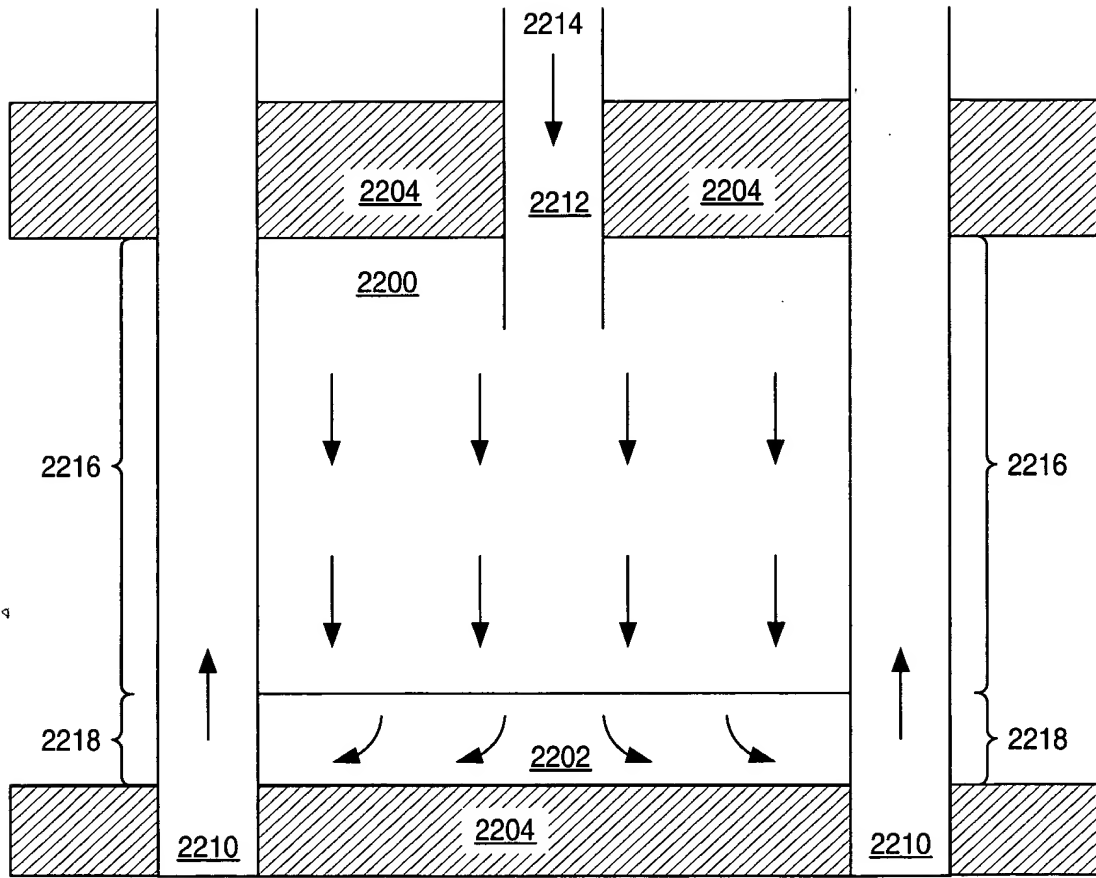


FIG. 44

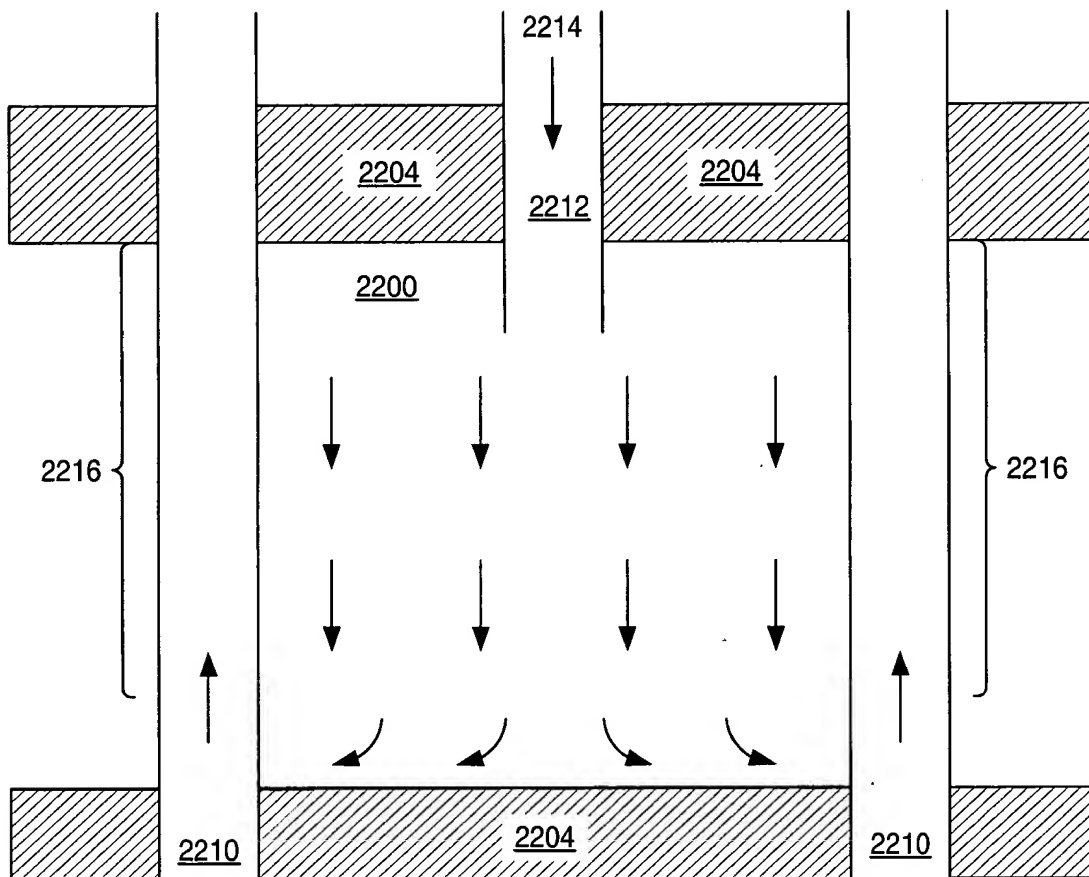


FIG. 45

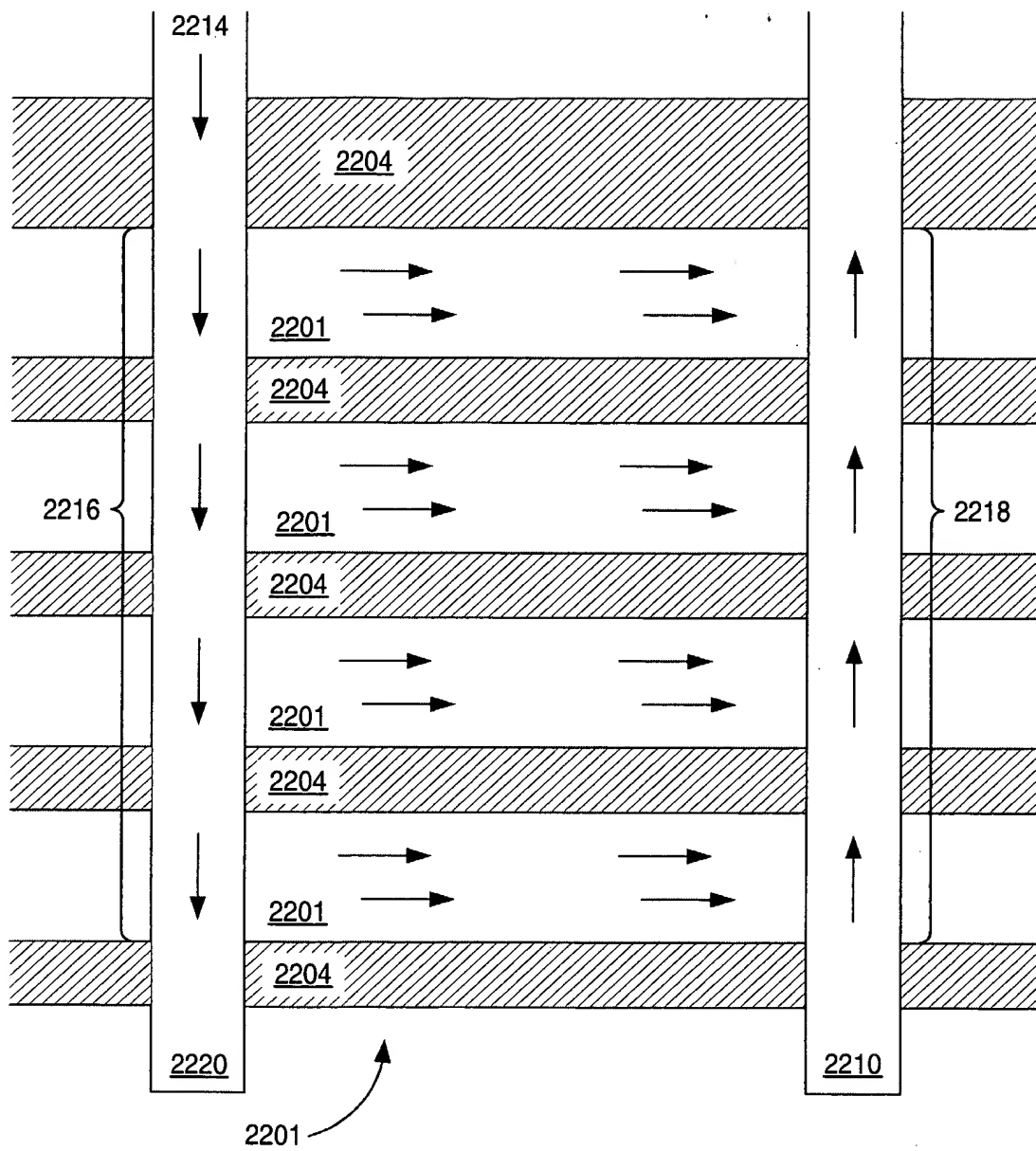


FIG. 46

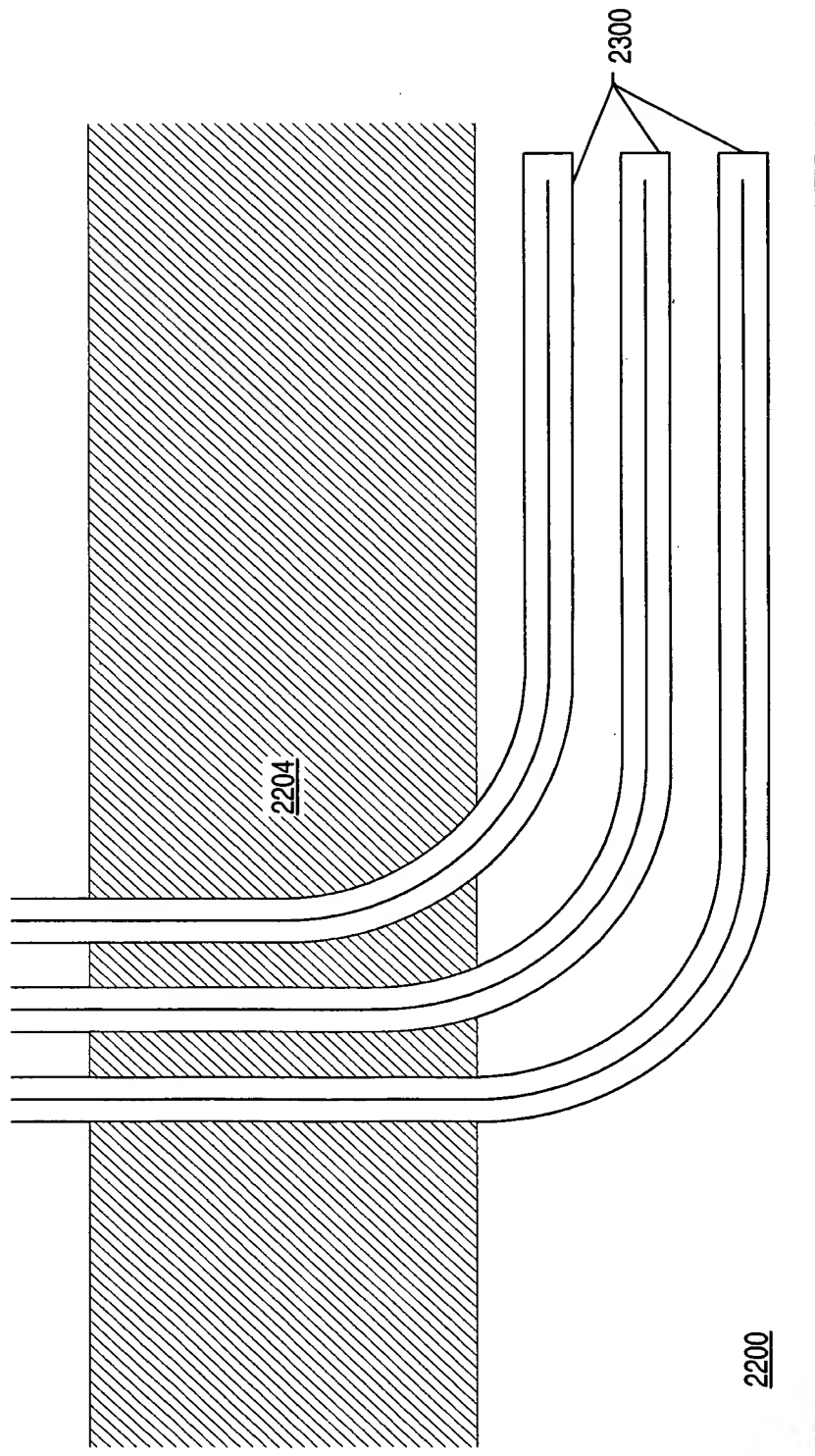


FIG. 47

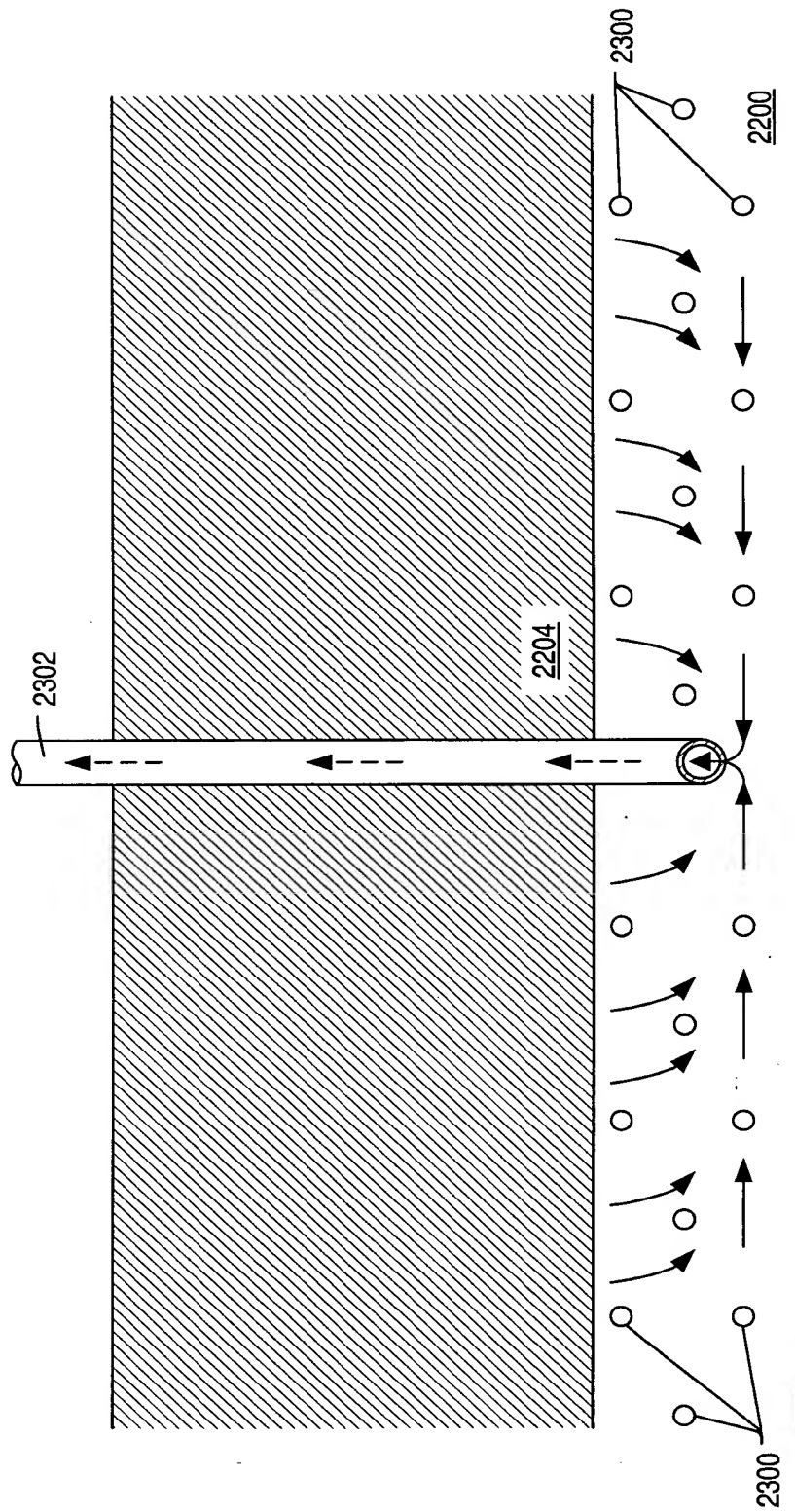


FIG. 48

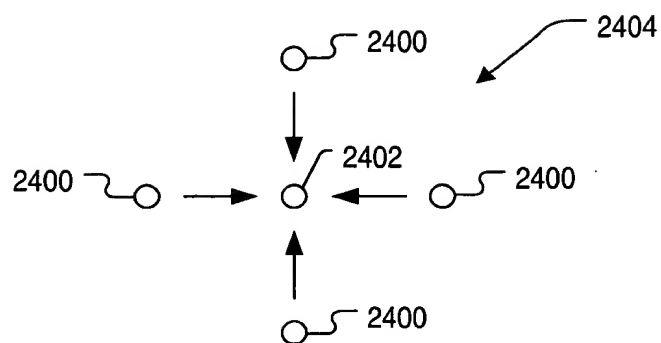


FIG. 49

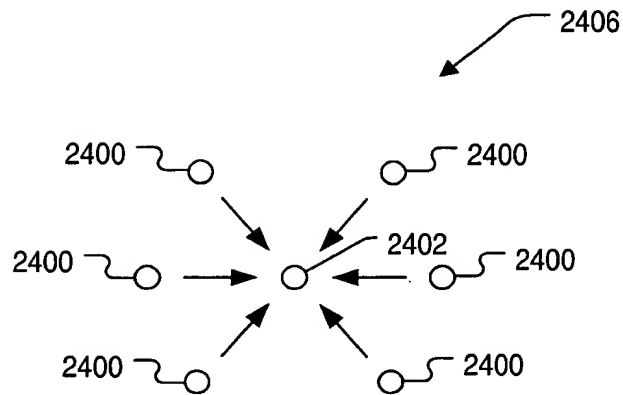


FIG. 50

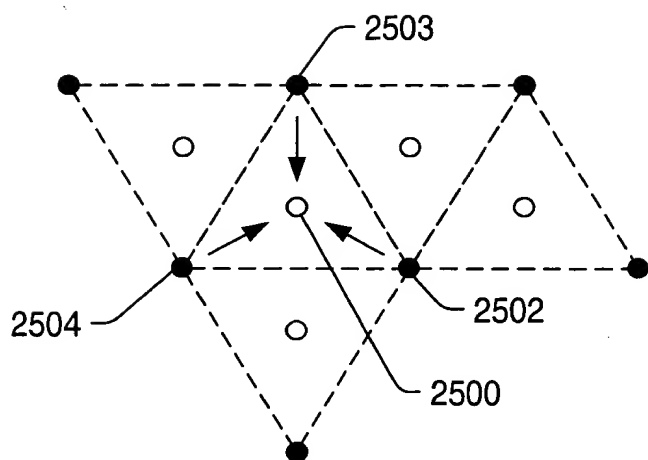


FIG. 51

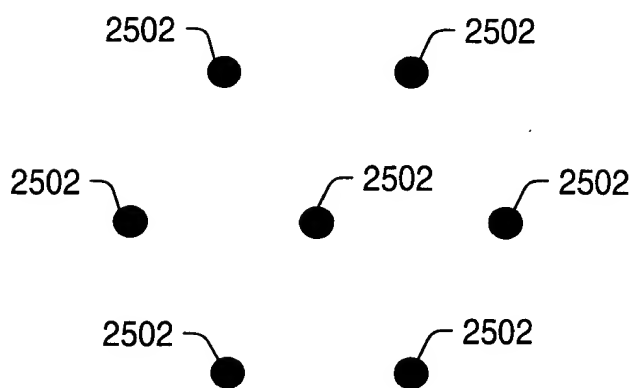


FIG. 52

FIG. 53

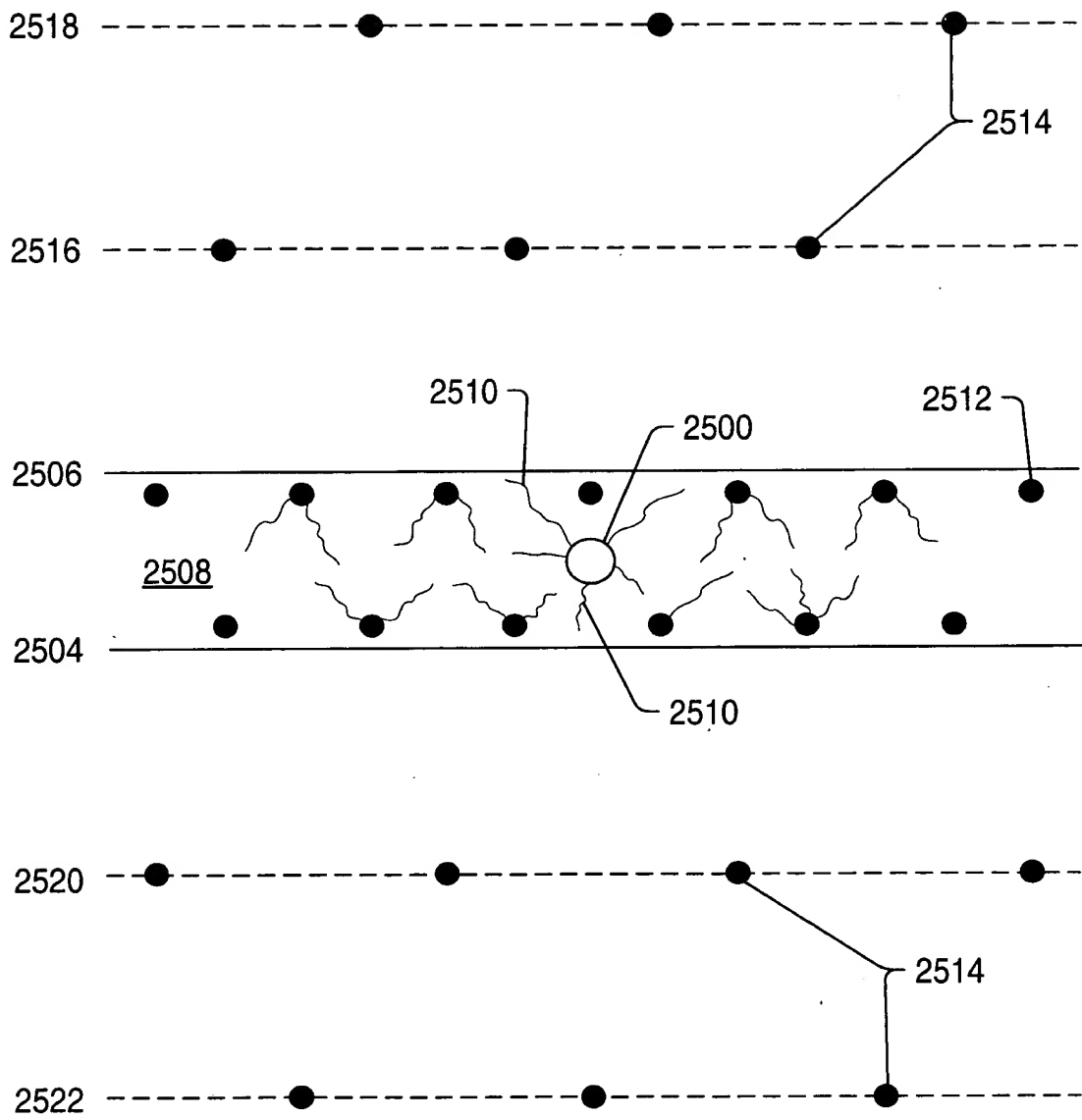


FIG. 53

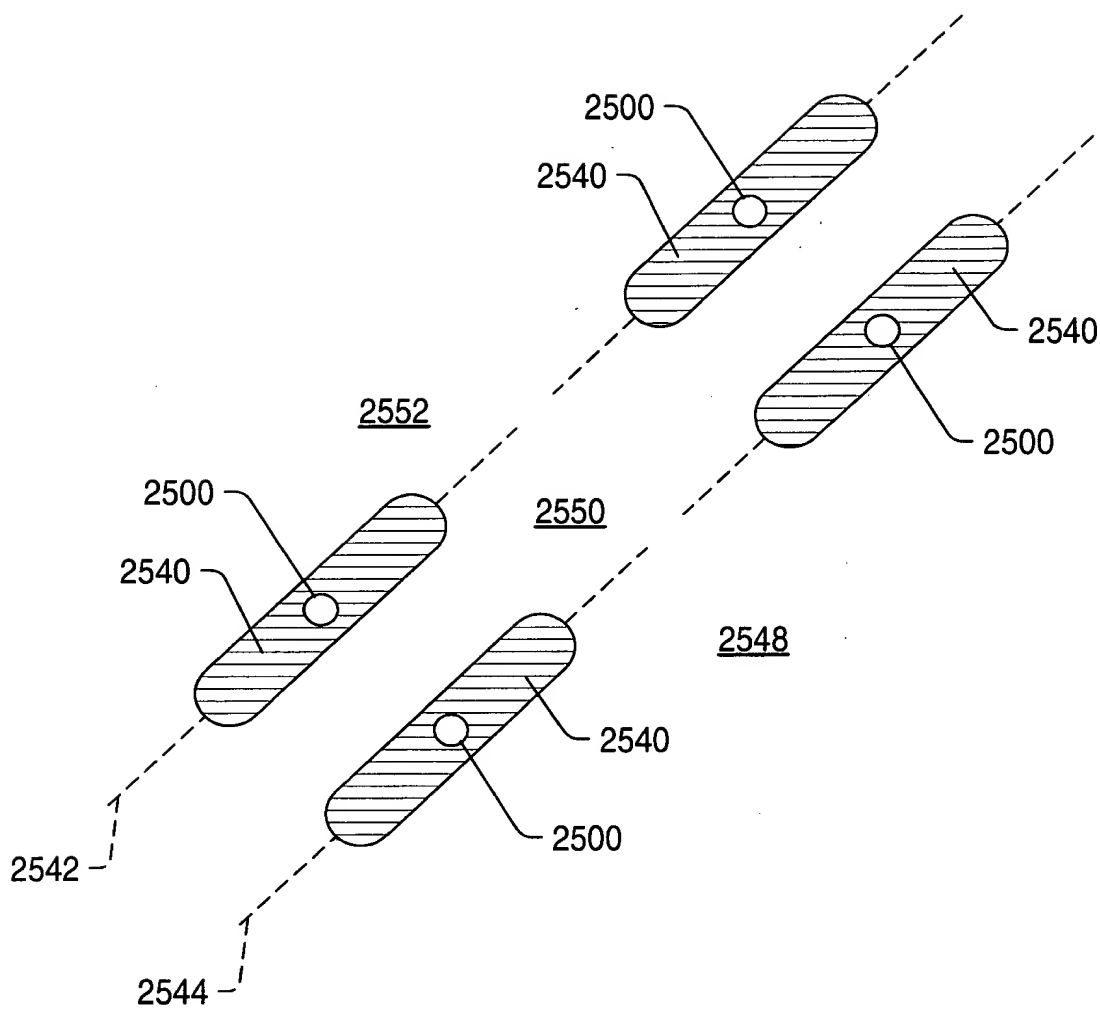


FIG. 54

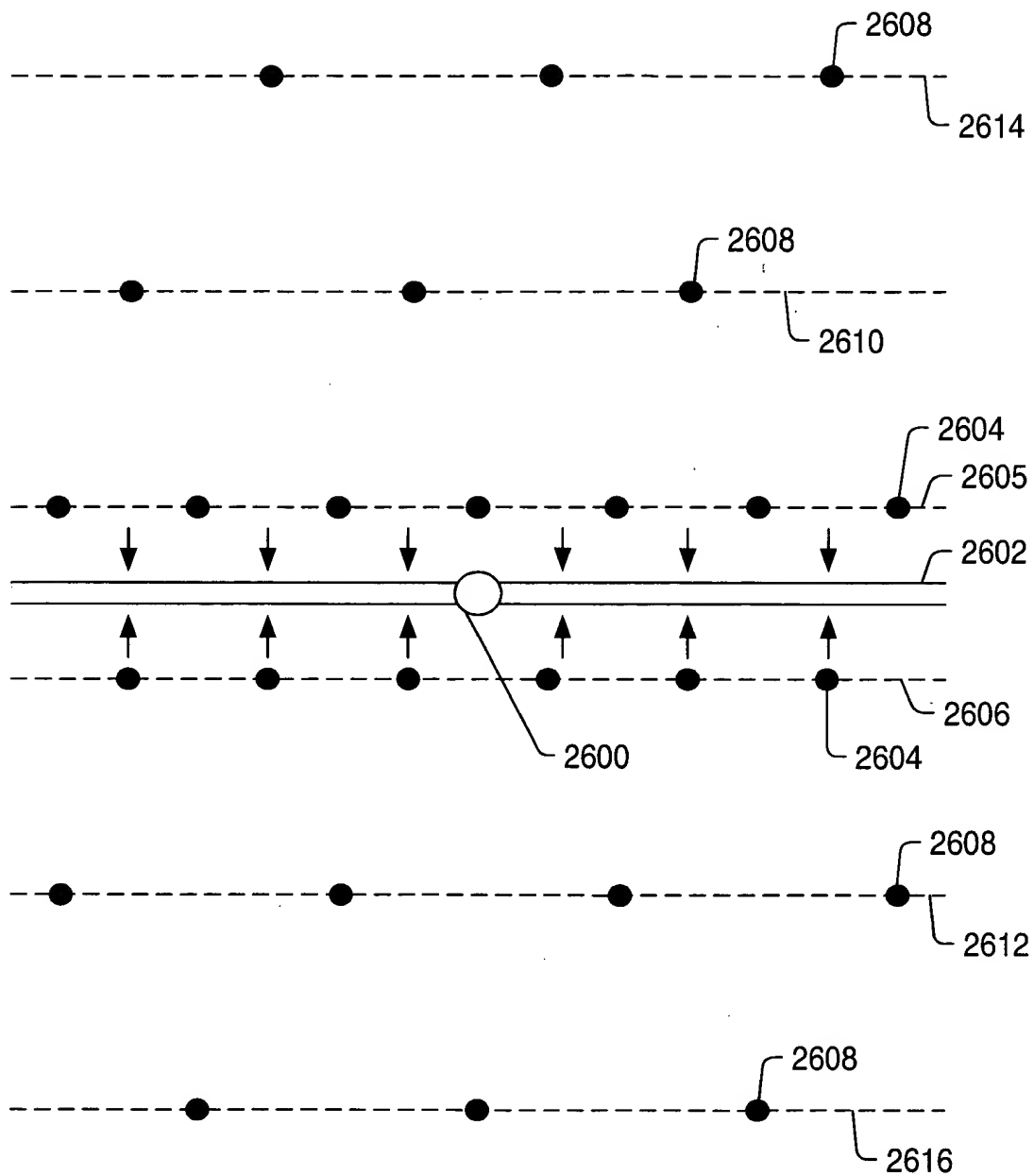


FIG. 55

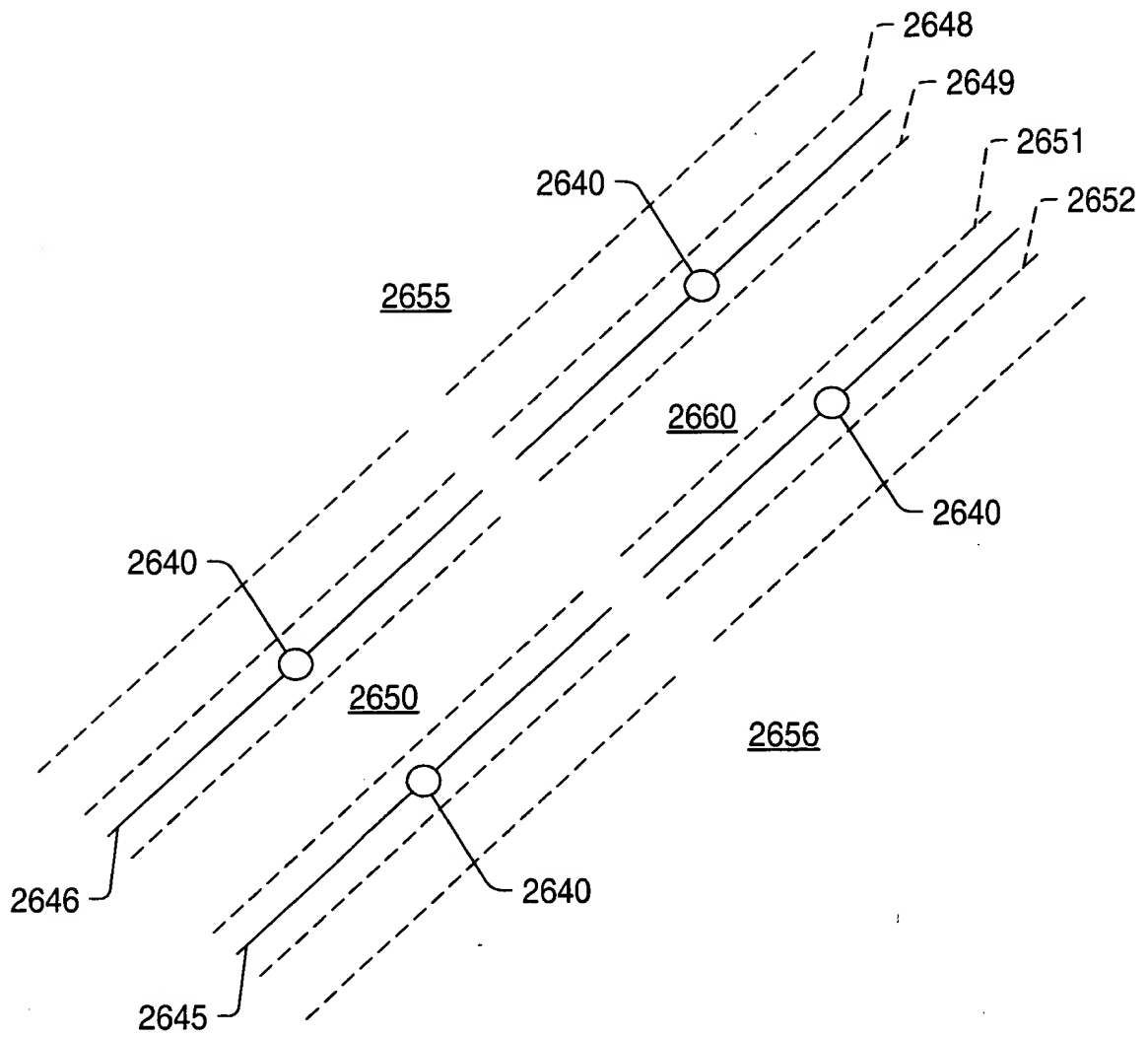


FIG. 56

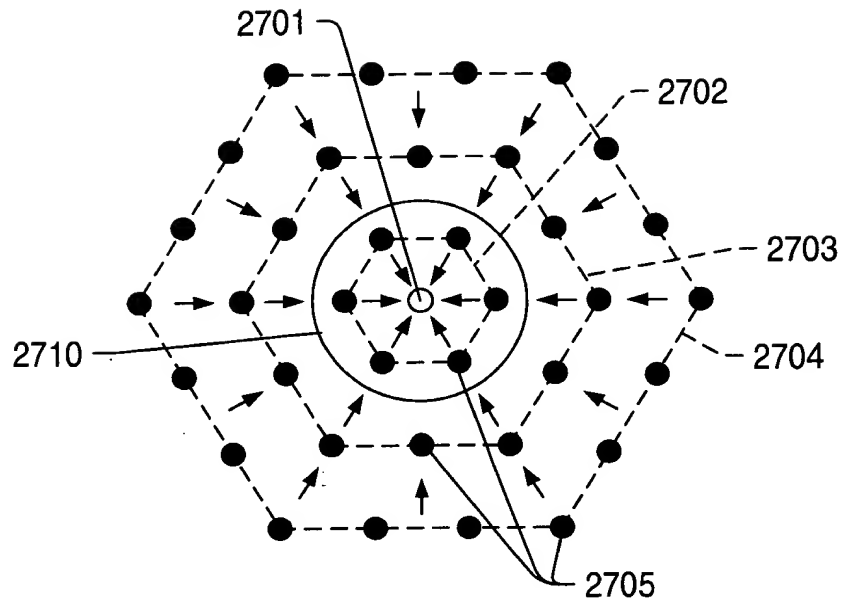


FIG. 57

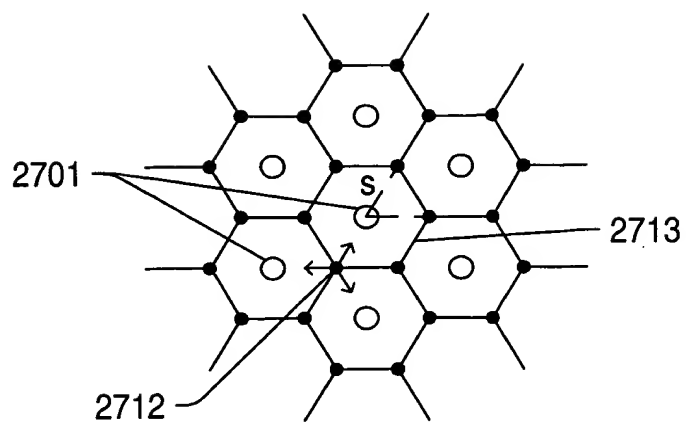


FIG. 58

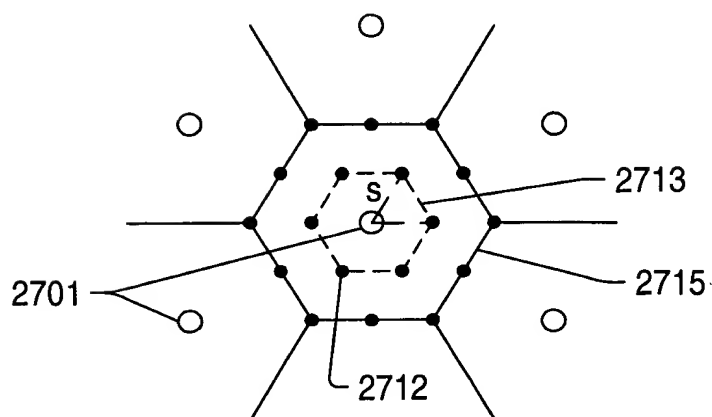


FIG. 59

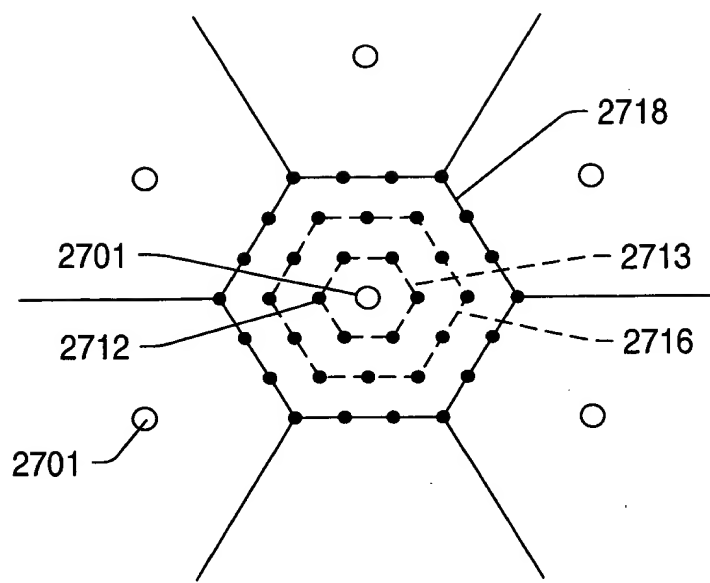


FIG. 60

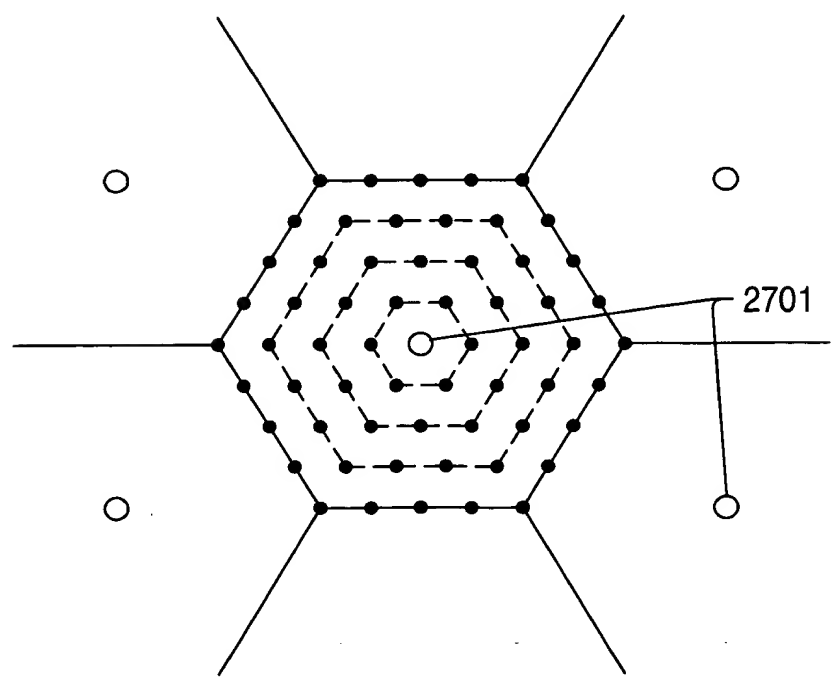


FIG. 61

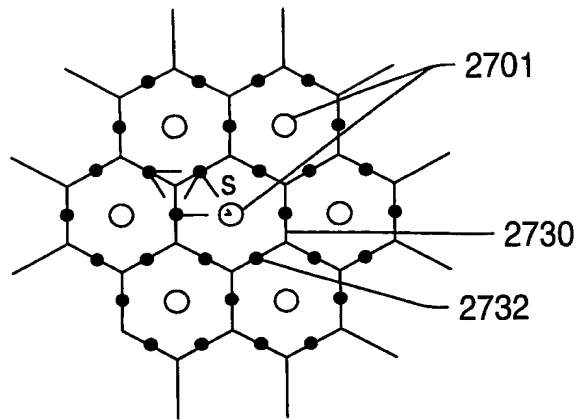


FIG. 62

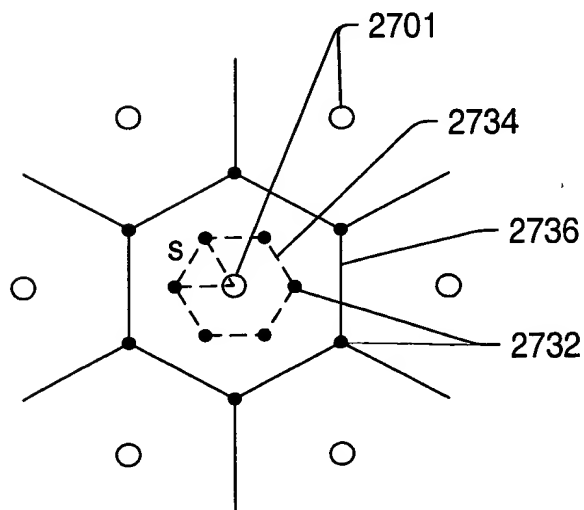


FIG. 63

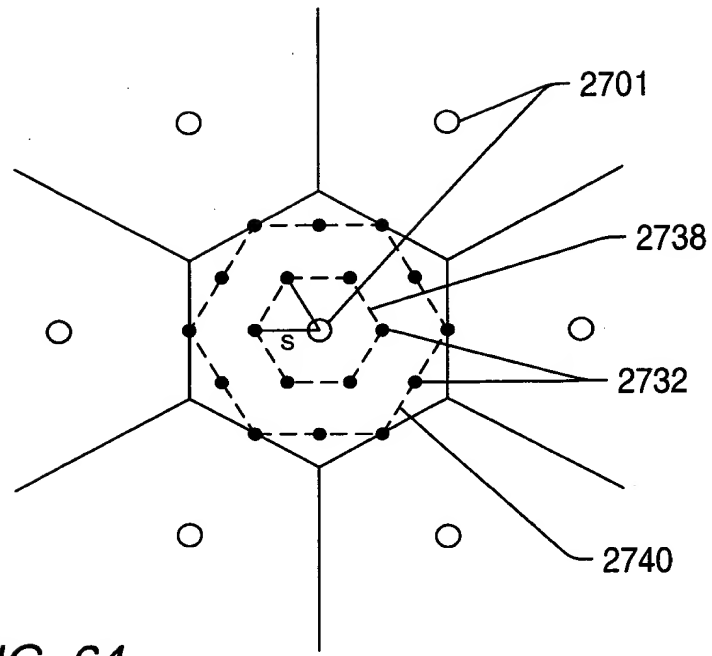


FIG. 64

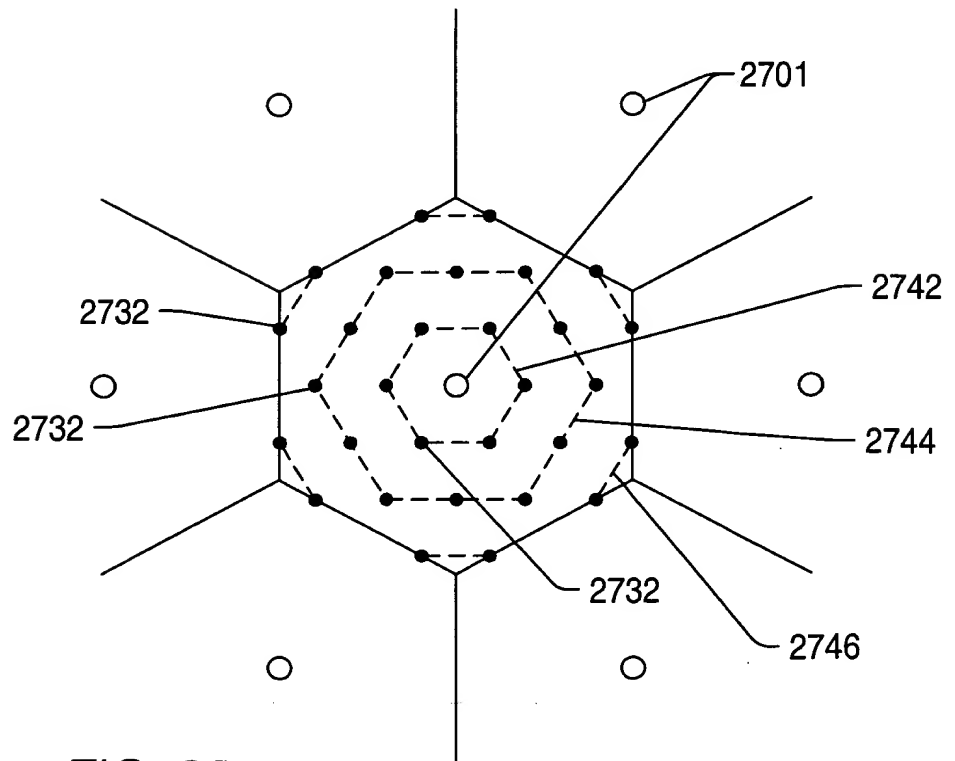


FIG. 65

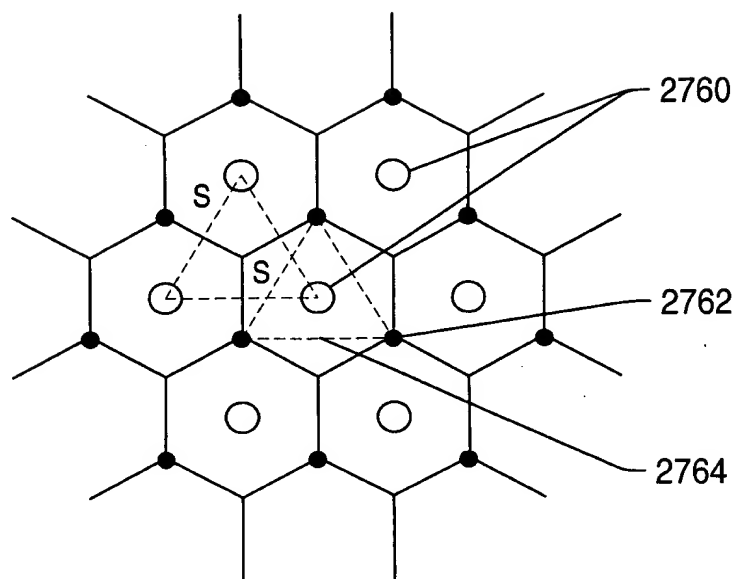


FIG. 66

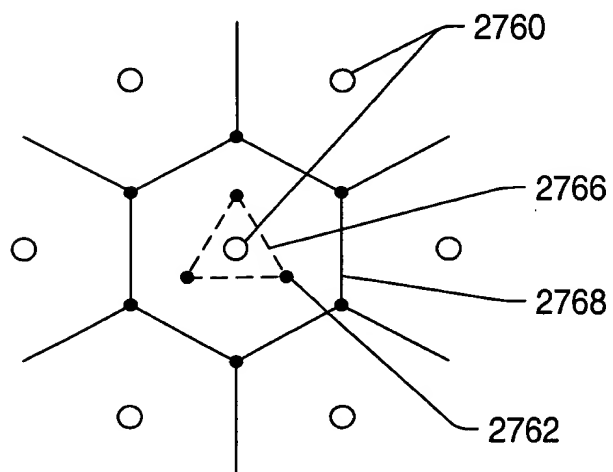


FIG. 67

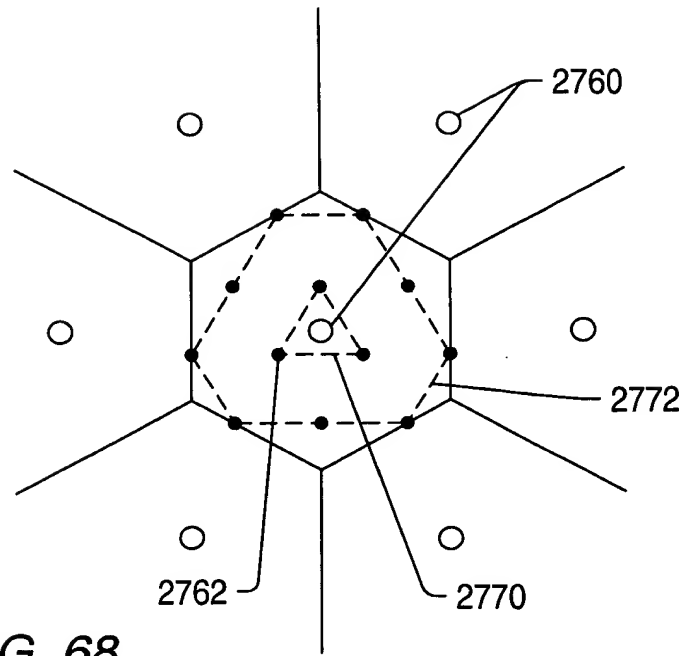


FIG. 68

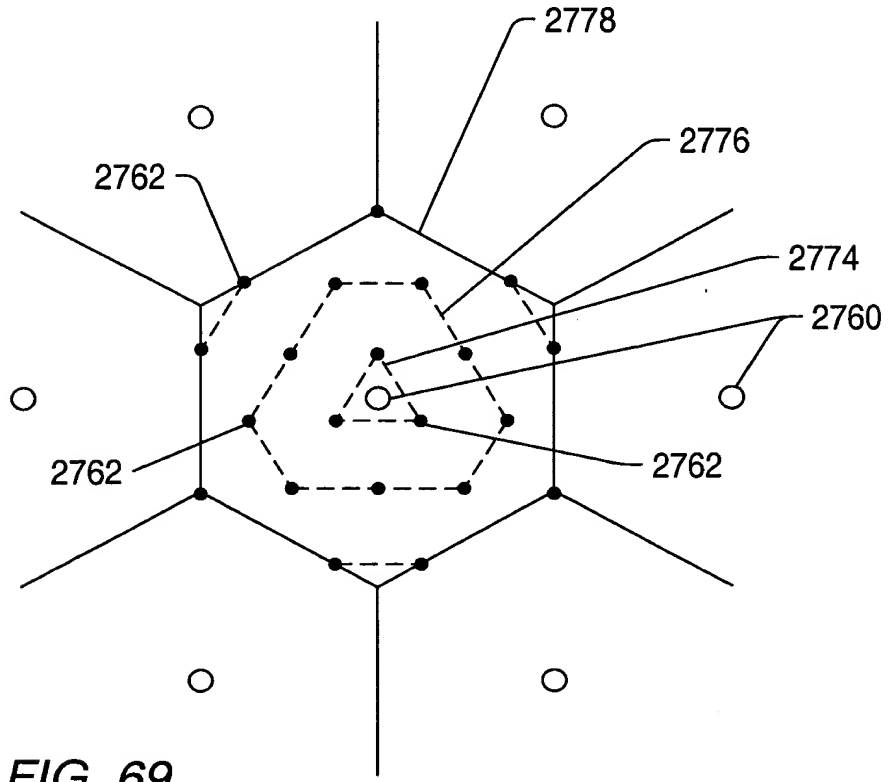
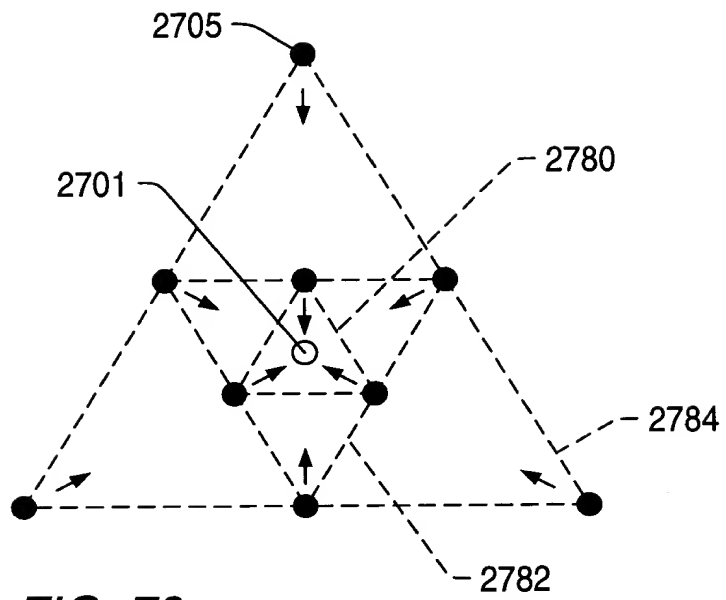


FIG. 69



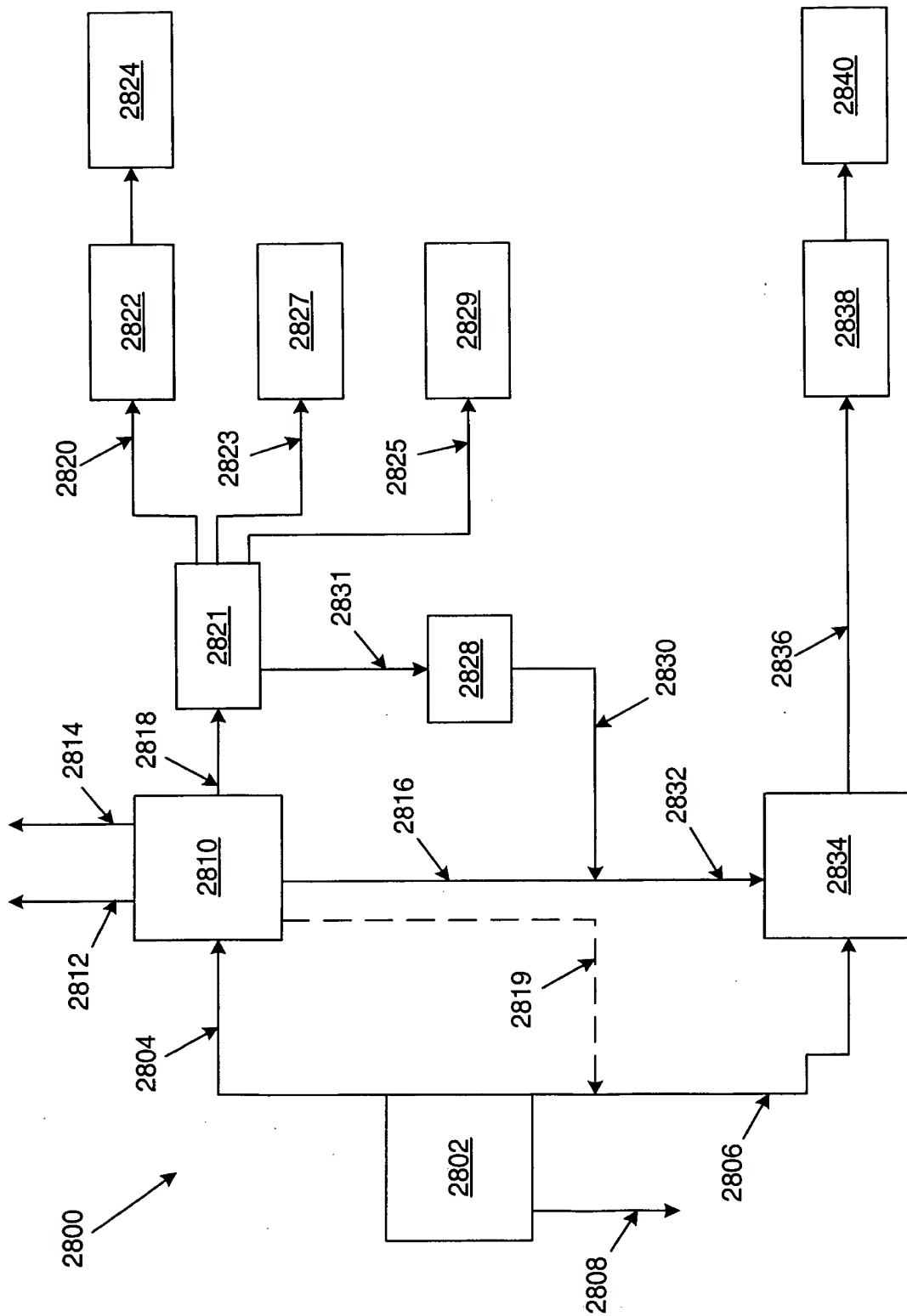


Fig. 71

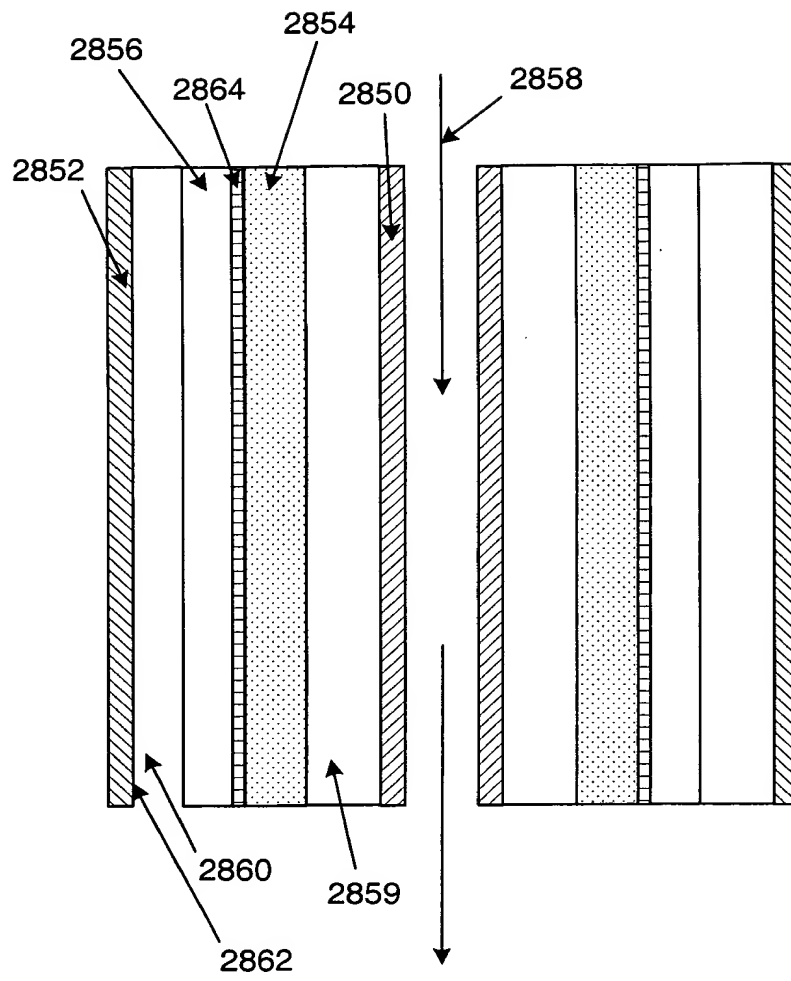


Fig. 72

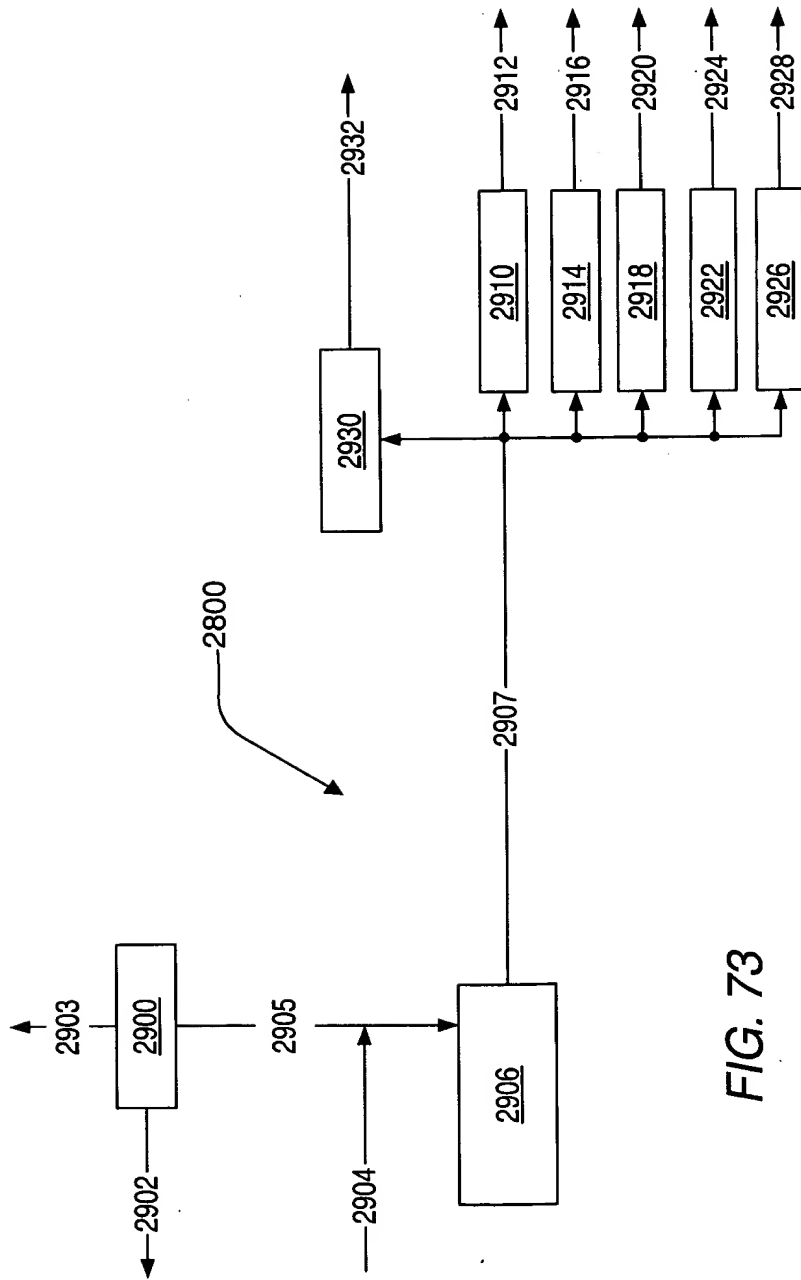


FIG. 73

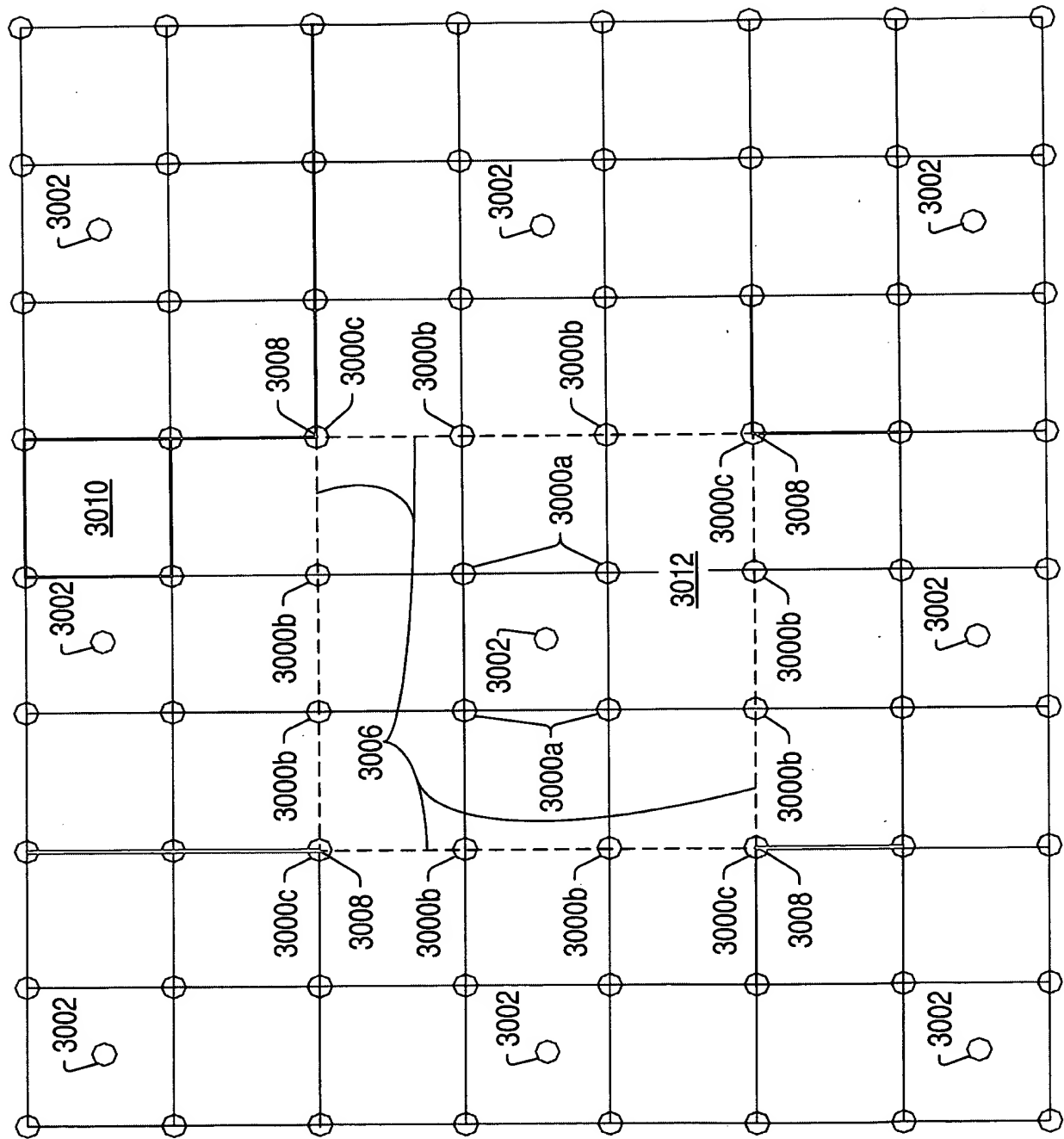


FIG. 74

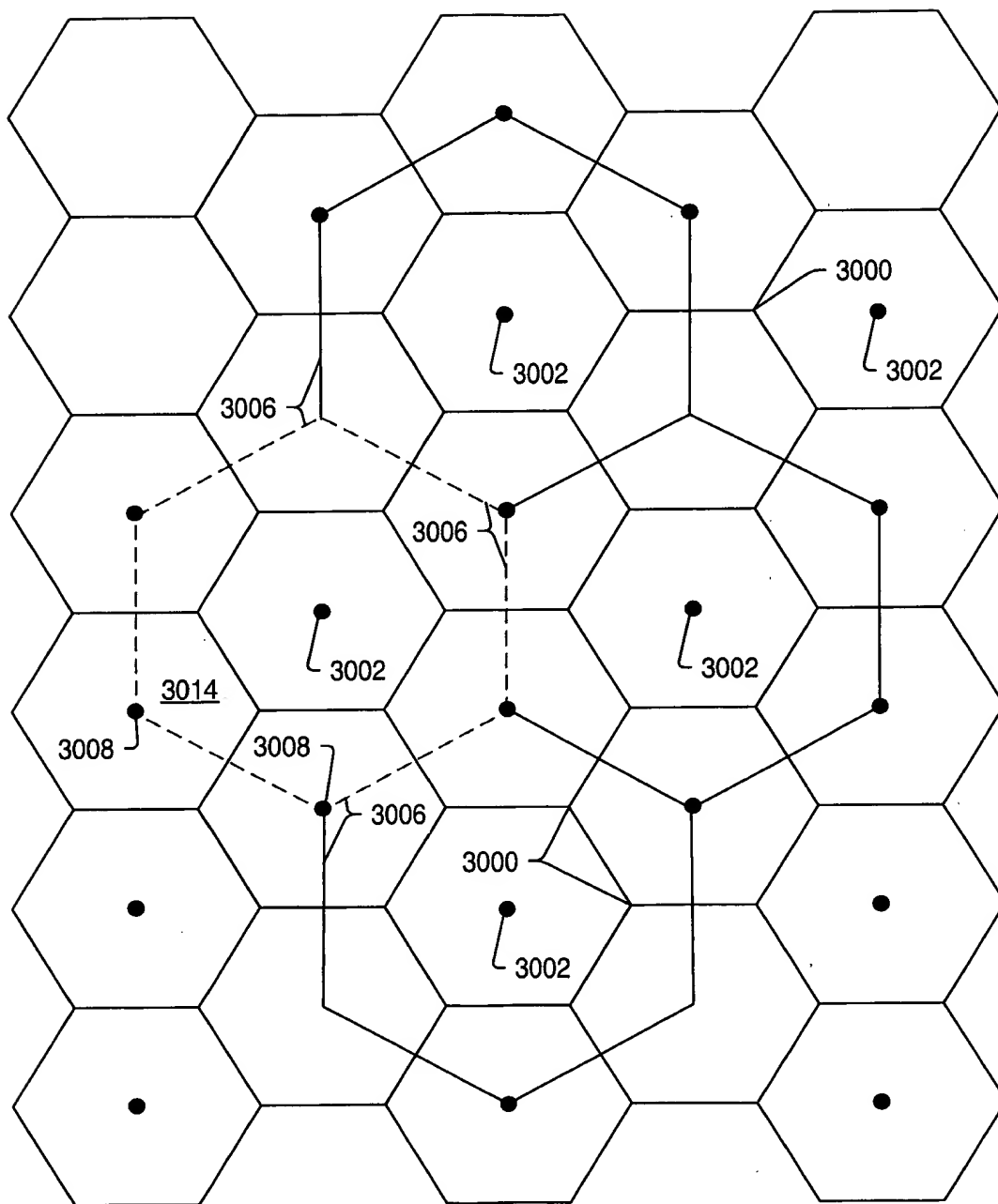


FIG. 75

FIG. 76

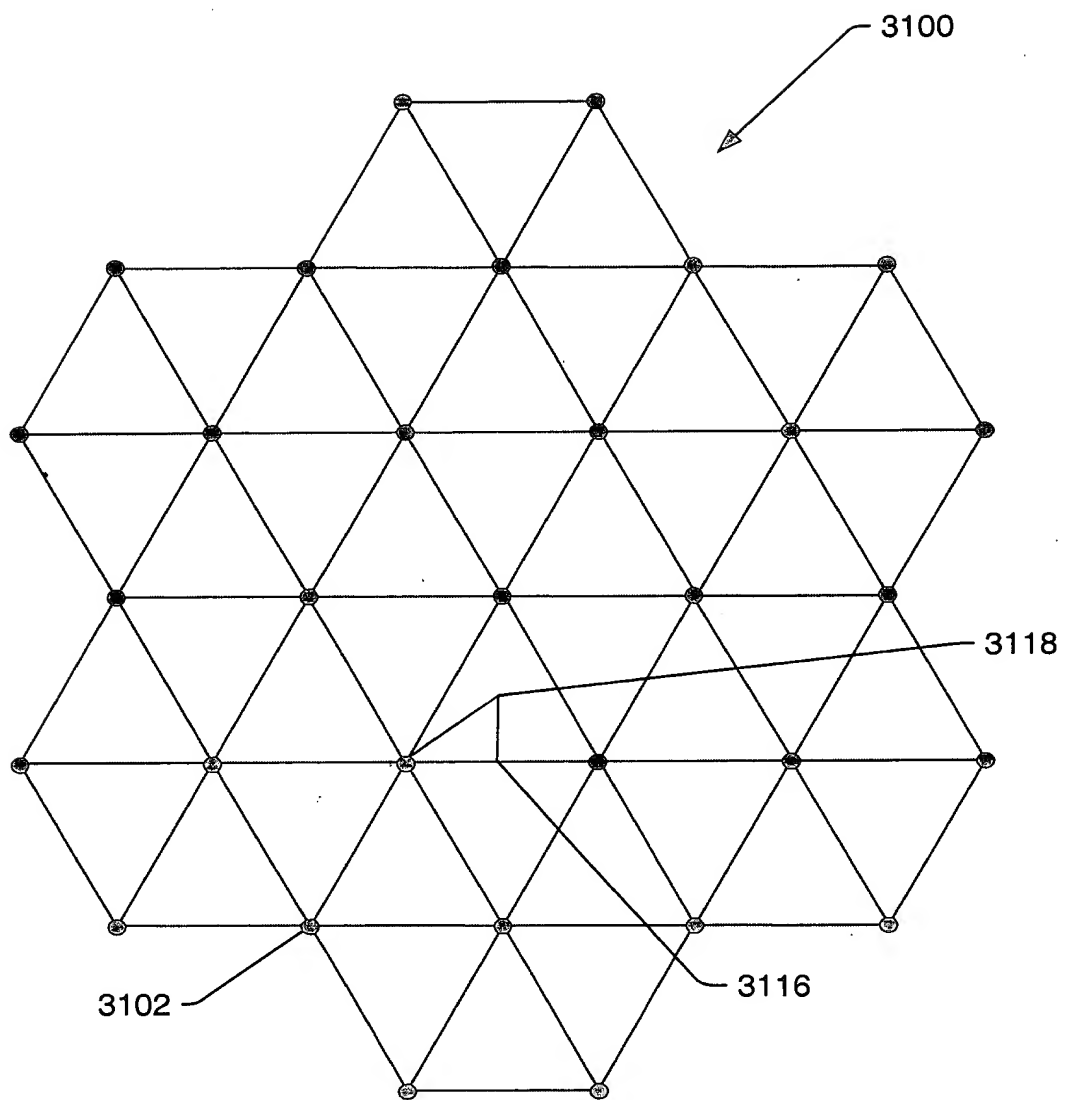


FIG. 76

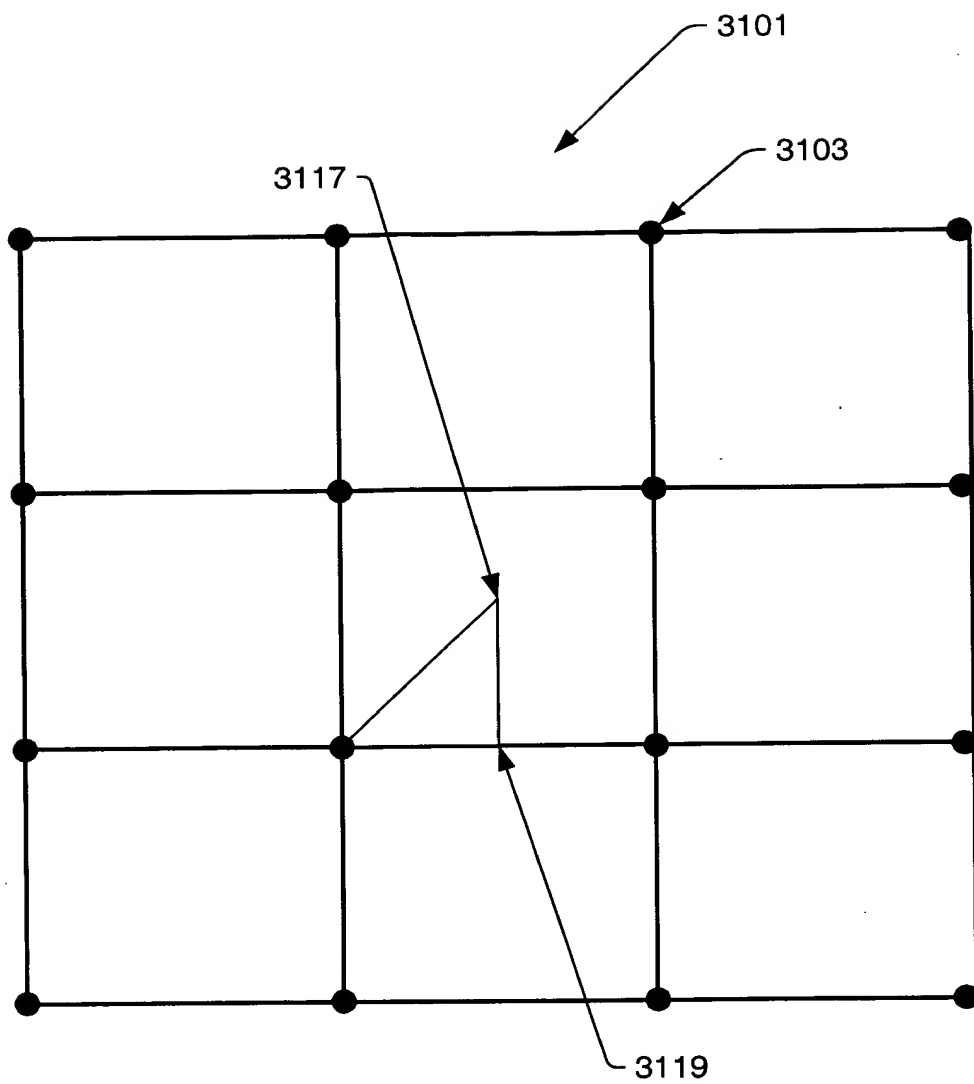


FIG. 76a

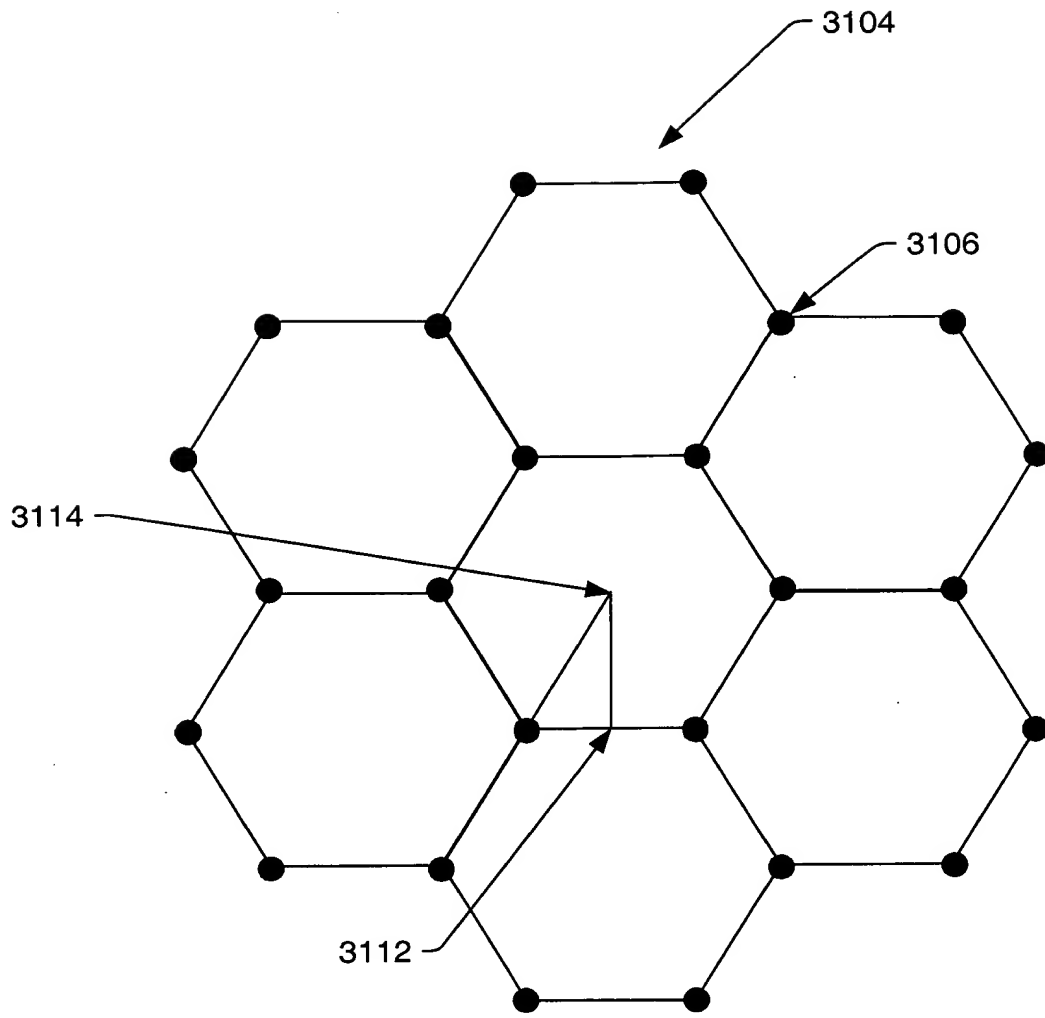


FIG. 77

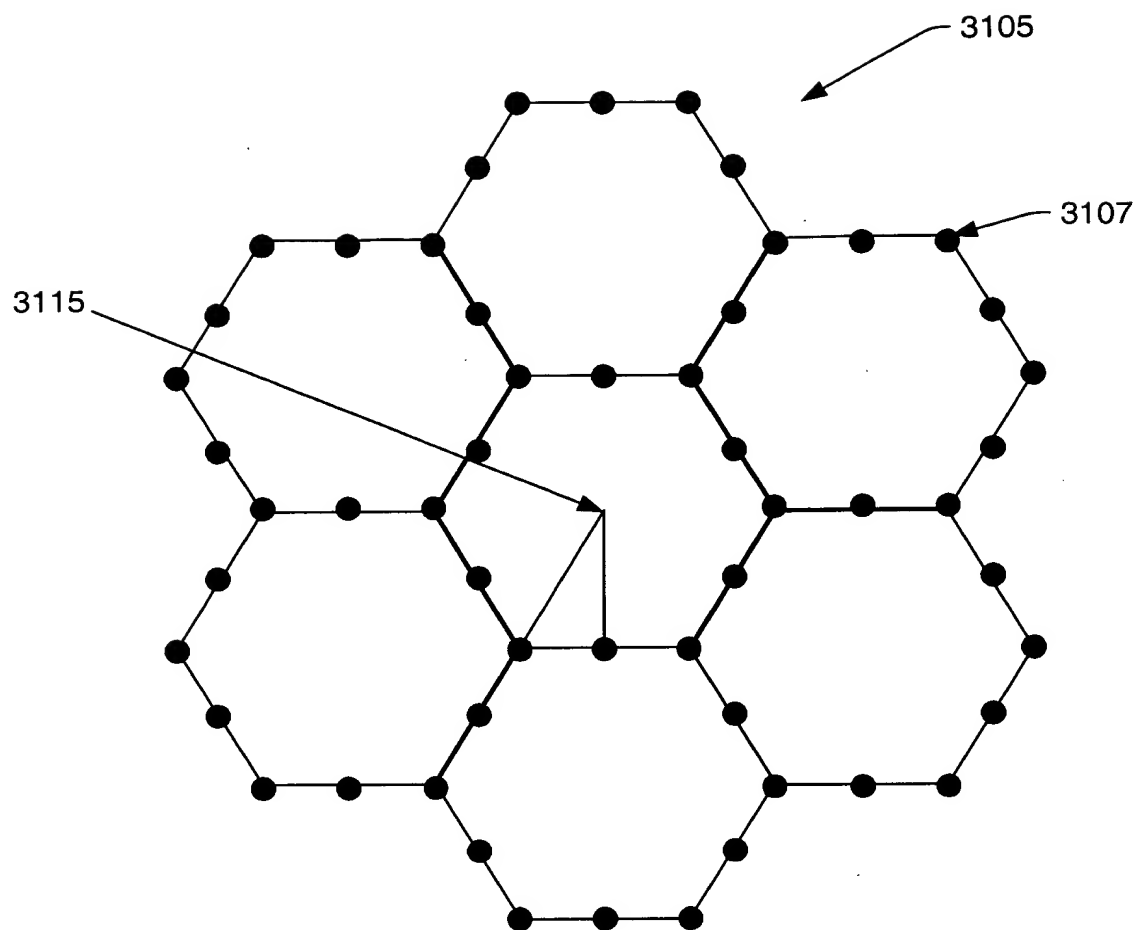


FIG. 77a

FIG. 78

3110

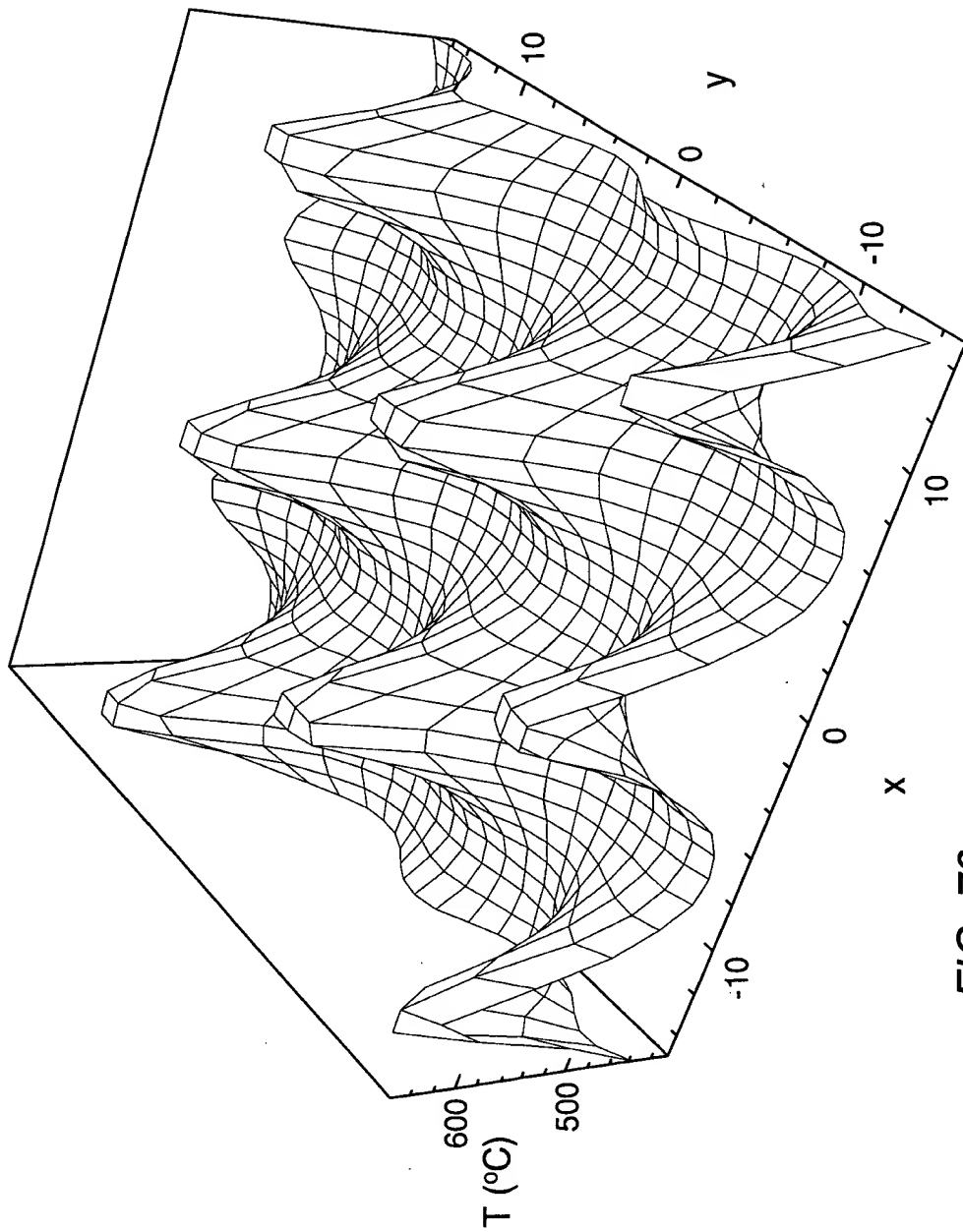


FIG. 78

3108

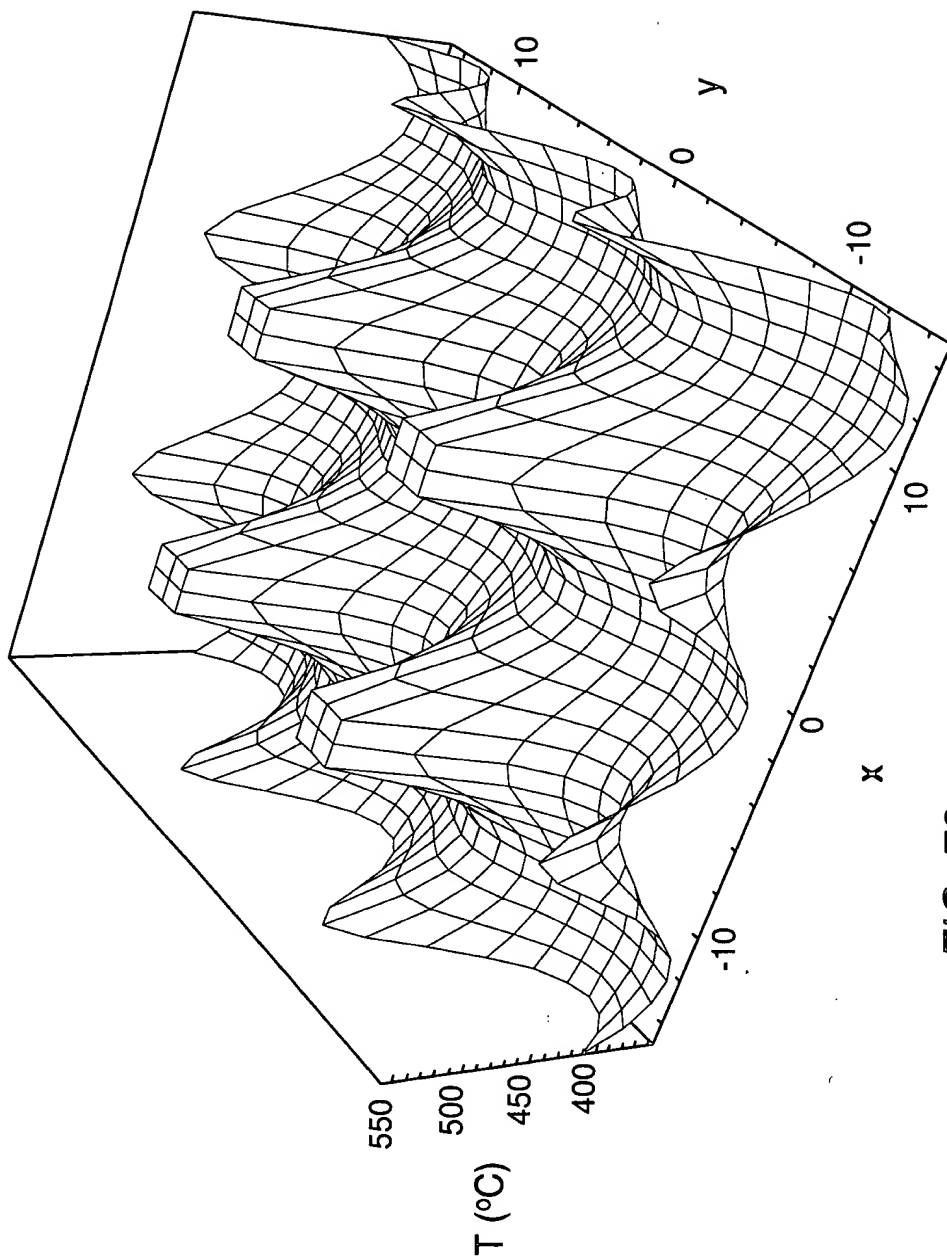


FIG. 79

FOOTPRINT SENSOR

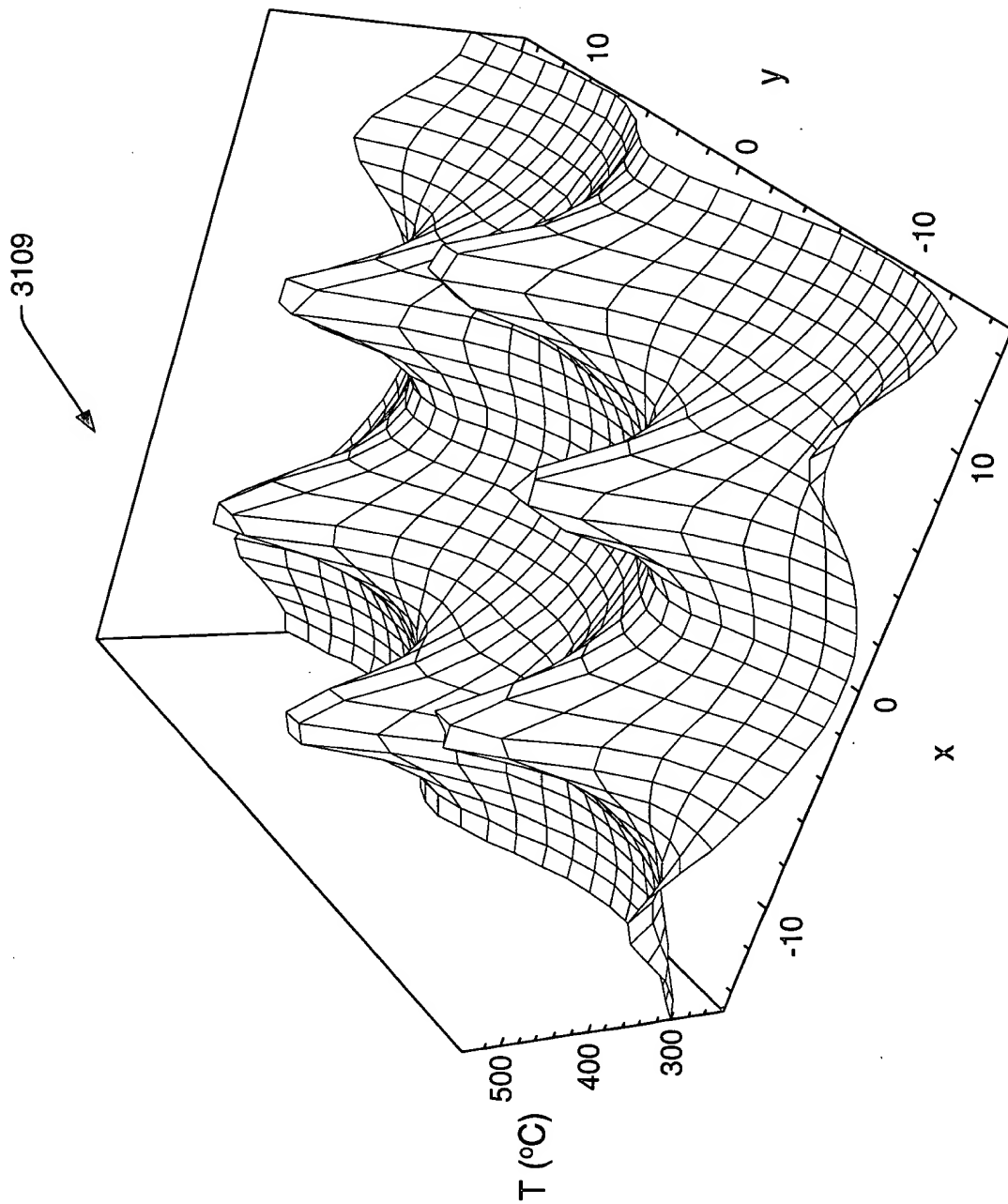


FIG. 79a

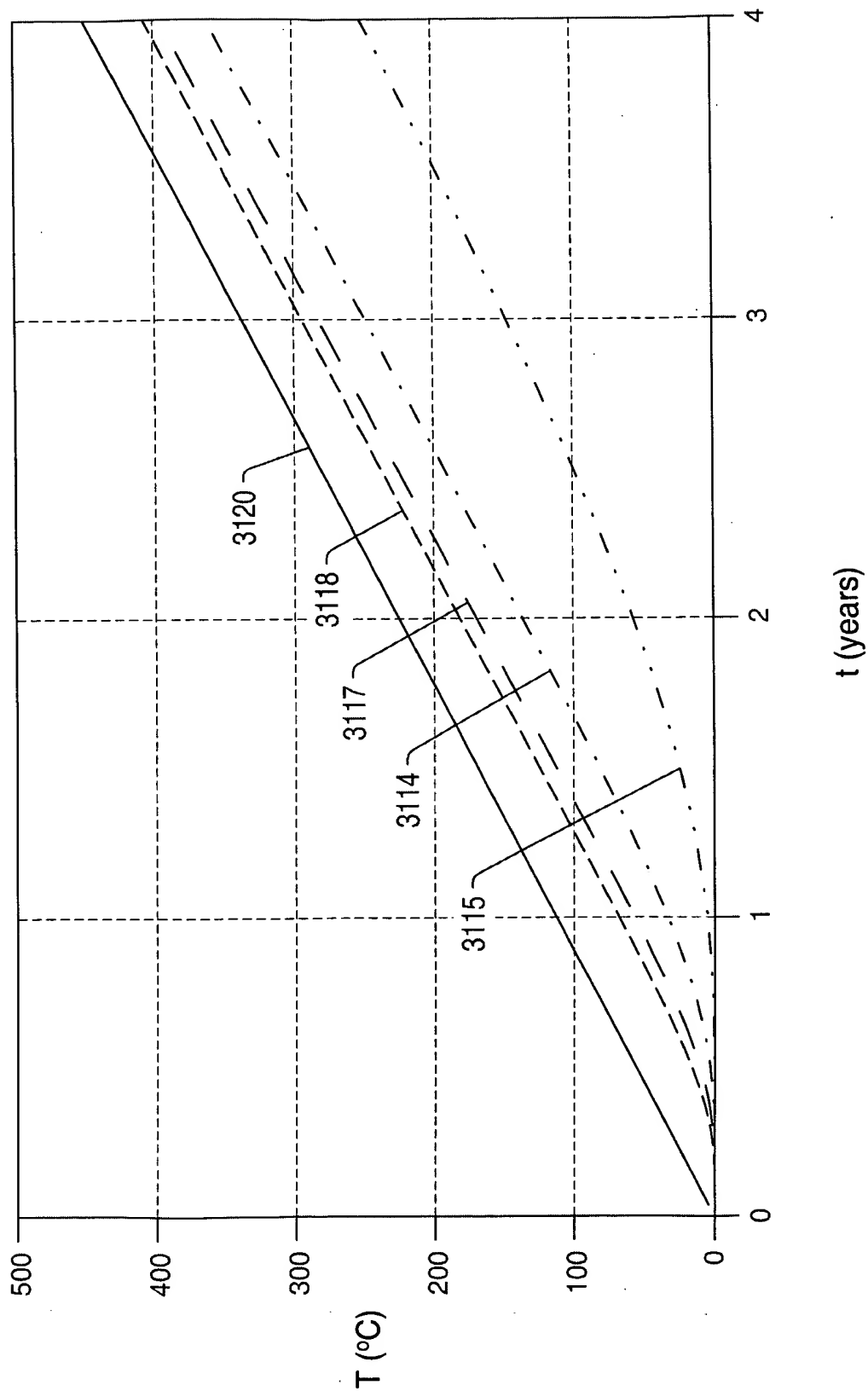


FIG. 80

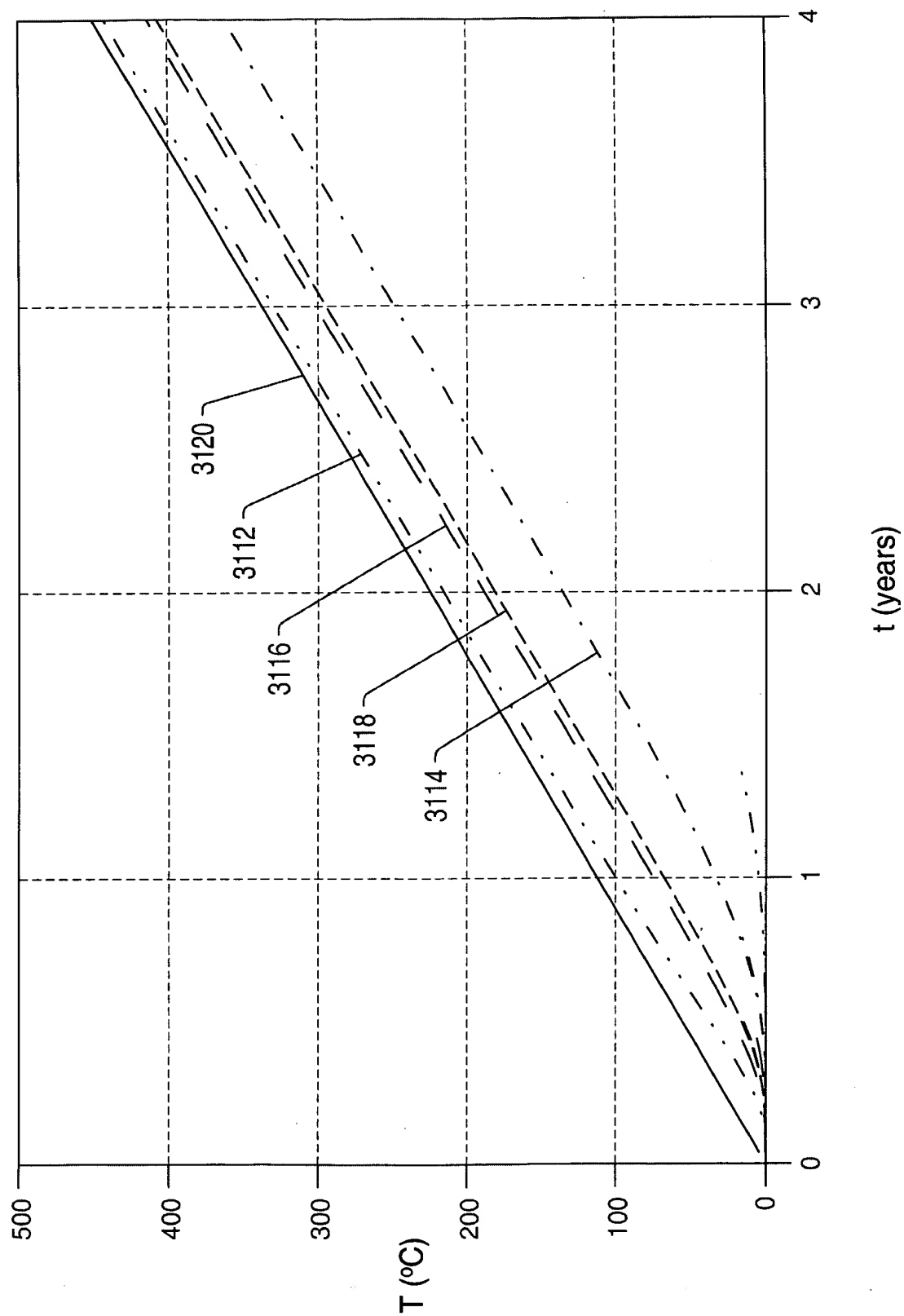


FIG. 81

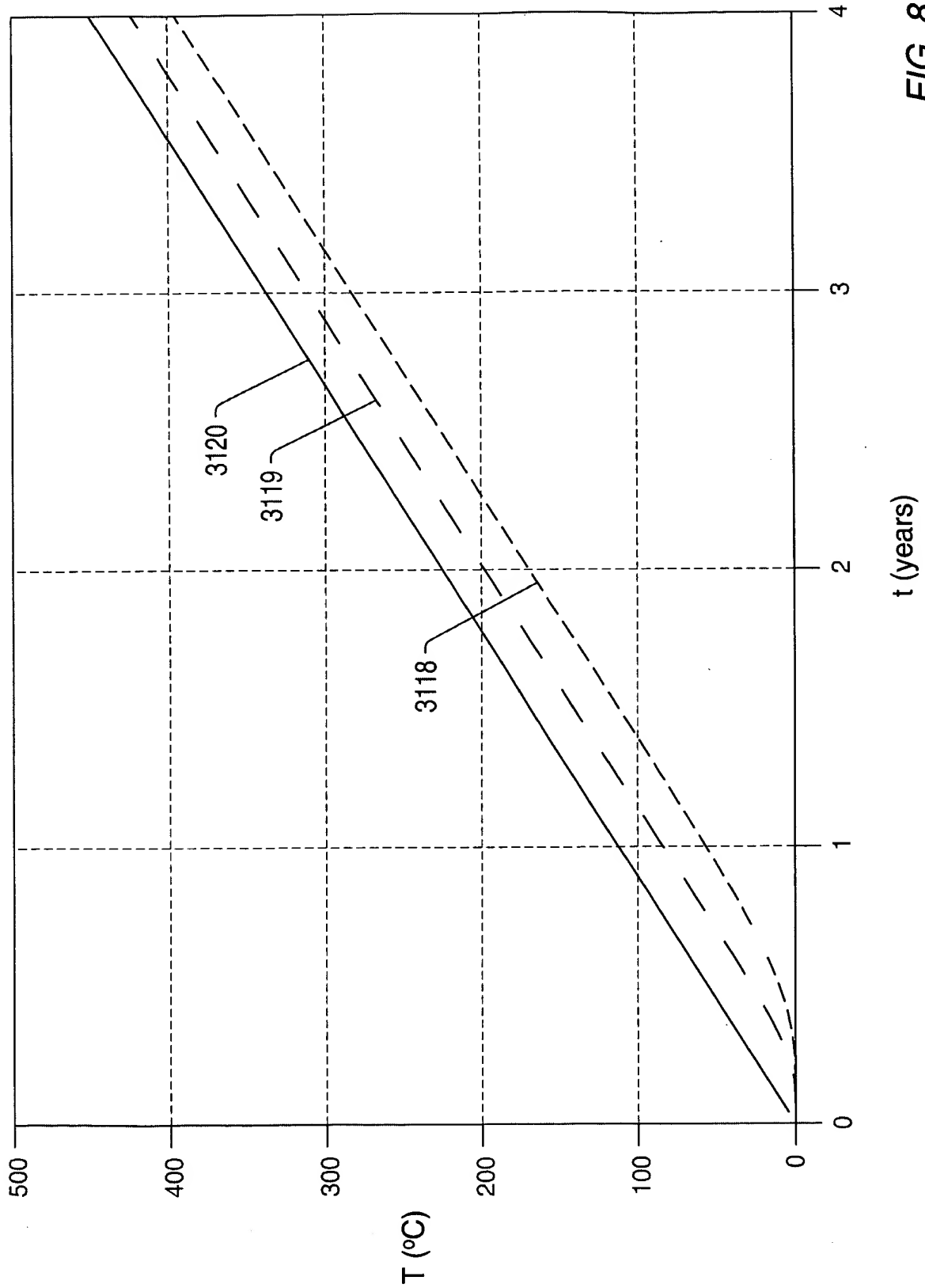


FIG. 81a

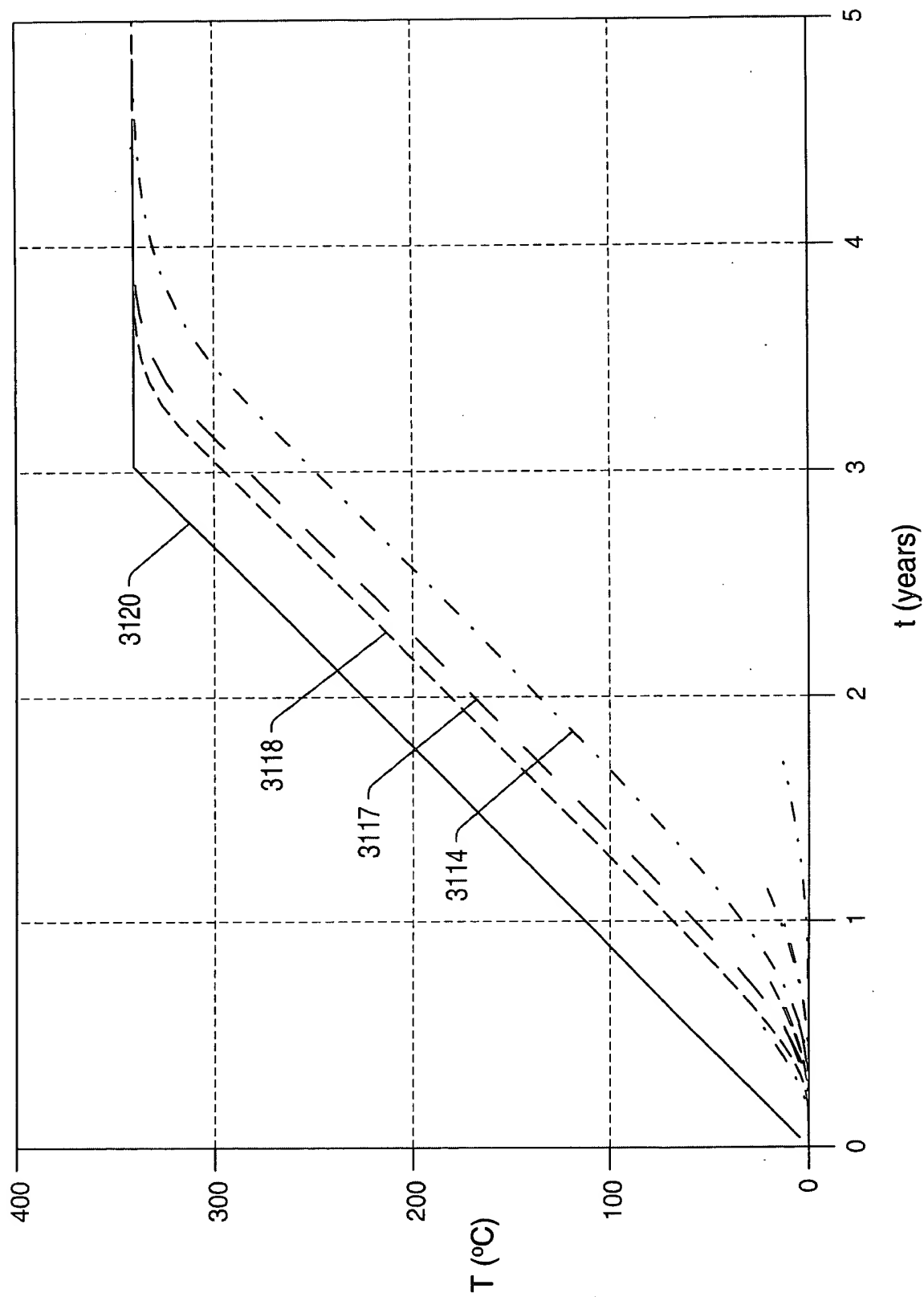


FIG. 81b

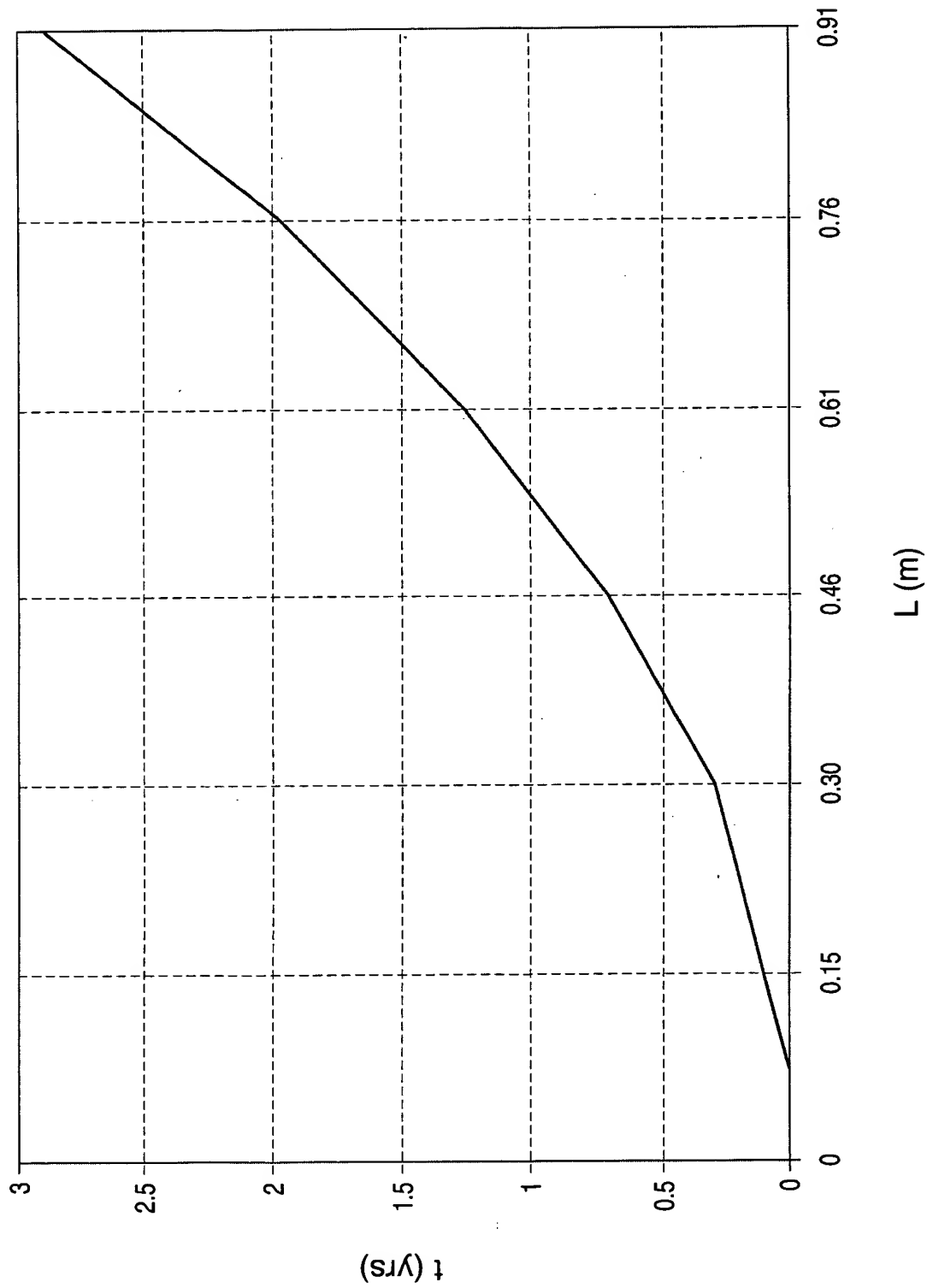


FIG. 82

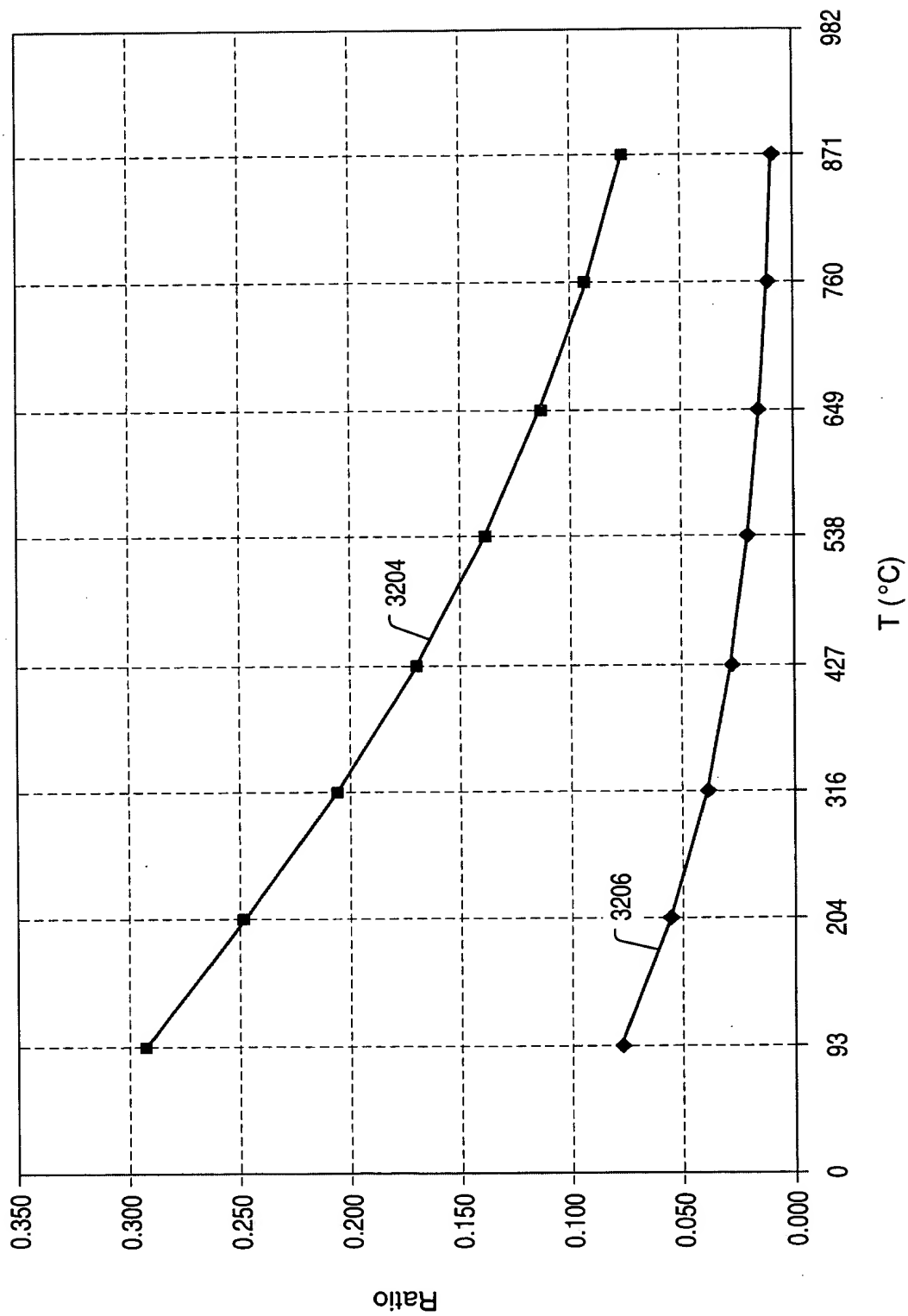


FIG. 83

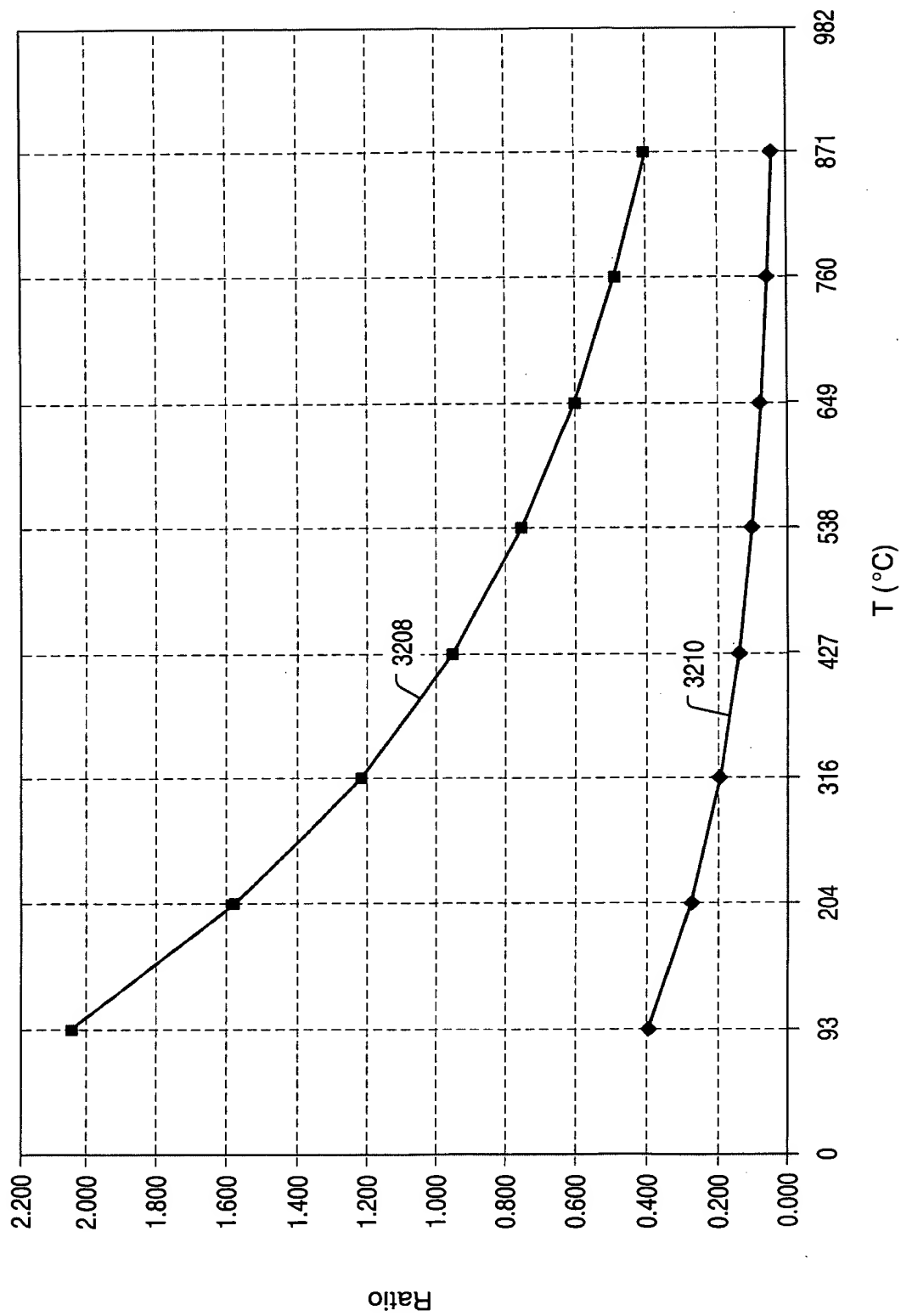


FIG. 84

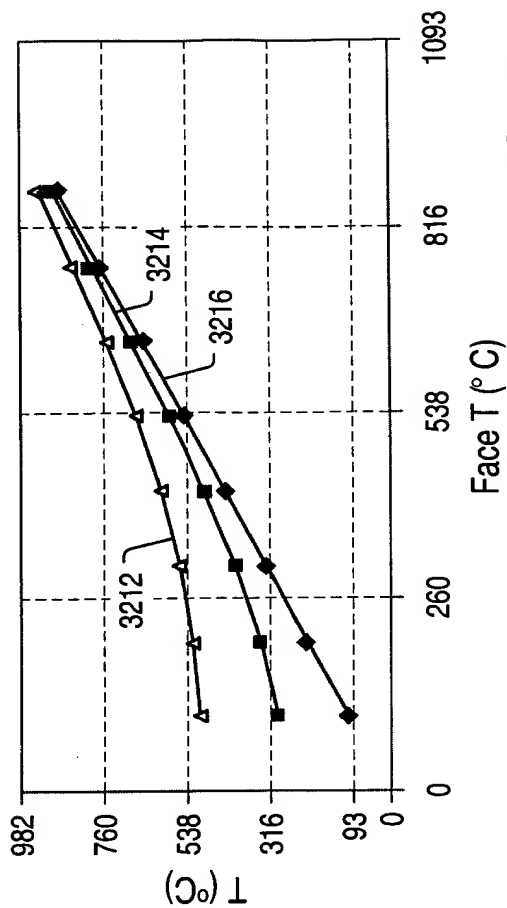


FIG. 86

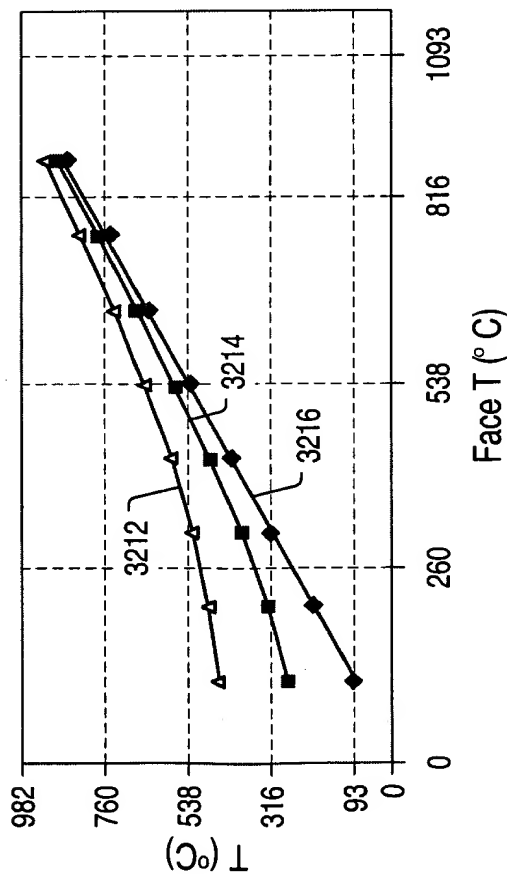


FIG. 85

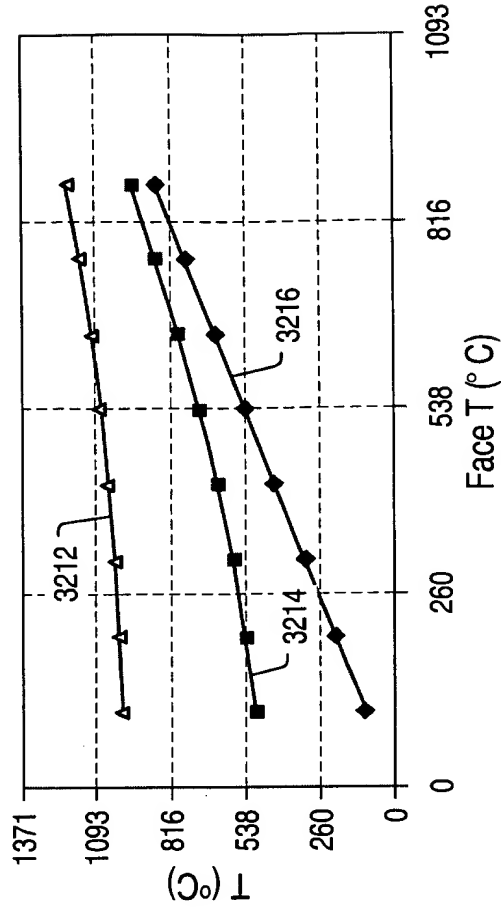


FIG. 88

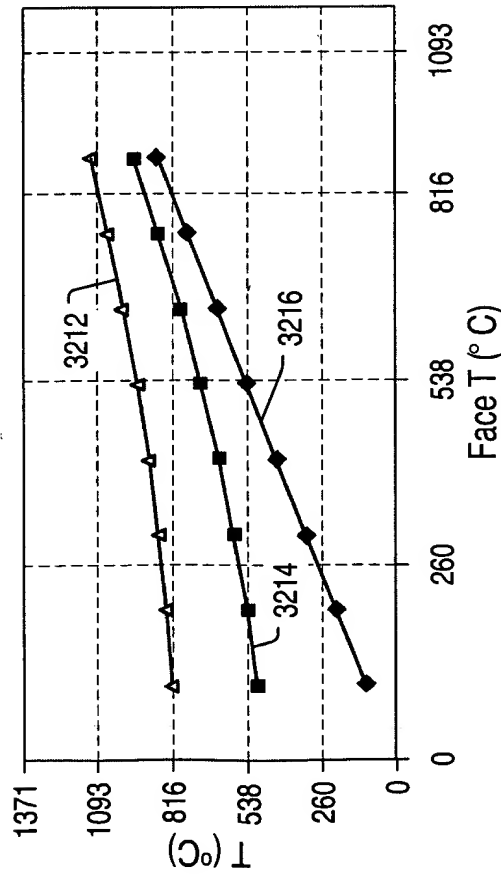
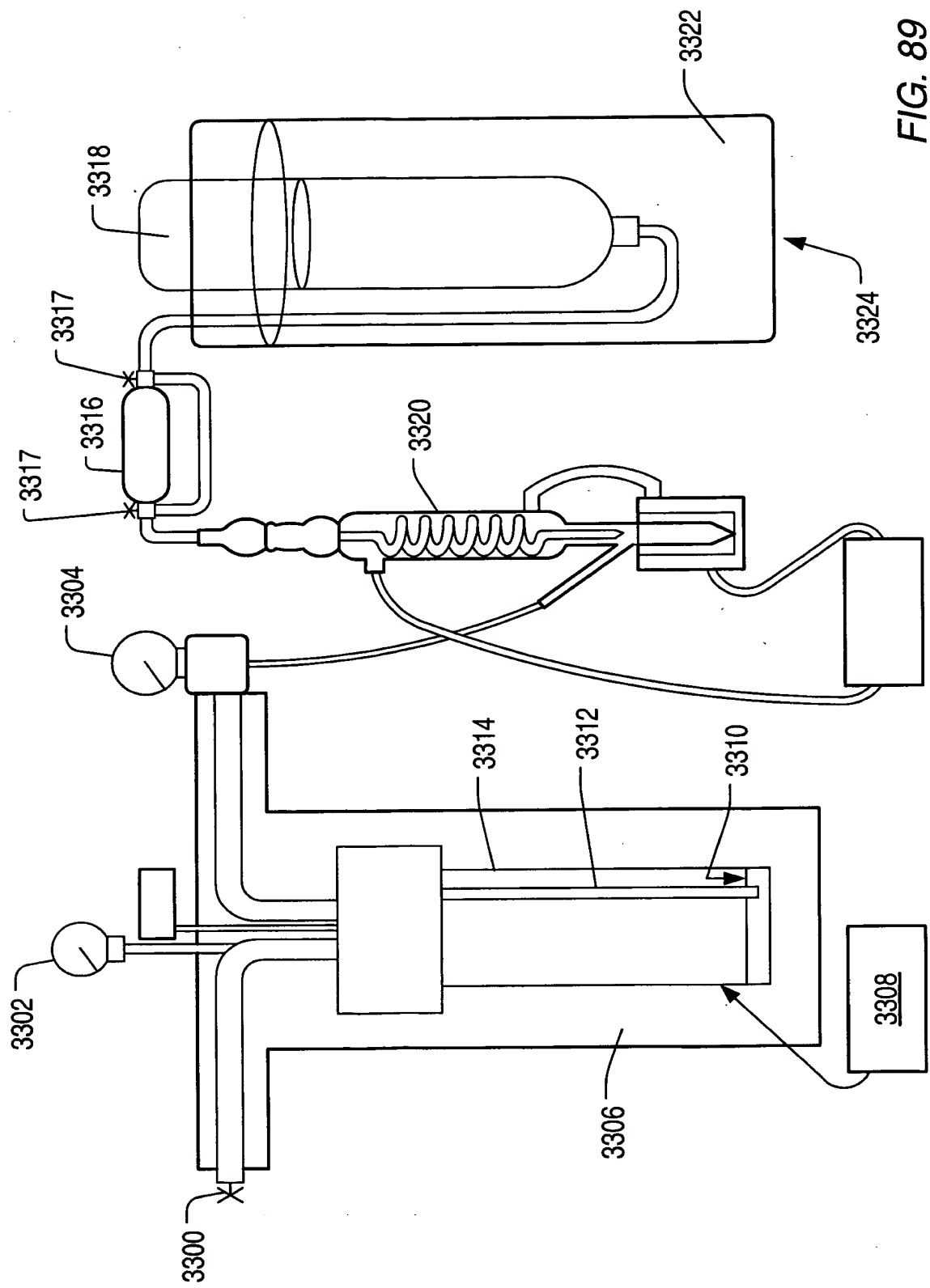


FIG. 87



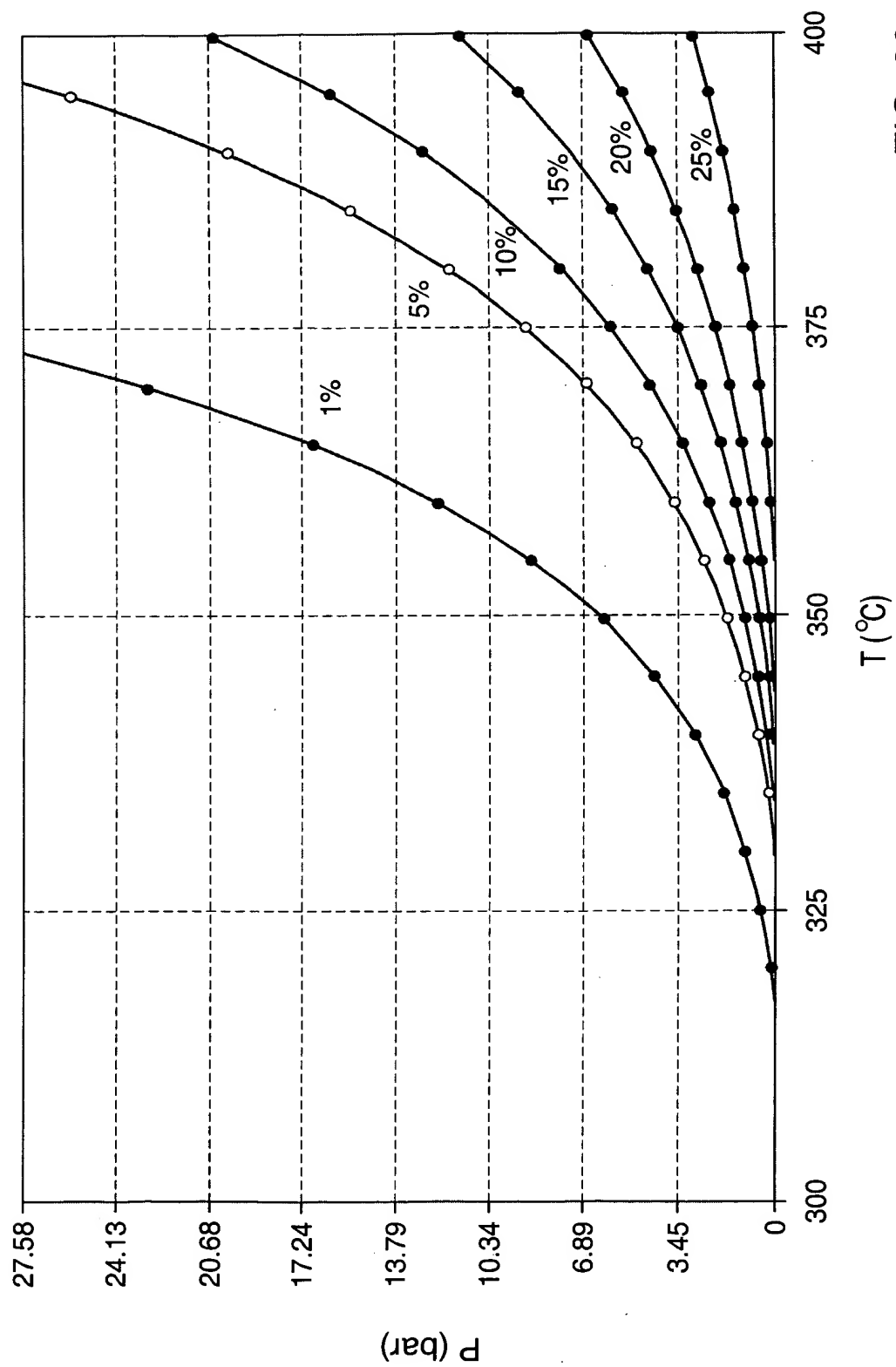


FIG. 90

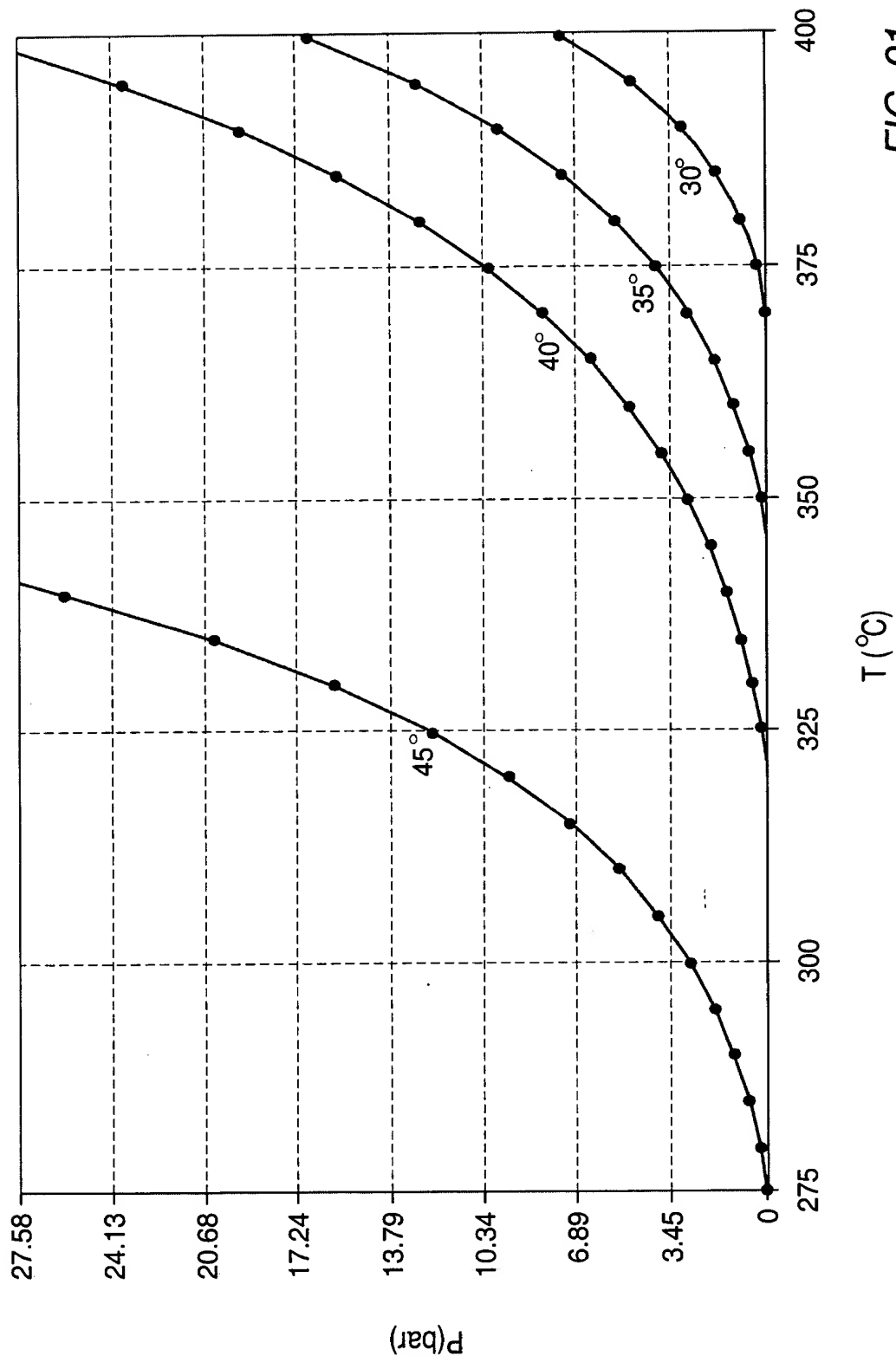


FIG. 91

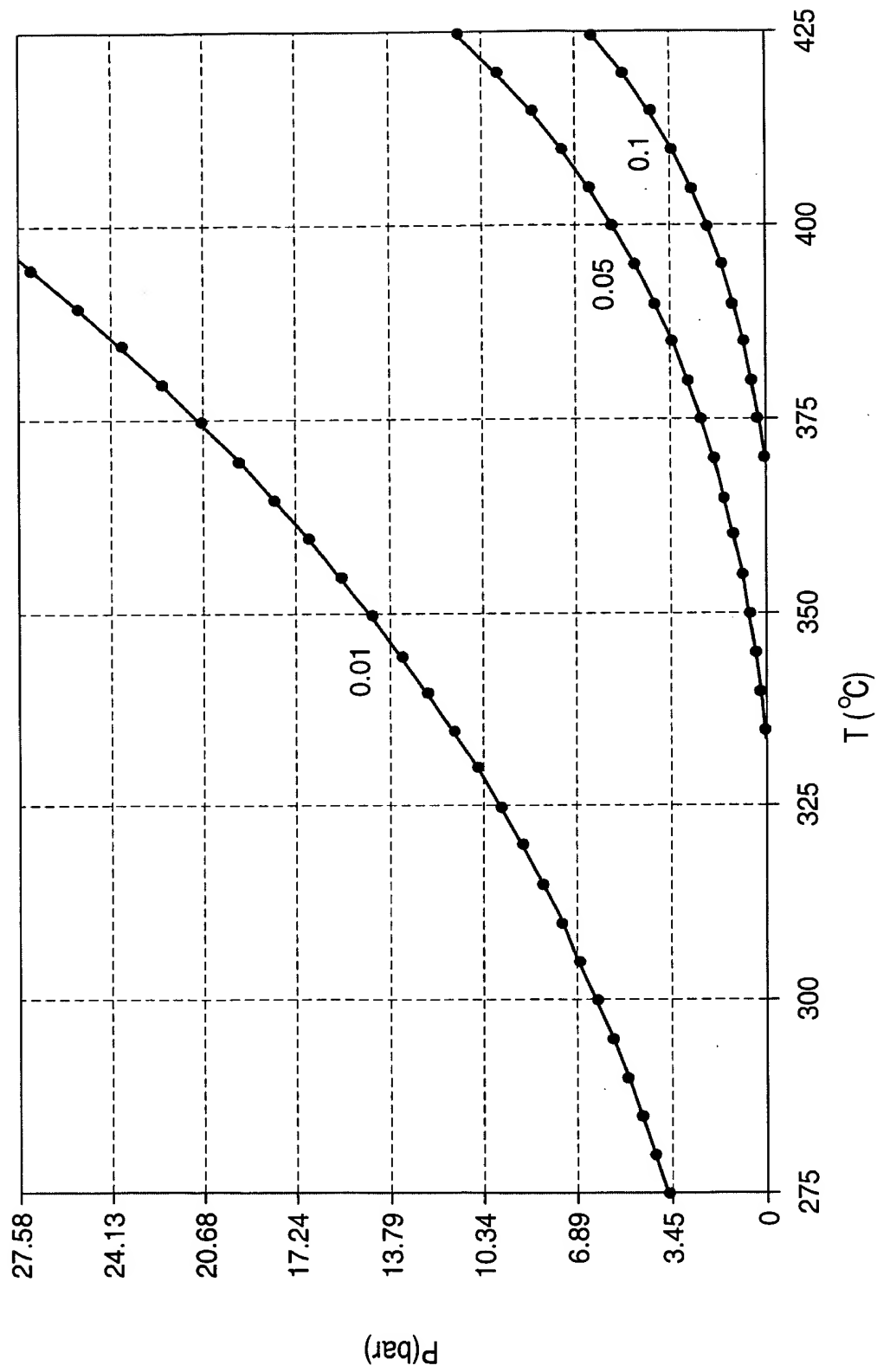


FIG. 92

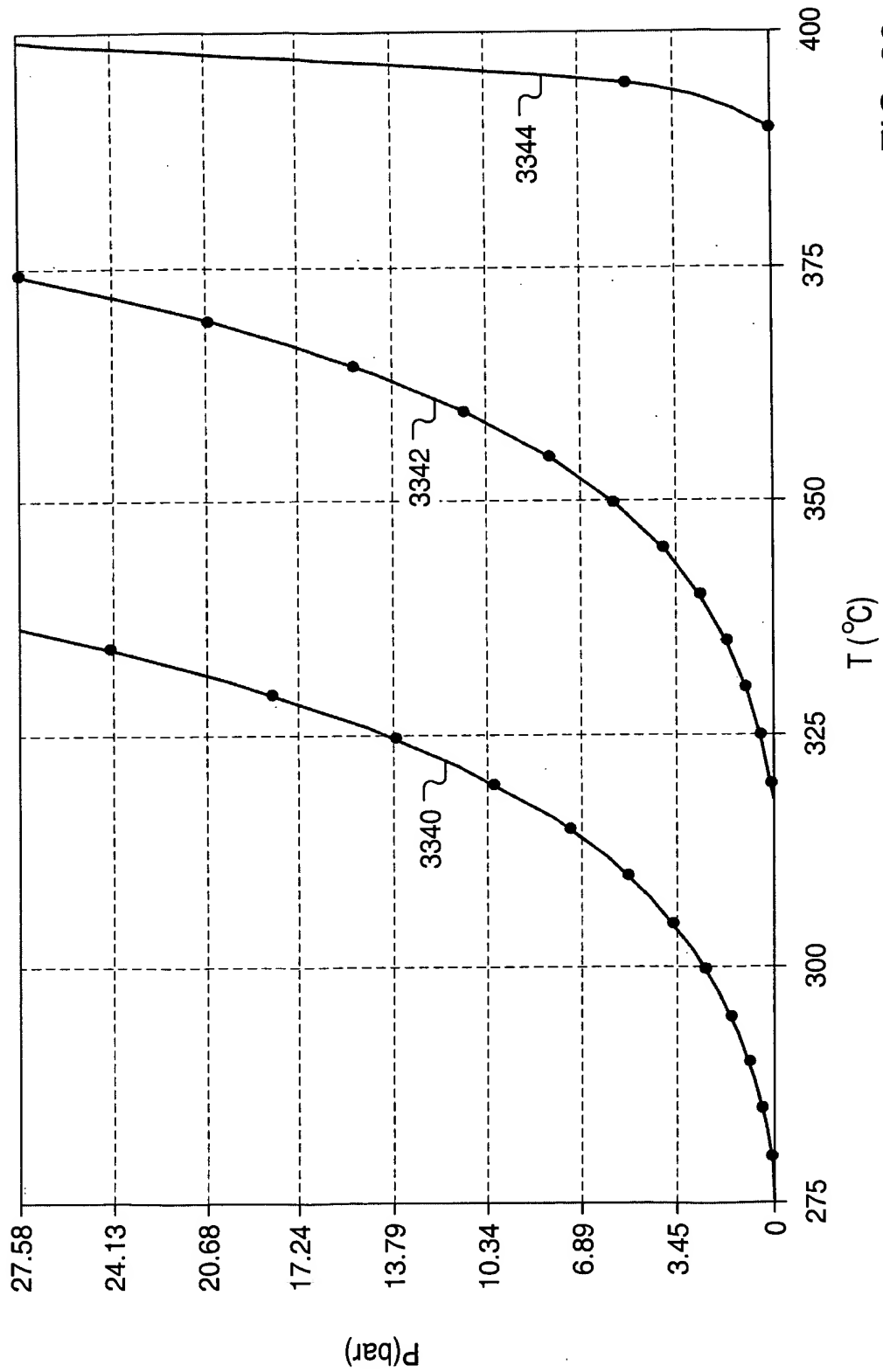


FIG. 93

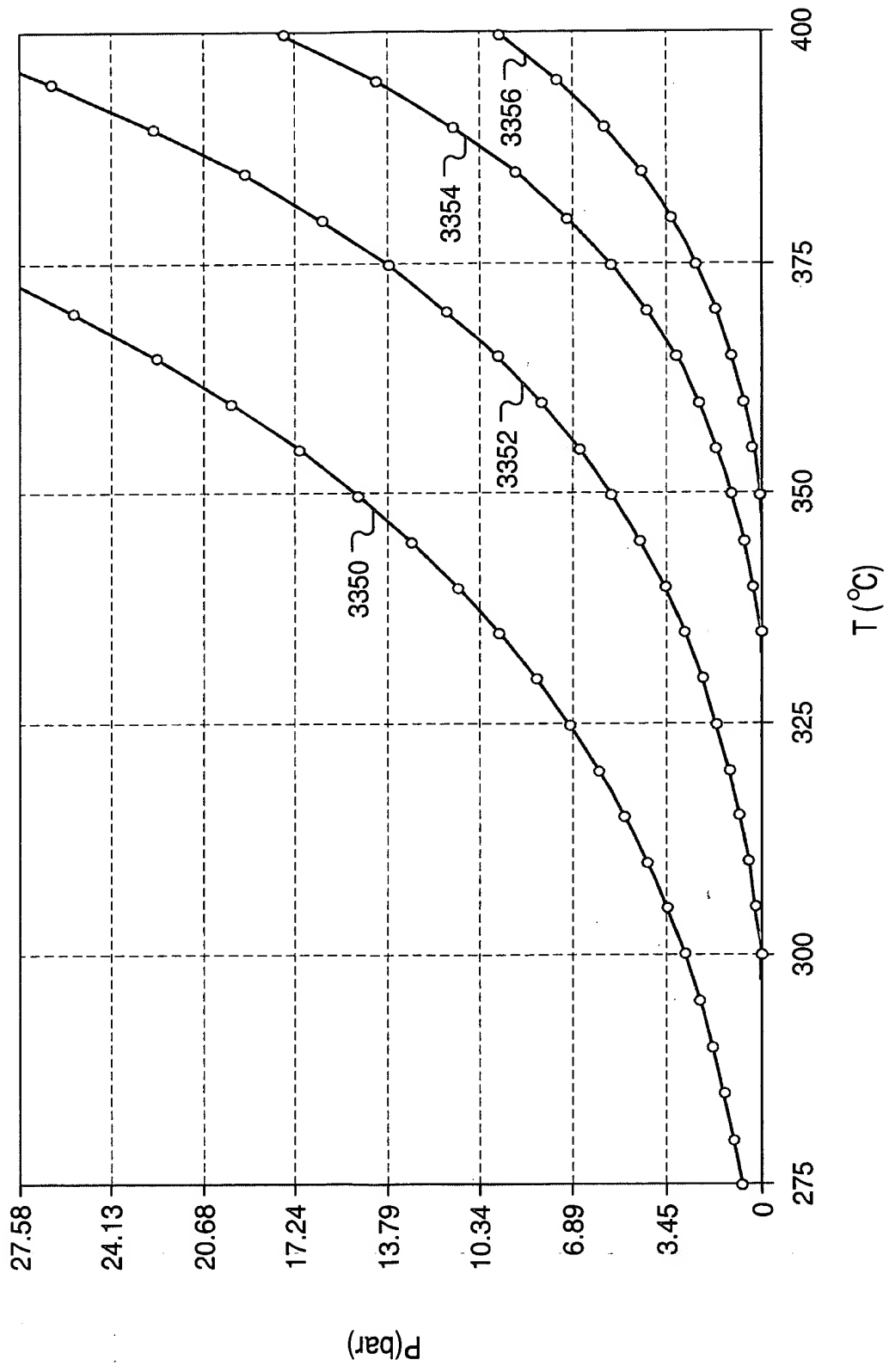
[illegible]

FIG. 94

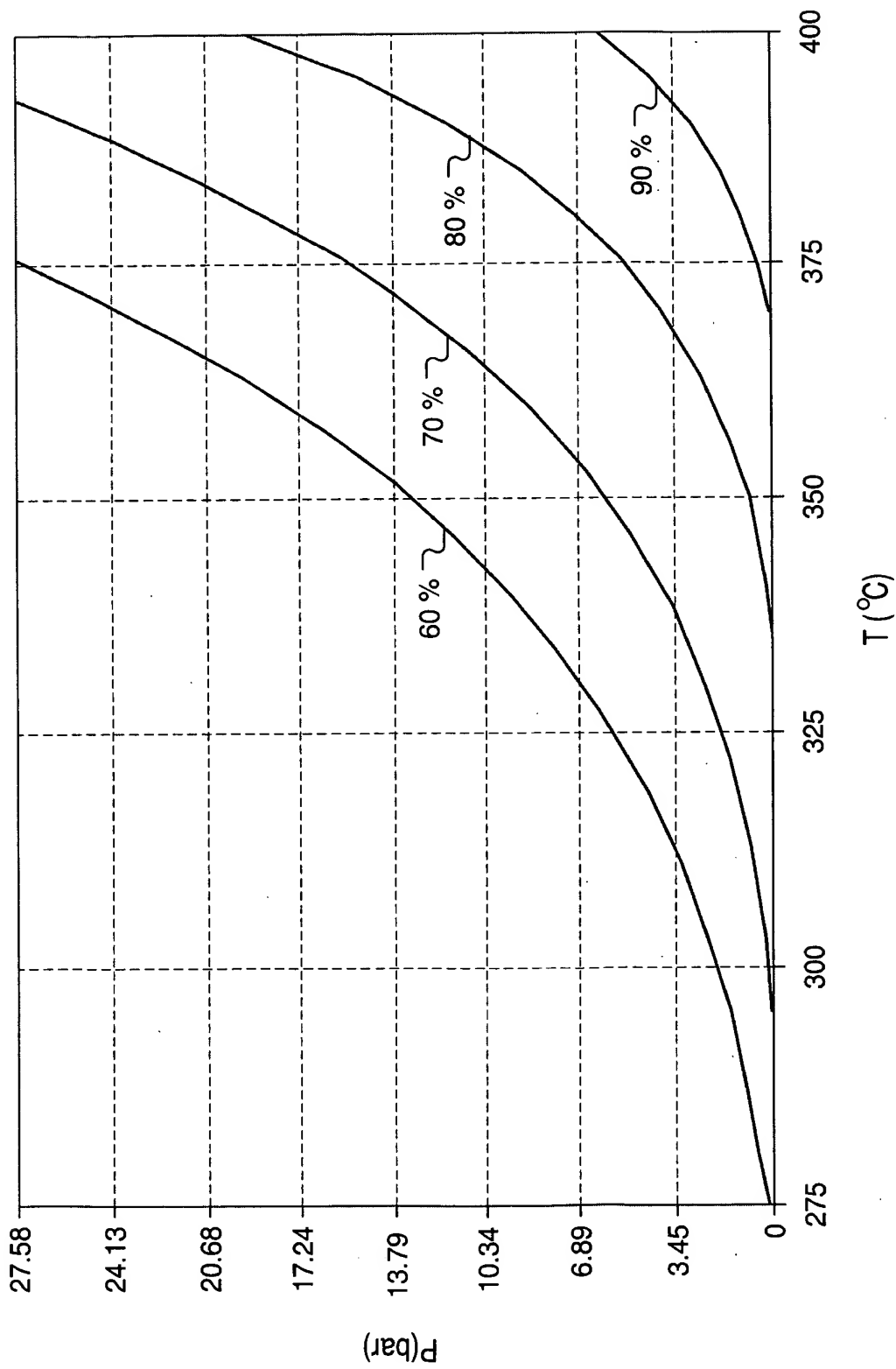


FIG. 95

FIG. 96

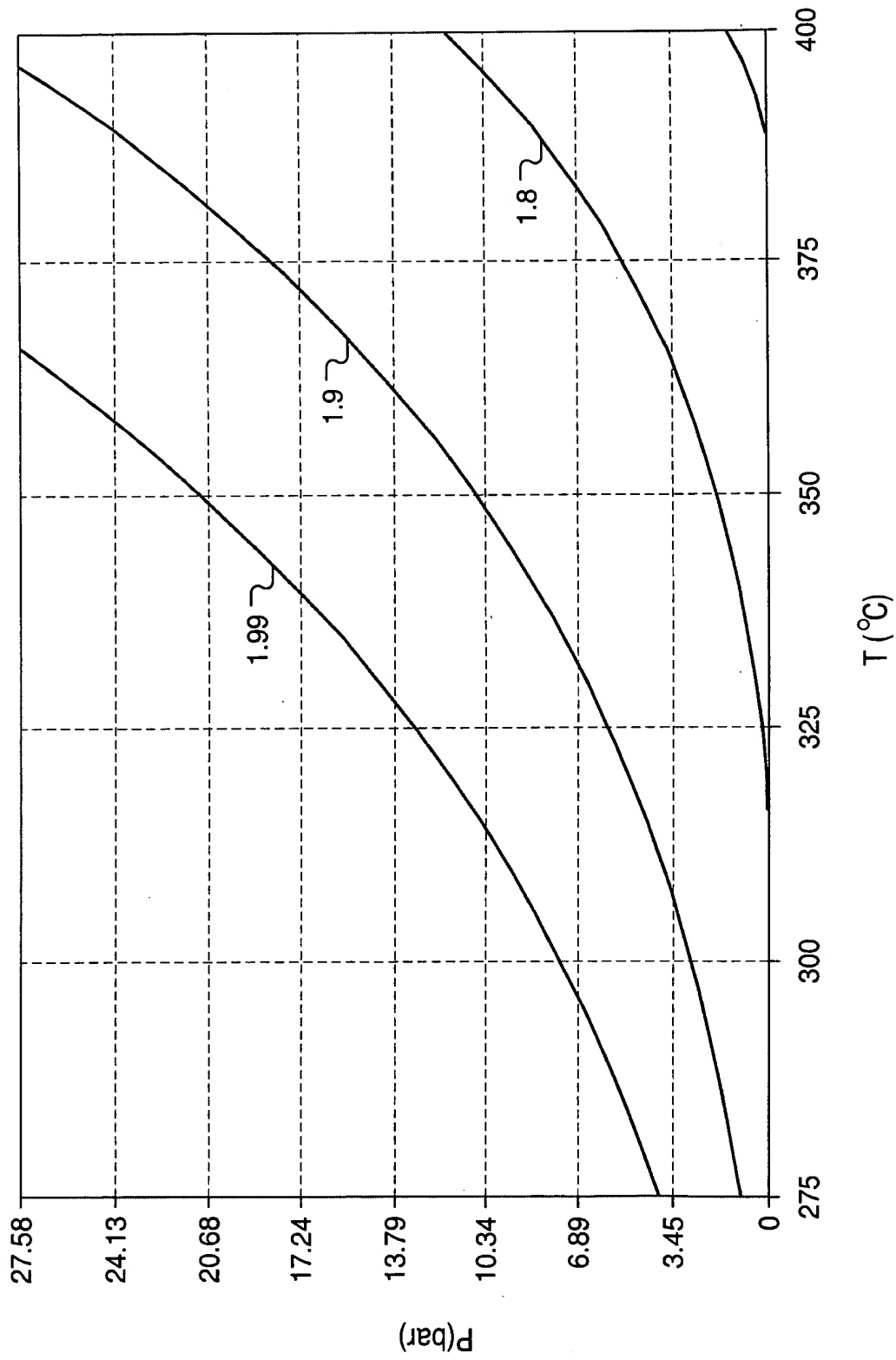


FIG. 96

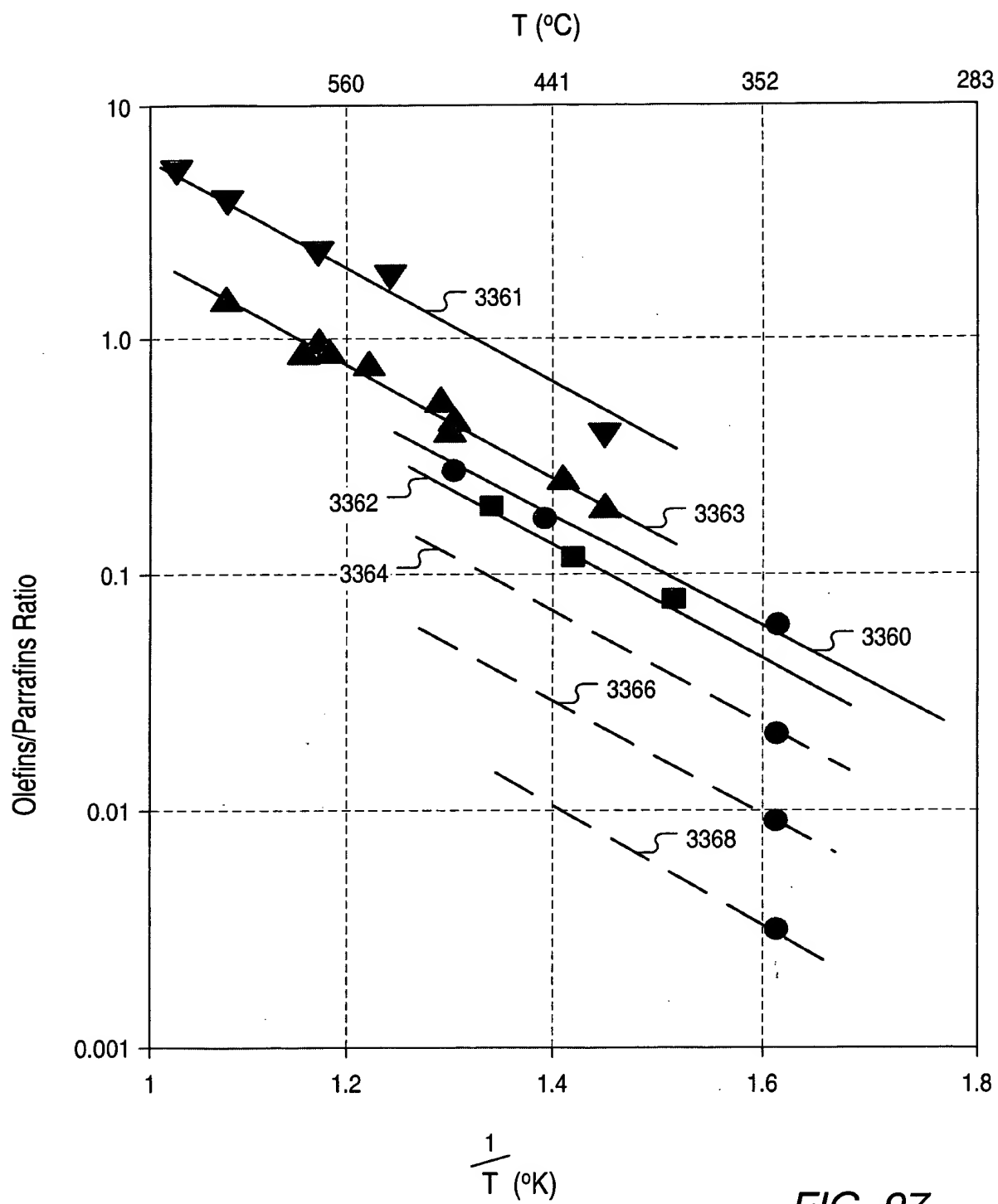


FIG. 97

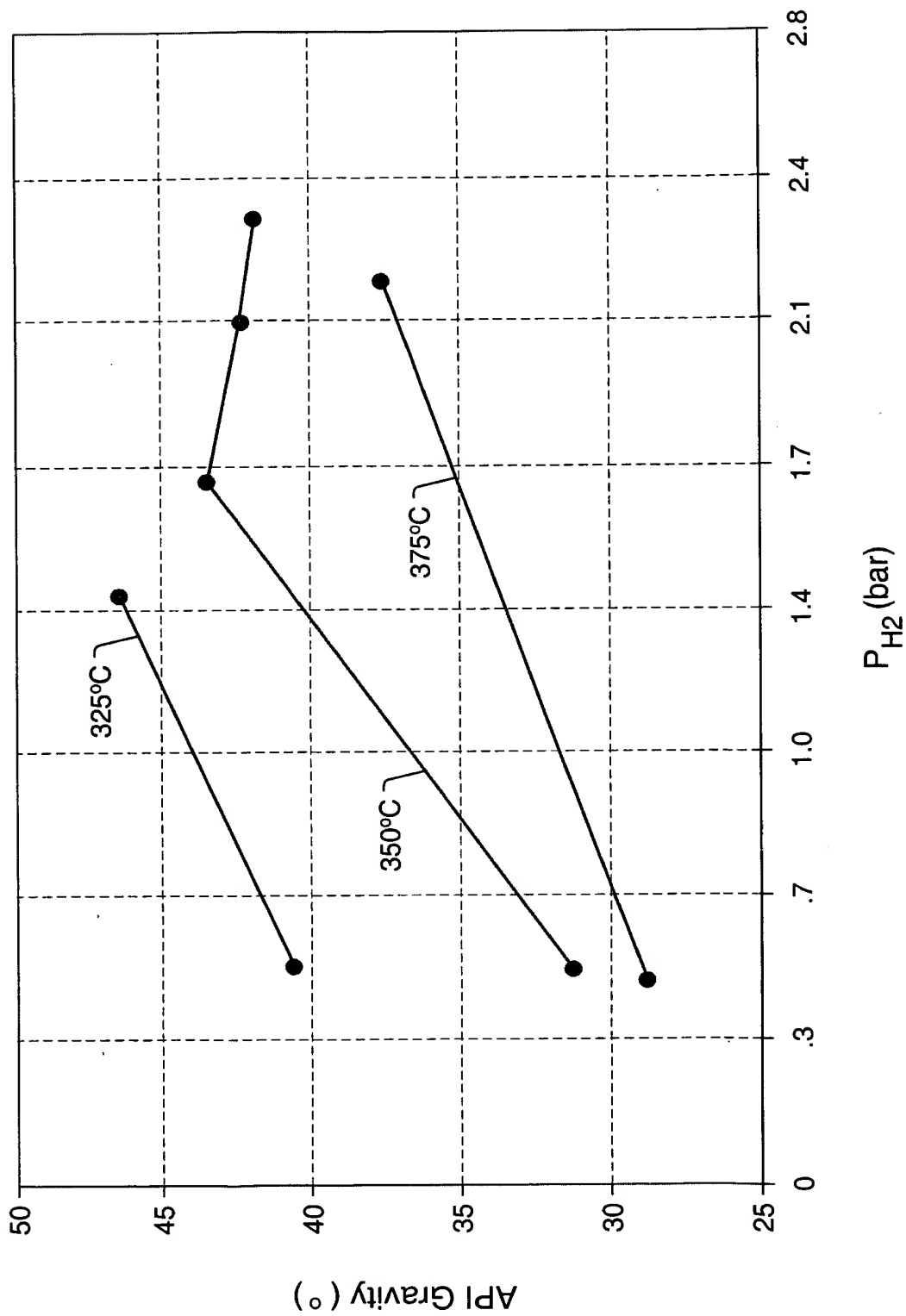


FIG. 98

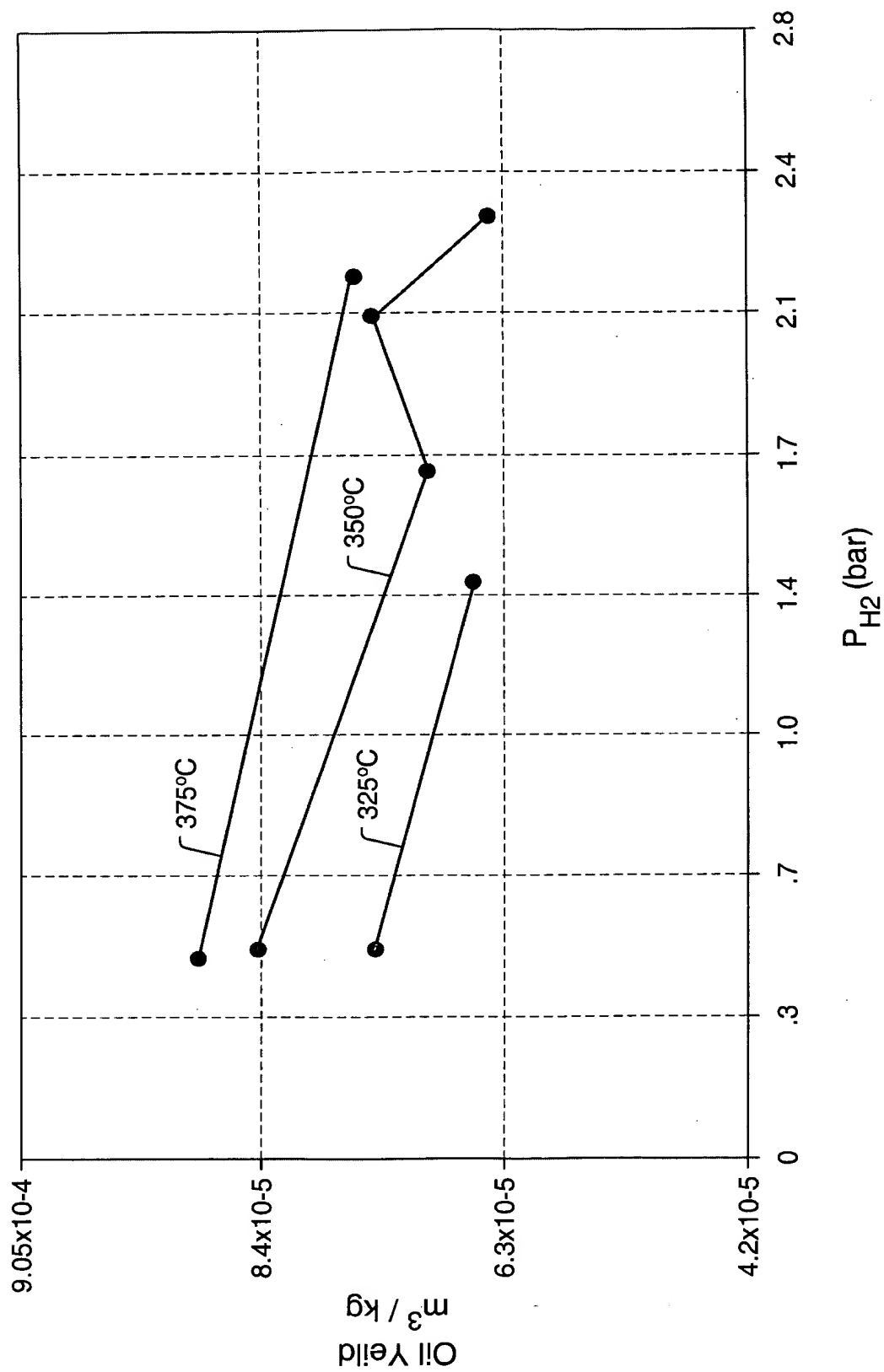


FIG. 99

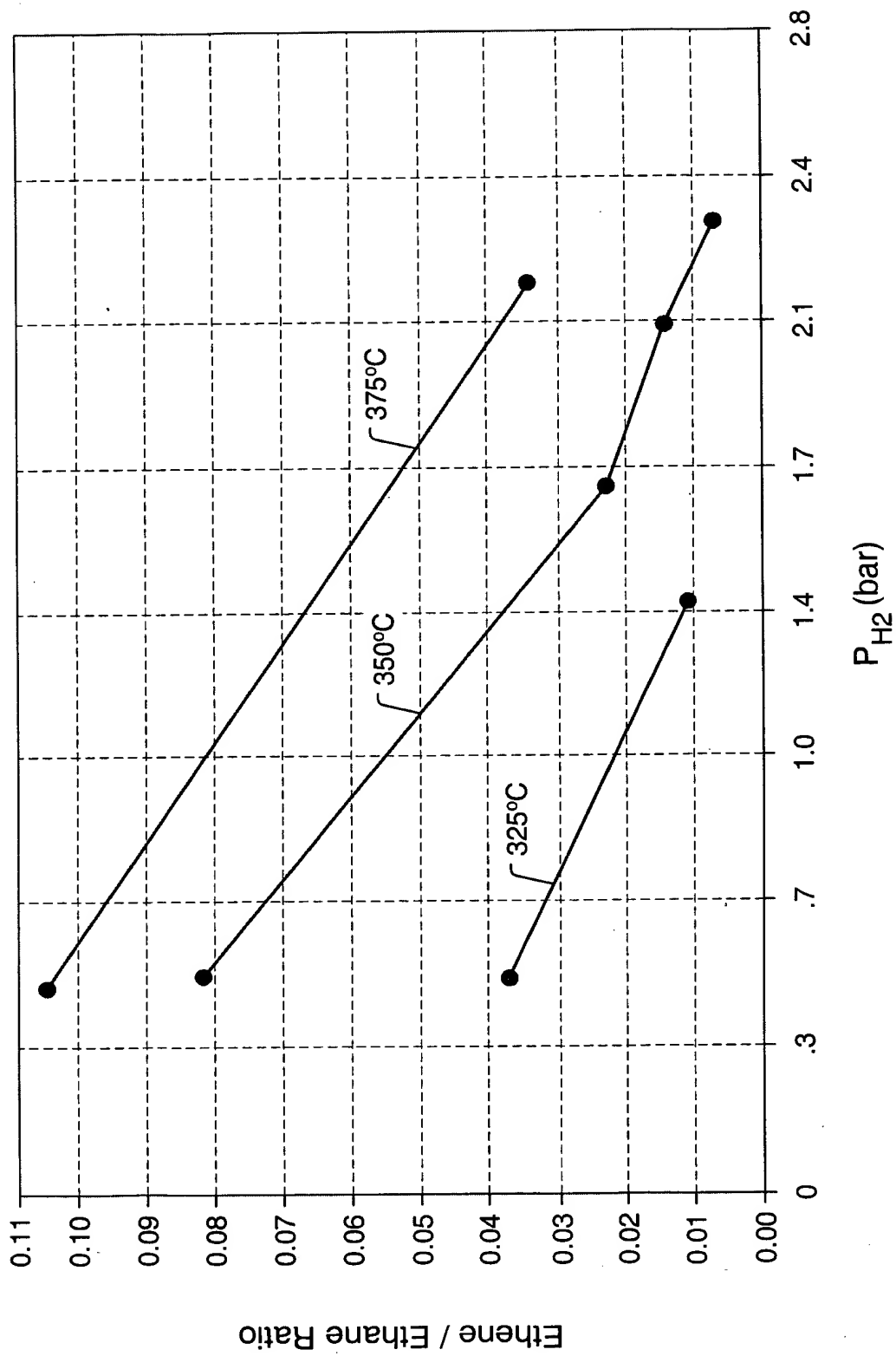


FIG. 100

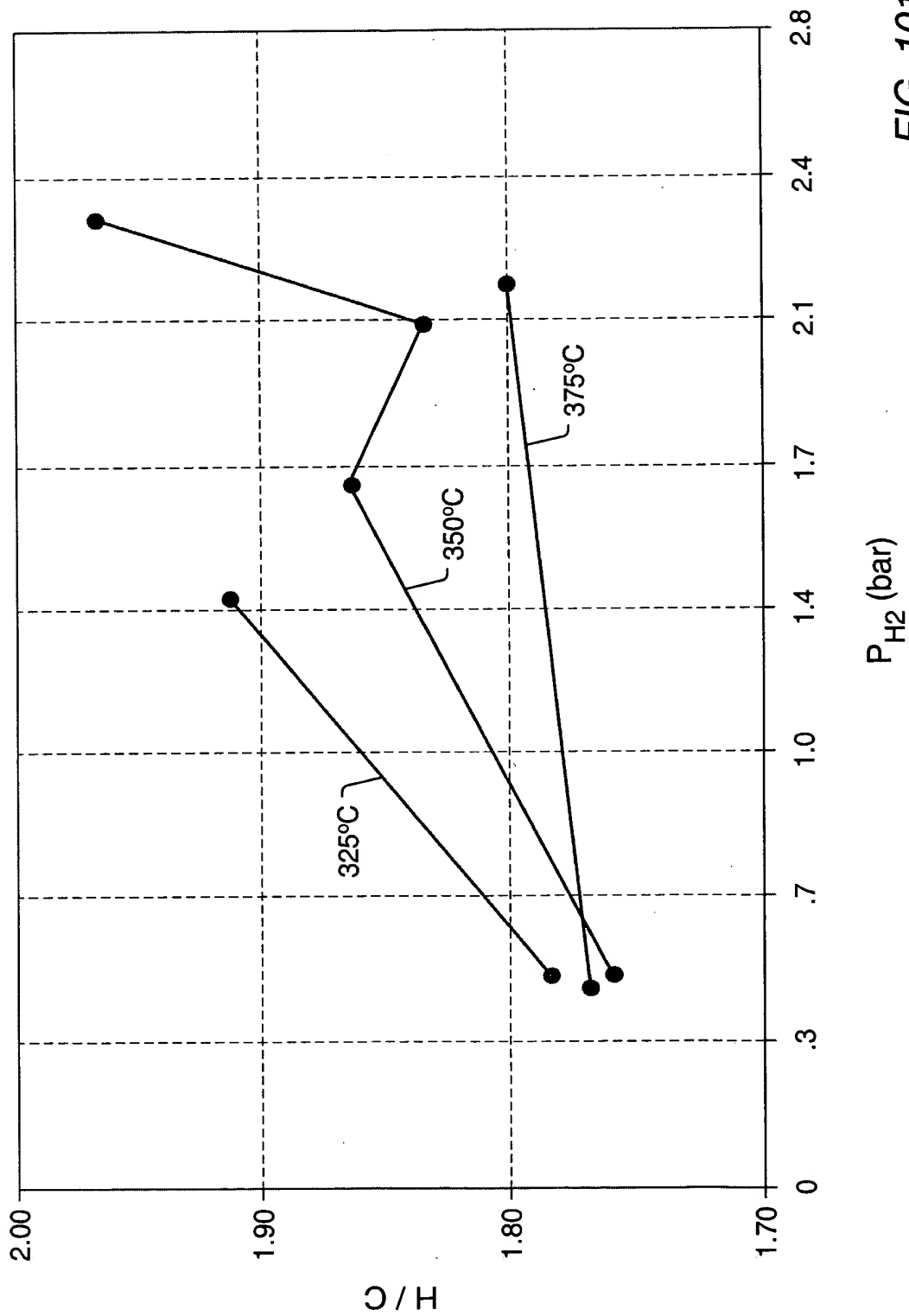


FIG. 101

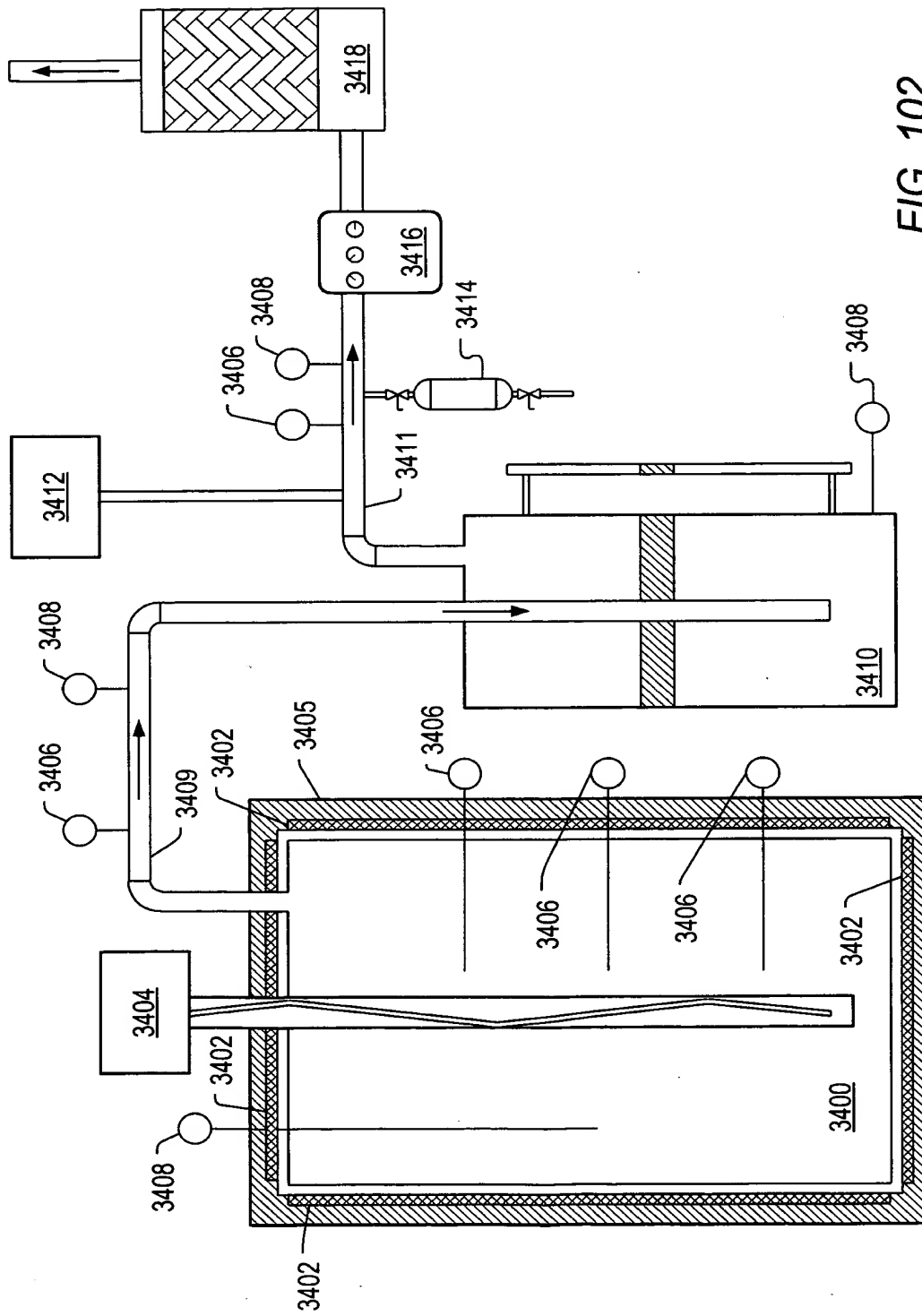


FIG. 102

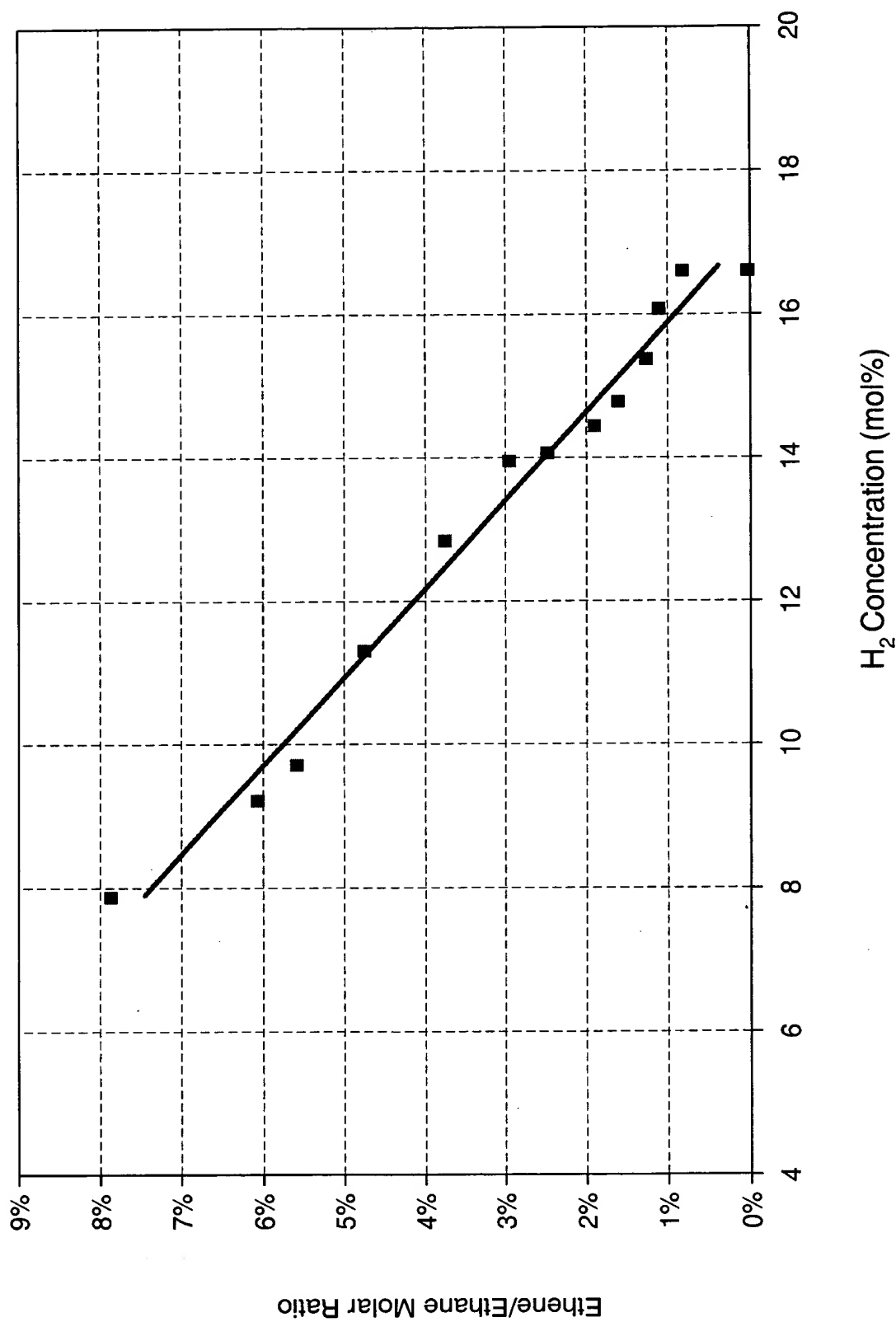
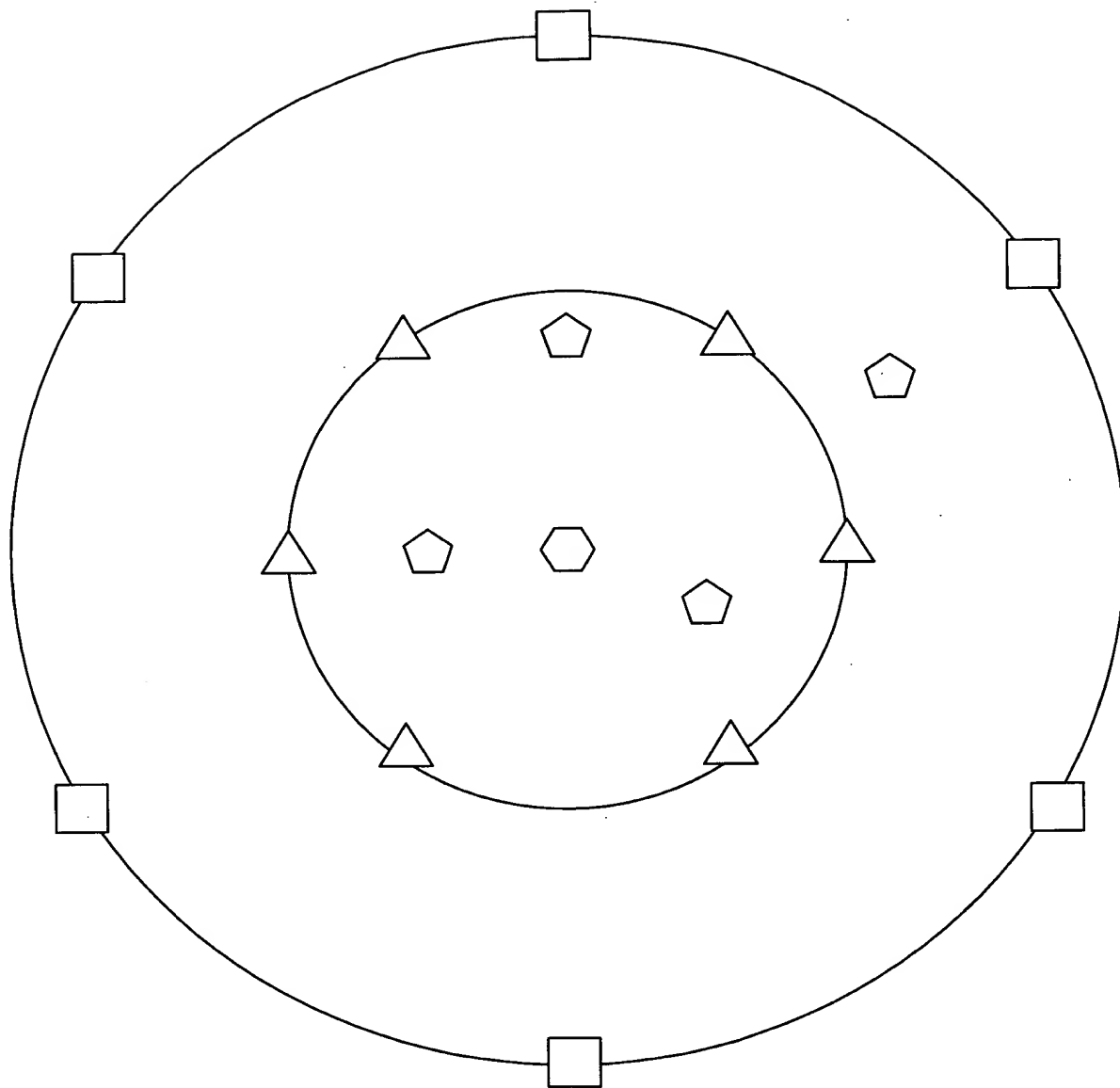


FIG. 103

FIG. 104



△ - 3600

⬠ - 3603

□ - 3604

⬡ - 3602

FIG. 104

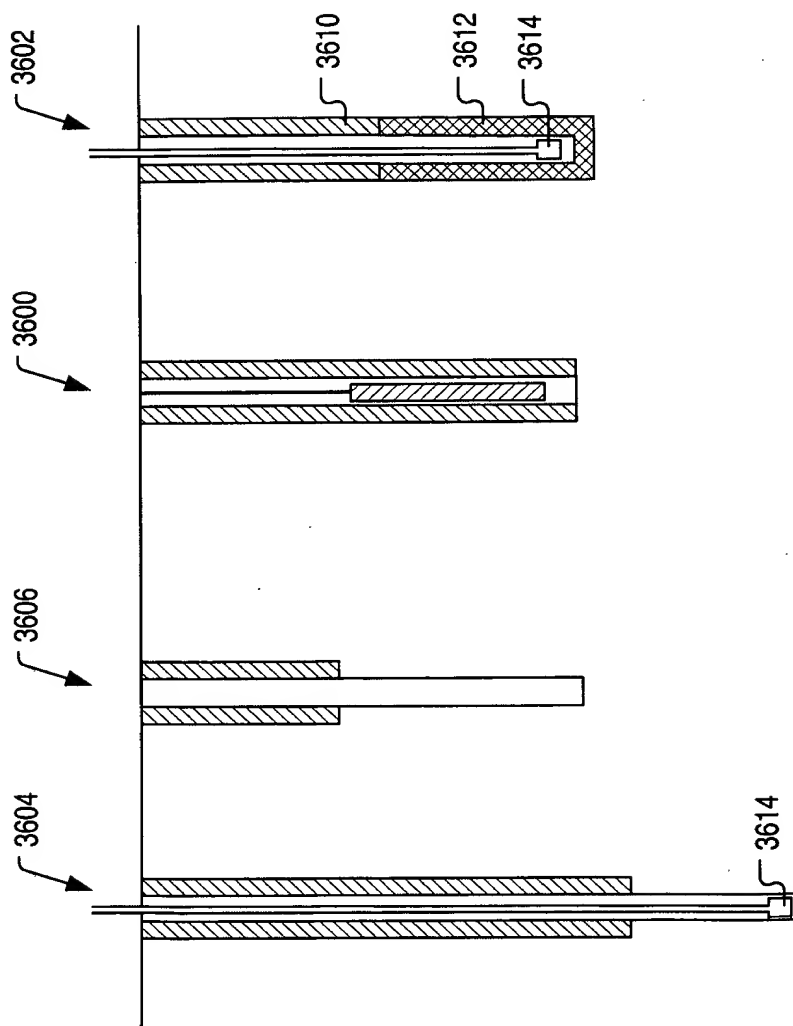


FIG. 105

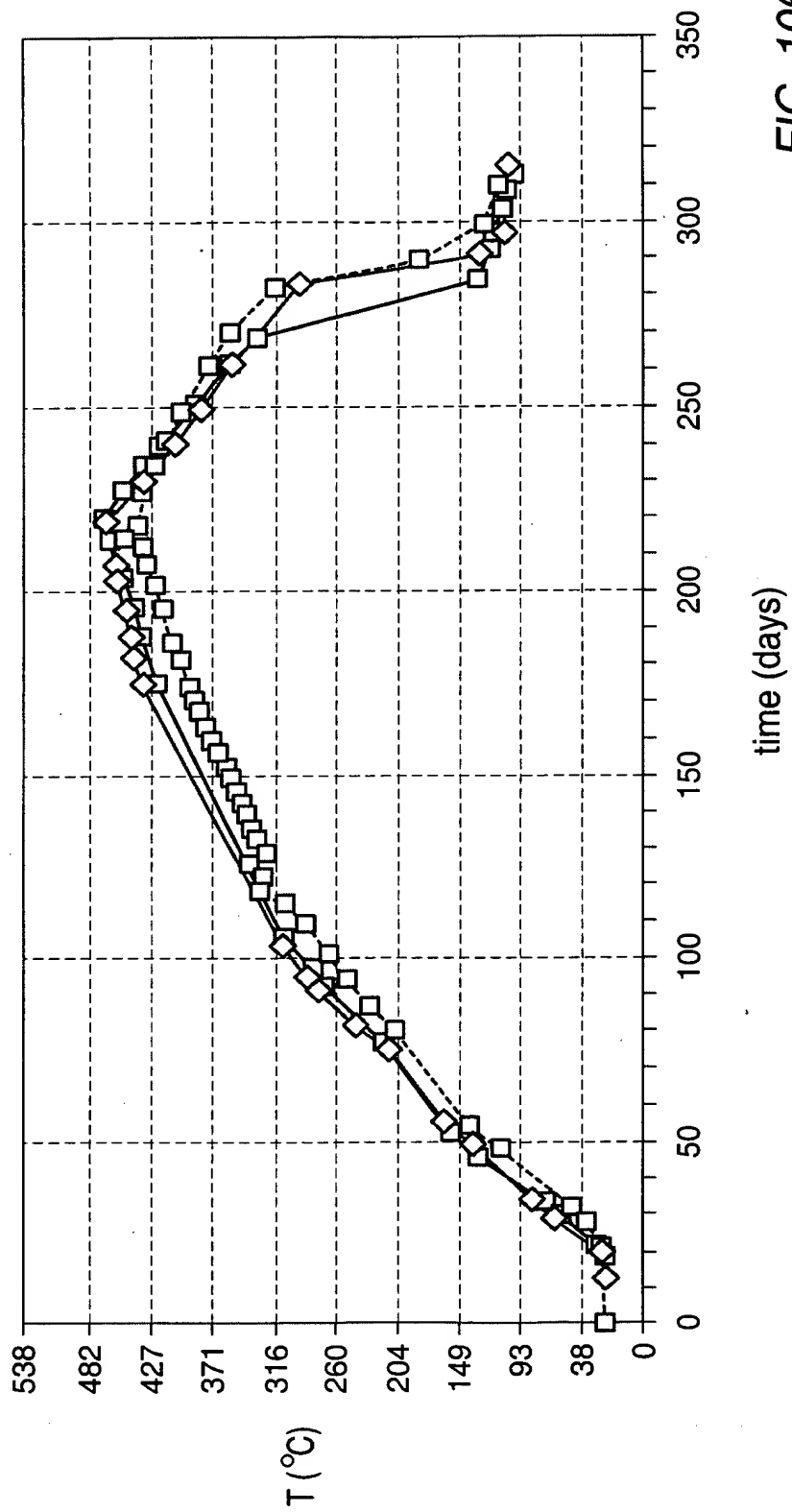


FIG. 106

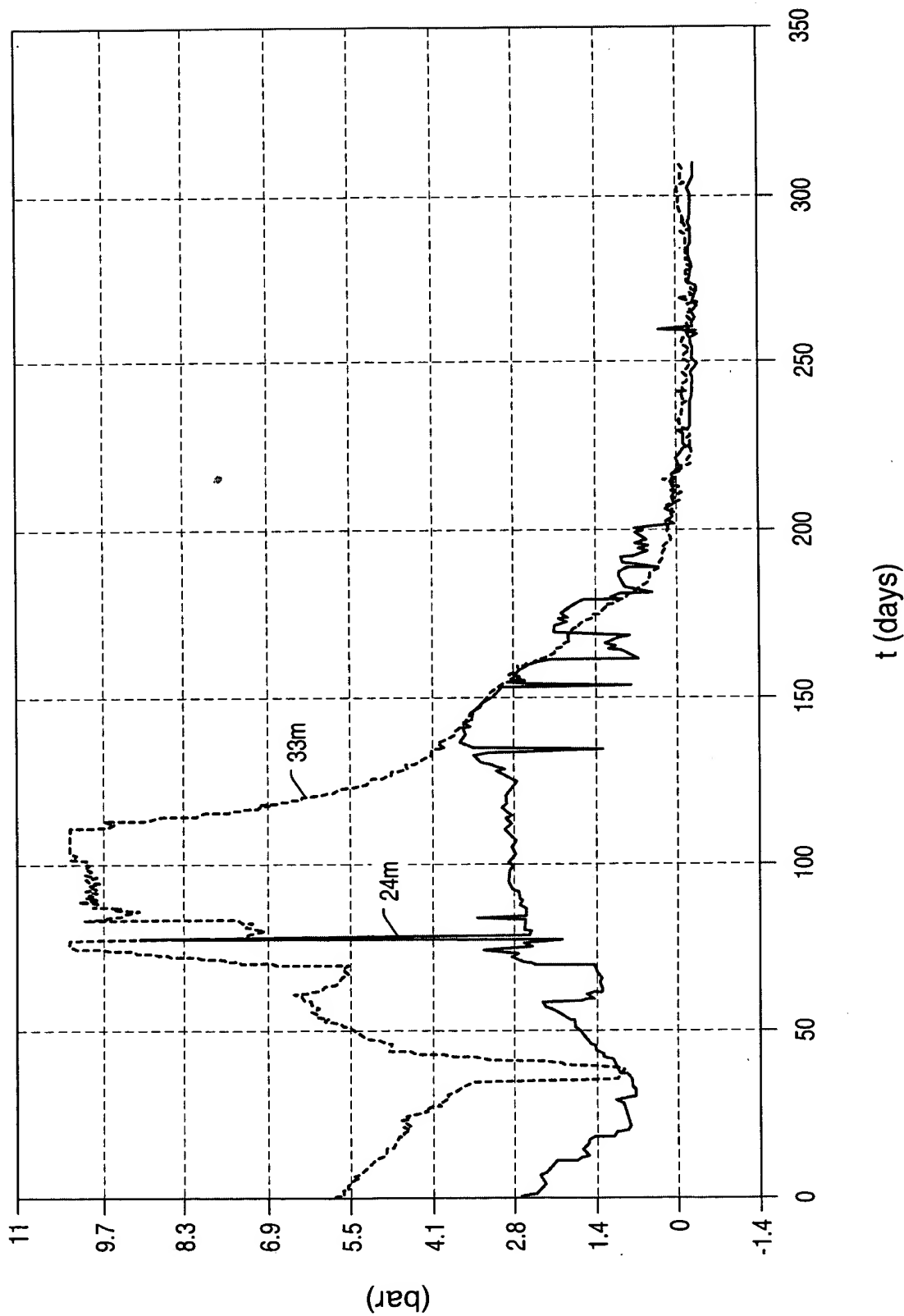


FIG. 107

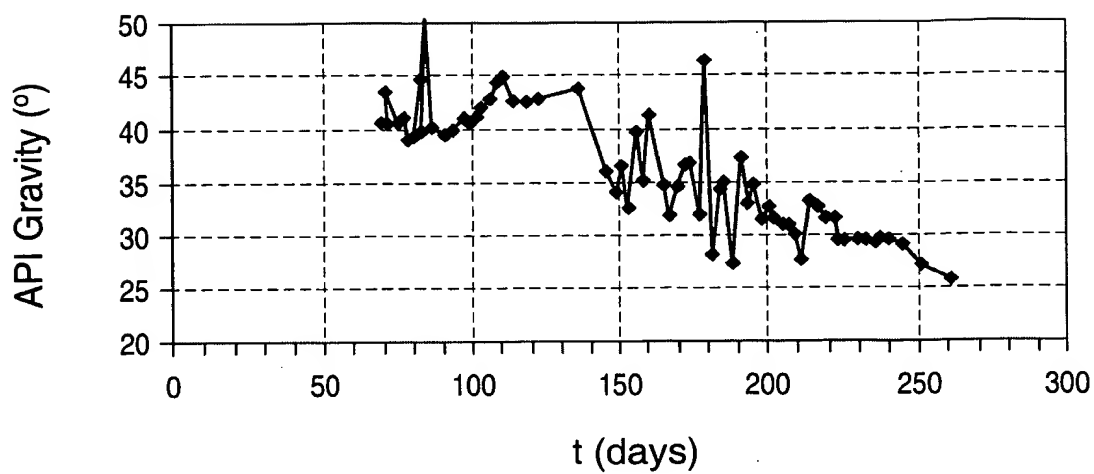


FIG. 108

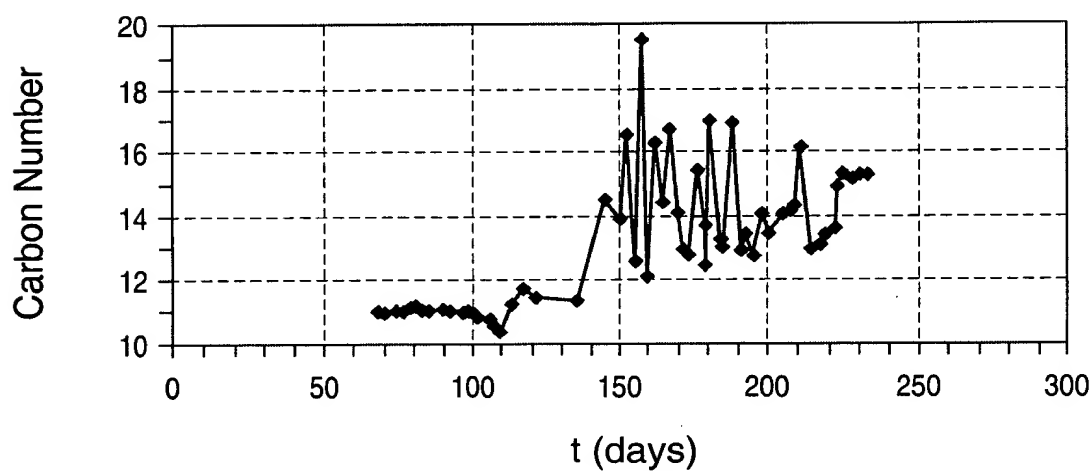


FIG. 109

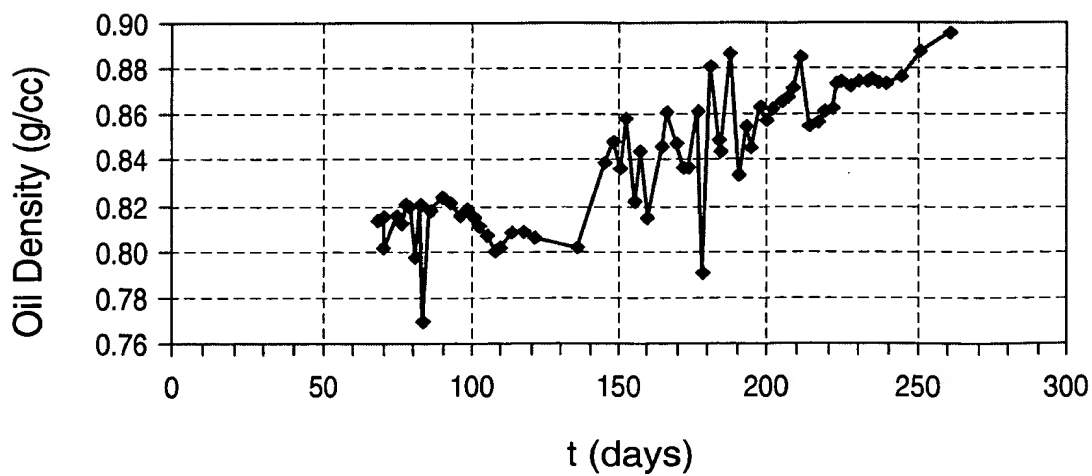


FIG. 110

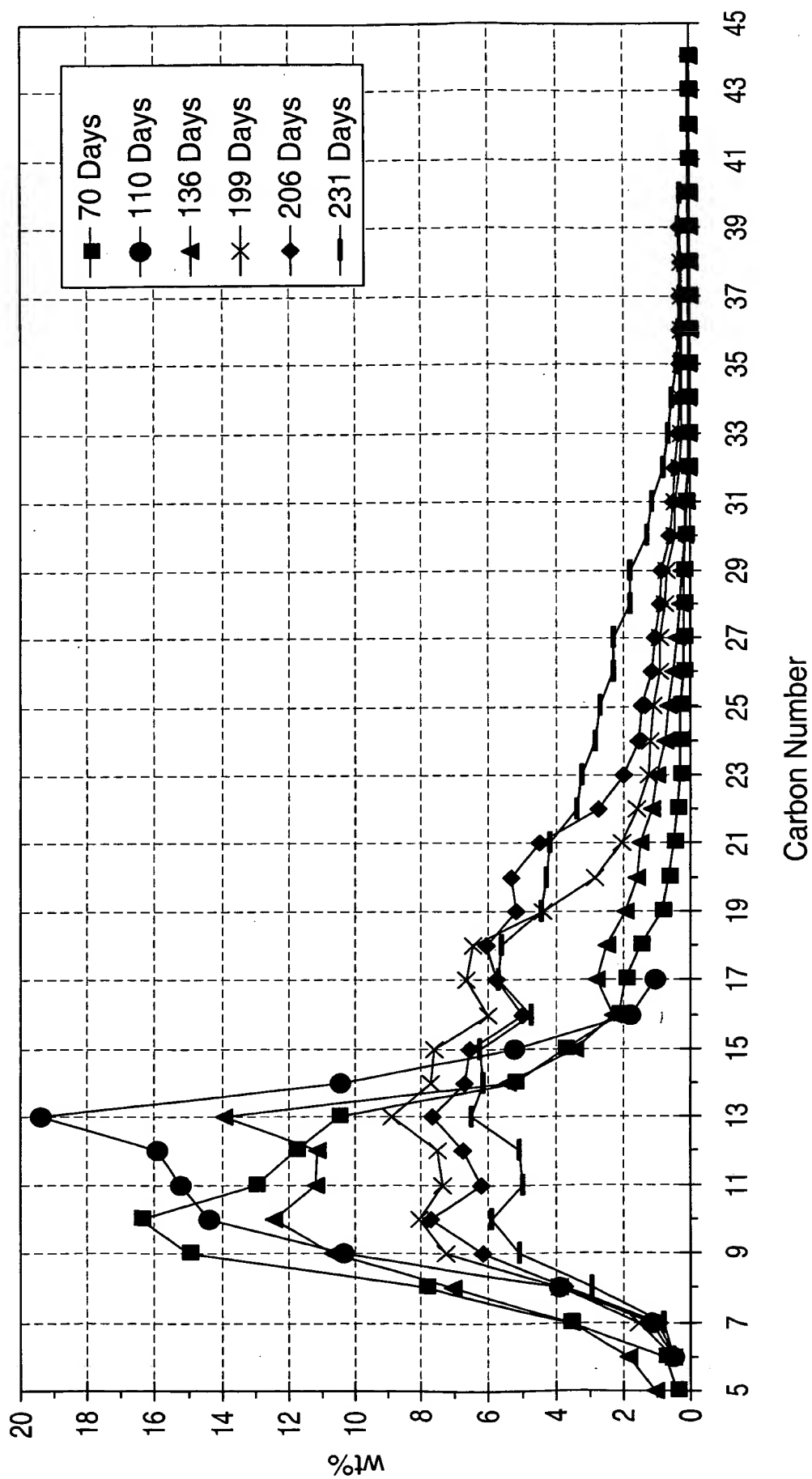


FIG. 111

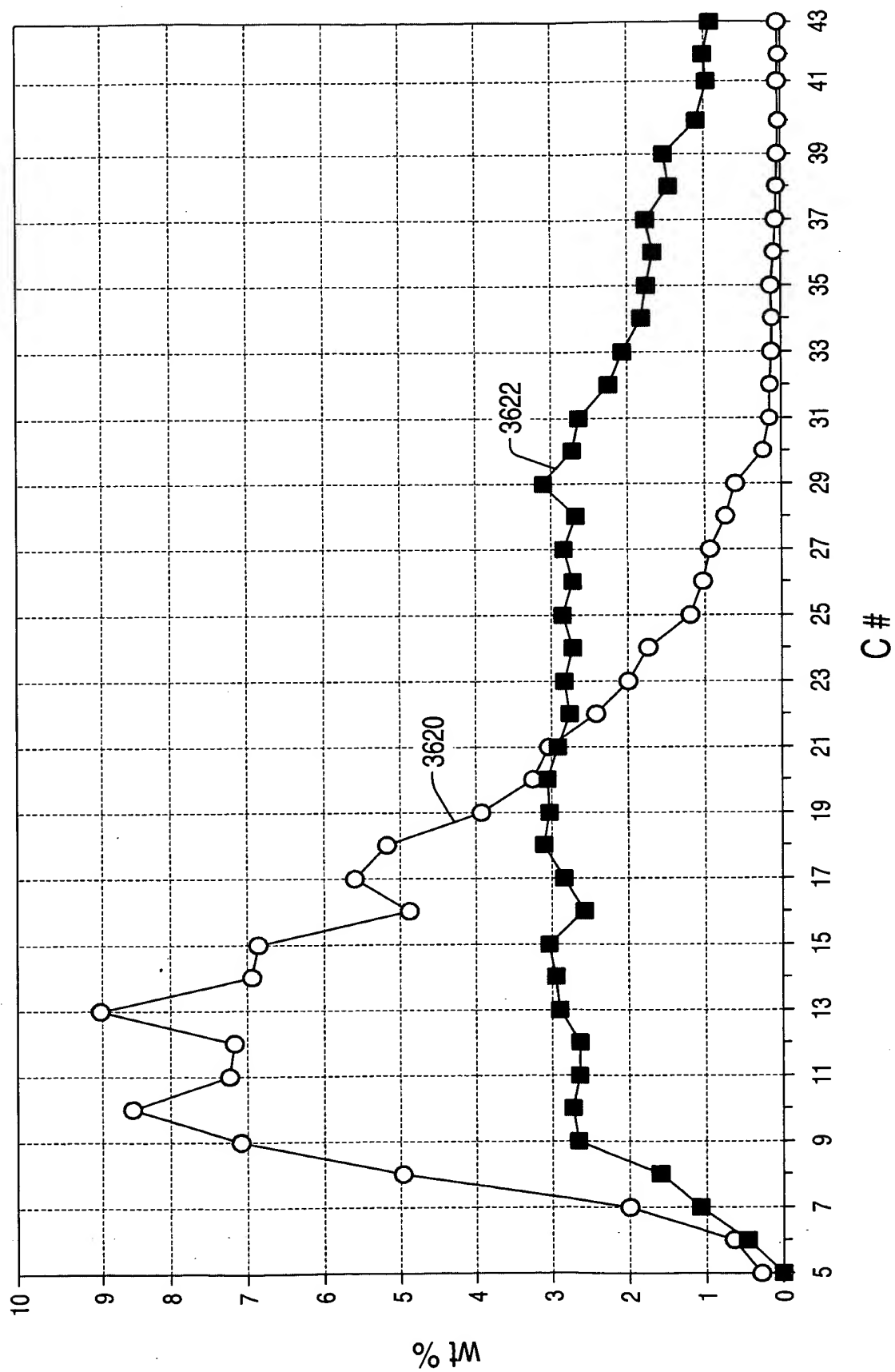


FIG. 112

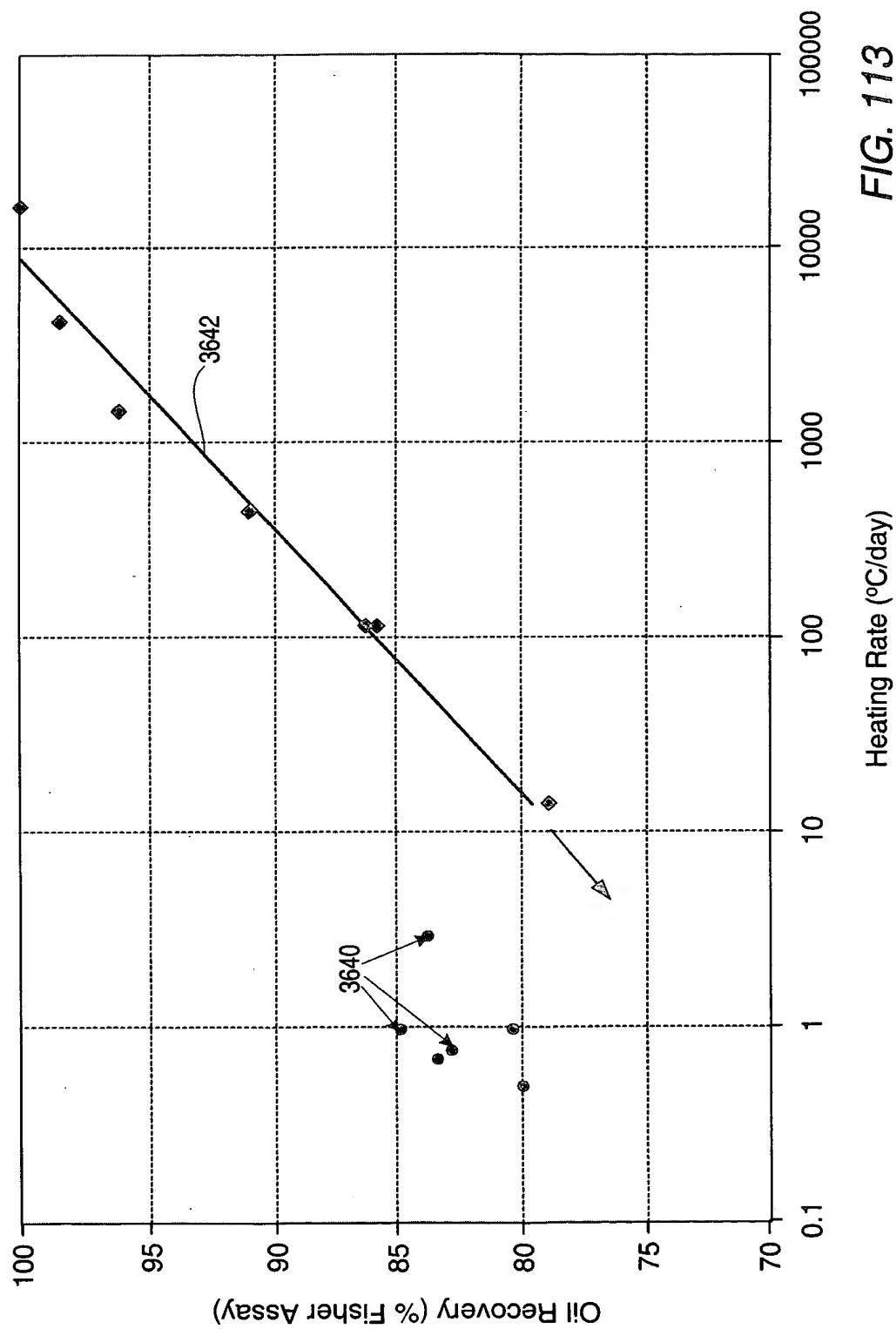


FIG. 113

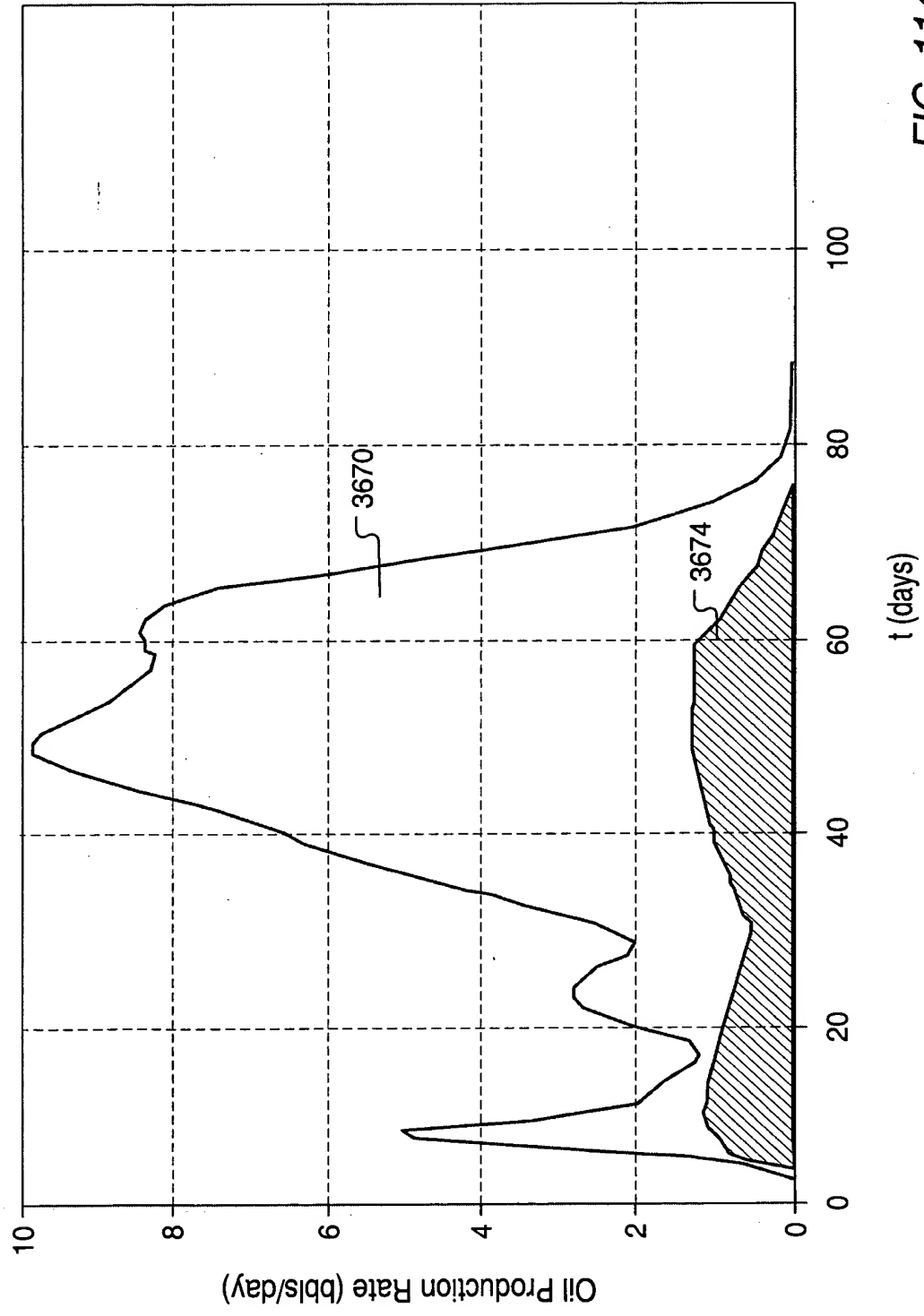


FIG. 114

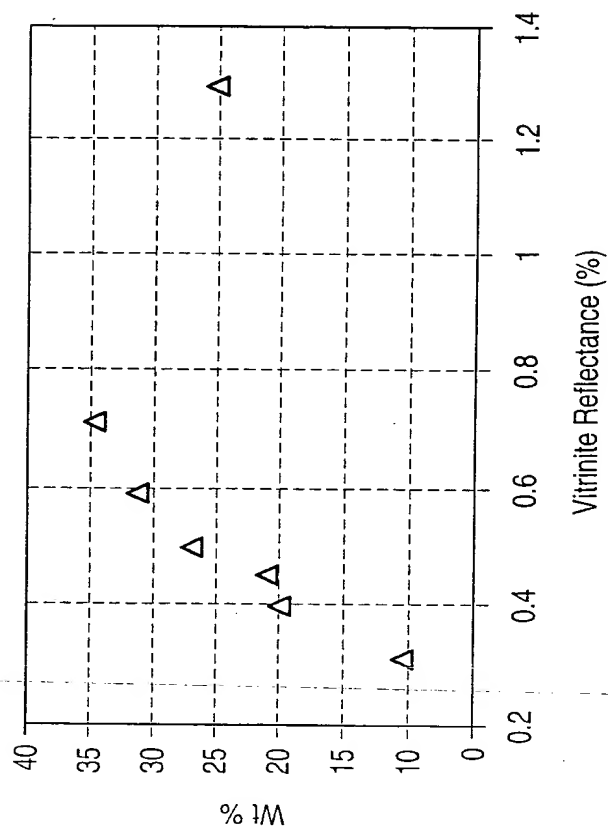


FIG. 115

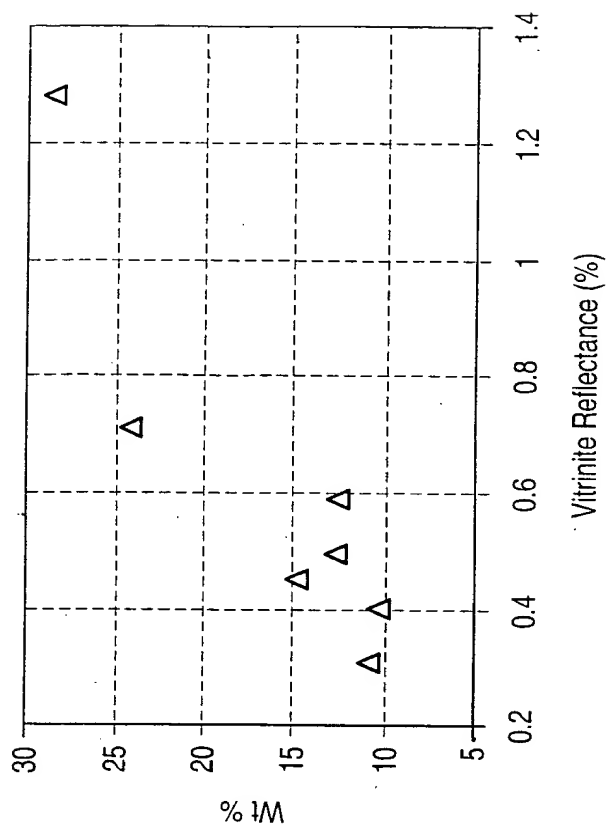


FIG. 116

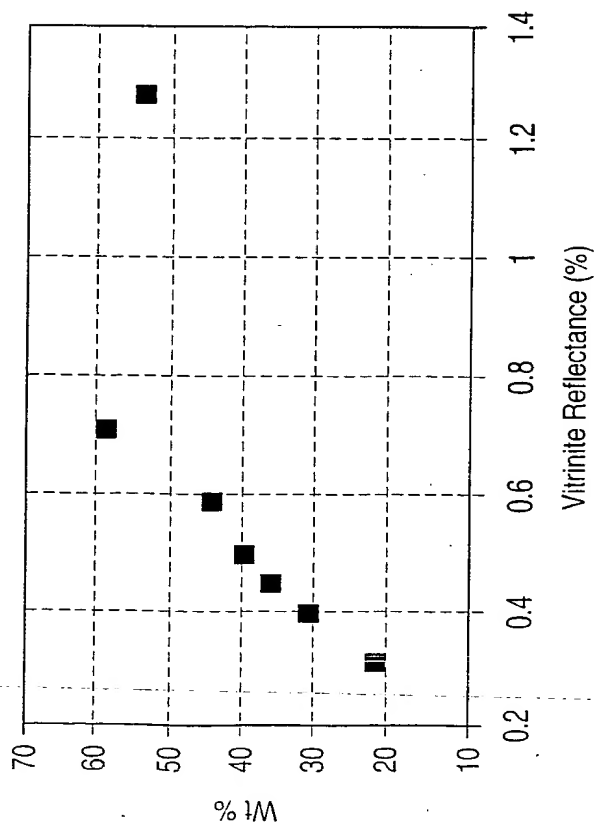


FIG. 117

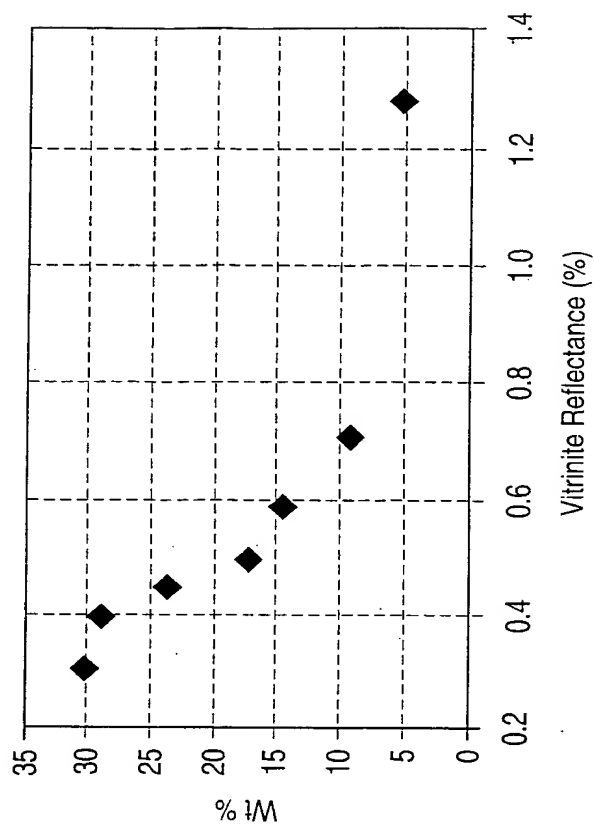


FIG. 118

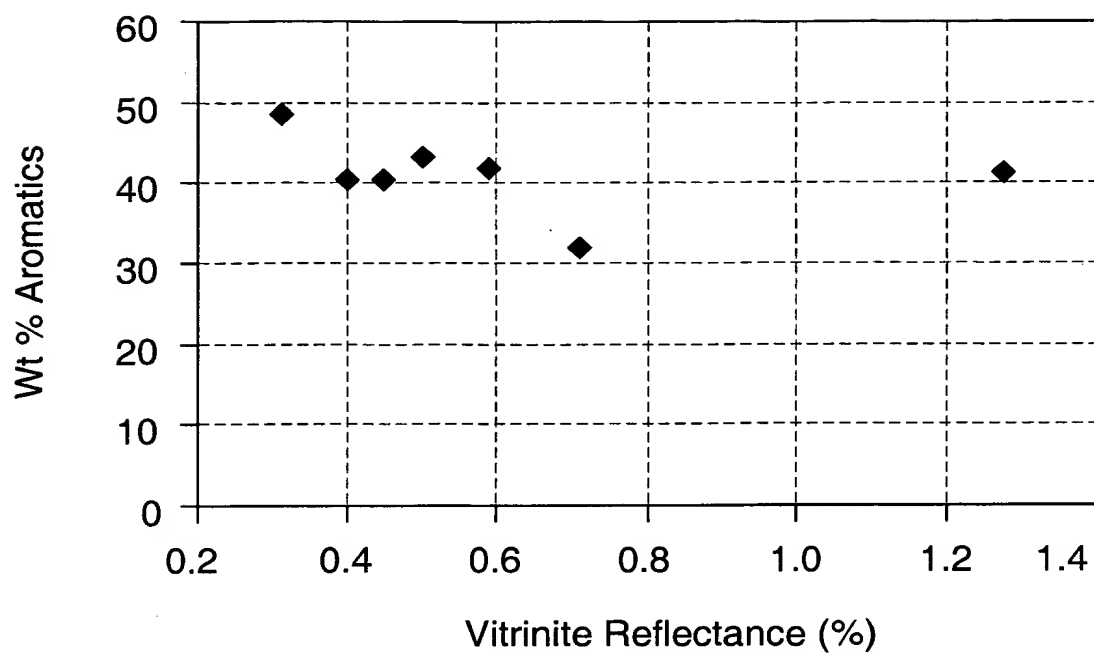


FIG. 119

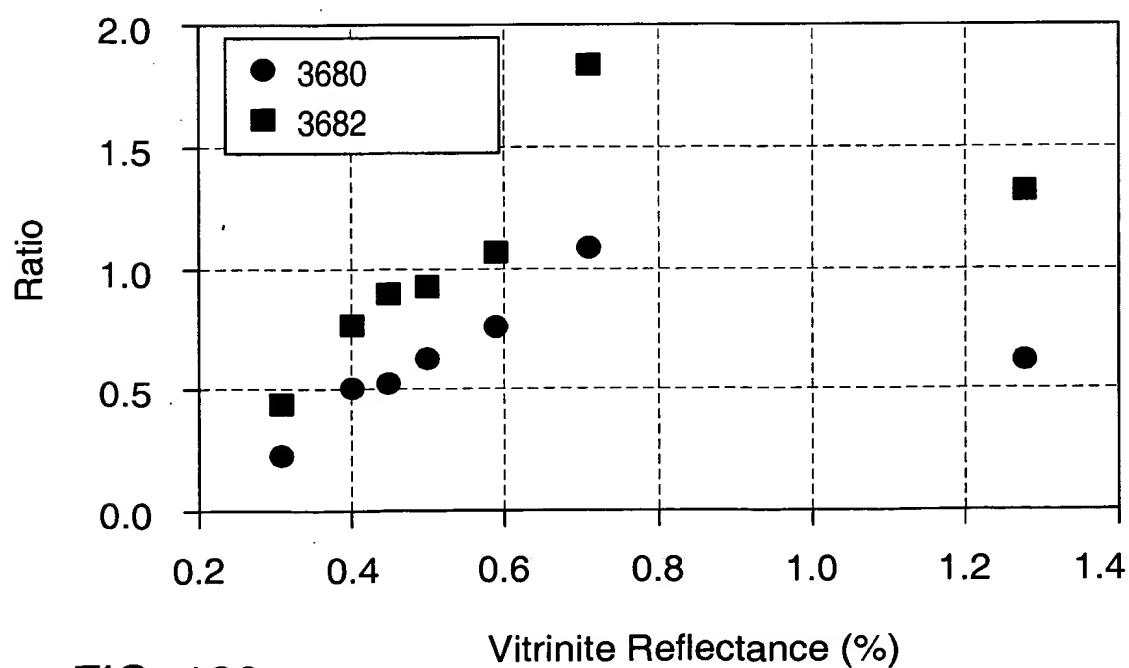
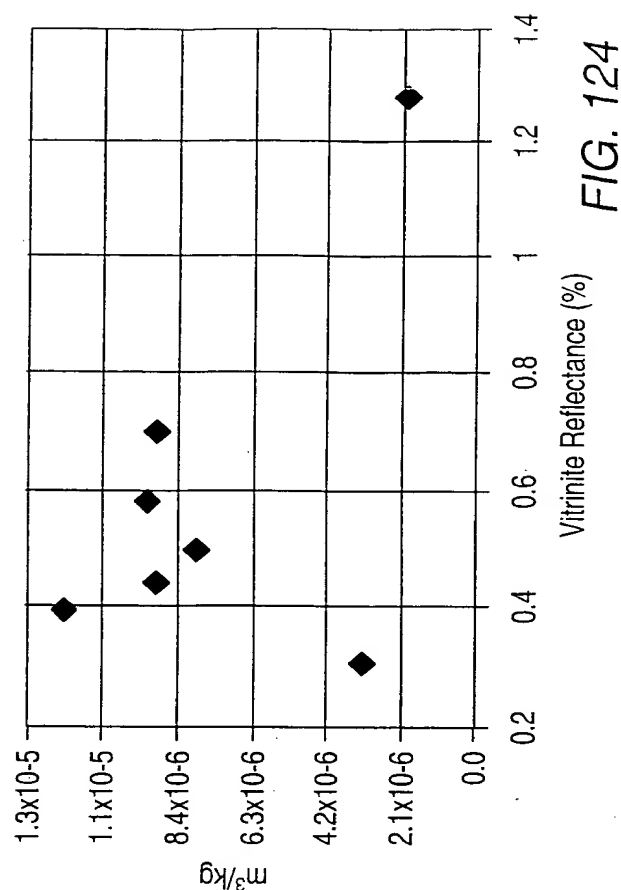
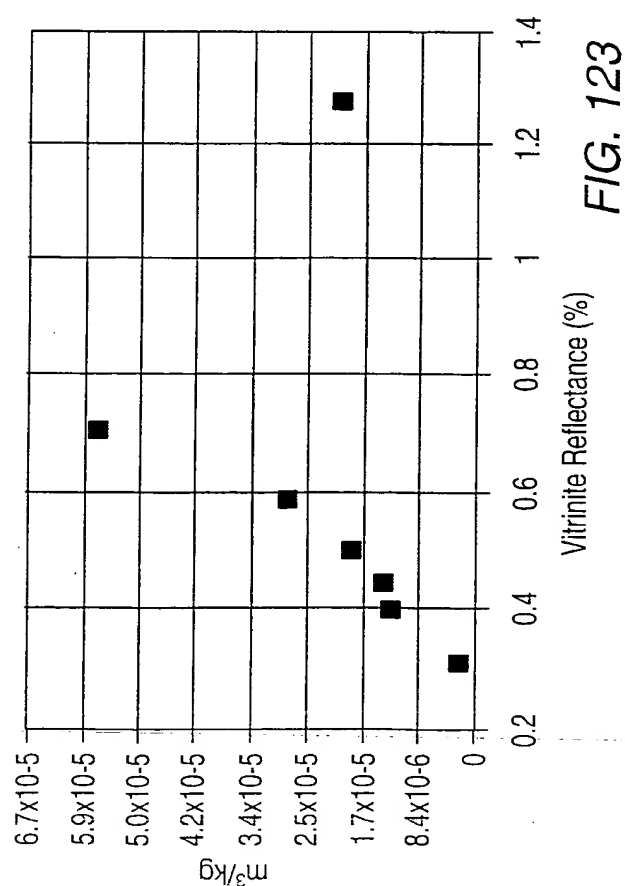
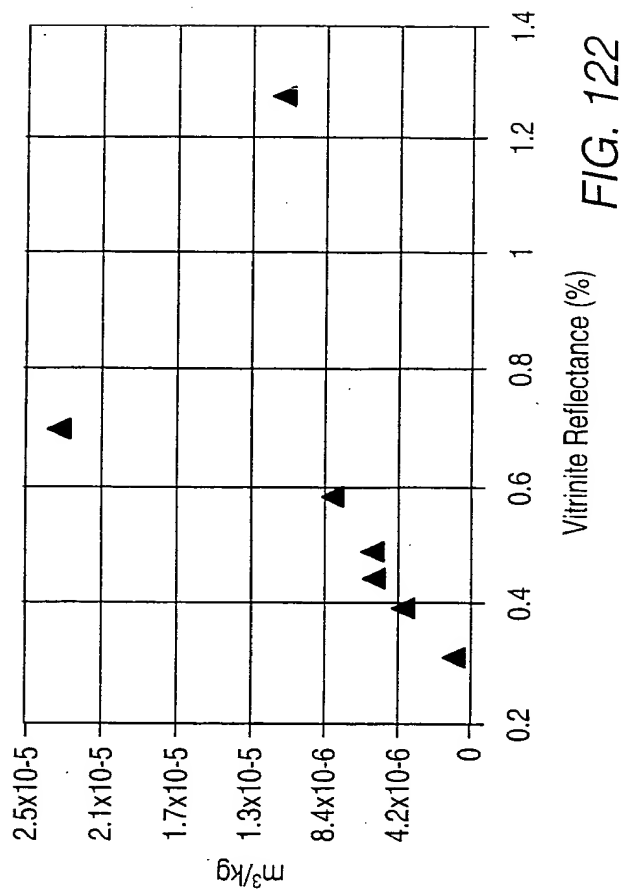
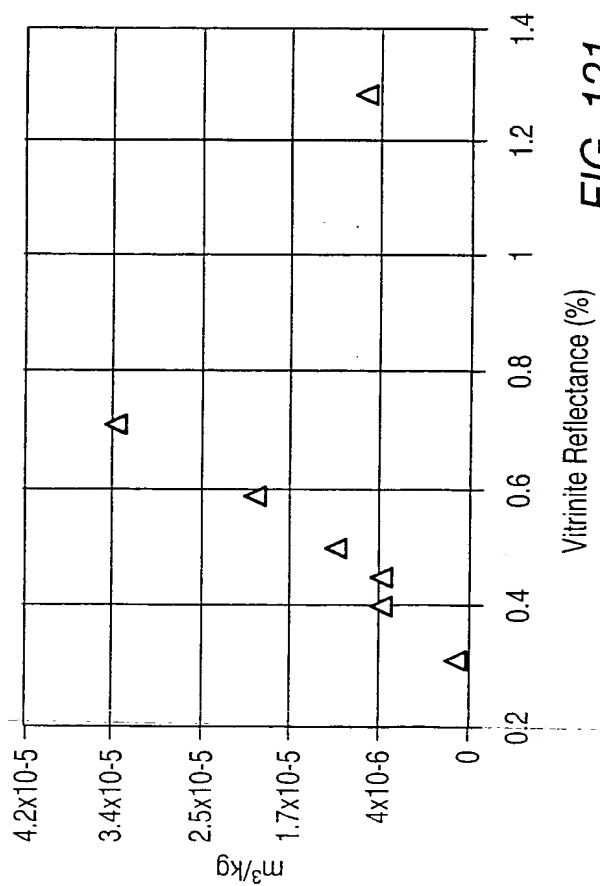


FIG. 120



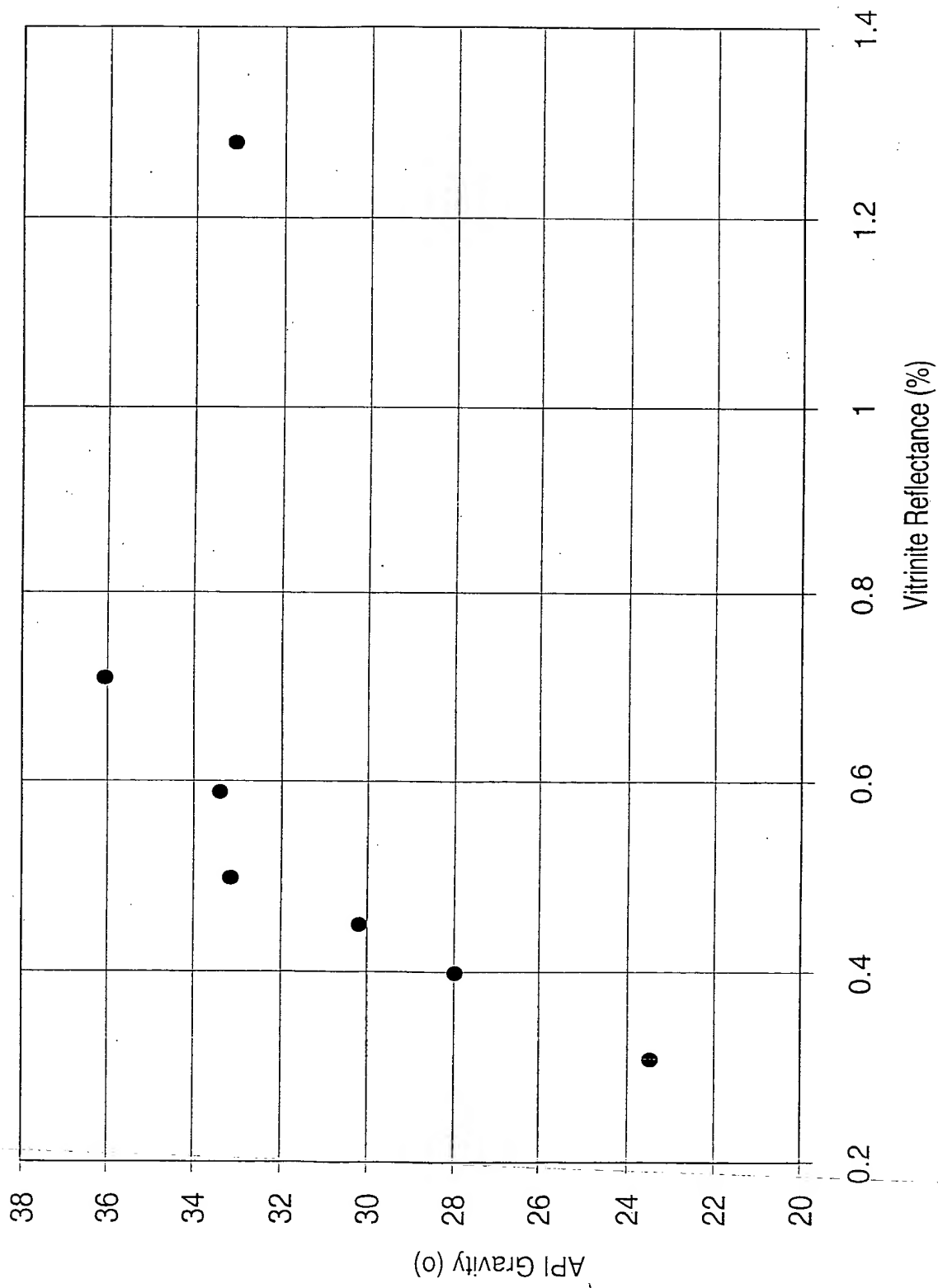
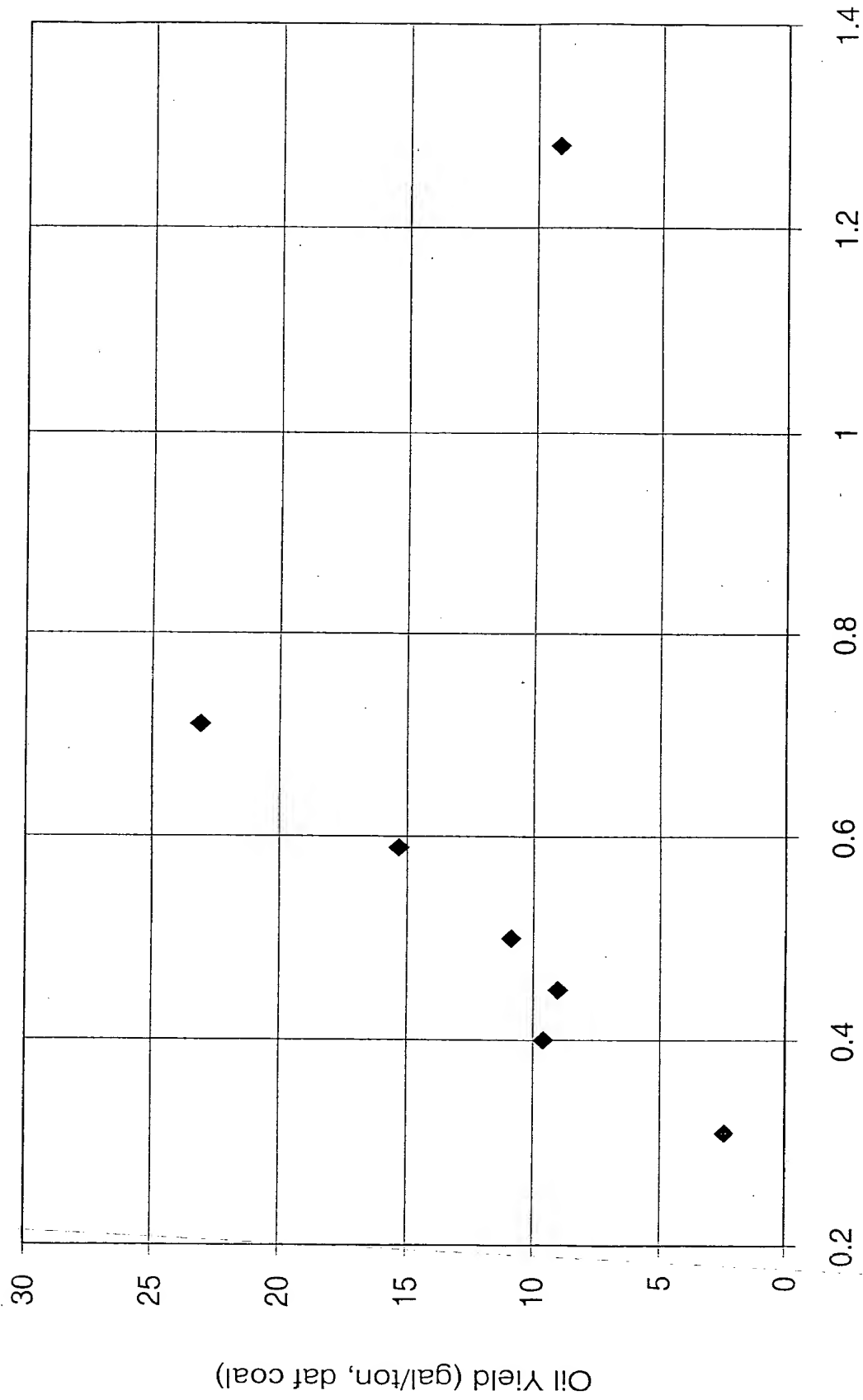


FIG. 125



Vitrinite Reflectance (%)

FIG. 126

A scatter plot showing the relationship between CO_2 yield (Y-axis, 0 to 5) and vit. ref. (X-axis, 0.0 to 6.0). The data points, represented by open diamonds, show a general trend of decreasing CO_2 yield as vit. ref. increases. Most points are clustered at low vit. ref. values (below 1.0) with CO_2 yields between 0.5 and 4.2. A few points are scattered at higher vit. ref. values, including one near (5.7, 0.2).

FIG. 127

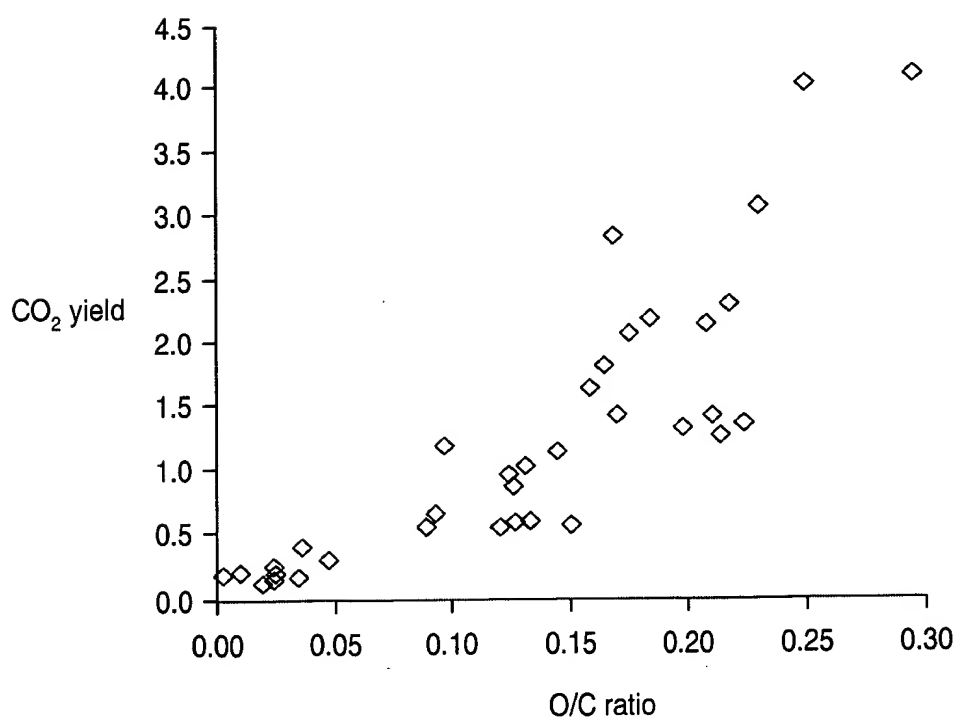


FIG. 128

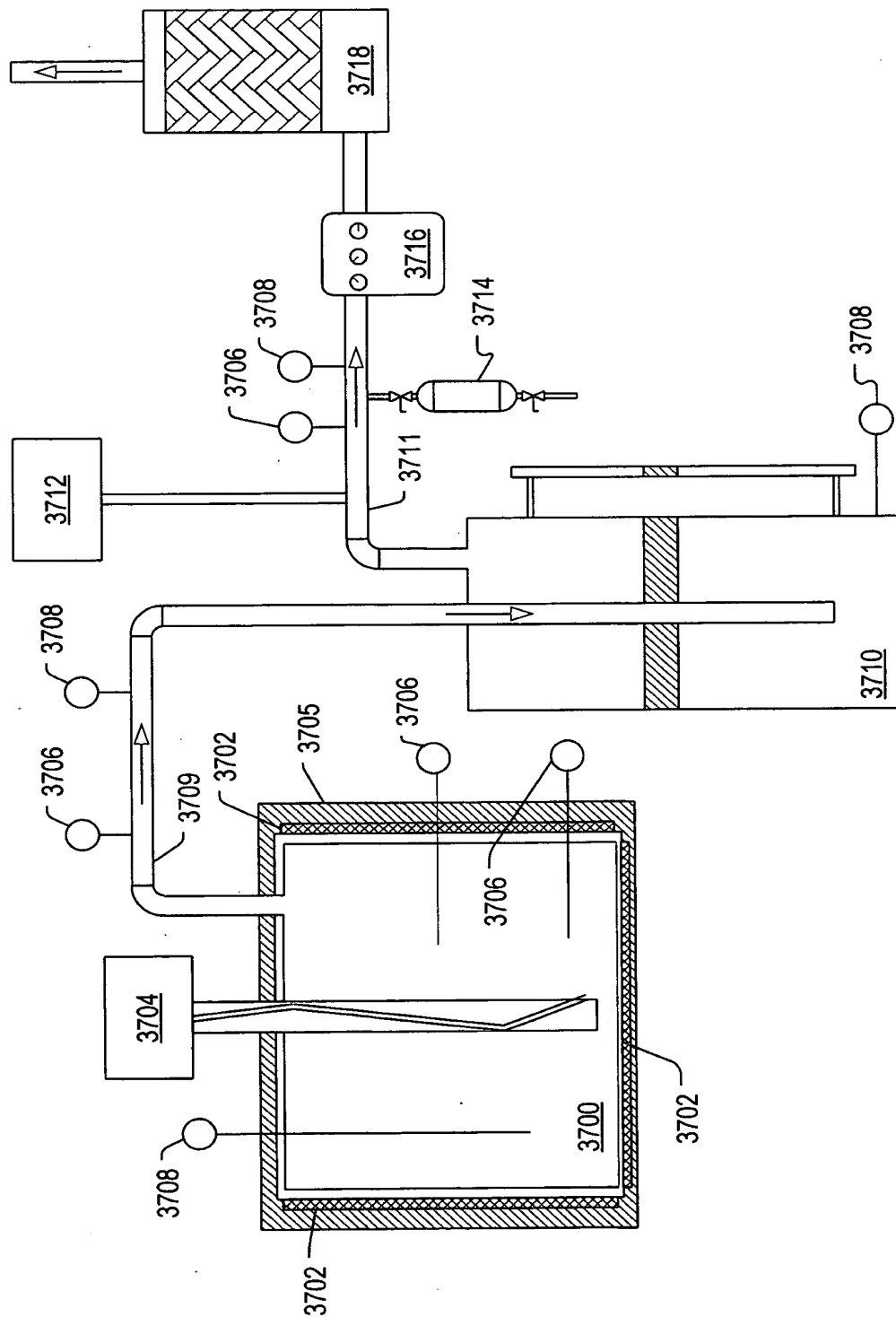


FIG. 129

T04240° S0E F4860

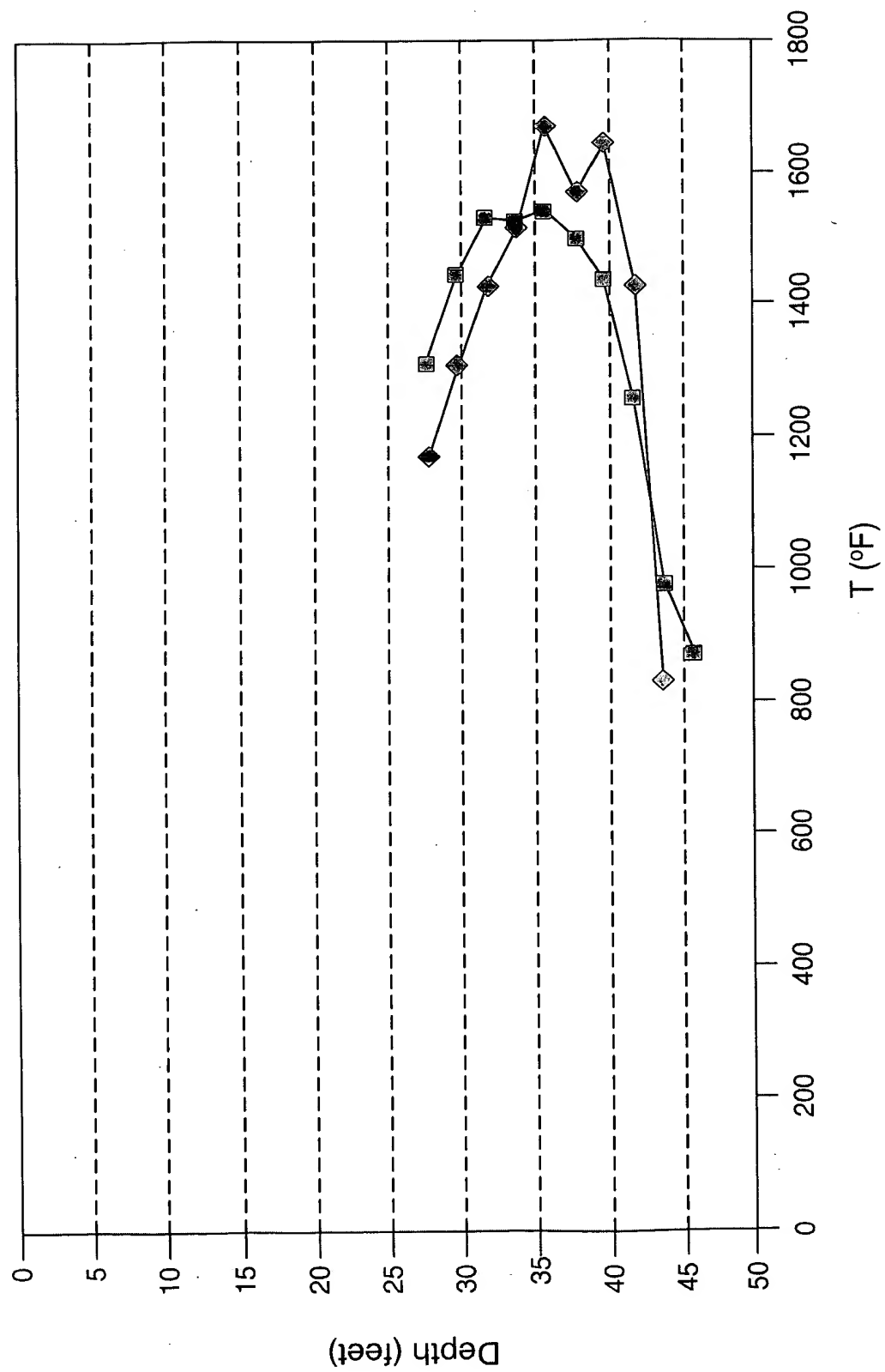


FIG. 130

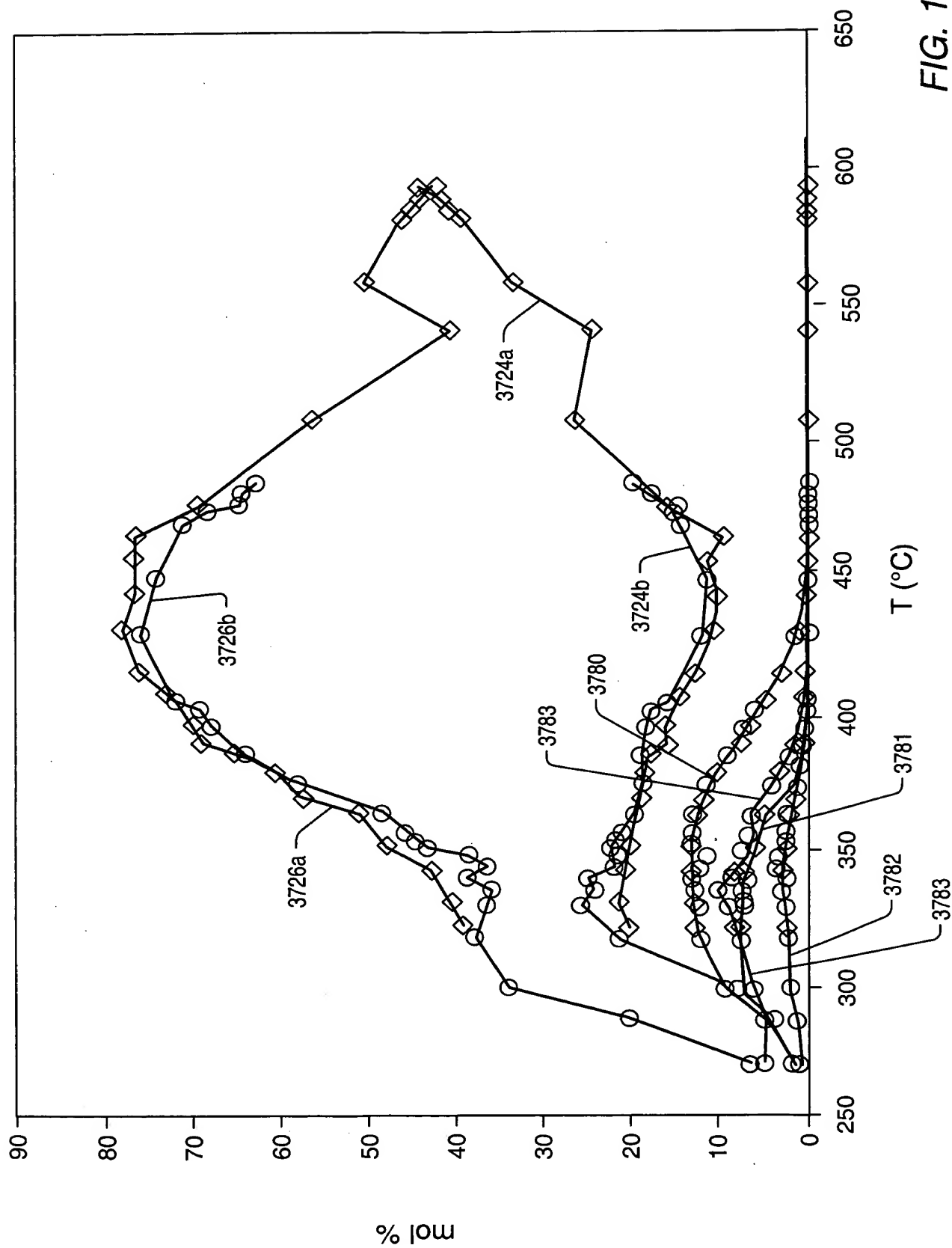


FIG. 131

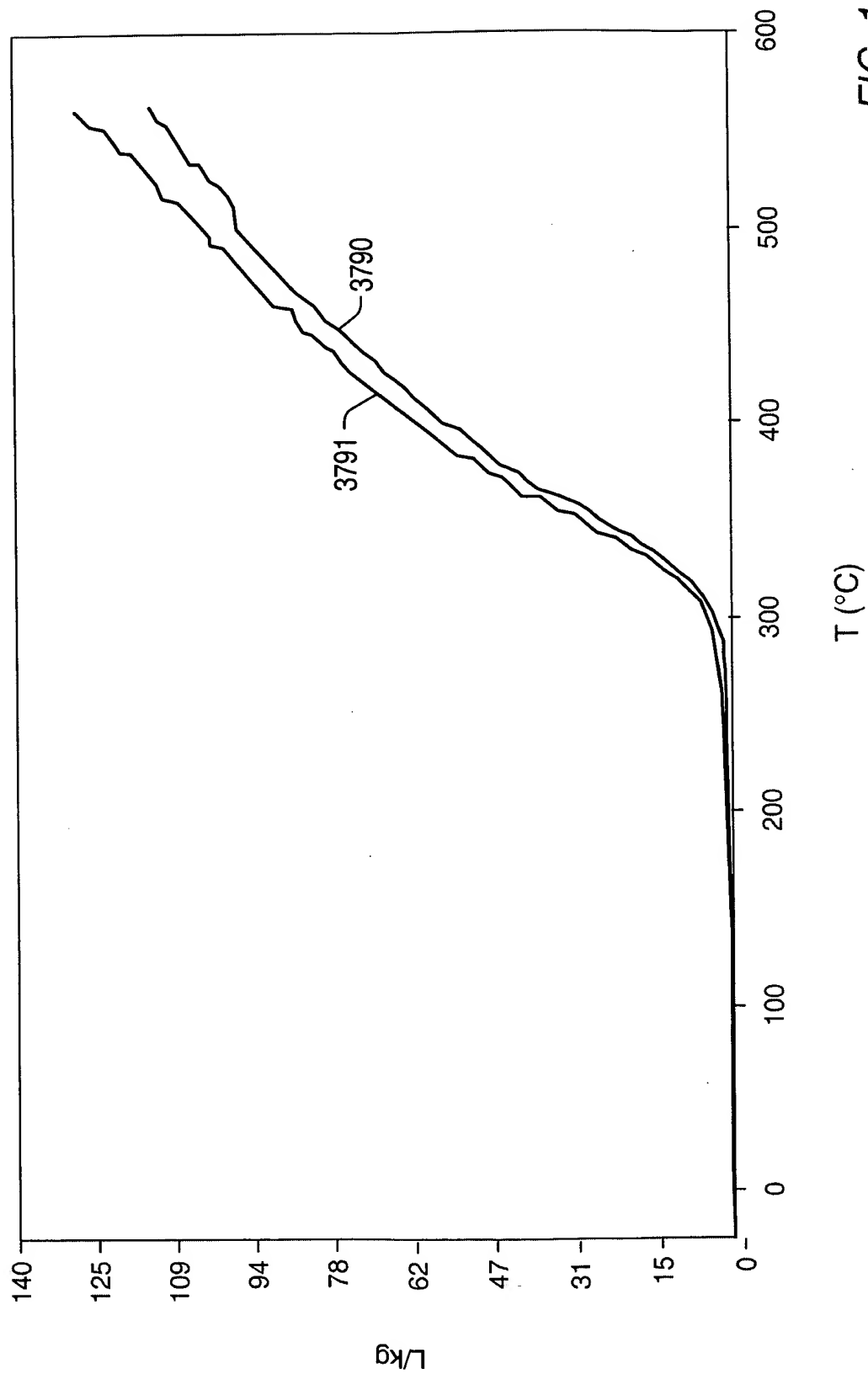


FIG. 132

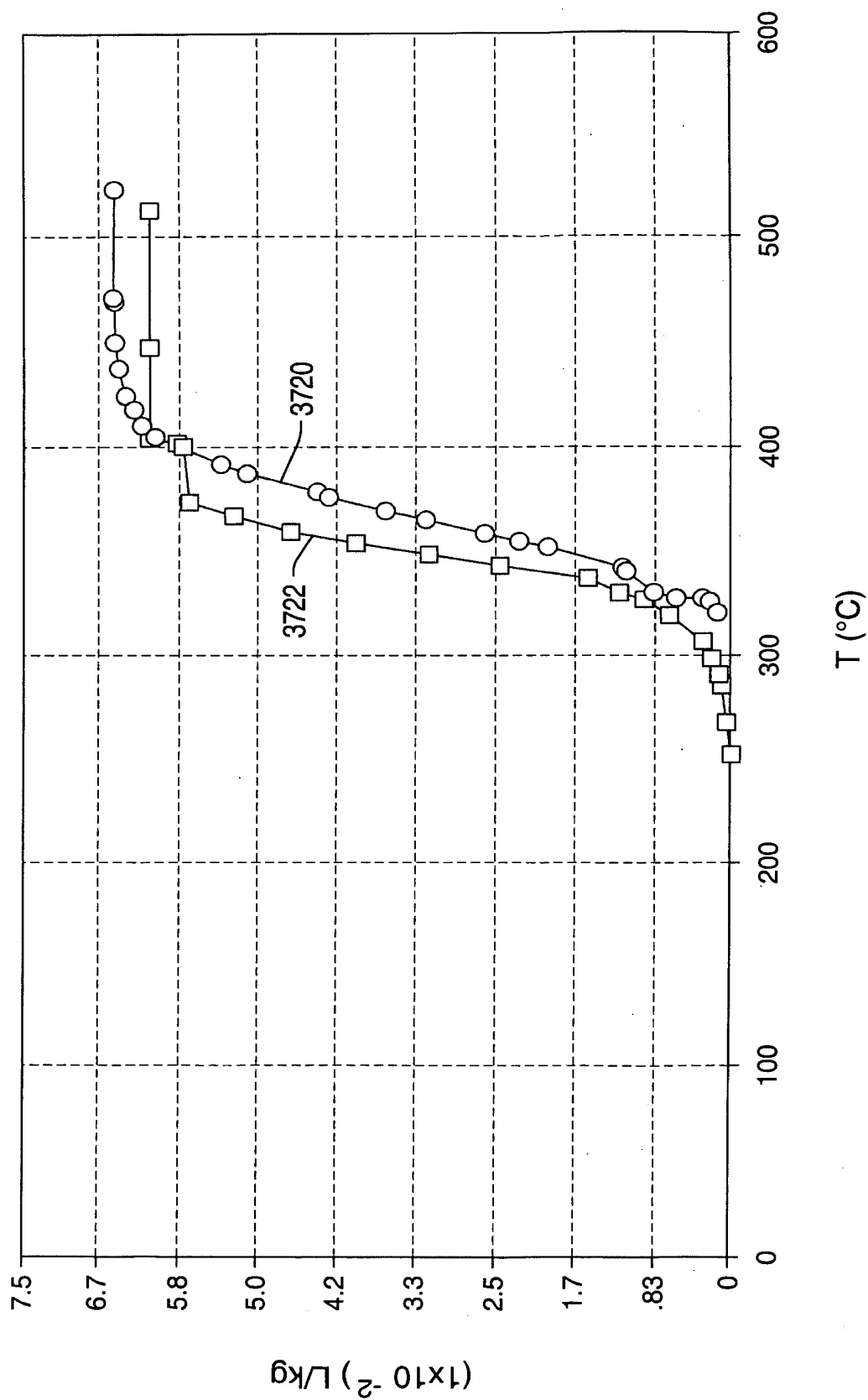


FIG. 133

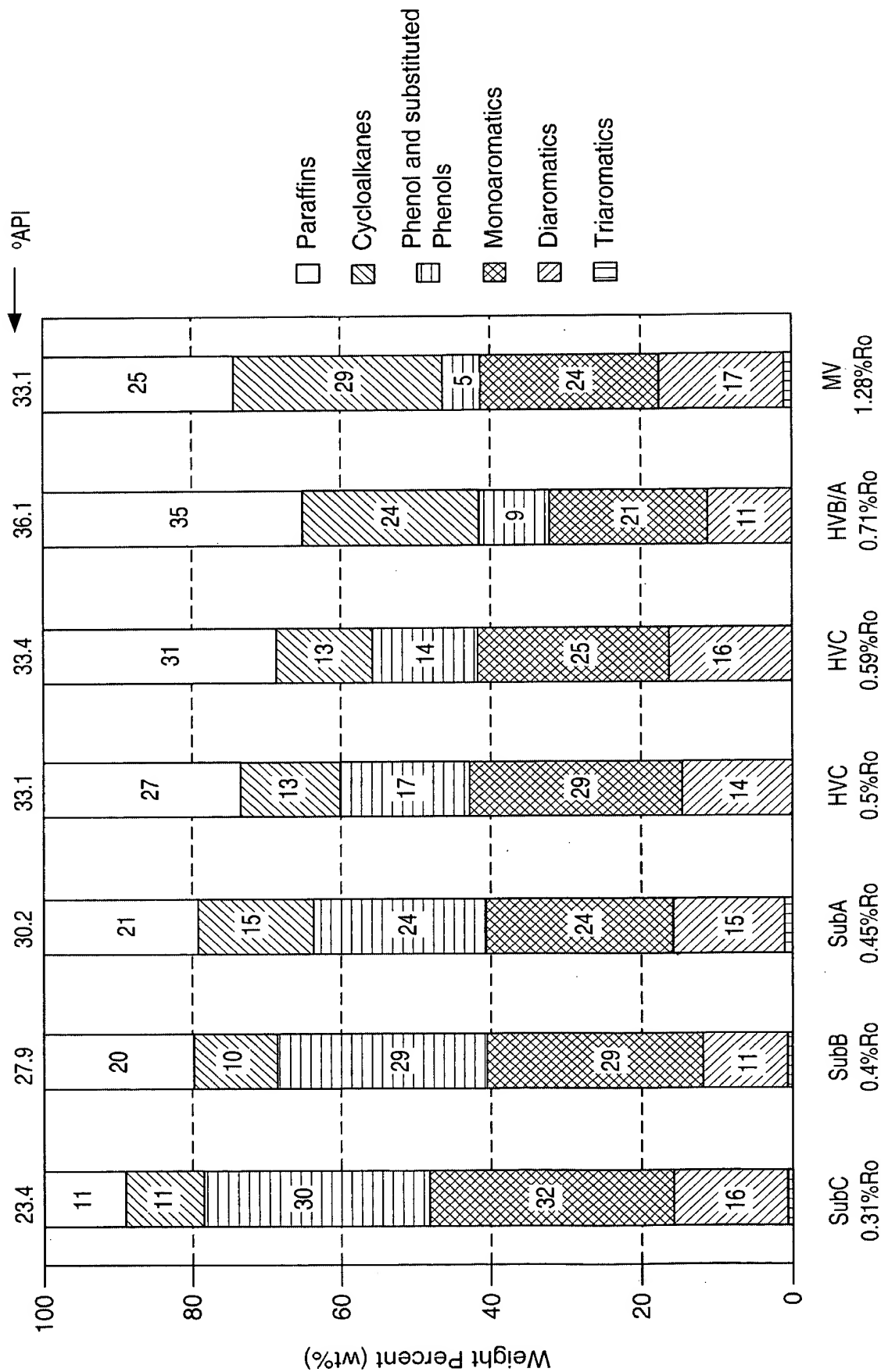


FIG. 134

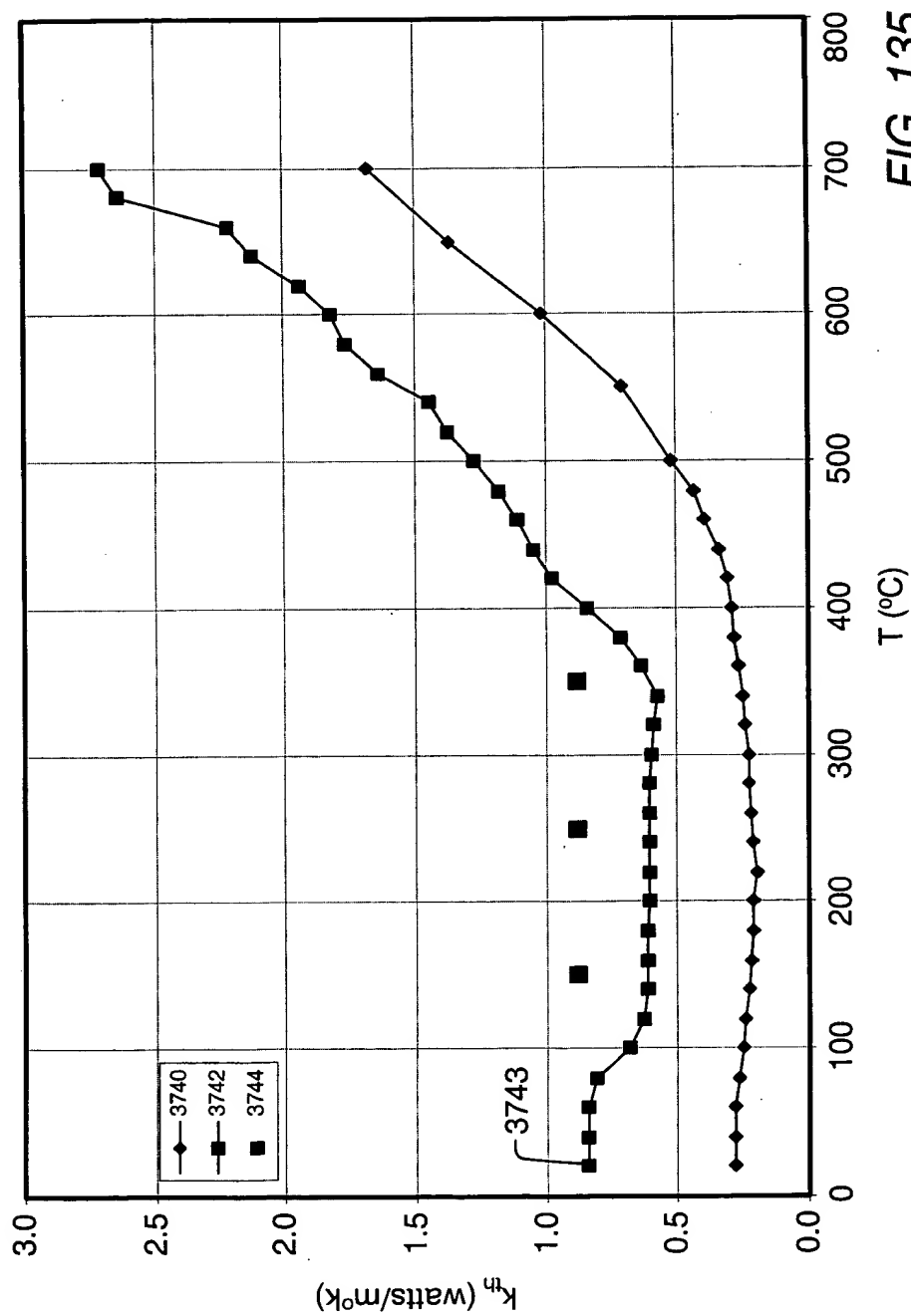


FIG. 135

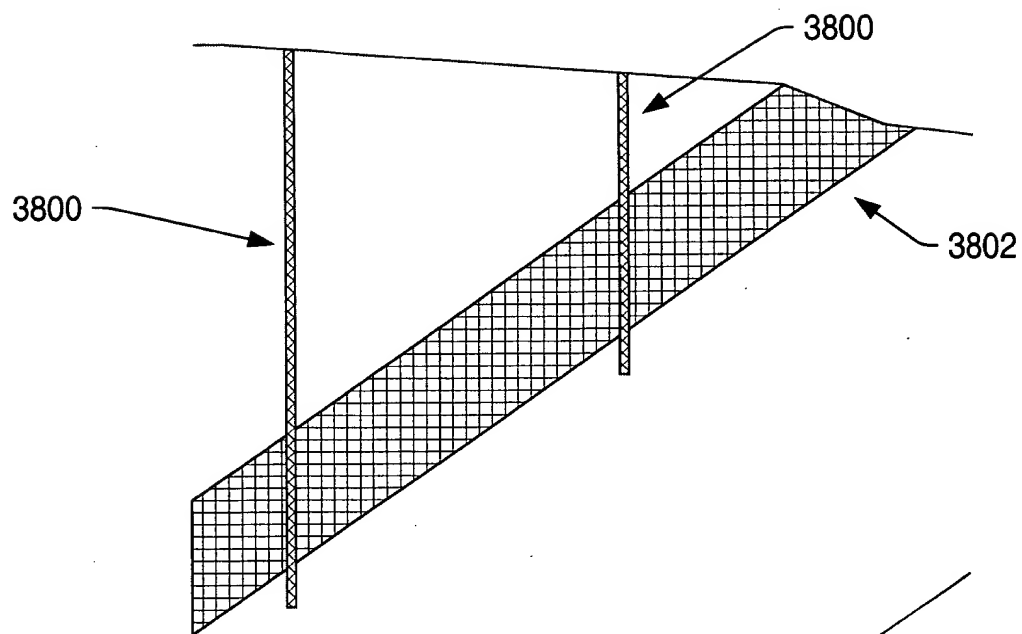


FIG. 136

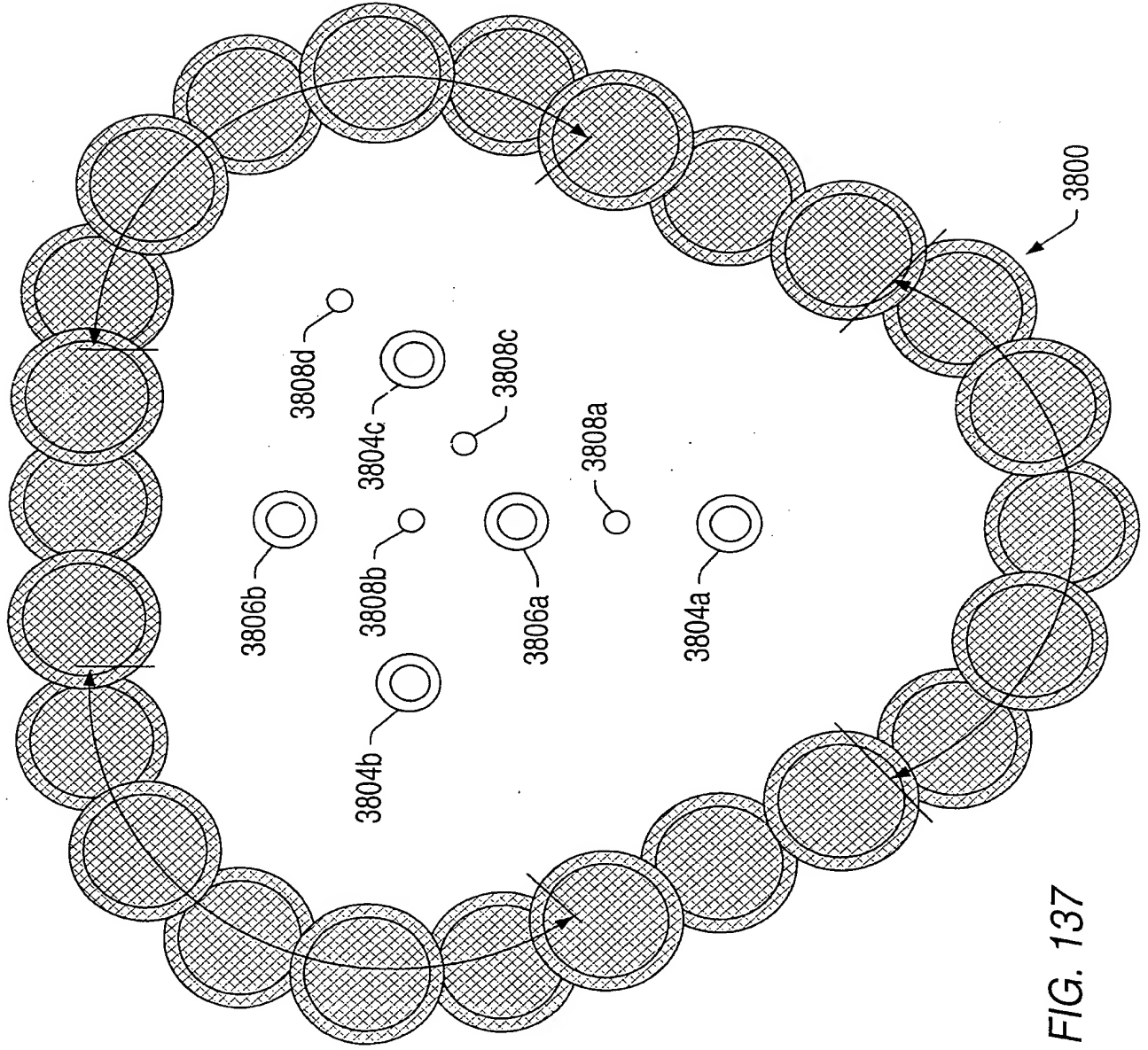


FIG. 137

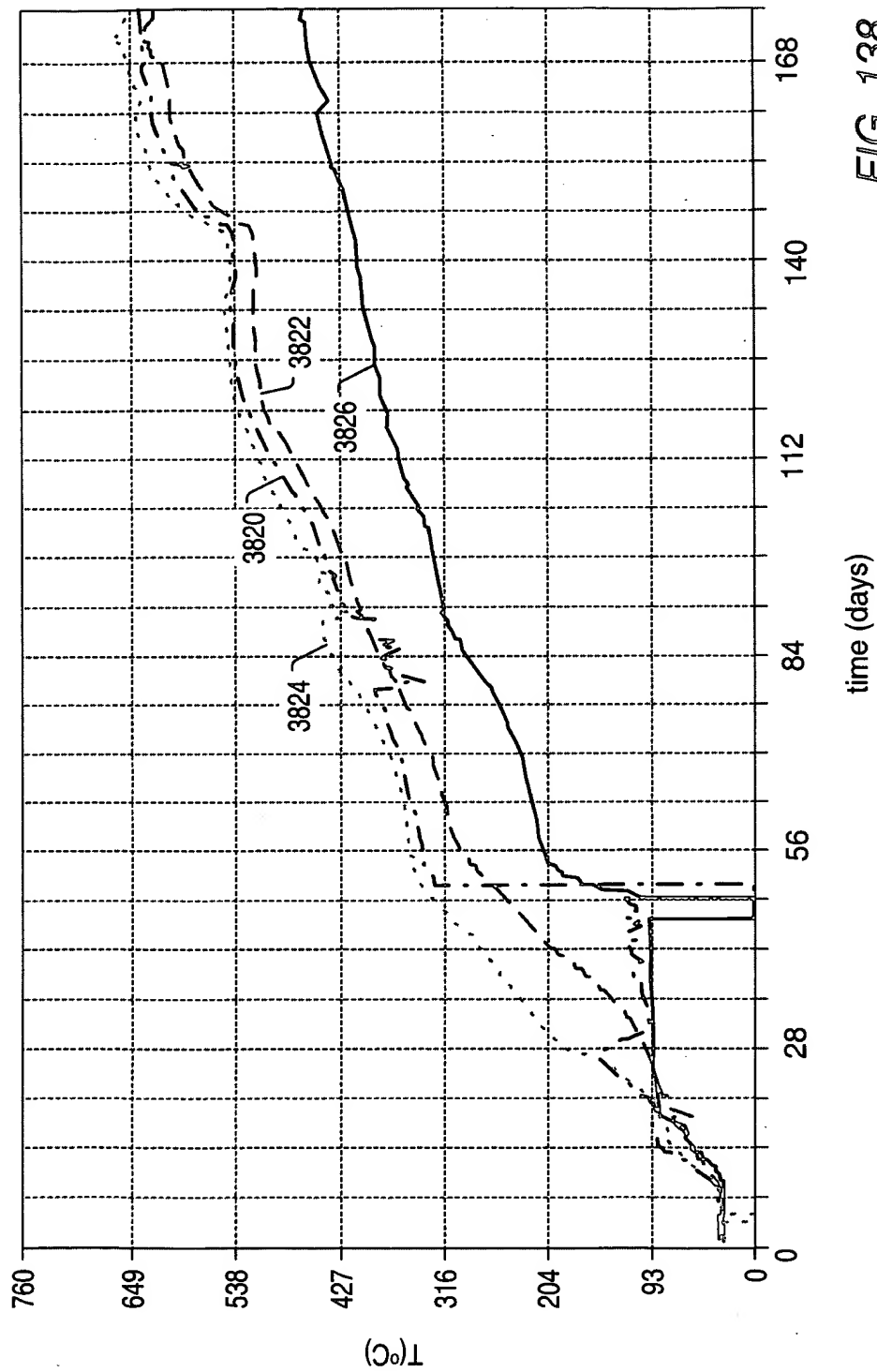


FIG. 138

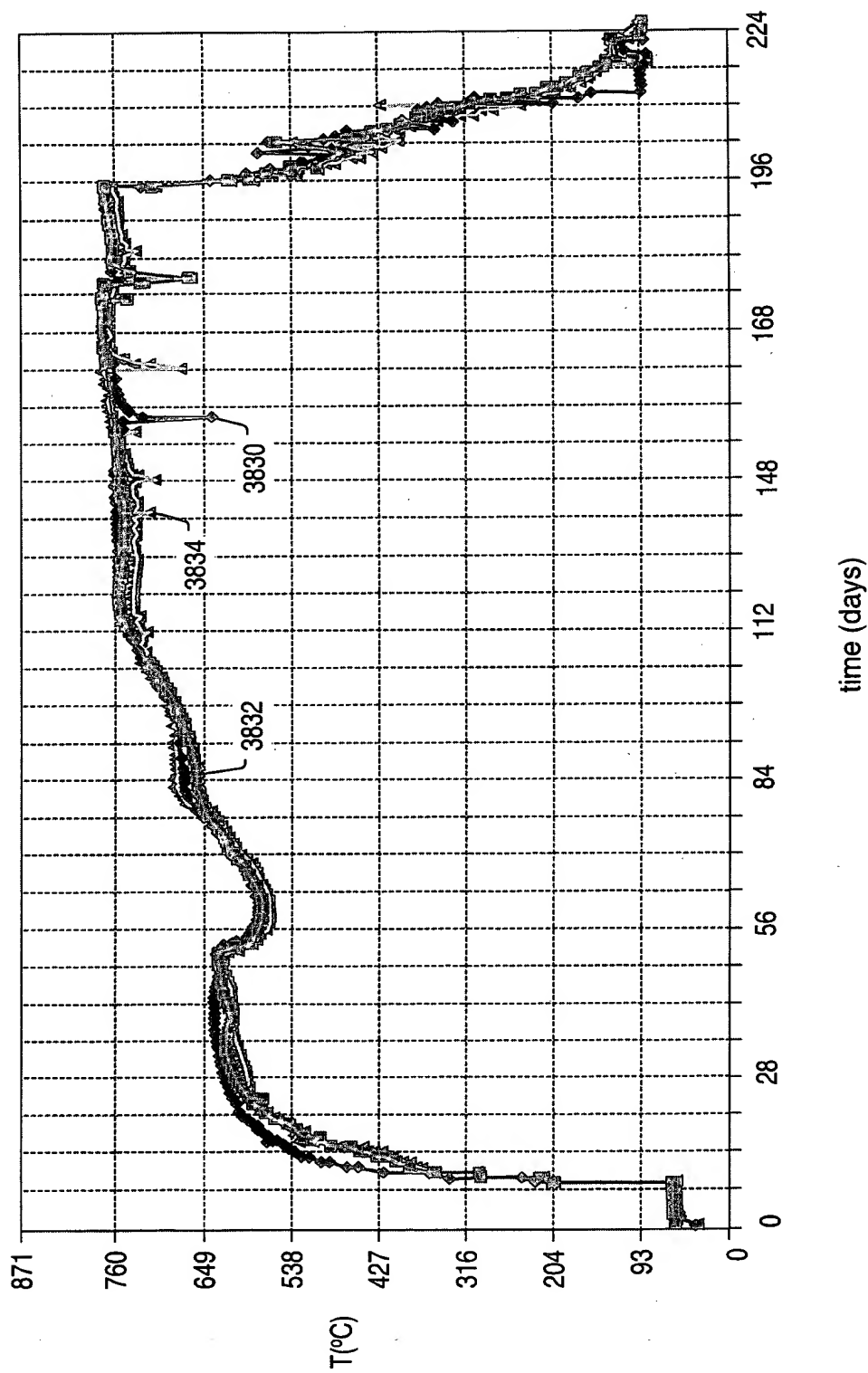


FIG. 139

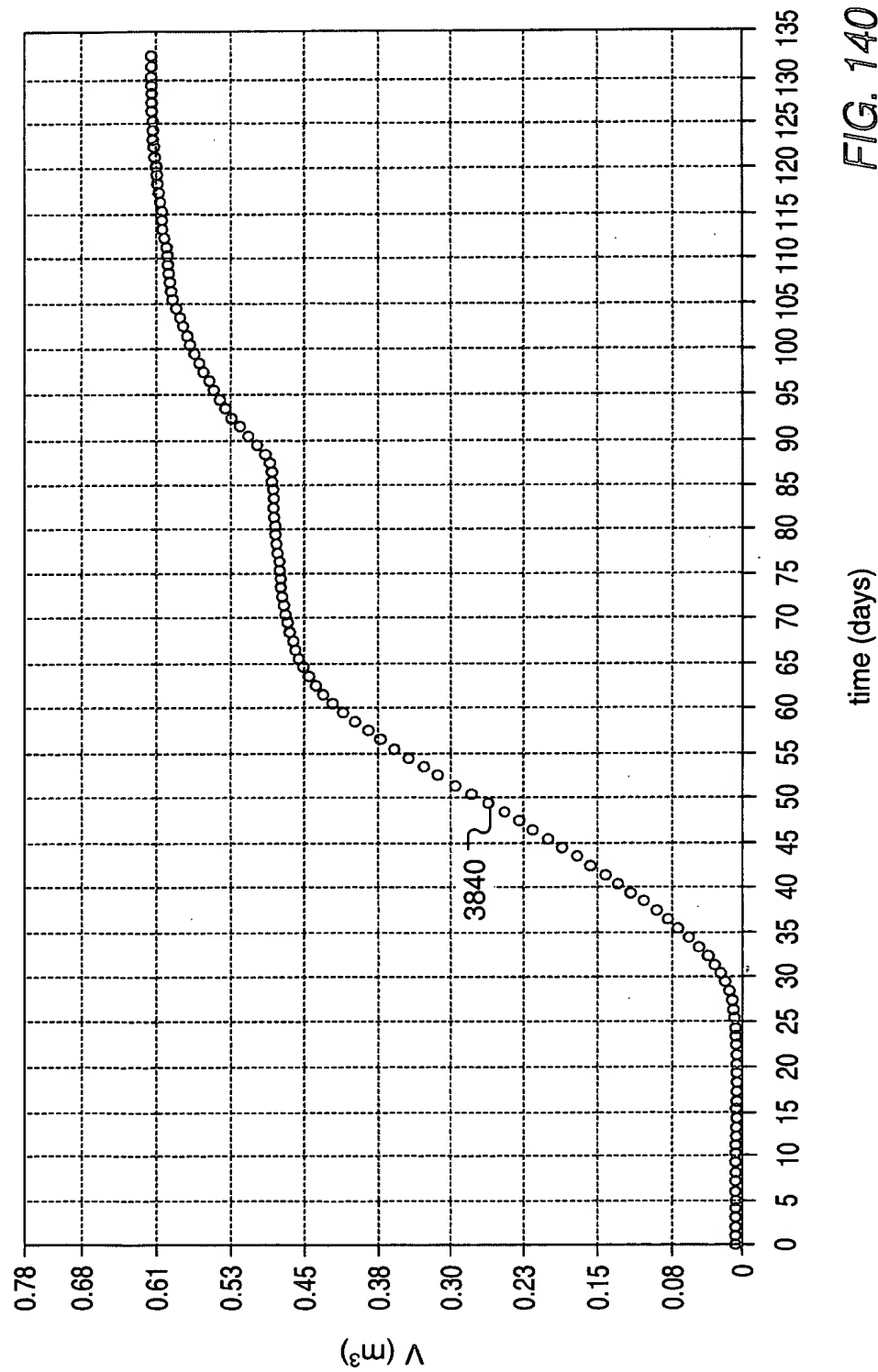


FIG. 140

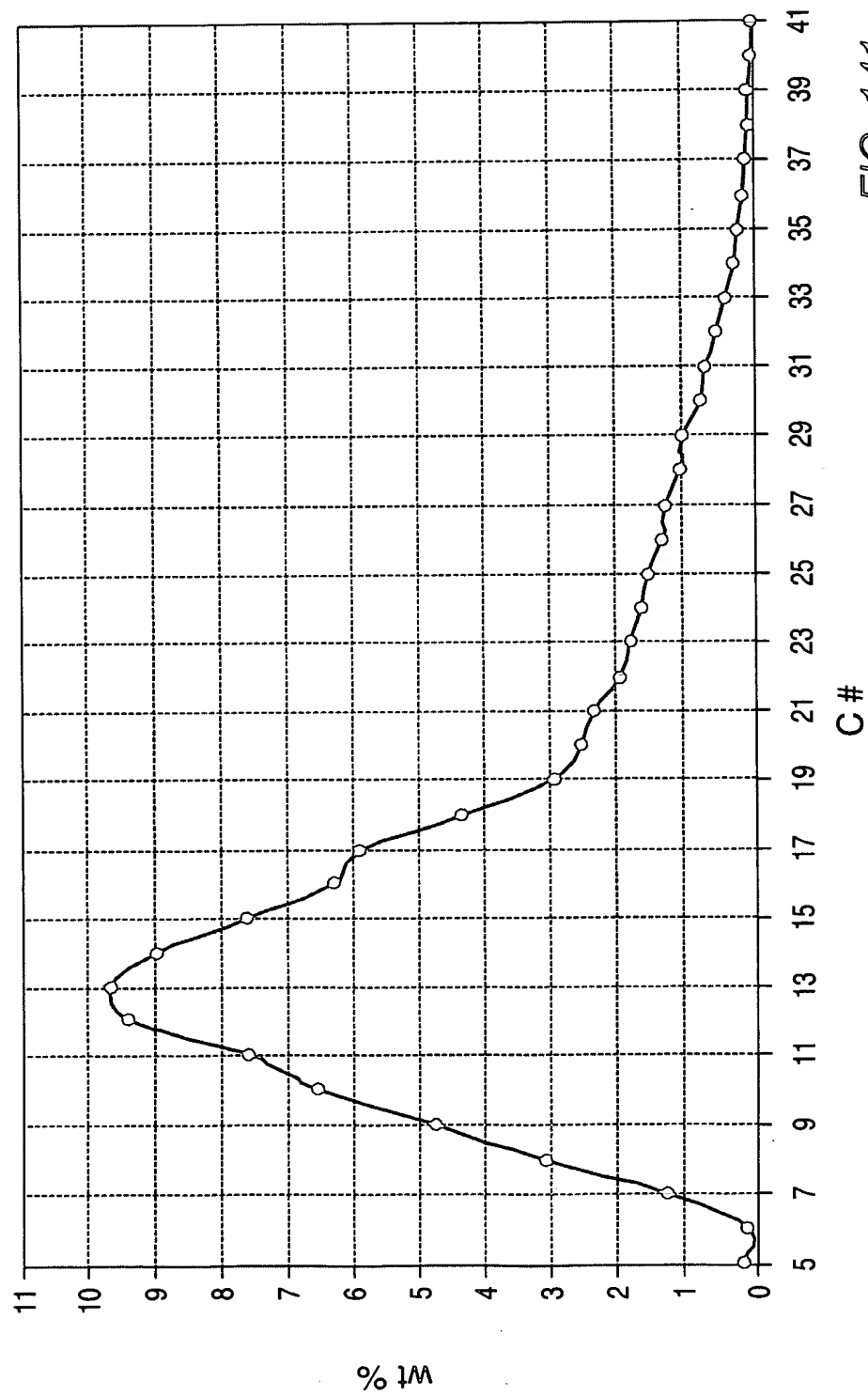


FIG. 141

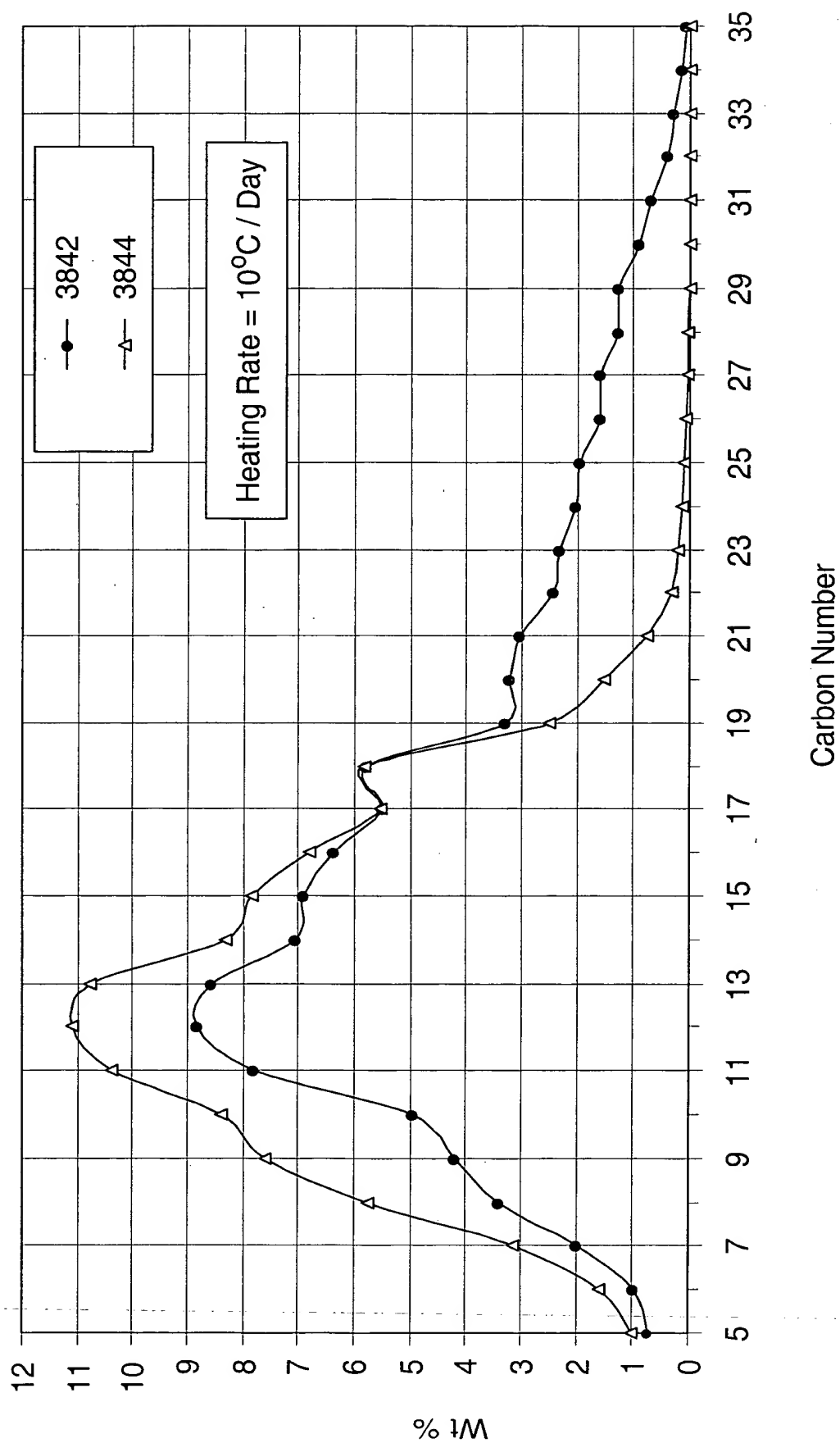


FIG. 142

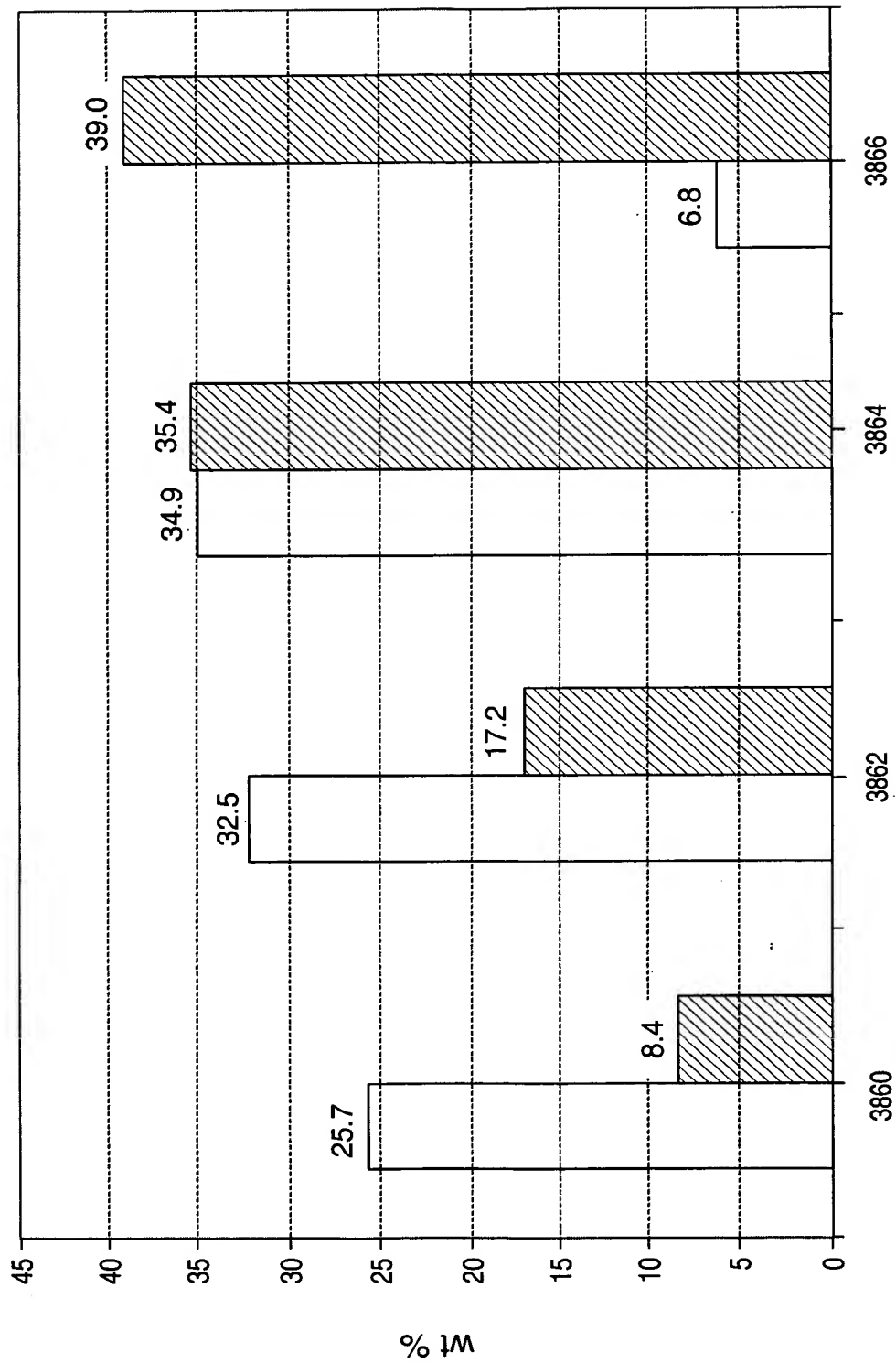


FIG. 143

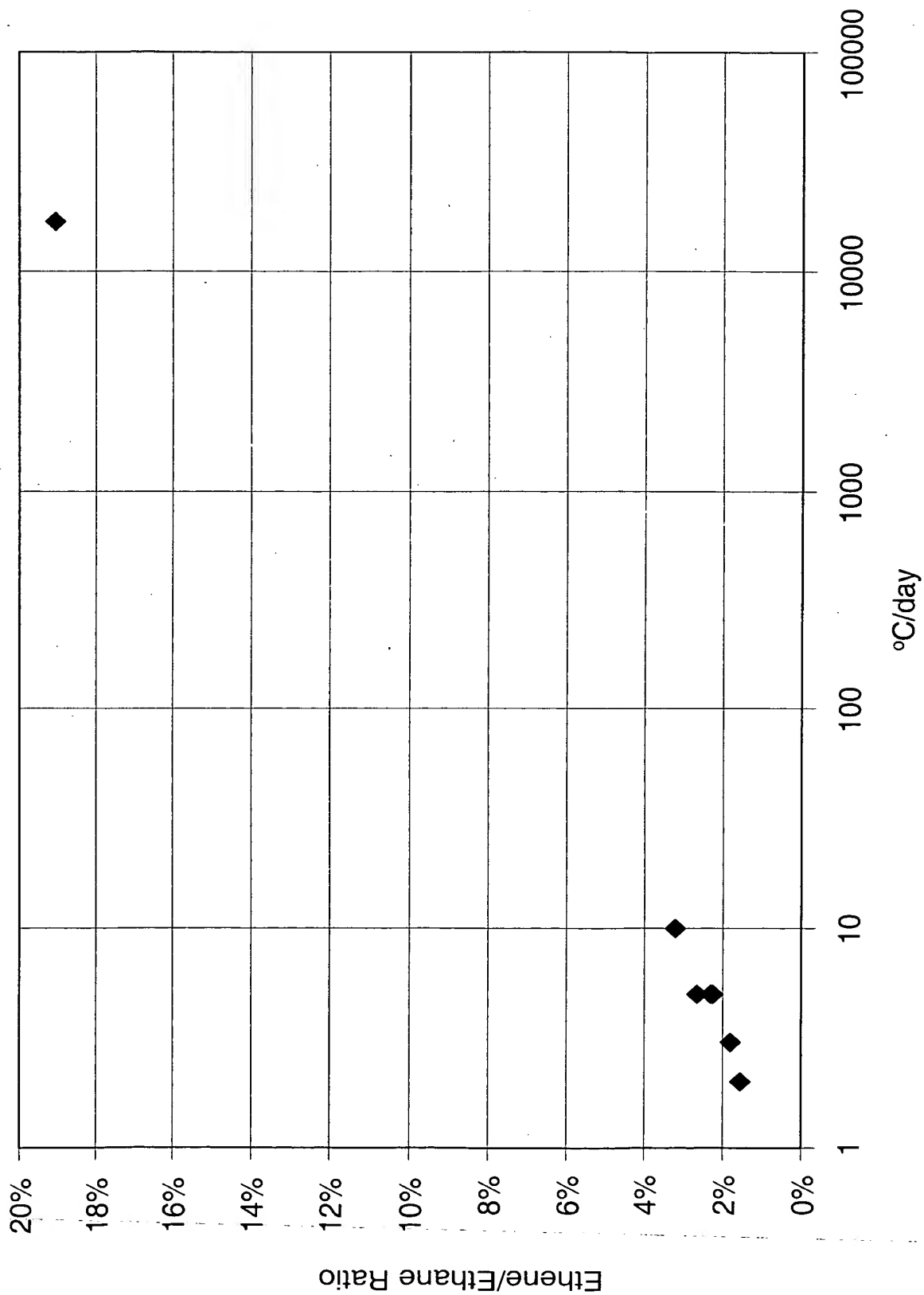


FIG. 144

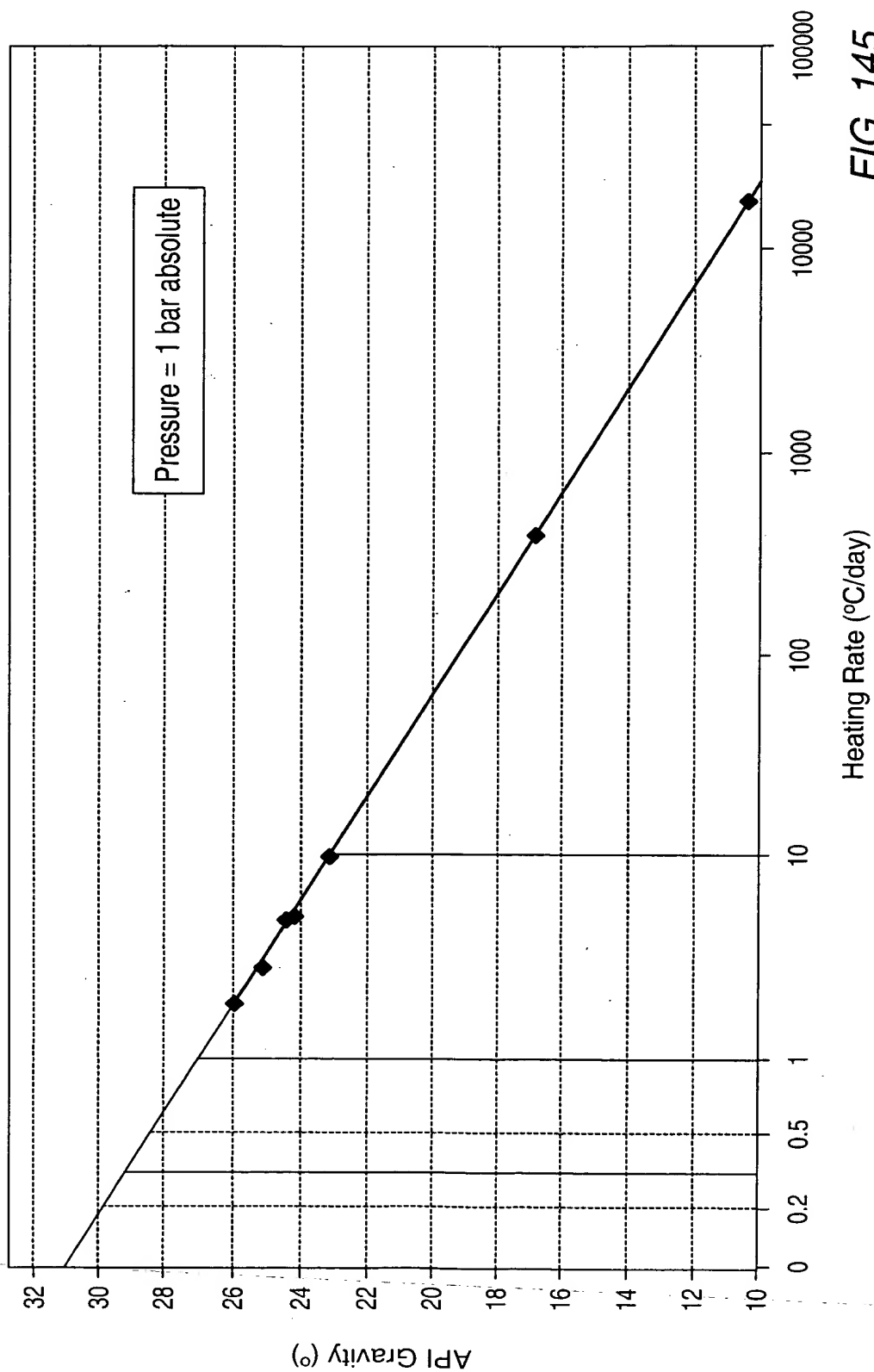


FIG. 145

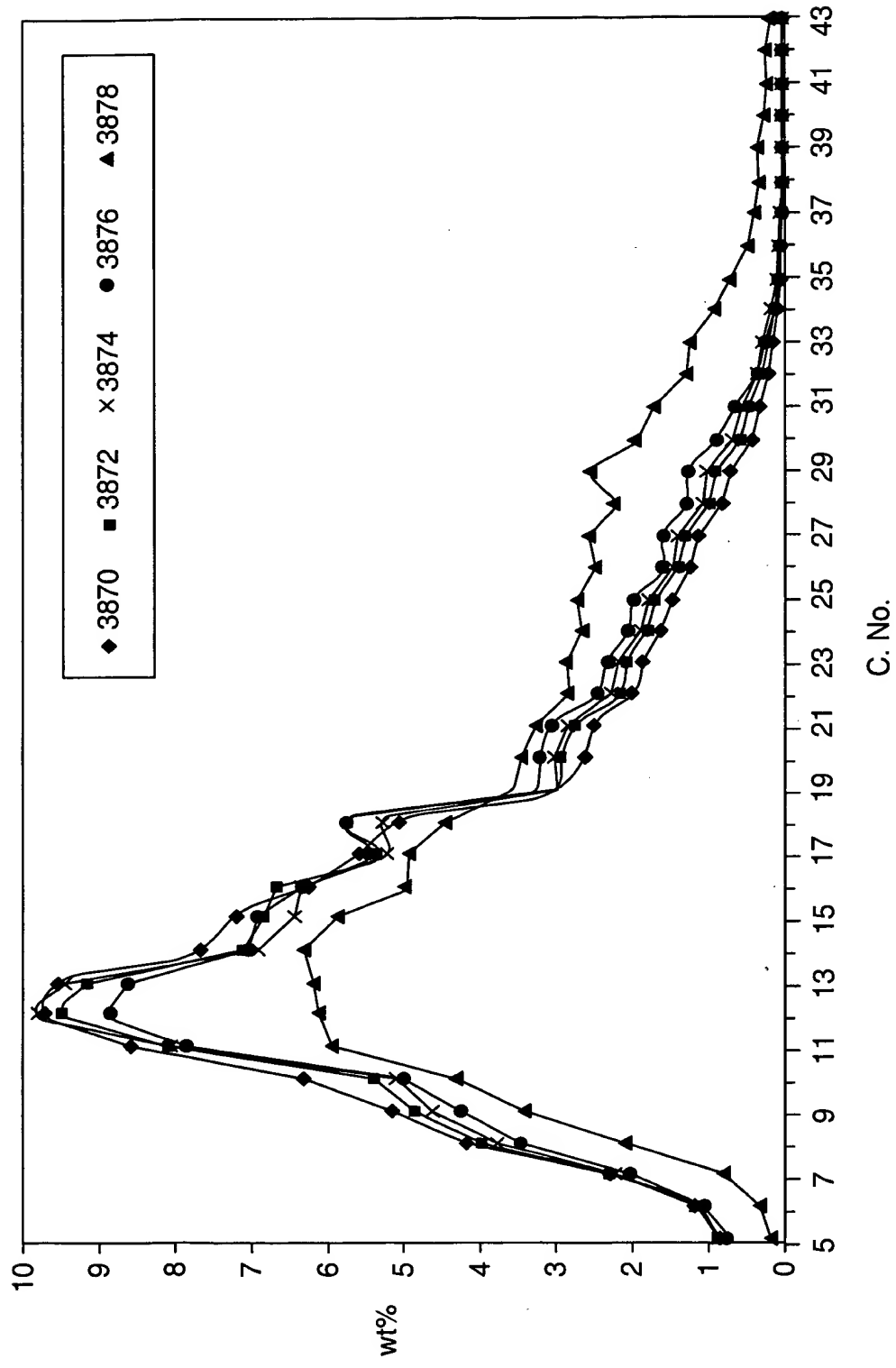


FIG. 146

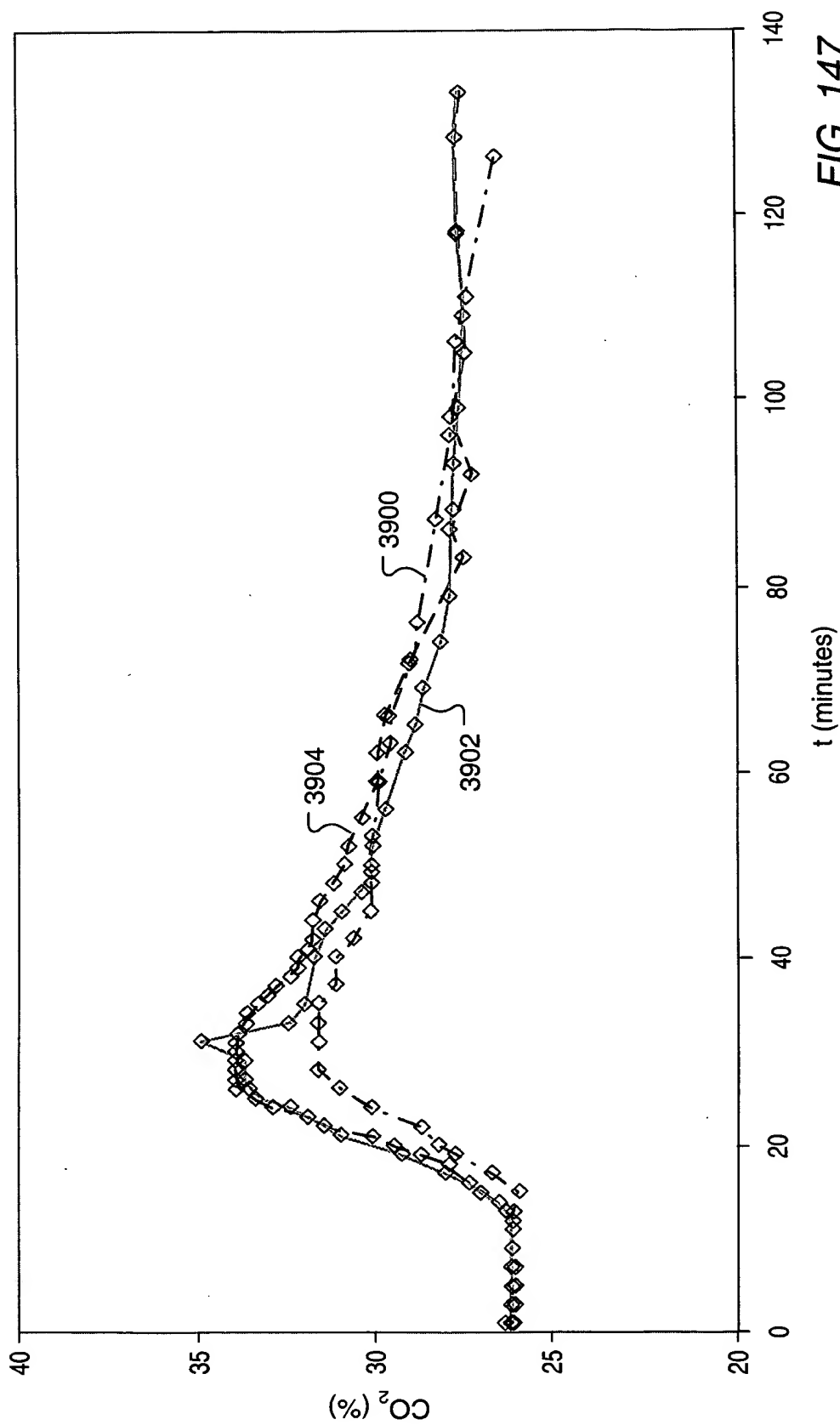


FIG. 147

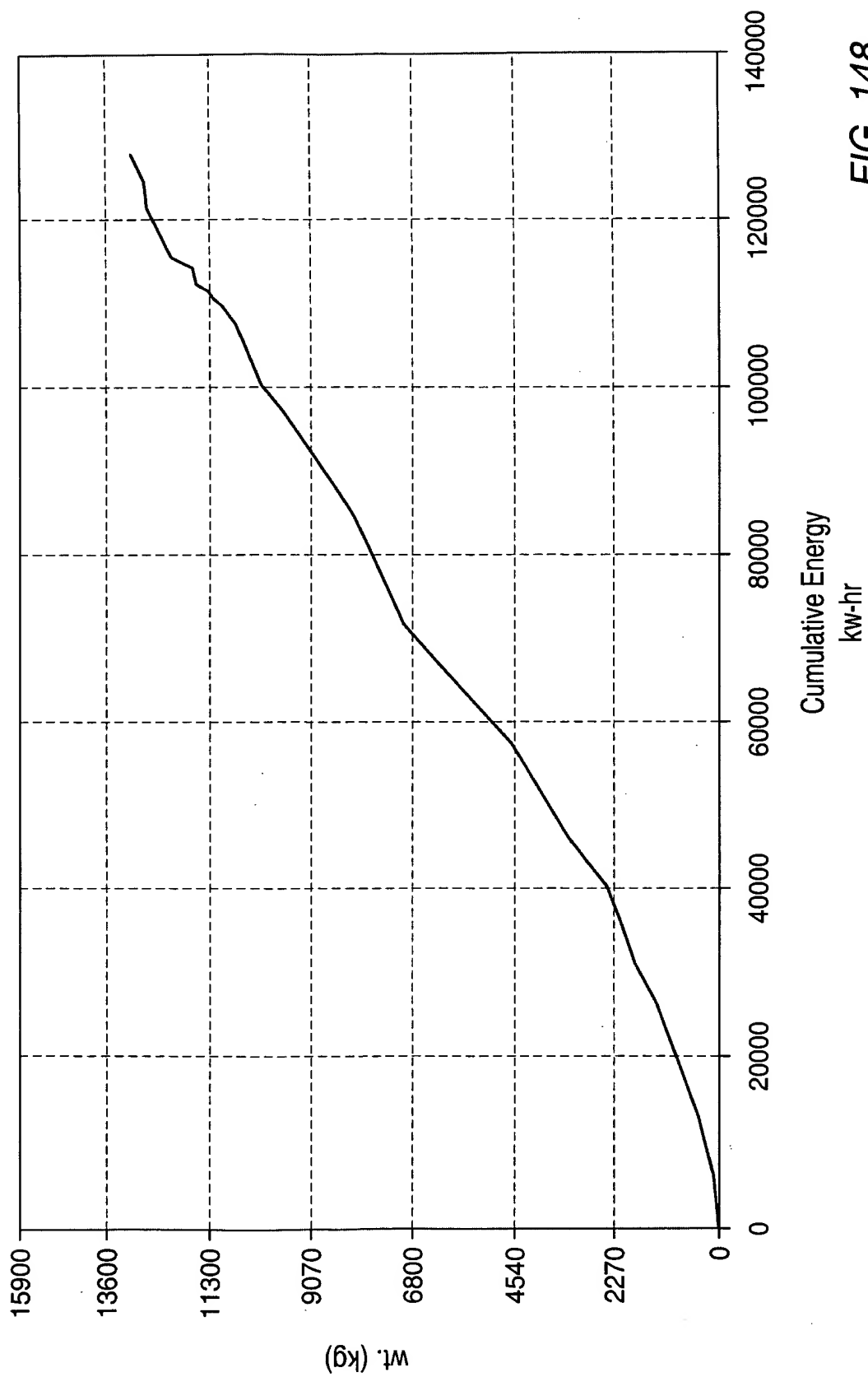


FIG. 148

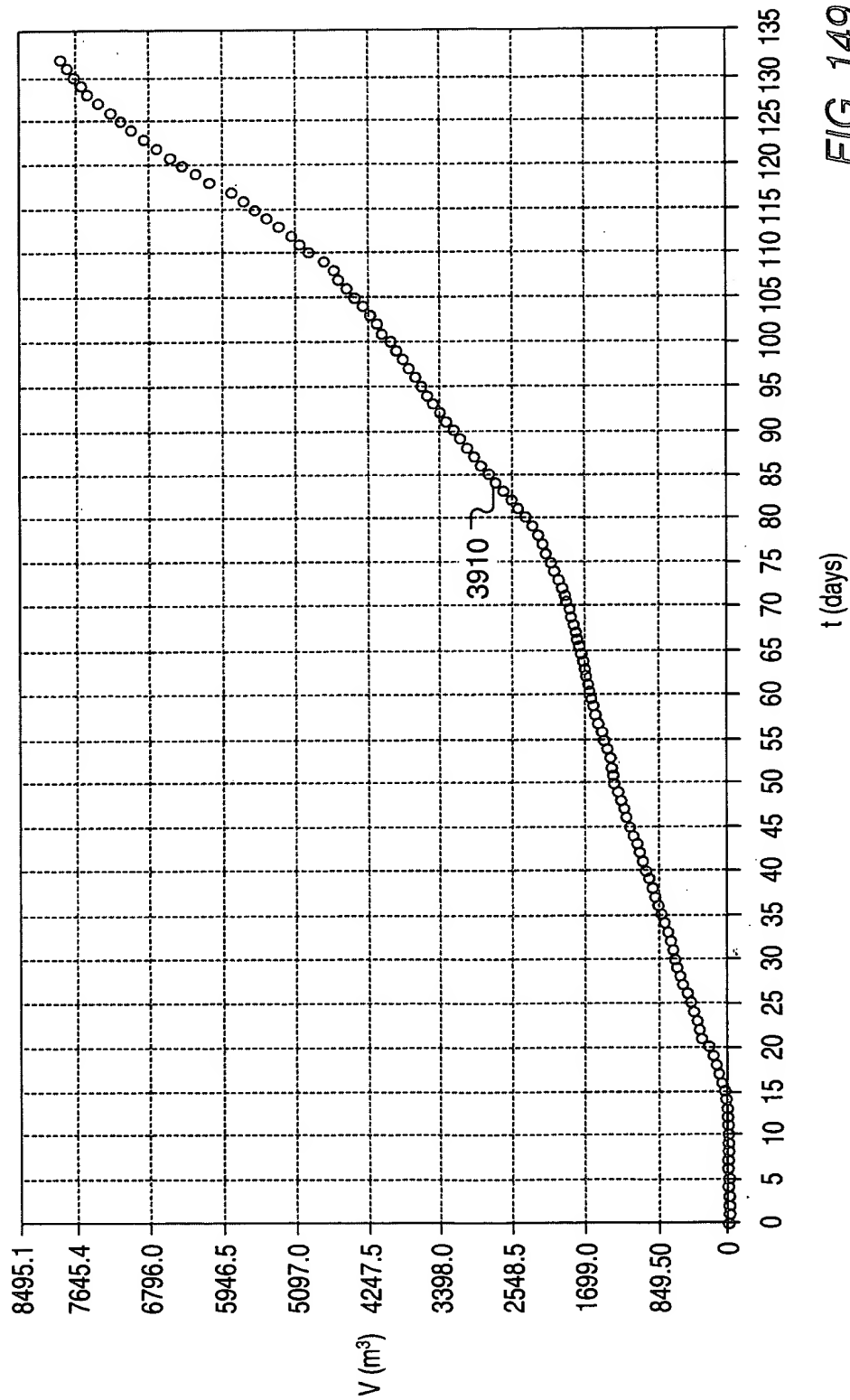


FIG. 149

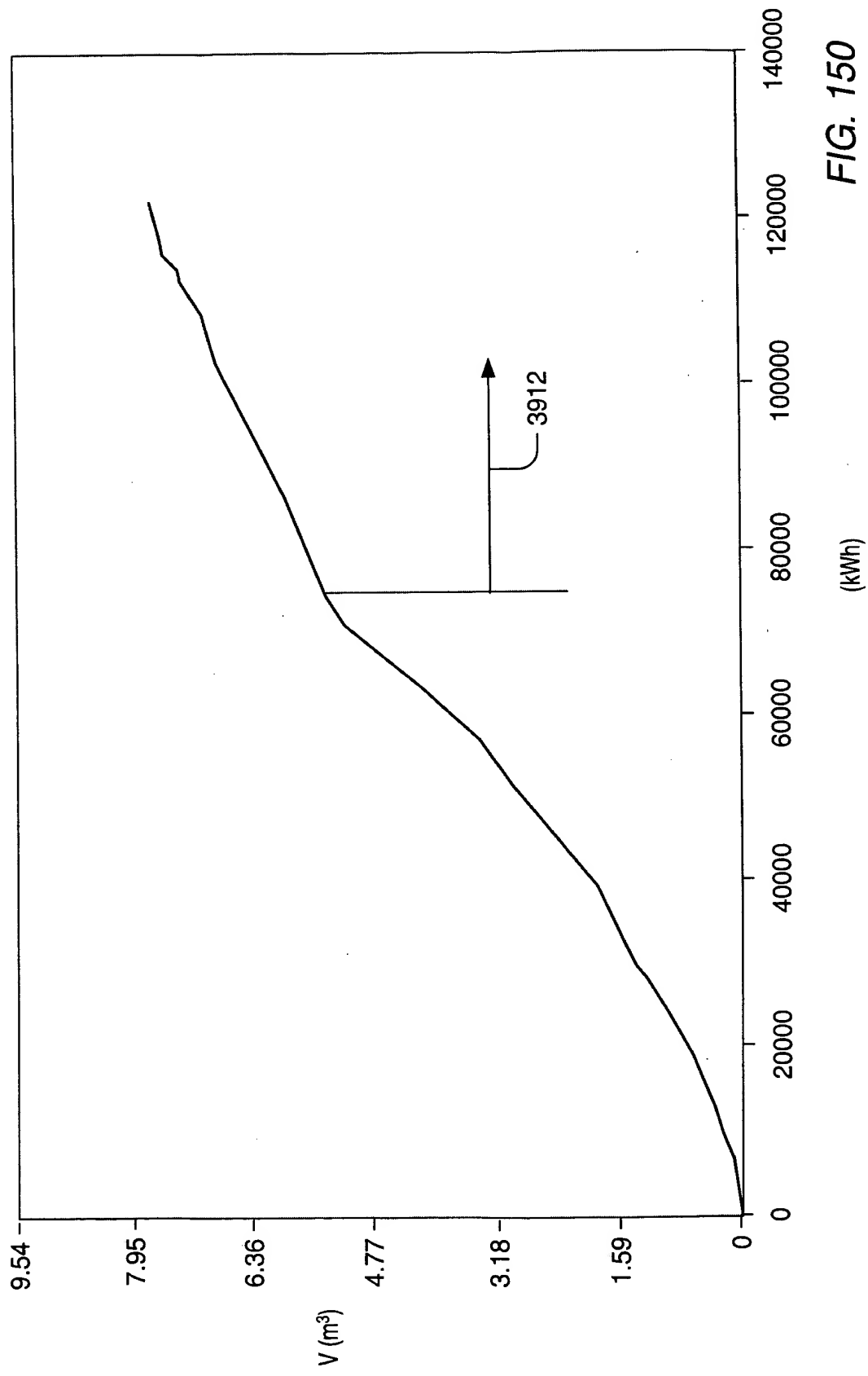


FIG. 150

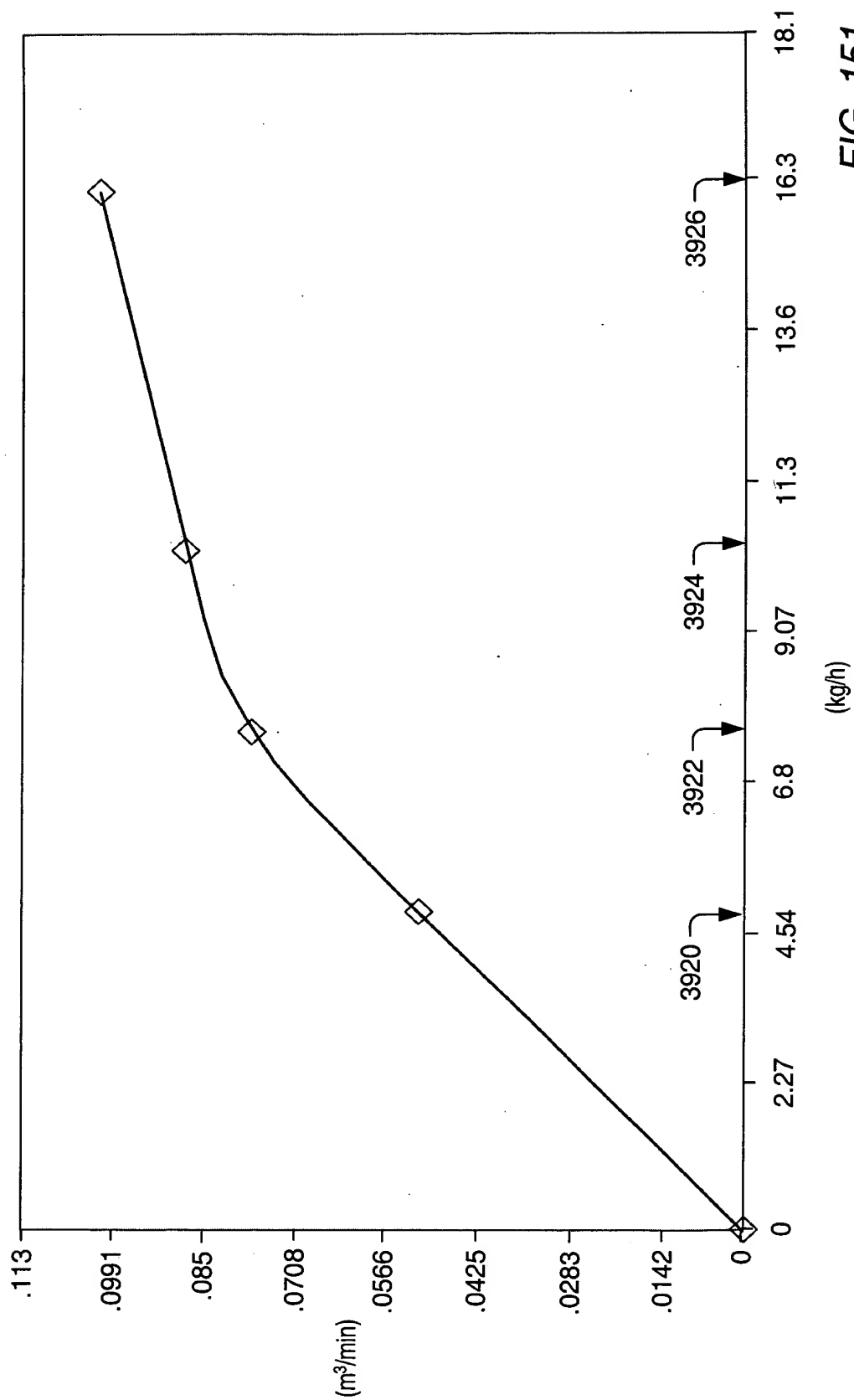


FIG. 151

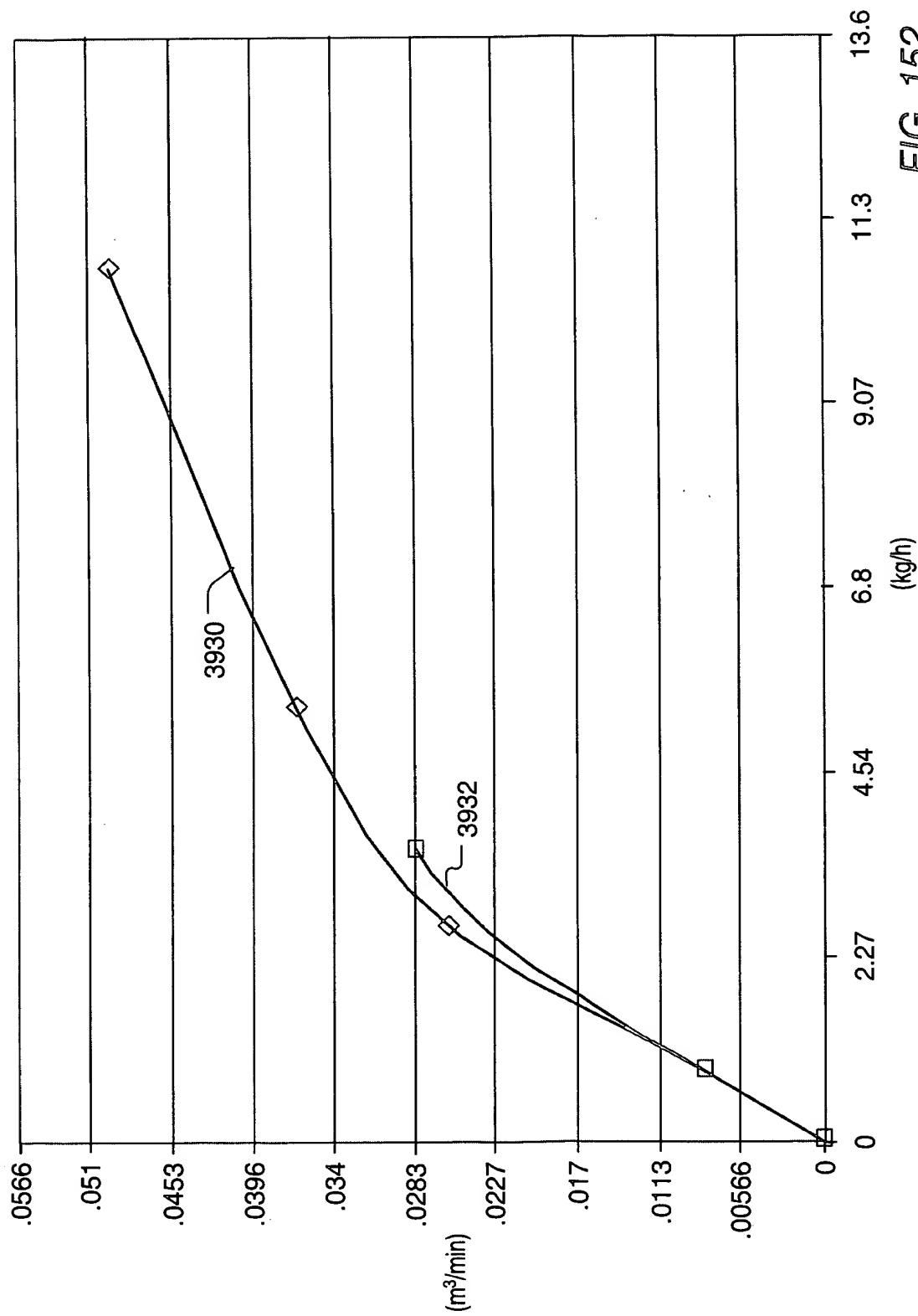


FIG. 152

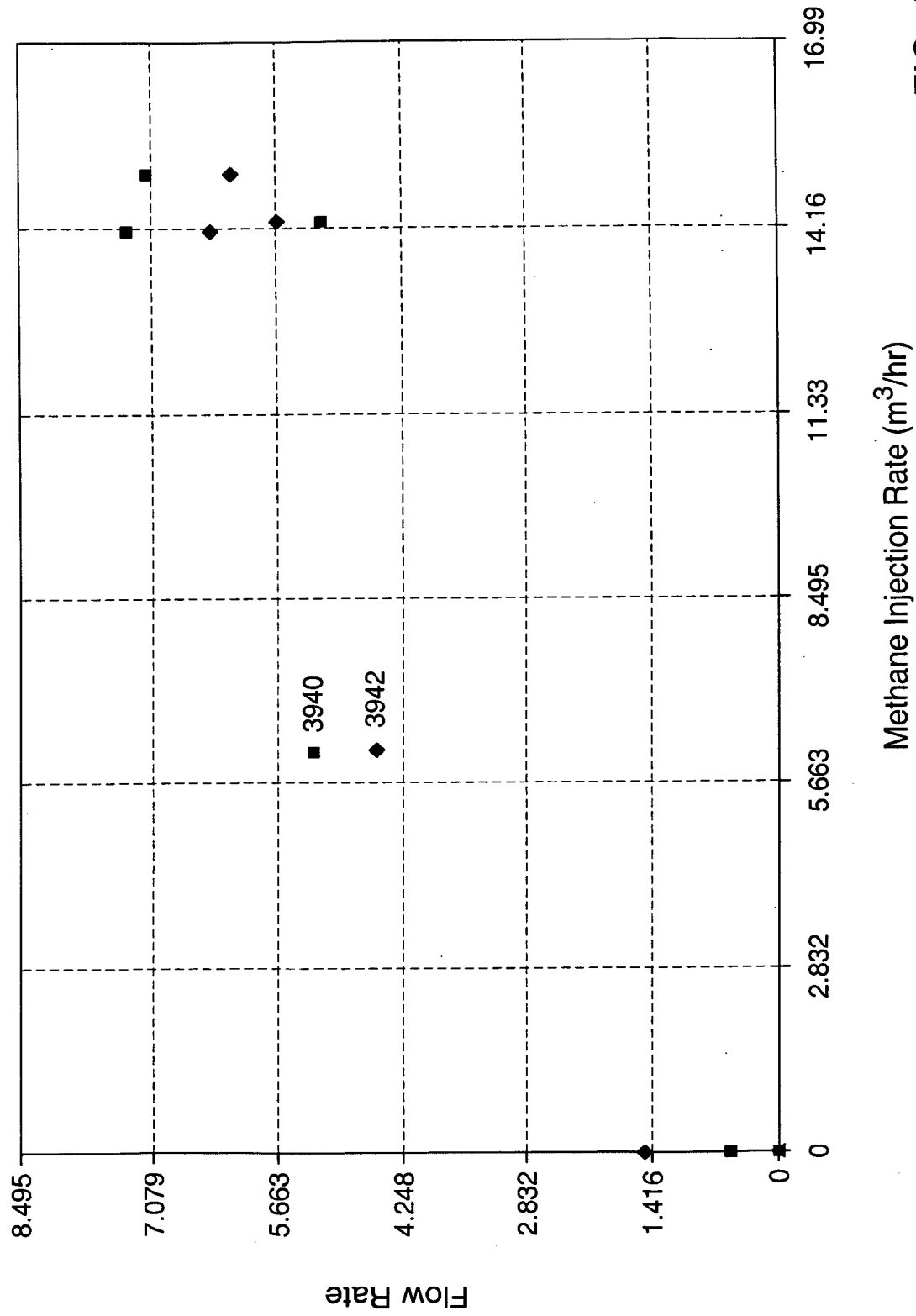


FIG. 153

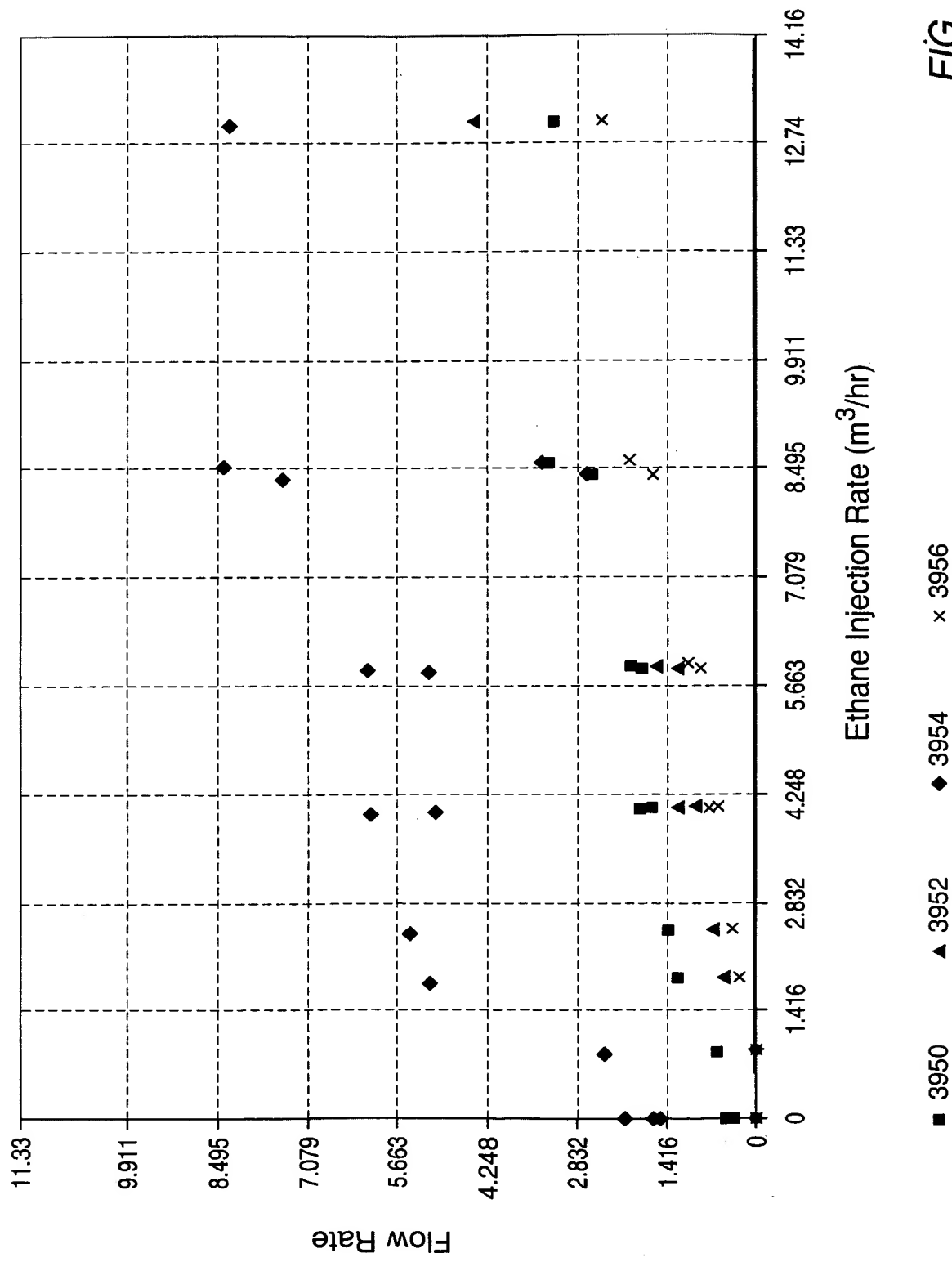


FIG. 154

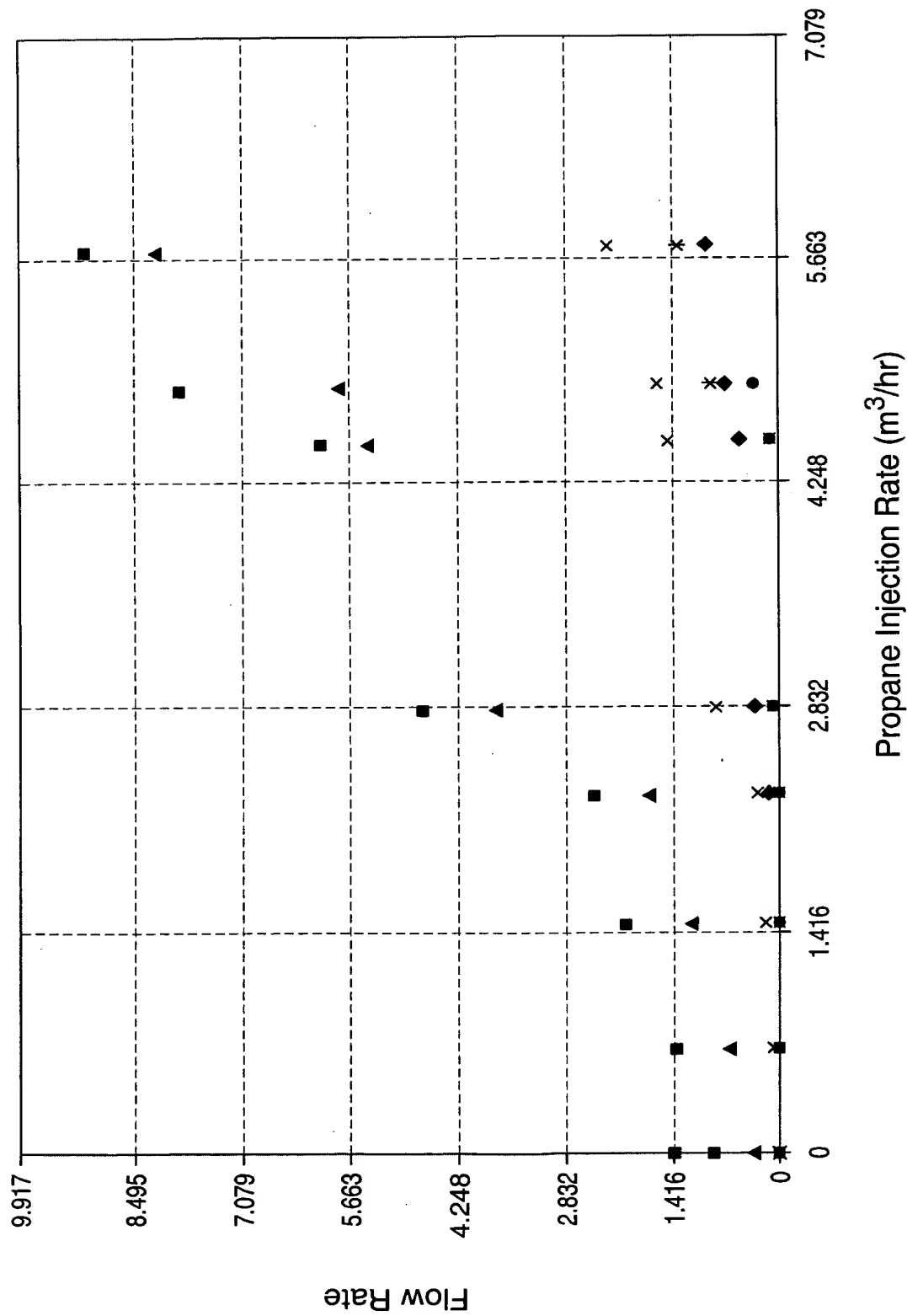


FIG. 155

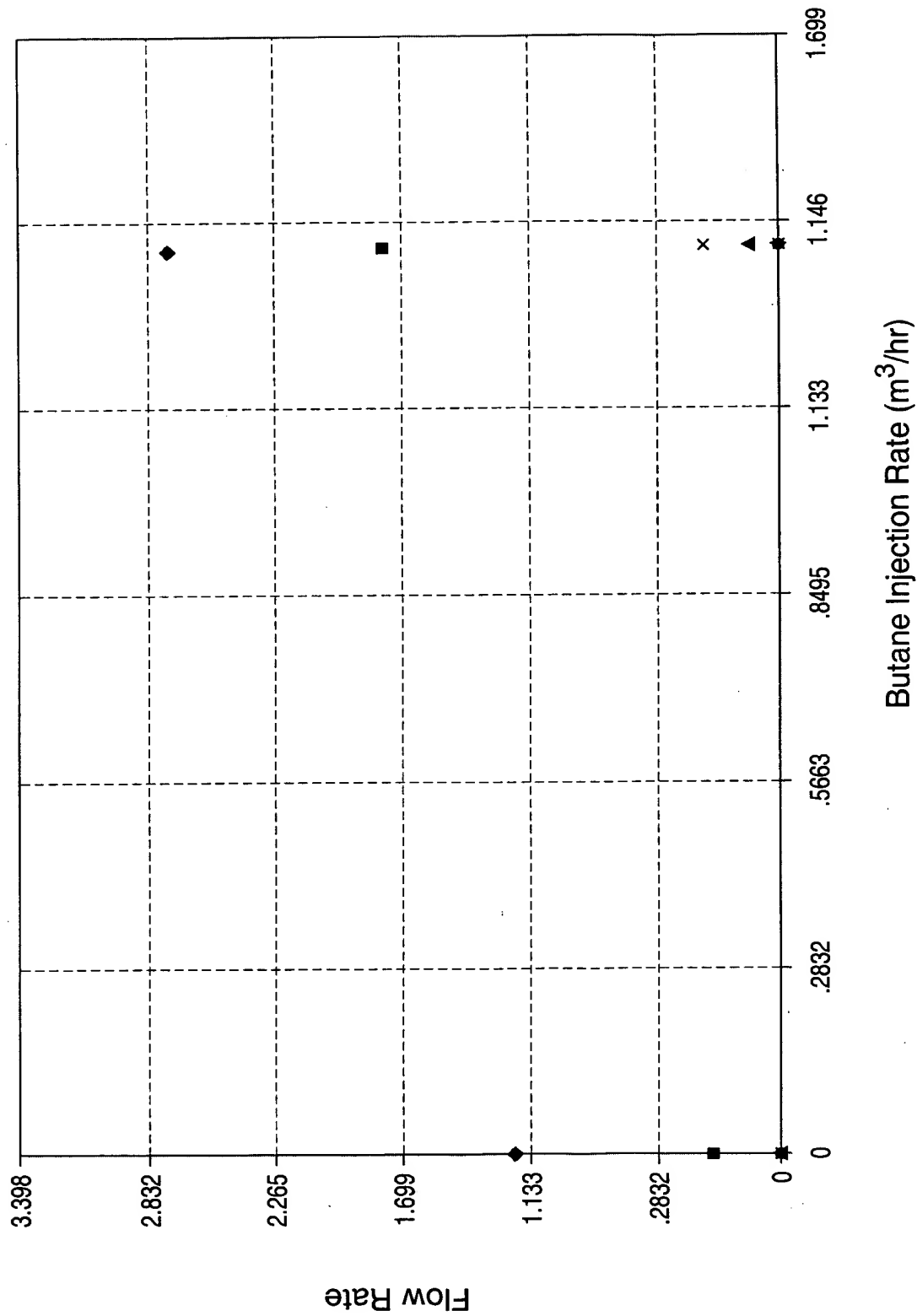


FIG. 156

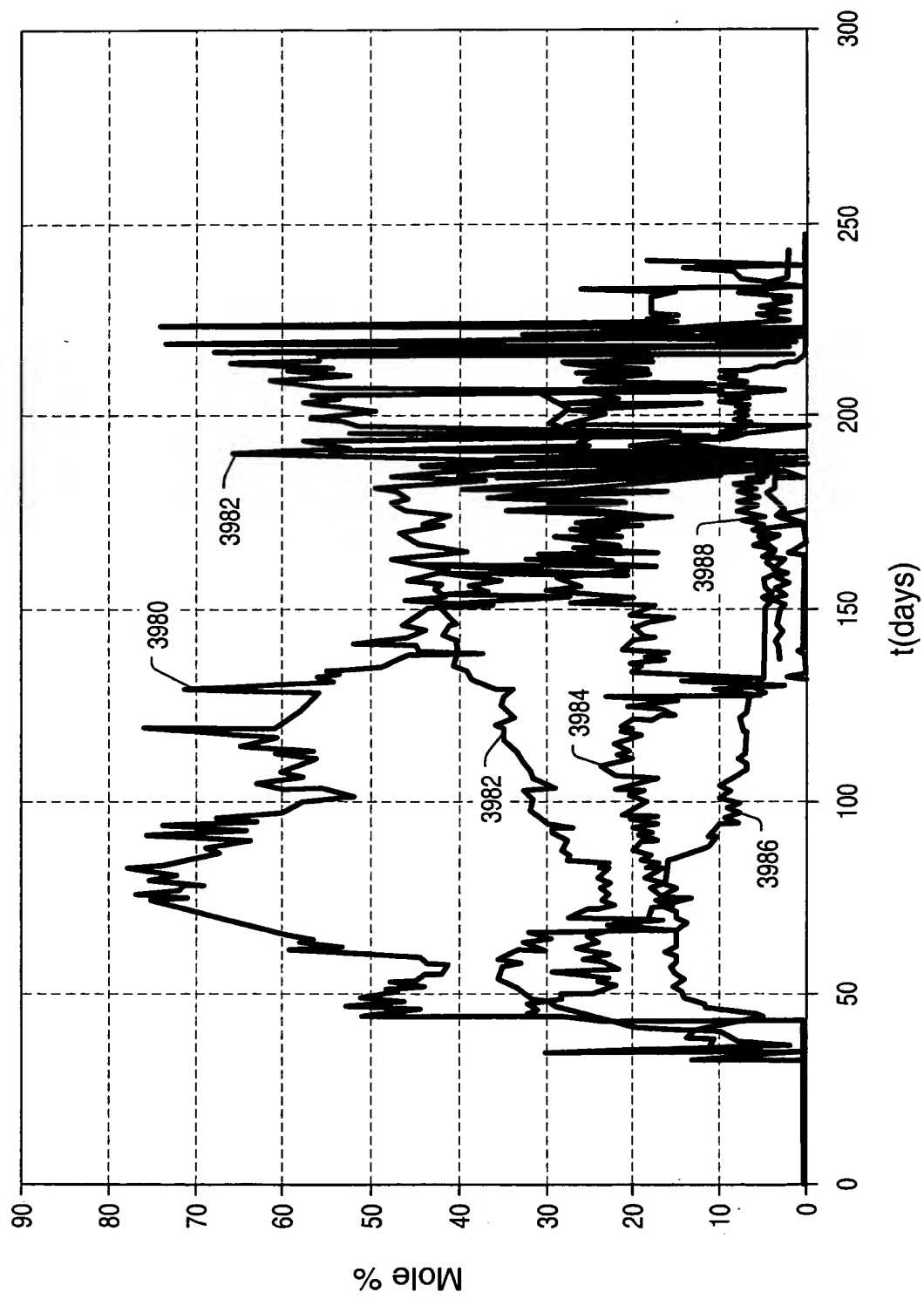


FIG. 157

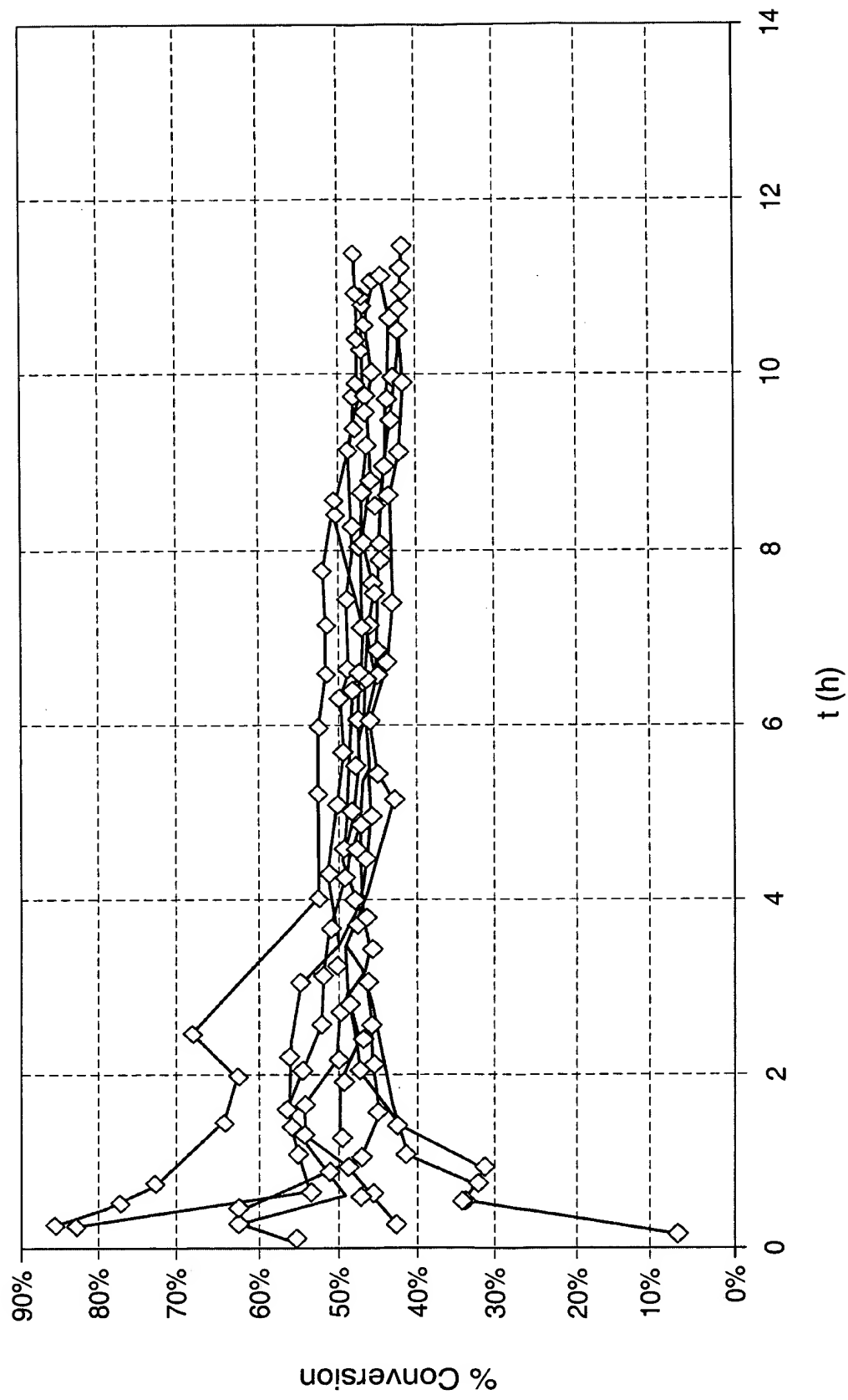


FIG. 158

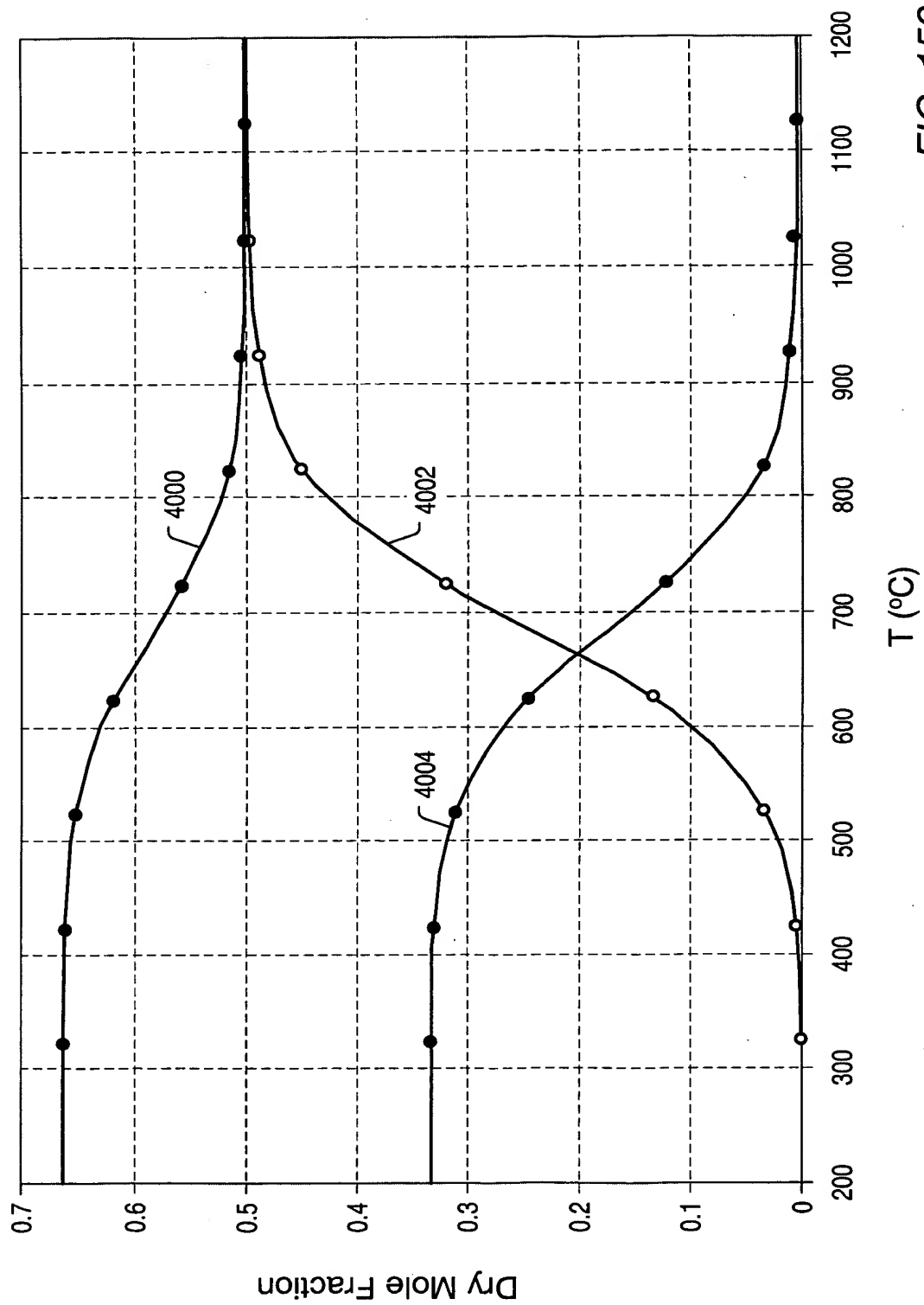


FIG. 159

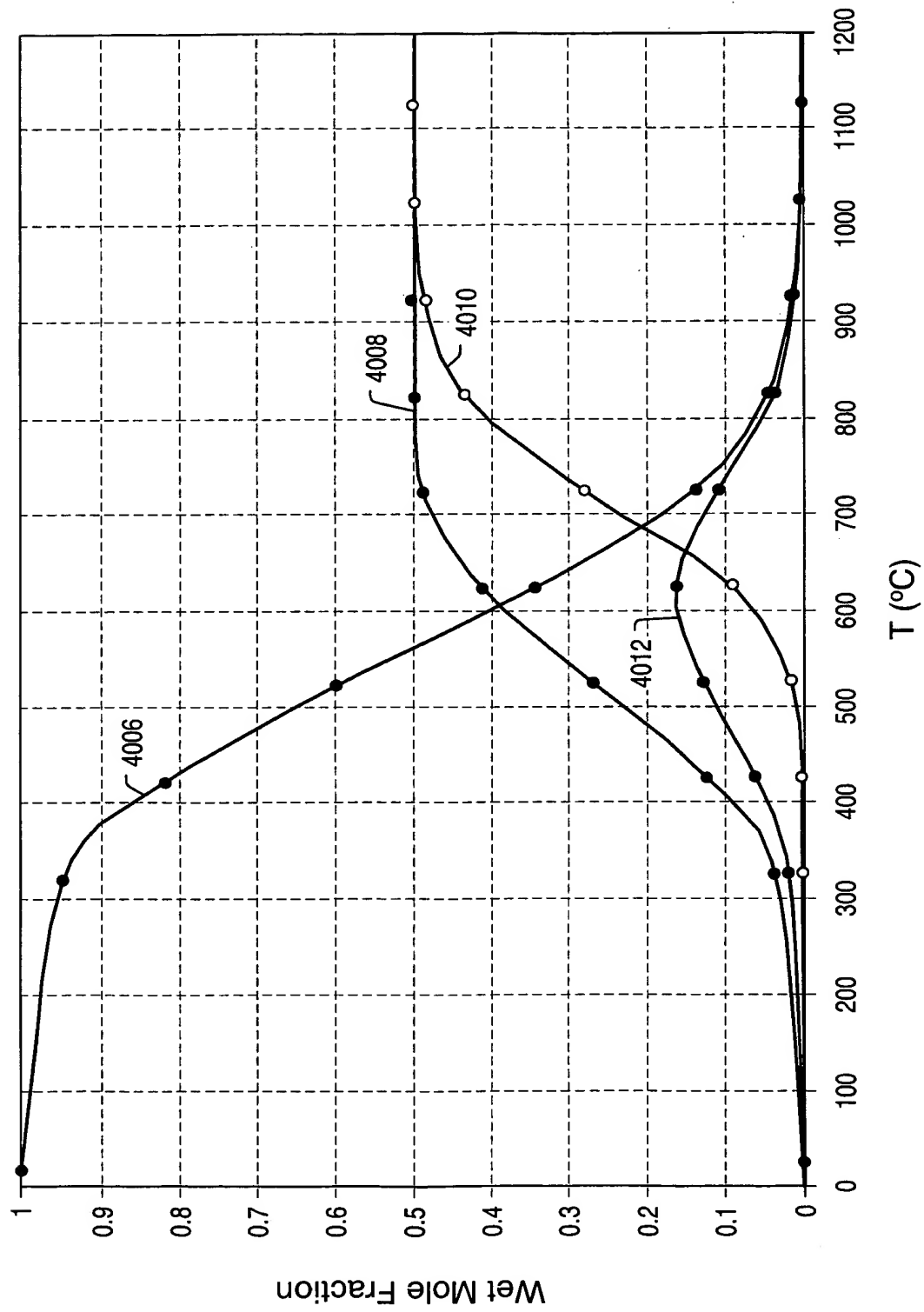


FIG. 160

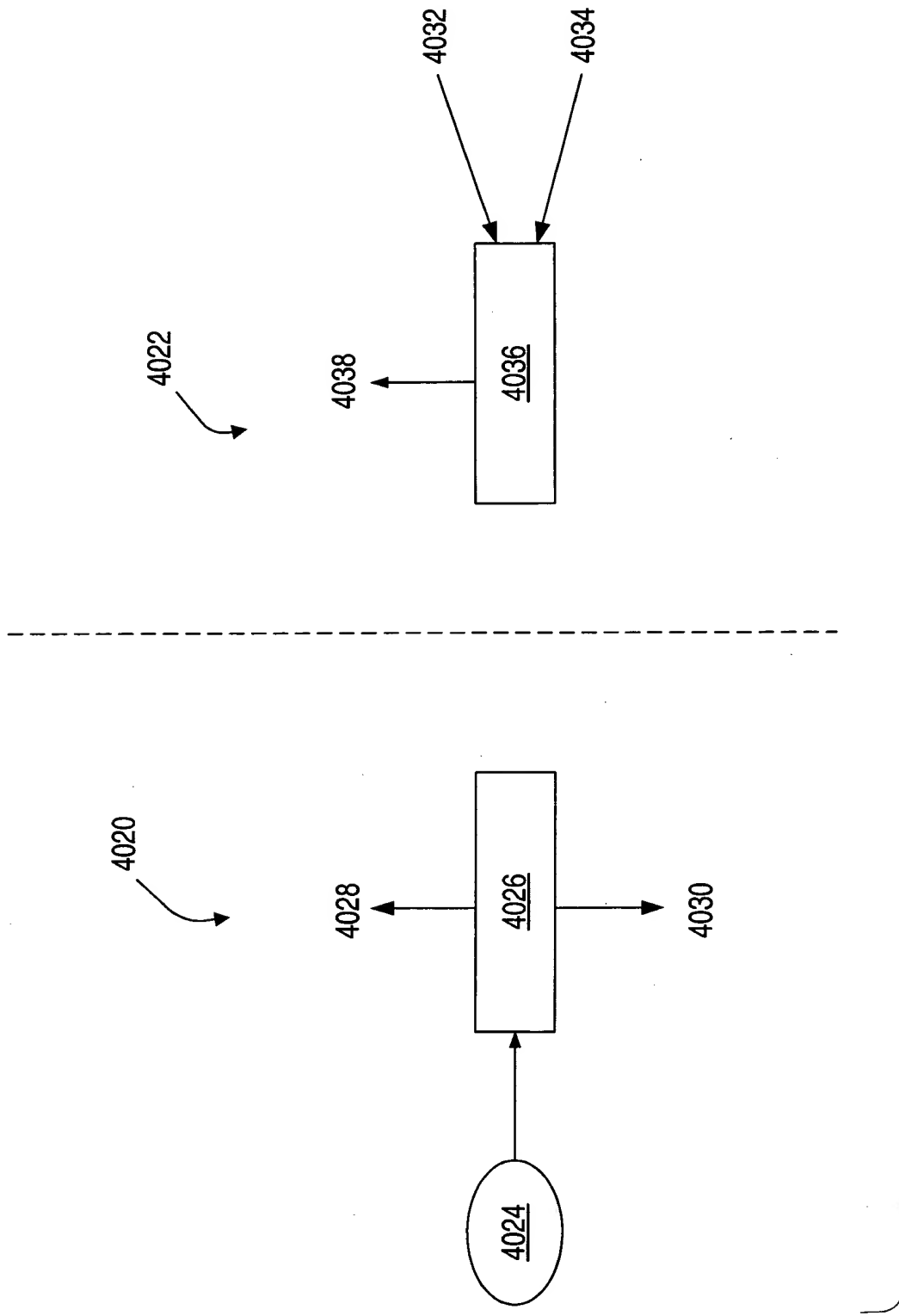


FIG. 161

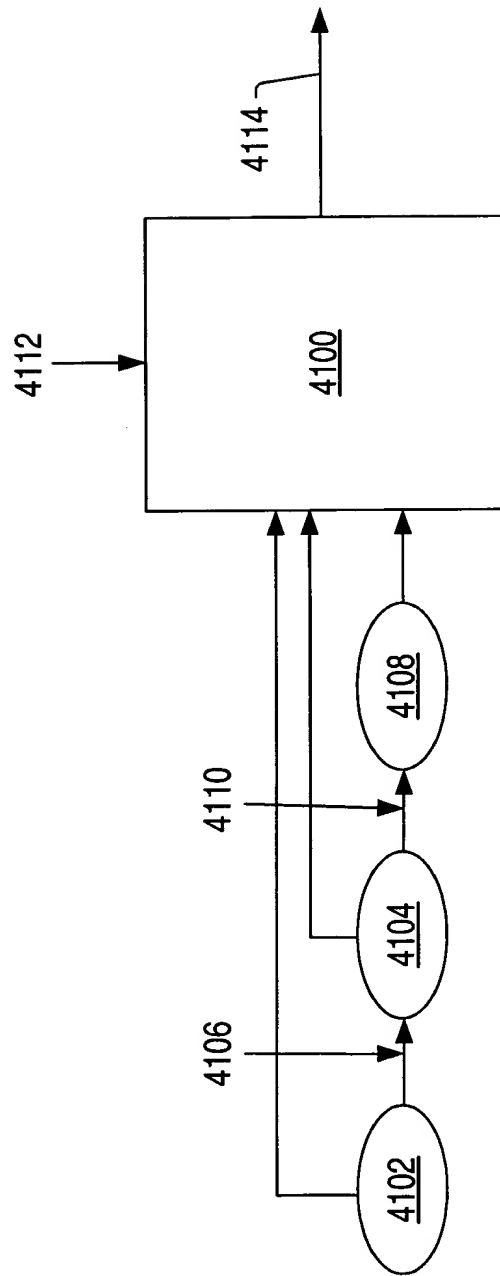


FIG. 162

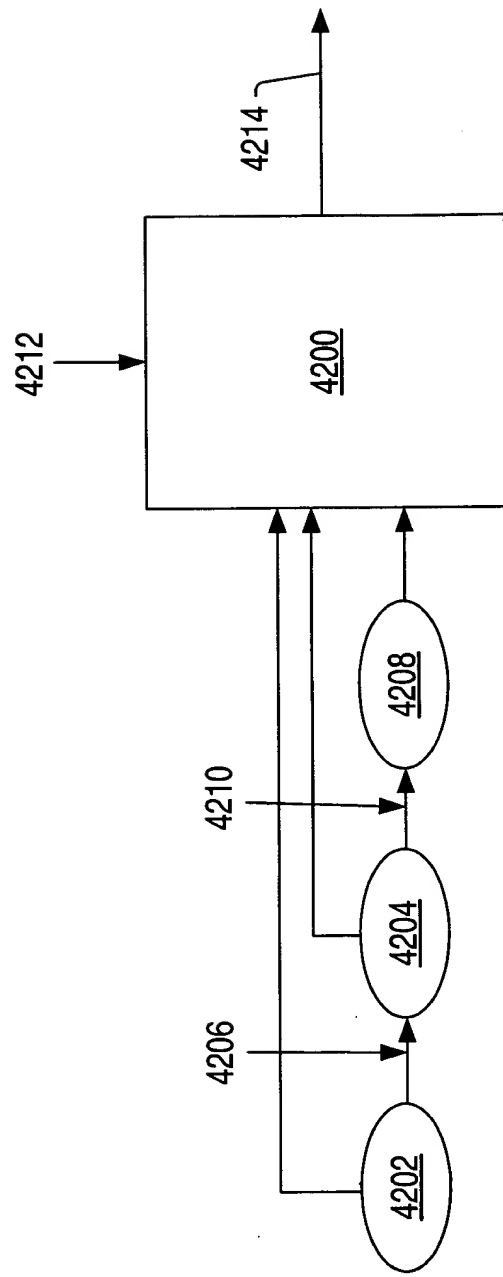


FIG. 163

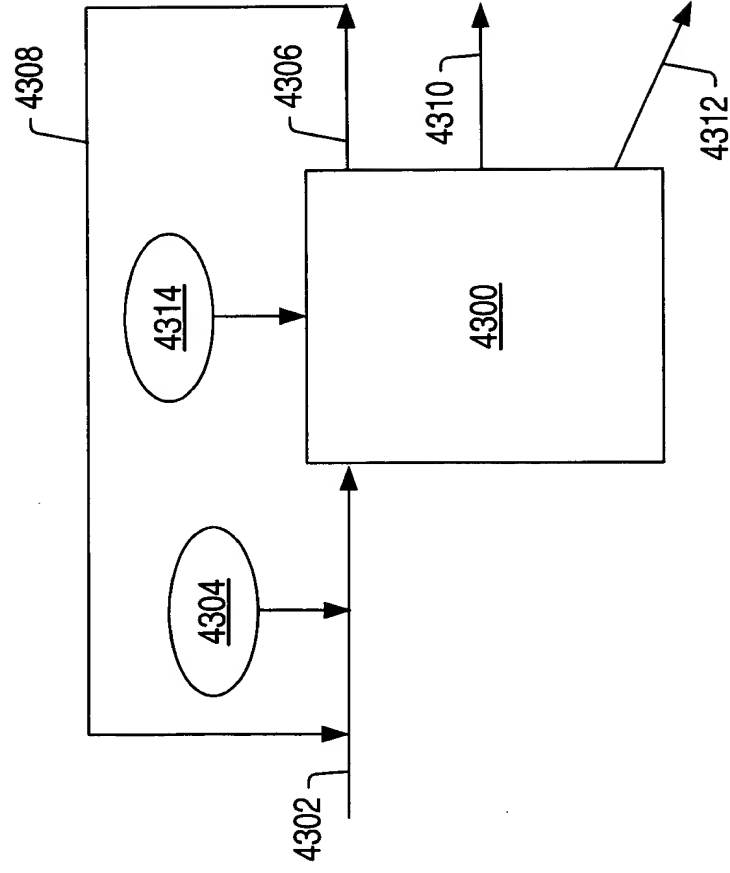
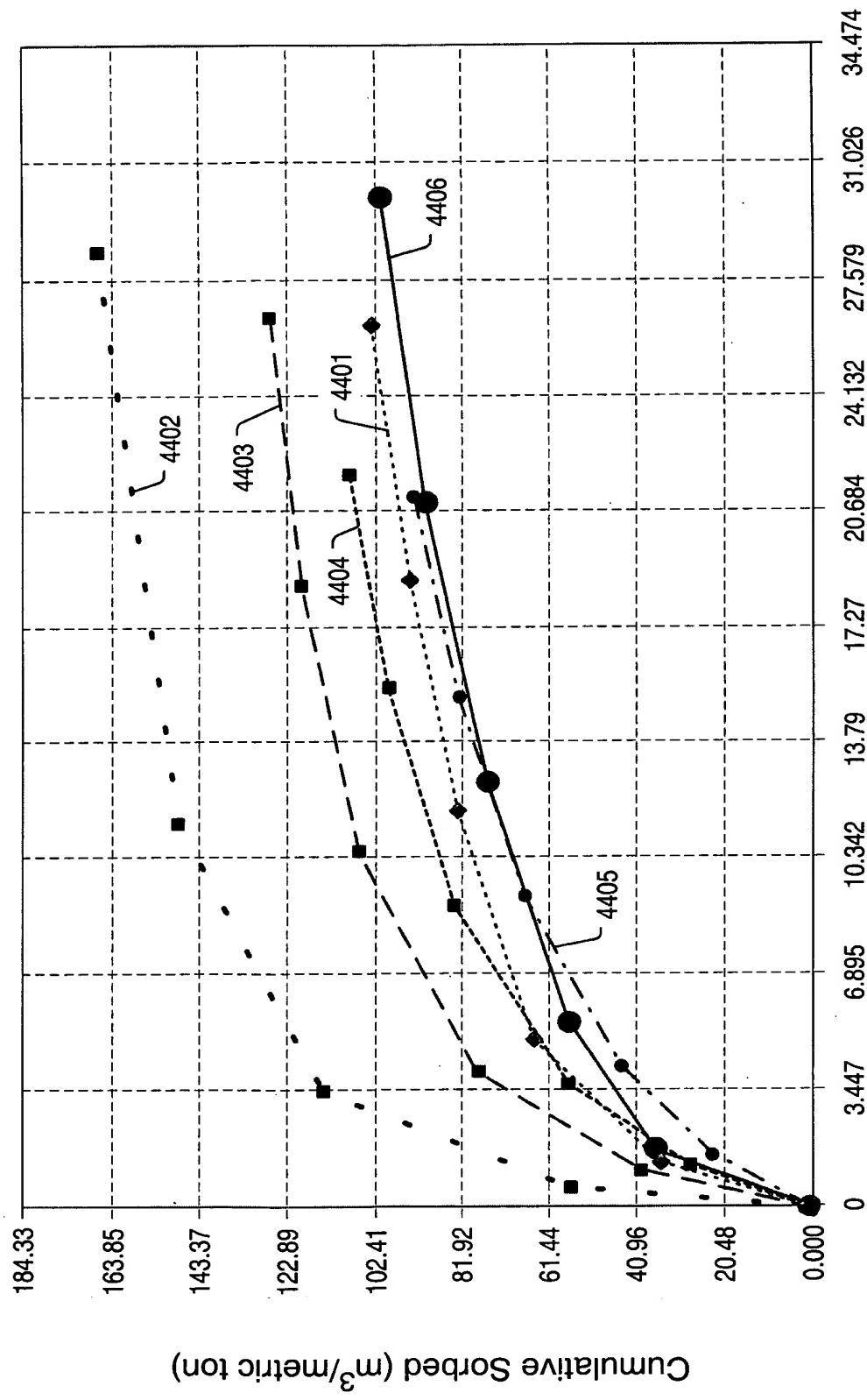


FIG. 164



Pressure (bars absolute)

FIG. 165

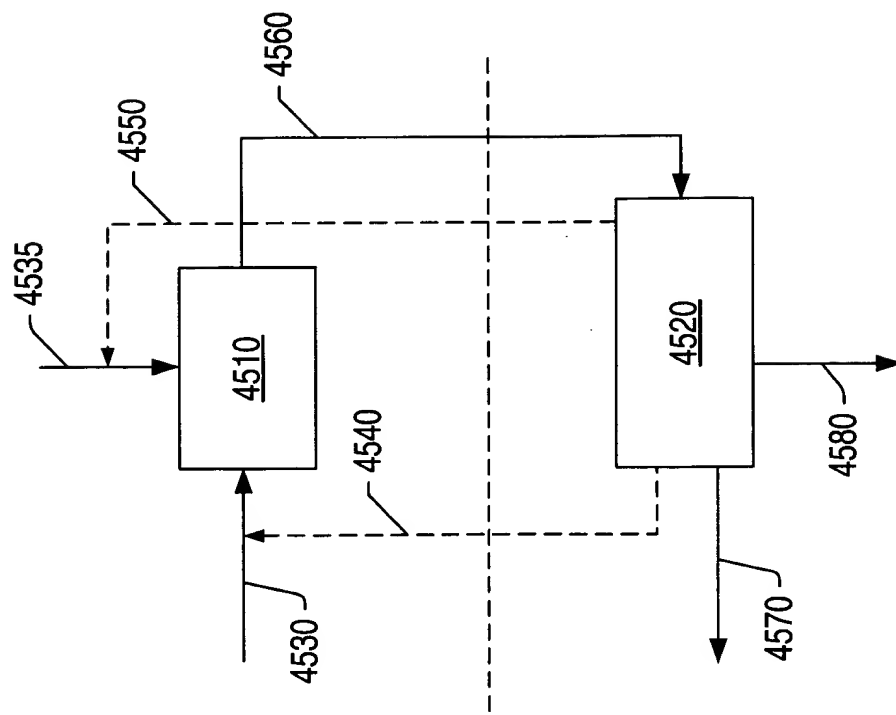


FIG. 166

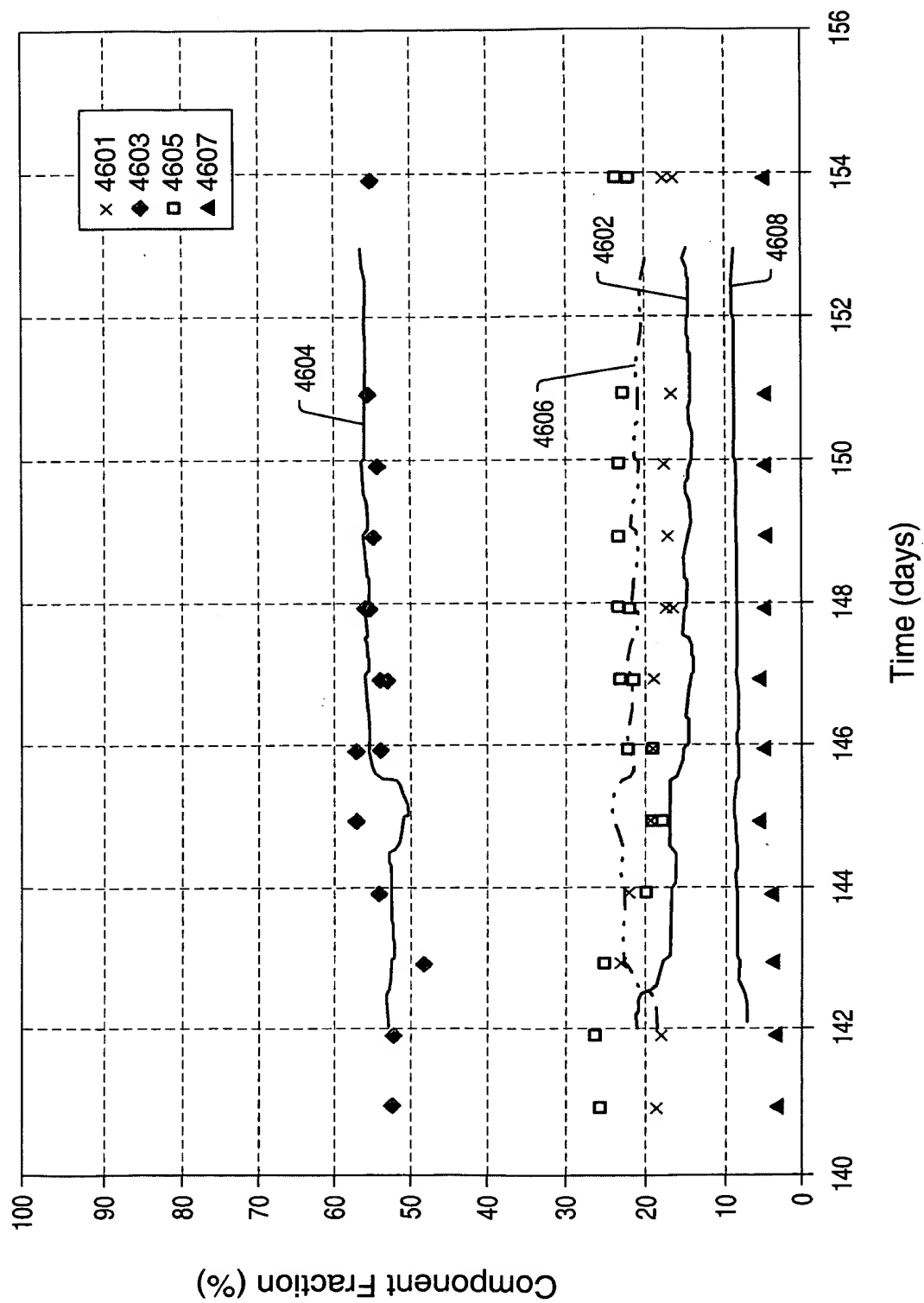


FIG. 167

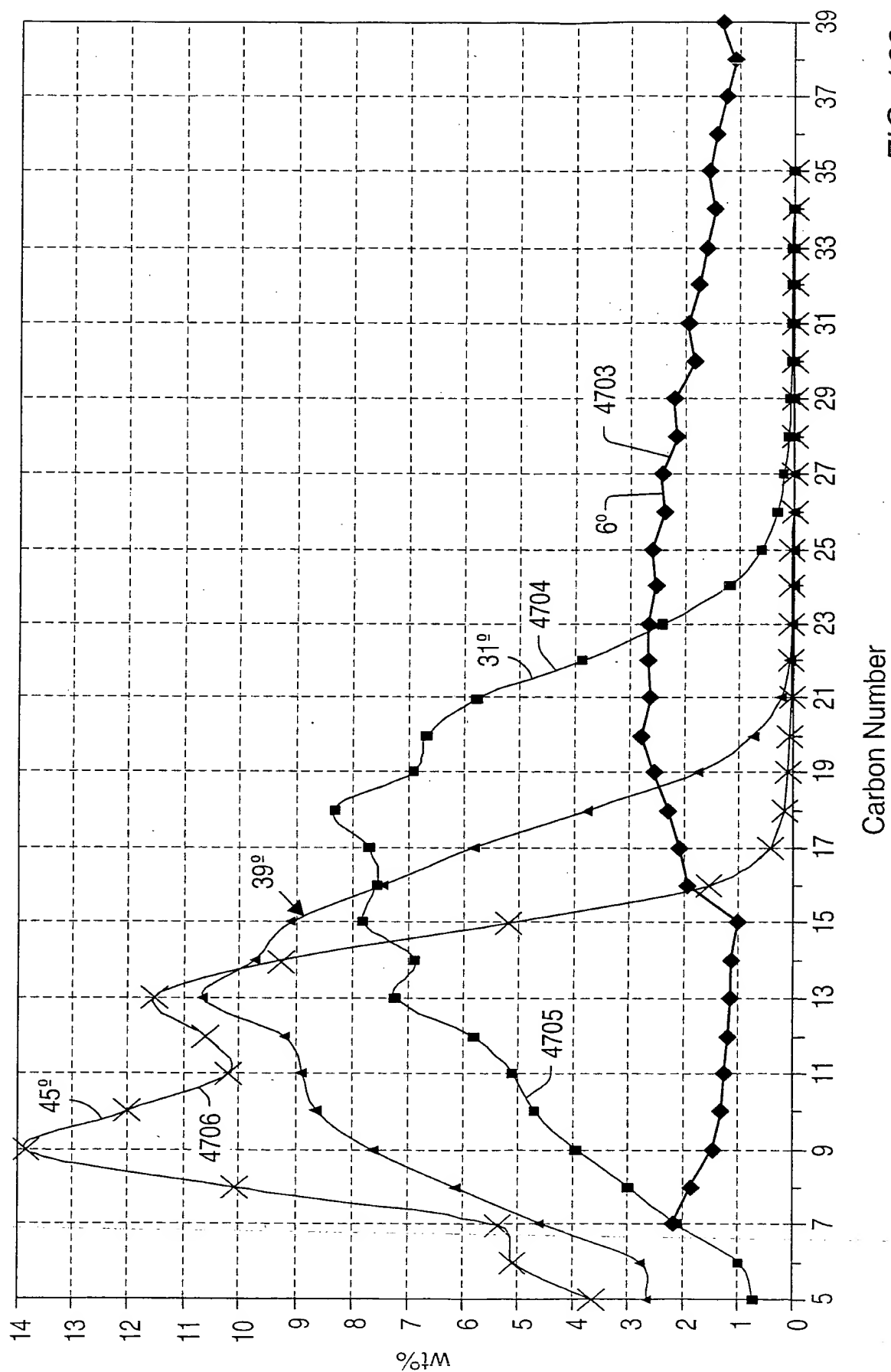


FIG. 168

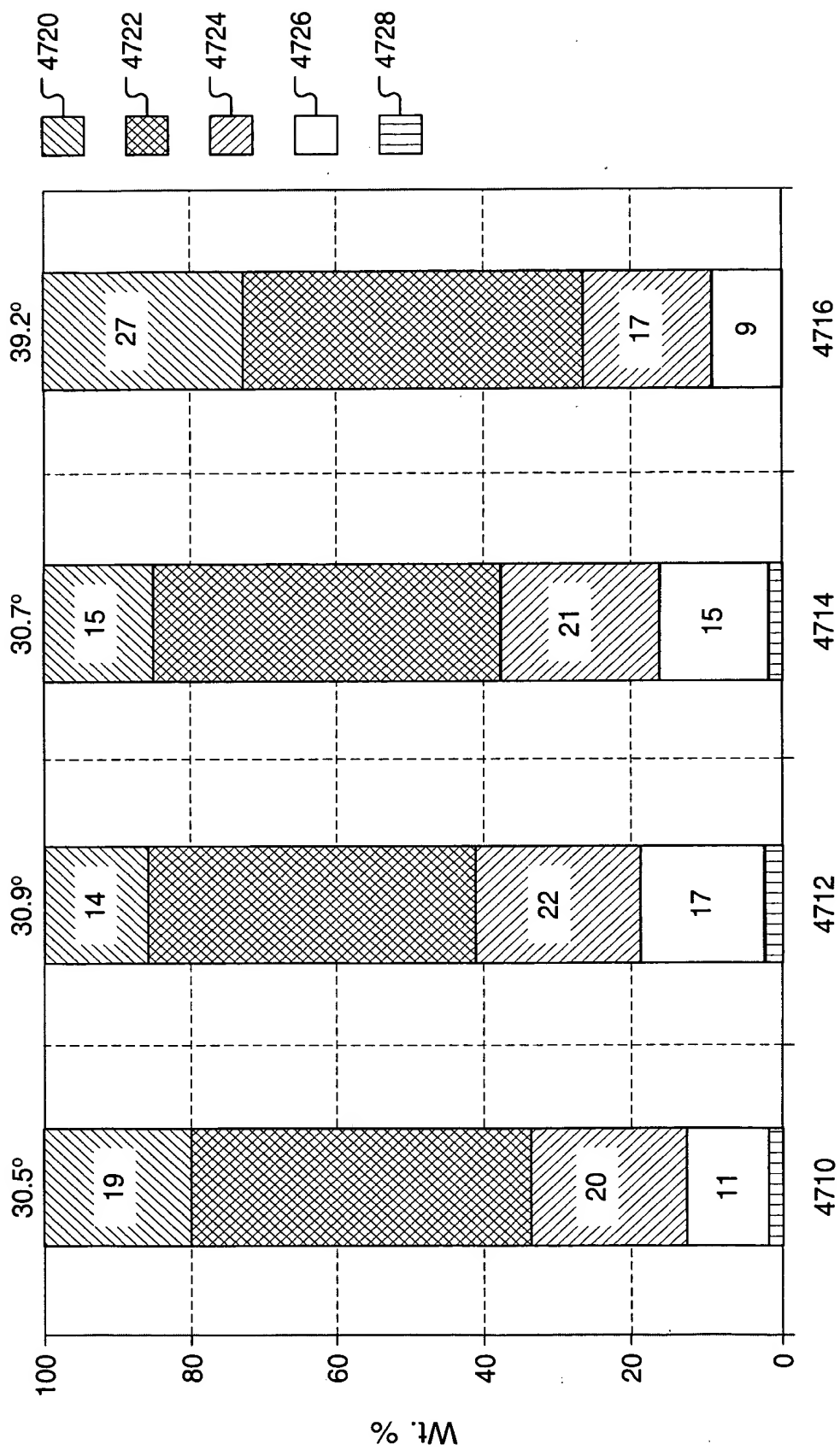


FIG. 169

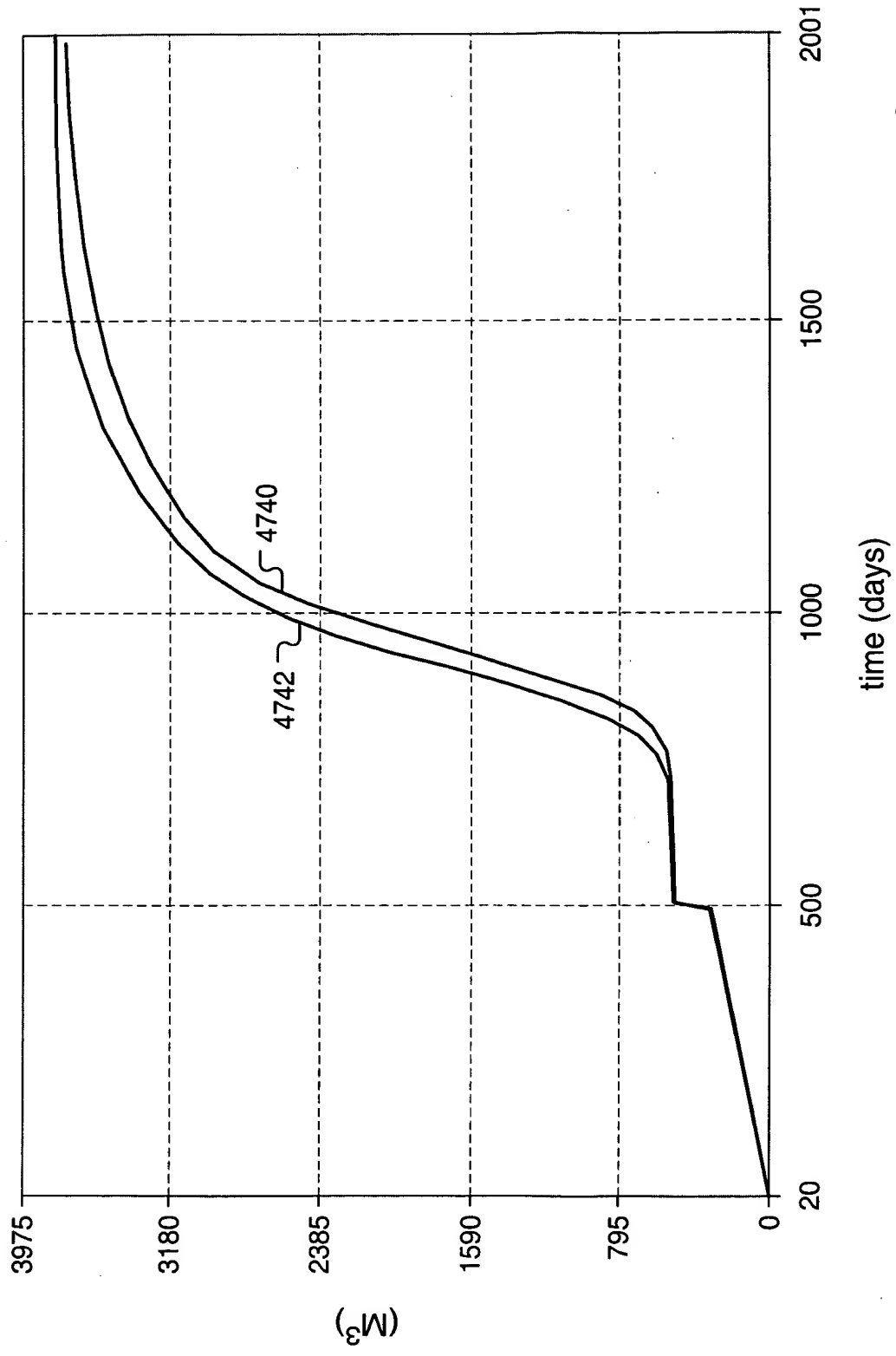


FIG. 170

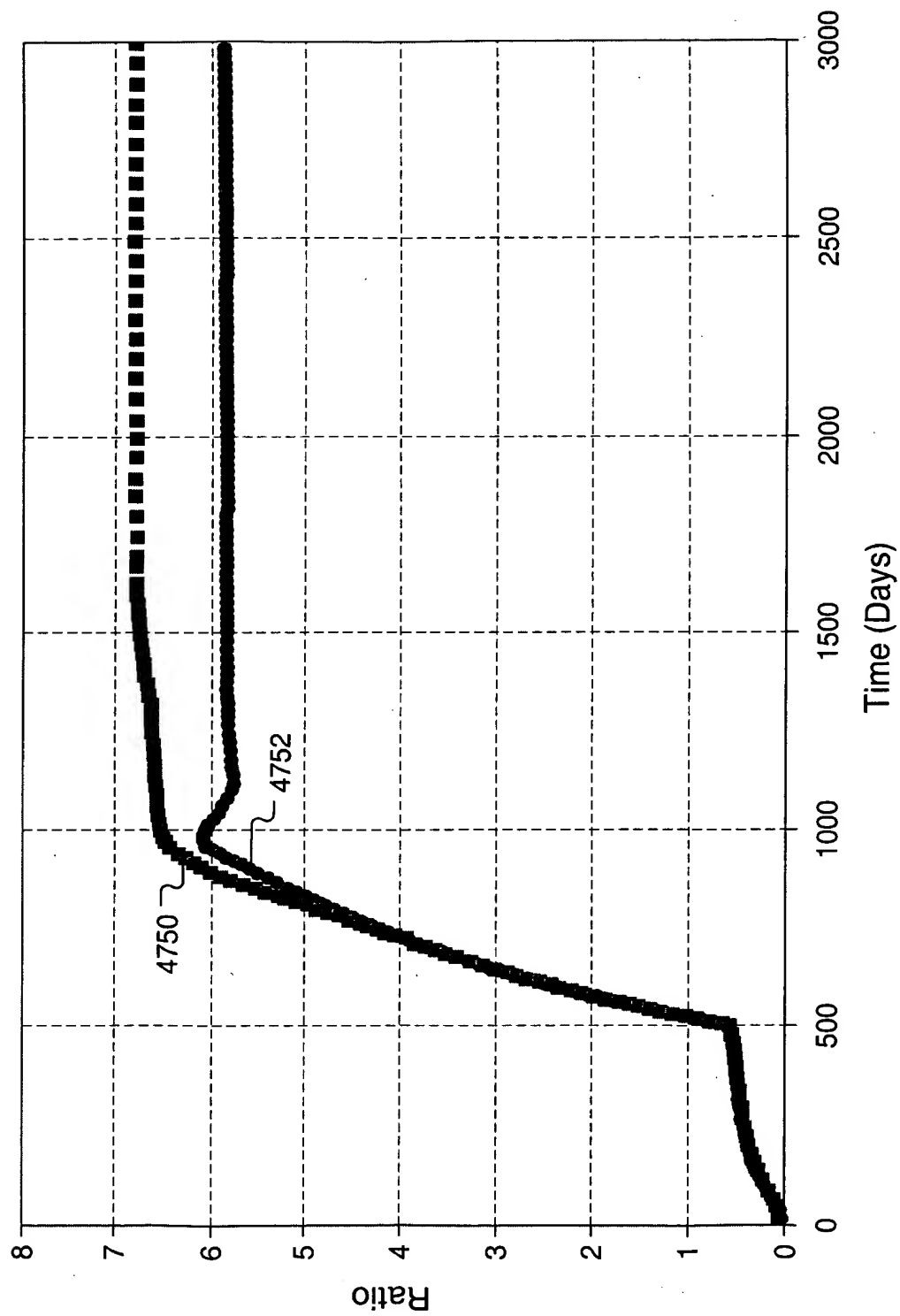


FIG. 171

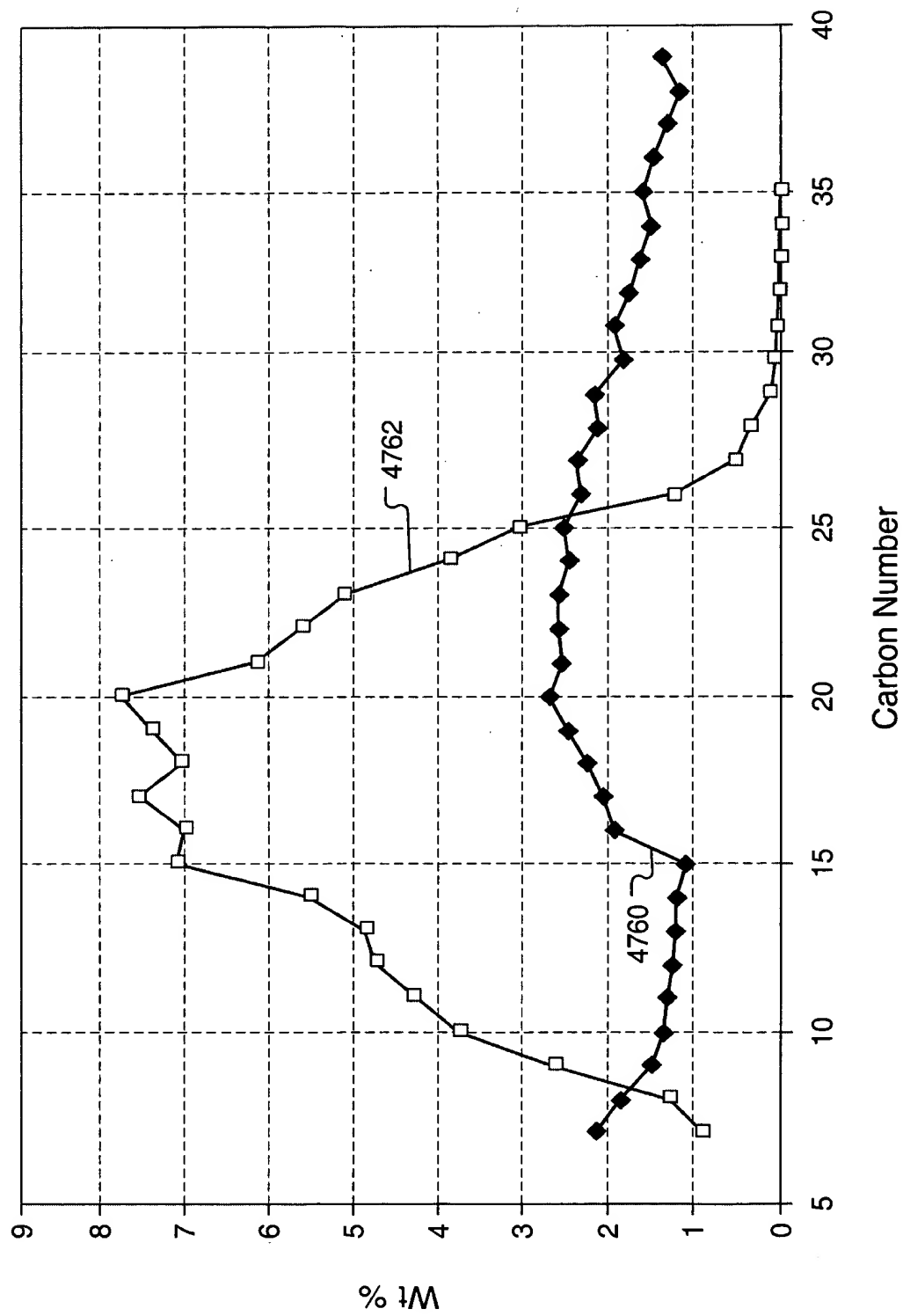


FIG. 172

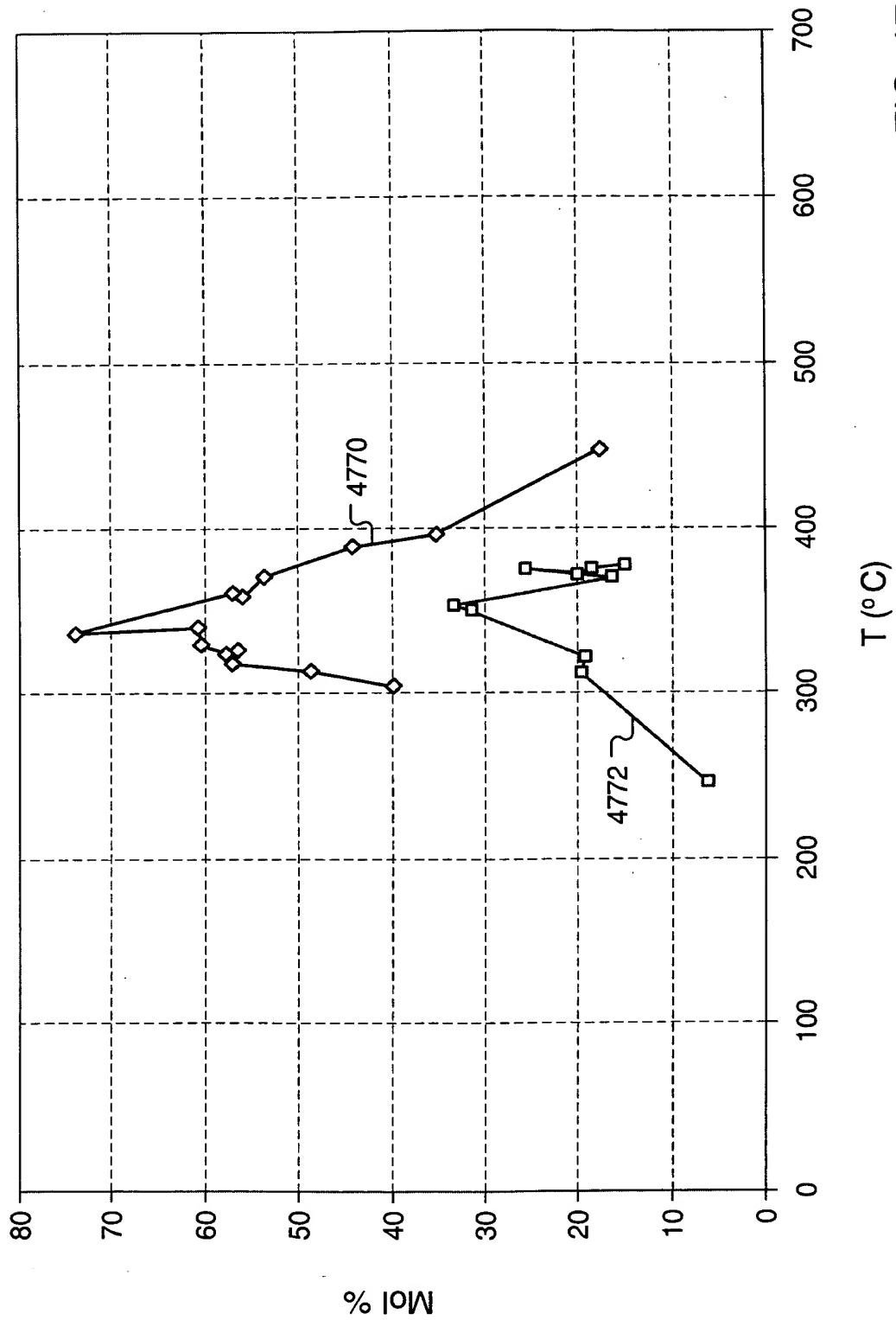


FIG. 173

FOOTNOTES

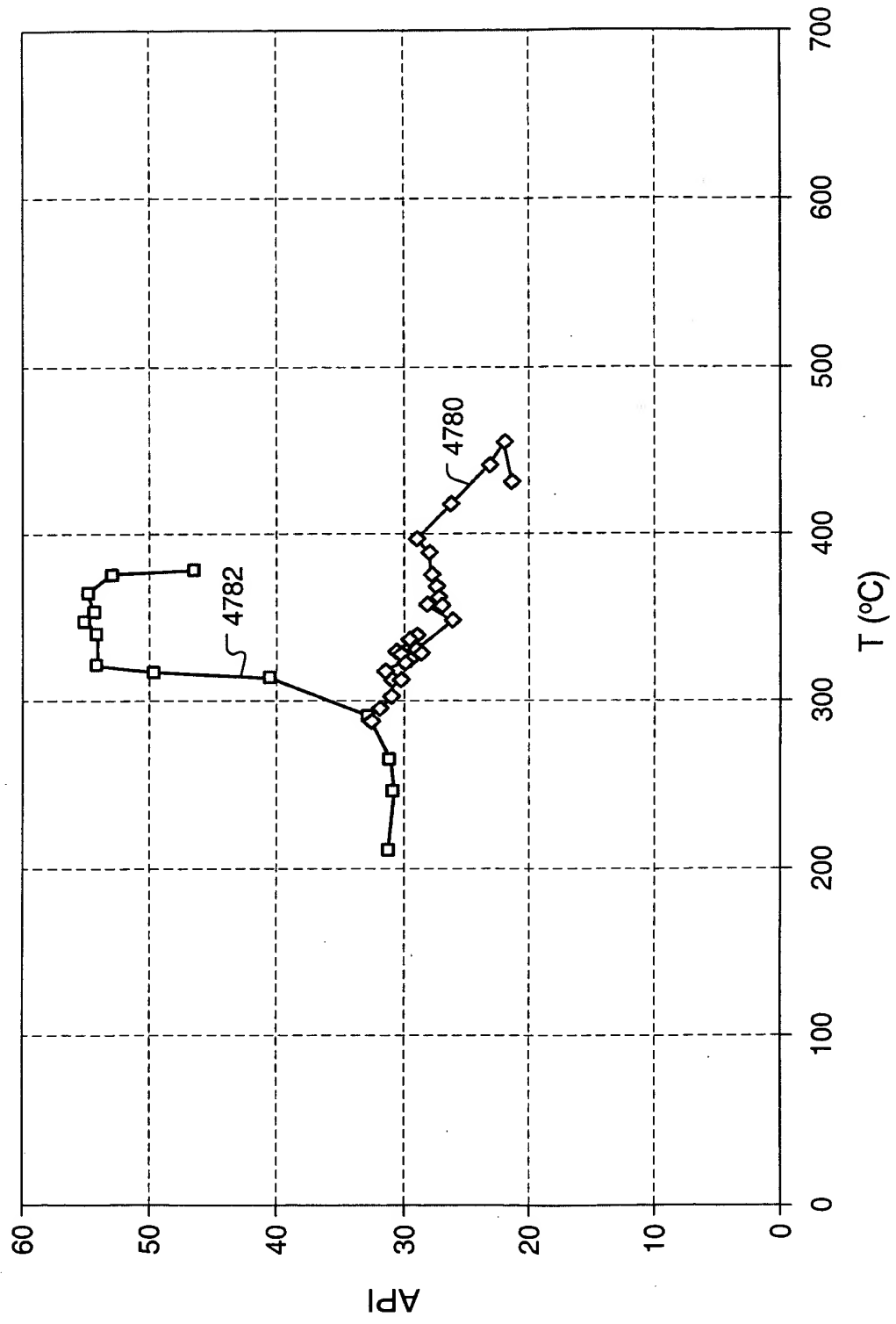
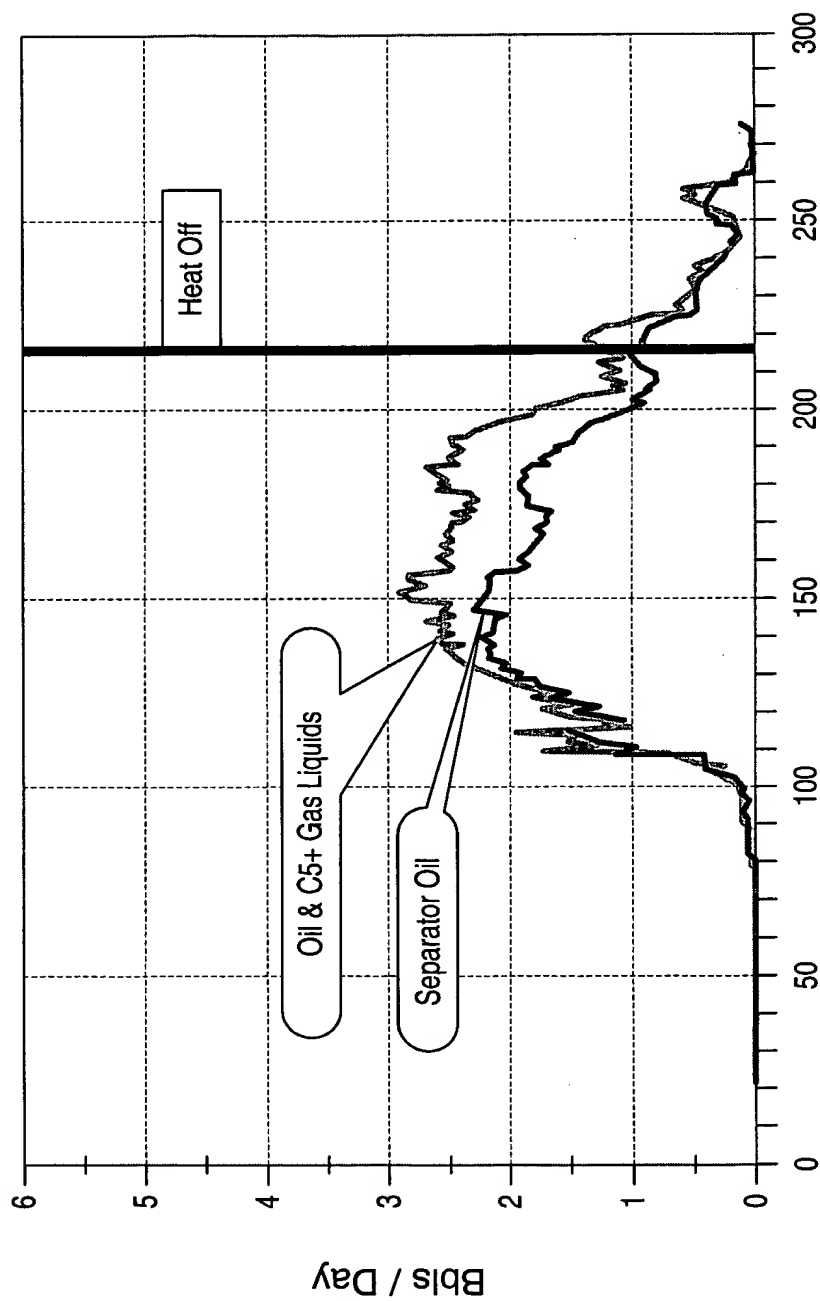


FIG. 174



Days From Start of Heat Injection

FIG. 175

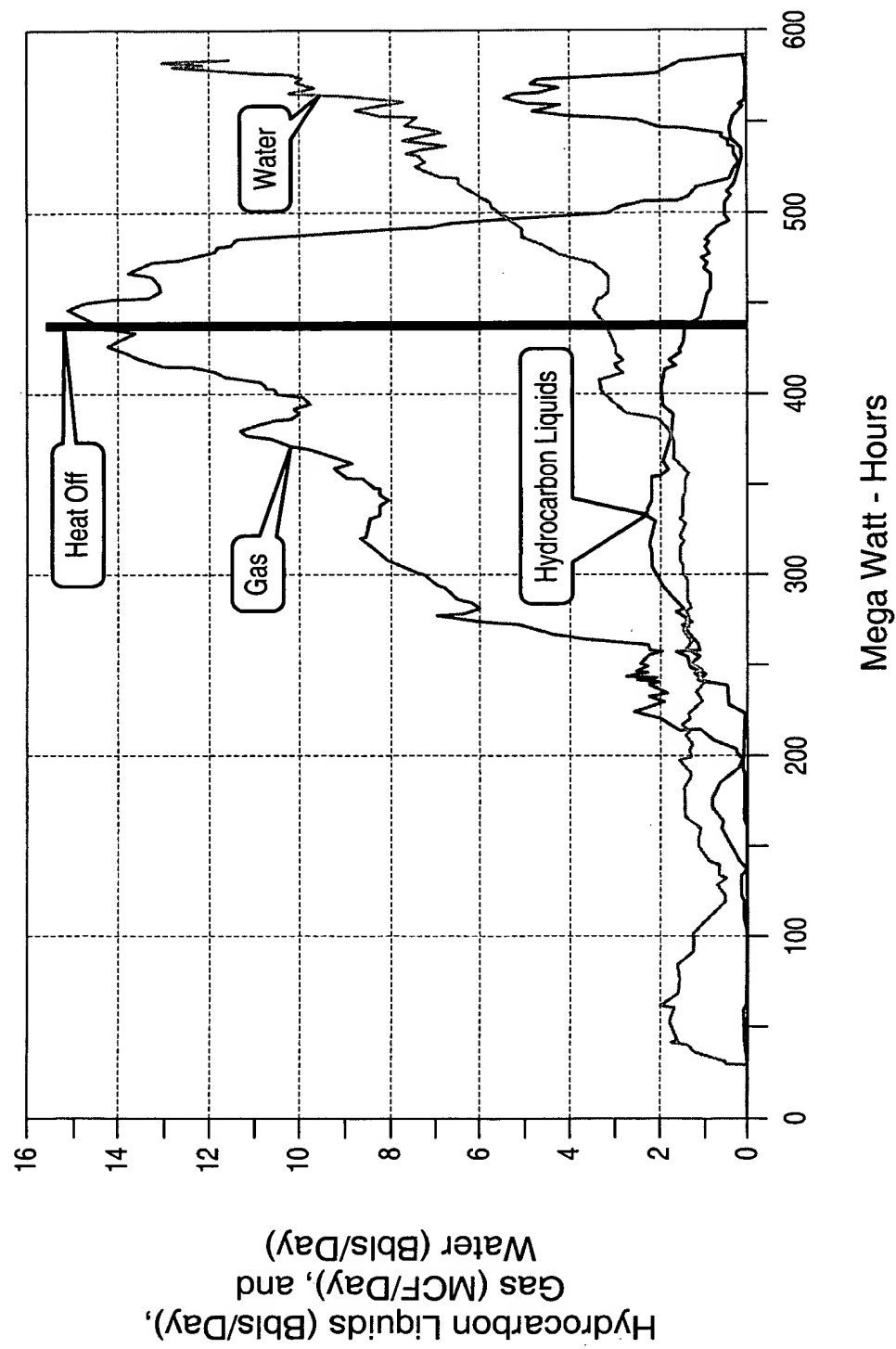


FIG. 176

T04240" S02F4850

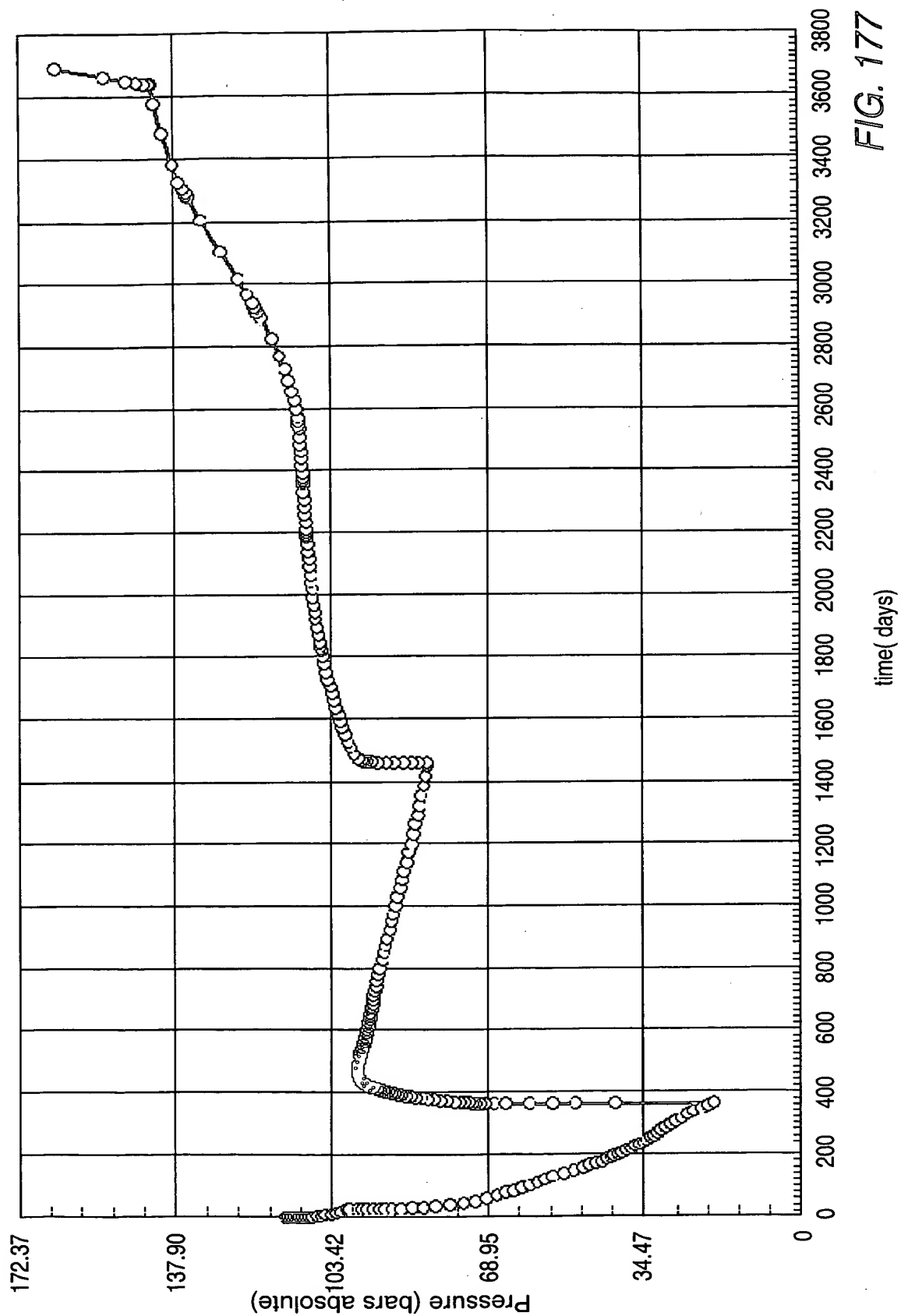


FIG. 177

FOH2H0" SOET4B50

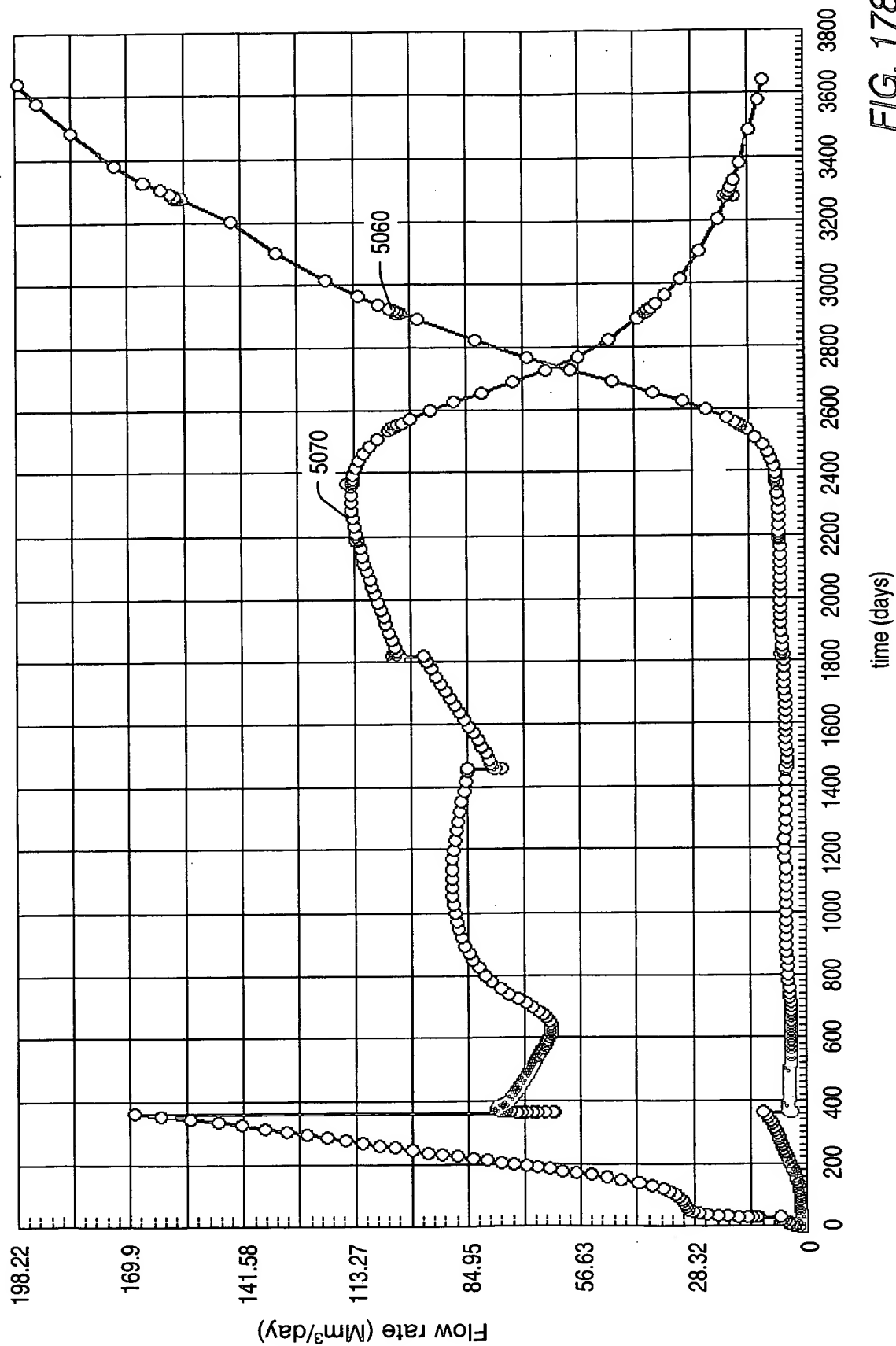


FIG. 178

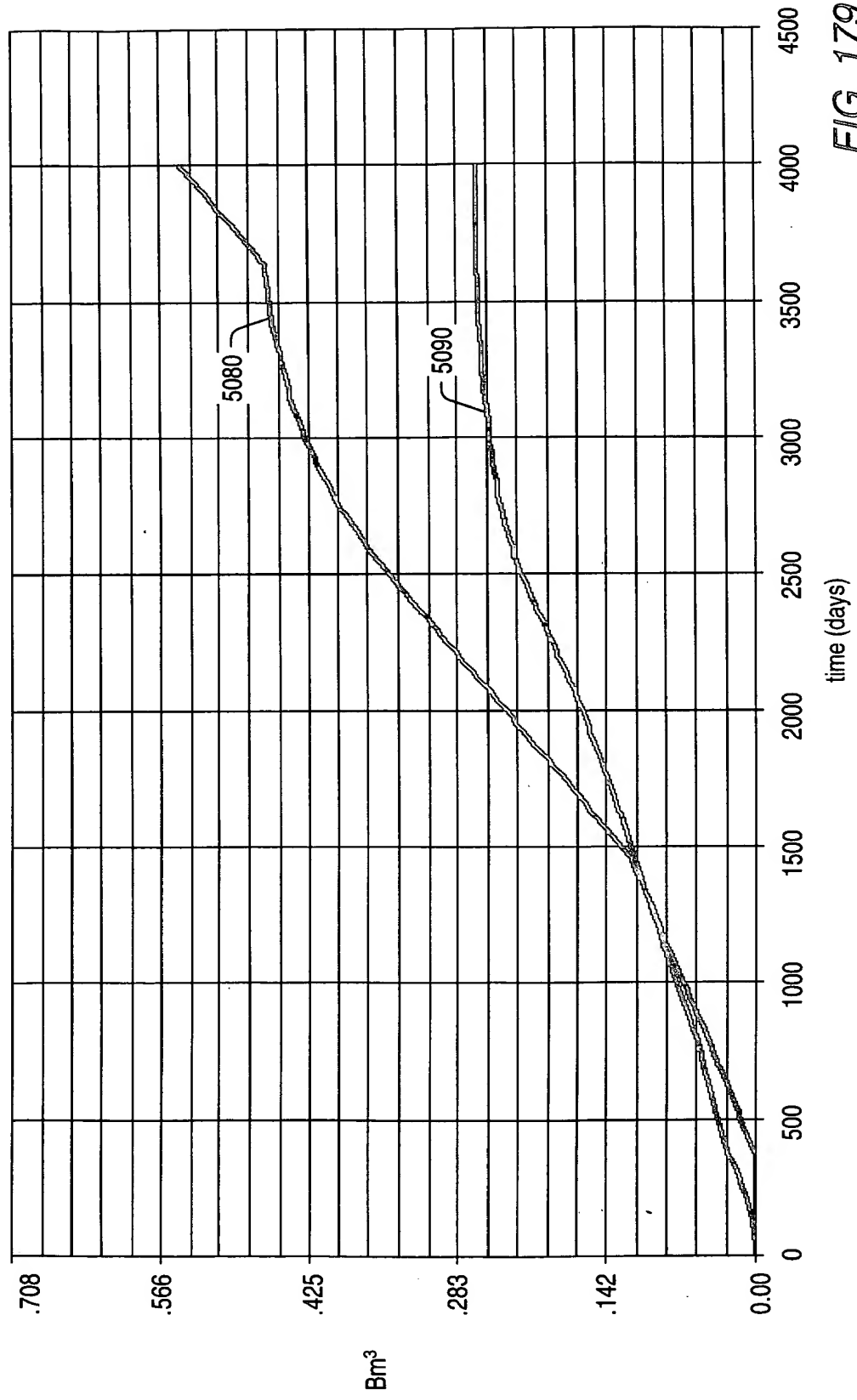


FIG. 179

FOH240" S0E F1860

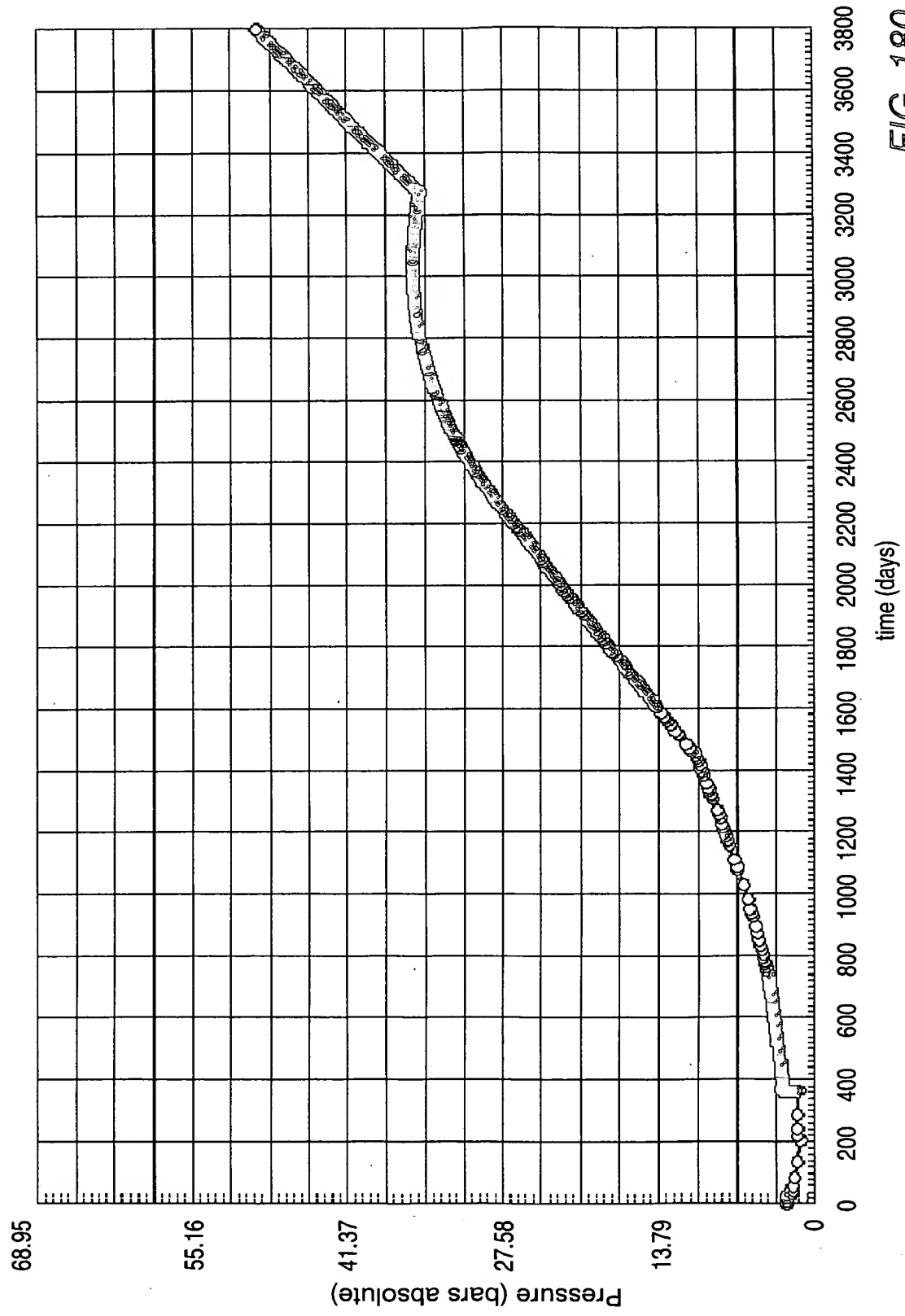


FIG. 180

FOR 240" SOFTHEAD

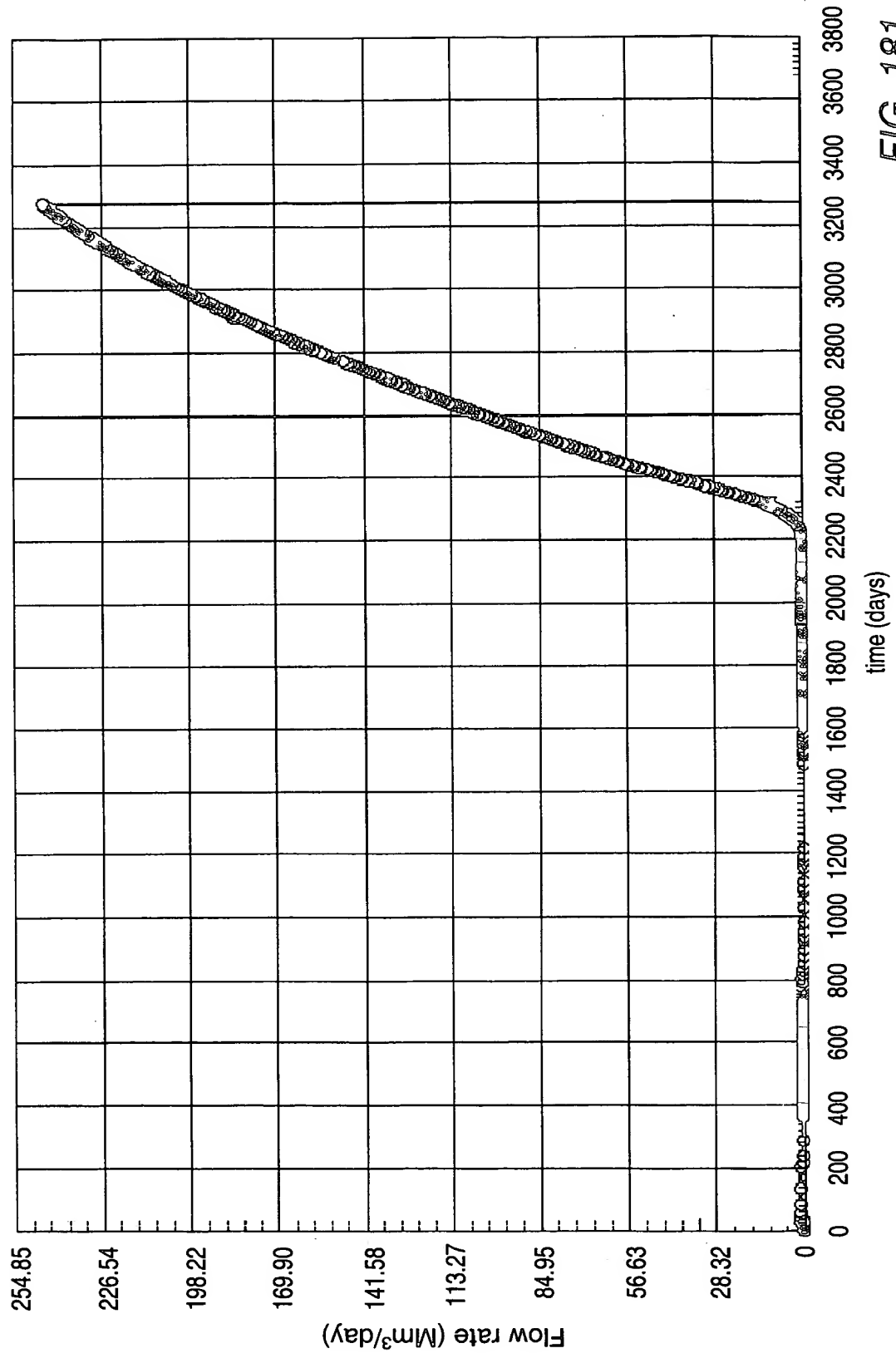


FIG. 181

TD4240" S0ET4860

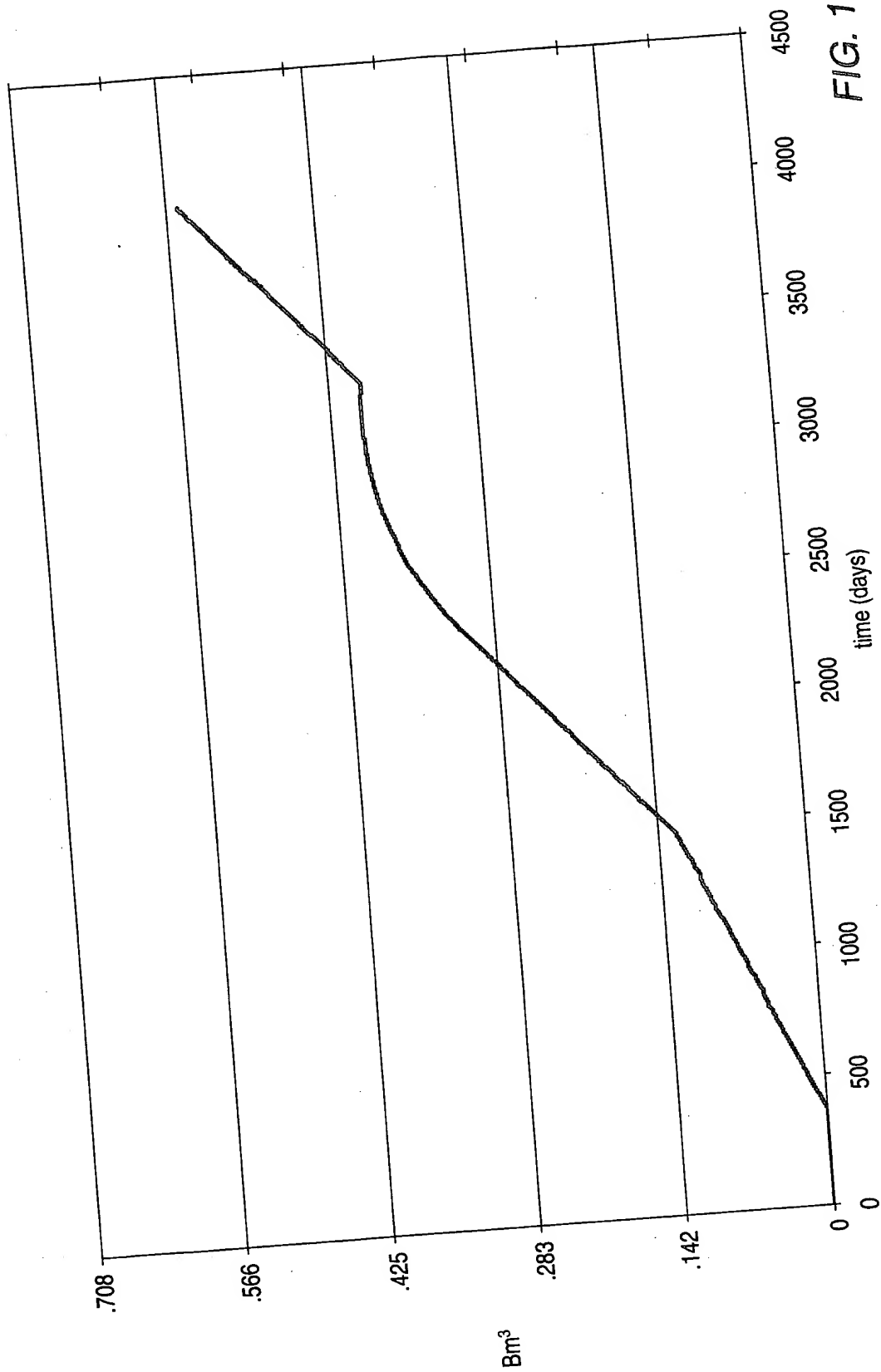


FIG. 182